

## «بسمه تعالیٰ»

• بر اساس آئین نامه ایران و AISC

### ♦ طراحی گام به گام :

- ✓ انواع تیرها و ستون ها
- ✓ انواع اتصالات
- ✓ انواع مهاربند ها



«مربوط به درس سازه های فولادی I & II»

«کلیه حقوق این مطلب متعلق به وب سایت **موج عمران** بوده و هرگونه کپی برداری از آن پیگرد قانونی دارد»

بِسْمِ اللّٰهِ الرَّحْمٰنِ الرَّحِيْمِ

## پیشگفتار :

سازه فولادی مجموعه ای از اعضای باربر ، ساخته شده از ورق یا نیمرخ های ساختمانی می باشد که به کمک اتصالات به یکدیگر متصل شده و اسکلت ساختمان را بوجود می آورند .

نیمرخ های فولادی تولیدات کارخانه ای هستند که با توجه به روش های تکامل یافته برای تولید آنها ، غالباً رفتاری در حد انتظار از خود نشان می دهند .

سازه های فولادی به ۳ گروه اساسی طبقه بندی می شوند :

الف) سازه های قاب بندی شده ؛ که مجموعه ای از اعضای محوری ، خمشی و یا محوری خمشی می باشند.

ب) سازه های پوسته ای که در اعضای آنها نیروی محوری قالب است .

ج) سازه های معلق که در آنها نیروی کششی حاکم است .

اکثر ساختمان های متداول دارای اسکلت قاب بندی شده می باشند . سازه های قاب بندی شده ترکیبی از تیرها و ستون ها می باشند که با استفاده از اتصالات صلب و یا ساده به یکدیگر متصل شده اند . سازه های قاب بندی شده ممکن است به صورت ساختمان های چند طبقه و یا ساختمان های صنعتی باشند .

به طور کلی سازه های قاب بندی شده از ترکیب دو سری قاب صفحه ای عمود بر هم بوجود آمده و تشکیل قاب فضایی را می دهند . لیکن عملکرد قاب های موجود در هر امتداد ، تأثیر قابل توجهی بر عملکرد قاب های امتداد دیگر ندارد . بنابراین تحلیل قابهای هر امتداد به طور مستقل بصورت صفحه ای انجام می گیرد . قاب های ساختمانی باید قادر به تحمل بارهای قائم و جانبی باشند . برای تحمل بارهای جانبی یا از اتصالات صلب ، یا از سیستم مهار بندی و یا سیستم ترکیبی استفاده می شود .

موضوعی که همیشه بحث برانگیز بوده و موجب نگرانی طراحان و سازندگان سازه های فولادی است ، چگونگی رفتار اتصالاتی است که ؛ برای ساخت اعضای مرکب از نیمرخ و ورق ، و همچنین برای یکپارچه نمودن اعضاء (شامل تیر ، ستون و مهاربندها ) در محل گره ها مورد استفاده قرار می گیرند .

وسایل اتصالی که برای ساخت اعضا و اتصال آنها به کار می رود شامل پیچ ، پرج و جوش است . در این میان استفاده از جوش در ساختمان سازی متعارف در ایران بسیار رواج دارد . در سطح جهانی قدمت استفاده از جوش در ساخت اسکلت فولادی شاید به ۱۰۰ سال برسد . در کشور ما نیز شاید بتوان قدمتی ۵۰ ساله برای استفاده از جوشکاری در ساختمان تصور نمود .

با توجه به مطالب ذکر شده ، این مجموعه به جهت انجام طراحی ساده و آسان سازه های فولادی بر اساس آیین نامه ایران بوده و برگرفته از کتب درسی طراحی سازه های می باشد . البته لازم به ذکر است که از آنجایی که آیین نامه ایران در بسیاری از موارد استنباطی از آیین نامه AISC می باشد ، در پاره ای از موارد به بند های این آیین نامه اشاره شده است . امید است این مجموعه مورد توجه دانشجویان و مهندسین طراح در حرفه ساختمان قرار گیرد .

**۱) کلیات ..... ۱****۲) قطعات کششی ..... ۲**

- ۱ طراحی قطعه کششی ۱-۲
- ۲ تنش مجاز ۲-۲
- ۳ جدول تعیین سطح مقطع موثر  $A_e$  ، برای قطعات کششی ۳-۲
- ۴ روش های تعیین سطح خالص ۴-۲
- ۵ تعیین سطح معادل ۵-۲
- ۶ کنترل صلبیت در قطعات کششی ۶-۲
- ۷ قطعات کششی مرکب ۷-۲
- ۸ مراحل محاسبه ظرفیت کششی مقطع ۸-۲
- ۹ مراحل طراحی مقطع کششی ۹-۲
- ۱۰ مراحل طراحی میلگردها کششی ۱۰-۲
- ۱۱ طراحی میلگردها کششی ۱۱-۲
- ۱۲ میل مهار لایه در سقف های سبک (سازه های صنعتی) : ۱۲-۲

**۳) قطعات فشاری ..... ۳**

- ۱ محاسبه تنش بحرانی ۱-۳
- ۲ تعیین نوع کمانش ۲-۳
- ۳ تنش مجاز ۳-۳
- ۴ (الف) کمانش ارتجاعی
- ۵ (ب) کمانش غیر ارتجاعی
- ۶ جدول تعیین ضریب طول موئثر ( $K$ ) ۶-۳
- ۷ نمودار ژولیان و لورنس ۷-۳
- ۸ مراحل گام به گام طراحی ستون ها ۸-۳
- ۹ کمانش موضعی ۹-۳
- ۱۰ انواع قطعات فشاری ۱۰-۳
- ۱۱ مراحل گام به گام طراحی ستون ها در صورت وجود کمانش موضعی ۱۱-۳
- ۱۲ قطعات فشاری مرکب ۱۲-۳
- ۱۳ مراحل گام به گام طراحی ستون های بست دار ۱۳-۳
- ۱۴ برگه طراحی ستون فلزی ۱۴-۳

## ۴) کف ستون .....

۲۴	.....	۱-۴ روش تعیین تنش مجاز فشاری بتن
۲۴		(۱) طراحی کف ستون بدون خروج از مرکزیت و بدون سخت کننده
۲۴		مراحل گام به گام (تک پروفیل)
۲۵		(۲) طراحی کف ستون با خروج از مرکزیت
۲۶		(۳) طراحی کف ستون با خروج از مرکزیت زیاد
۲۷		(۴) طراحی کف ستون با خروج از مرکزیت زیاد
۲۷		۲-۴ الف) روش تقریبی
۲۸		۳-۴ ب) روش دقیق
۲۹		۴-۴ طراحی کف ستون با استفاده از سخت کننده ها
۲۹		۵-۴ مراحل گام به گام
۳۲		۶-۴ برگه طراحی کف ستون

## ۵) قطعات خمیشی .....

۳۳	.....	۱-۵ طراحی تیر با اتکا جانبی مناسب
۳۳		۲-۵ تنش مجاز خمیشی حول محور قوی در نیمرخ I و ناودانی
۳۴		۳-۵ تنش مجاز خمیشی حول محور قوی برای مقطع I، تسممه ها و ورق های مستطیلی
۳۴		۴-۵ روش طرح خمیری
۳۴		۵-۵ کنترل ابعاد طرح خمیری
۳۵		۶-۵ کنترل حیز
۳۶		۷-۵ کنترل برش
۳۶		۸-۵ طراحی ورق های زیرسربی
۳۷		۹-۵ طراحی اعضاء تحت خمش دو محوره
۳۸		۱۰-۵ کمانش جانبی تیر ها
۳۸		۱۱-۵ تنش مجاز خمیشی $F_b$
۴۲		۱۲-۵ برگه طراحی تیر فلزی

## ۶) مباحث تكميلی طرح تیر ها .....

۴۳	.....	۱-۶ طرح تیر با ورق تقویت
۴۳		الف ) روابط تقریبی برای حدس ورق تقویت
۴۳		ب ) روابط دقیق برای تعیین ورق تقویت
۴۴		۲-۶ تیر سراسری
۴۴		الف ) قضیه سه لنگر
۴۵		ب ) باز توزیع لنگر
۴۵		ج ) ضوابط فشردگی
۴۵		د ) نحوه باز توزیع لنگر

۴۶	ت ) مراحل گام به گام طراحی تیر سراسری با ورق تقویت
۴۷	۳-۶ تیر لانه زنپوری
۴۷	الف ) مشخصات هندسی سوراخ ها
۴۸	ب ) معیارهای طراحی
۴۸	۱) معیار خمش
۴۸	۲) معیار کمانش موضعی اجزای سپری شکل
۴۸	۳) معیار برش قائم
۴۹	ج ) برش پای نر
۵۰	۴-۶ مسائل ویژه در طرح تیر
۵۰	الف ) کنترل جاری شدن موضعی جان
۵۱	ب ) کنترل لهیدگی در جان تیر
۵۱	ج ) کنترل کمانش توأم با انتقال جانبی در جان تیر
۵۲	د ) بقیه قطعات تقویتی در بارها متتمرکز
<b>۵۳</b>	<b>( تیر مختلط ۷ )</b>
۵۳	۱-۷ عرض مؤثر دال بتنی
۵۳	۲-۷ محاسبه مشخصات مقطع
۵۴	۳-۷ محاسبات تیرهای مرکب در دو حالت متفاوت
۵۴	الف ) اجرای با شمع بندی
۵۵	ب ) اجرایی بدون شمع بندی
۵۶	۴-۷ کنترل خیز
۵۷	الف ) با شمع بندی
۵۷	ب ) بدون شمع بندی
۵۷	۵-۷ طرح برشگیرها
۵۷	(۱) طرح برش گیر بر اساس بارهای وارد
۵۷	(۲) طرح برشگیر به روش مقاومت نهایی
۵۷	۶-۷ تعیین مقدار $q$ از جدول آبین نامه
۶۰	۷-۷ برگه طراحی تیر مختلط
۶۲	۸-۷ برگه طراحی تیرچه کرومیت
<b>۶۳</b>	<b>( تیر ستون ۸ )</b>
۶۳	۱-۸ فرمول اول
۶۳	(الف ) رابطه میانگین عدم جاری شدن
۶۳	(ب ) رابطه میانگین پایداری
۶۳	۲-۸ فرمول دوم
۶۳	۳-۸ تعیین $C_m$
۶۴	۴-۸ انتخاب مقطع اولیه تیر ستون
۶۵	۵-۸ مراحل گام به گام طراحی تیر ستون ها

## ۶۶ ..... ۹) پیچش

۶۶	۱-۹ راه حل ساده برای طراحی قطعات خمی توأم با پیچش
۶۶	(I) ۲-۹
۶۶	(II) ۳-۹
۶۷	(III) ۴-۹

## ۶۸ ..... ۱۰) پیج و پرج

۶۸	۱-۱۰ حداقل بار دوام پیج ها
۶۸	۲-۱۰ تنش های مجاز برشی
۶۹	۳-۱۰ تعیین مقادیر عددی ضرایب $\beta_1, \beta_2, \beta_3$
۶۹	(الف) در اتصالات برشی
۶۹	(ب) در اتصالات اصطکاکی
۶۹	۴-۱۰ تنش های قراردادی
۶۹	۵-۱۰ فواصل پیج ها
۶۹	(الف) اتصالات برشی
۶۹	(ب) اتصالات اصطکاکی
۷۰	۶-۱۰ اثر توام برش و پیچش
۷۱	۷-۱۰ طرح اتصالات پیچی تحت کشش
۷۱	۸-۱۰ اثر توام کشش و برش
۷۱	(الف) اتصالات برشی
۷۲	(ب) اتصالات اصطکاکی
۷۵	۹-۱۰ اتصالات پیچی تحت اثر خمش
۷۵	(الف) روابط تقریبی
۷۵	(ب) روابط دقیق
۷۶	۱۰-۱۰ مراحل گام به گام

## ۷۸ ..... ۱۱) جوش

۷۸	۱-۱۱ جدول تعیین حداقل اندازه جوش گوشه
۷۸	۲-۱۱ جدول تعیین حداقل بعد جوش گوشه
۷۹	۳-۱۱ جدول تعیین حداقل ضخامت مؤثر جوش لب با نفوذ غیر کامل
۷۹	۴-۱۱ جدول تعیین حداقل بعد جوش لب با نفوذ غیر کامل
۷۹	۵-۱۱ ضوابط حداکثر اندازه جوش گوشه
۸۰	۶-۱۱ حداقل طول مؤثر جوش گوشه
۸۰	۷-۱۱ سطح مؤثر جوش
۸۰	۸-۱۱ ضخامت مؤثر جوش لب
۸۰	(الف) جوش لب با نفوذ کامل
۸۱	(ب) جوش لب با نفوذ غیر کامل
۸۱	۹-۱۱ ضخامت مؤثر جوش گوشه

۸۱	۱۰-۱۱ ارزش جوش
۸۱	۱۱-۱۱ نیروی جوش
۸۱	۱۲-۱۱ جوش انگشتانه و کام
۸۲	۱۳-۱۱ تنش مجاز
۸۳	۱۴-۱۱ طراحی اتصال متعادل
۸۳	۱۵-۱۱ مراحل گام به گام طراحی اتصال متعادل
۸۴	۱۶-۱۱ برش با خروج از مرکزیت
۸۴	۱۷-۱۱ جوش تحت اثر برش و لنگر خمینی
۸۵	۱۸-۱۱ رابطه برای طراحی یک خط جوش تحت خمینی

## ۸۶ ..... (۱۲) اتصالات

۸۶	۱-۱۲ اتصالات ساده‌ی تیر به ستون
۸۶	۲-۱۲ مراحل گام به گام طراحی اتصال با نبشی نشیمن
۸۷	۳-۱۲ ظوابط اجرایی
۸۸	۴-۱۲ مراحل گام به گام طراحی اتصال با نبشی جان
۸۹	۵-۱۲ روش گام به گام طراحی اتصال برآکت
۹۰	۶-۱۲ ضابطه اجرایی اتصال برآکت
۹۰	۷-۱۲ اتصال صلب تیر به ستون
۹۲	۸-۱۲ مراحل گام به گام طراحی اتصال صلب تیر به ستون
۹۴	۹-۱۲ طرح لرزه‌ای اتصال صلب در قاب خمینی معمولی
۹۵	الف ) طرح اتصال بر اساس روش تنش مجاز
۹۶	ب ) روش تنش مجاز بر اساس روش حدی
۹۷	۱۰-۱۲ طرح لرزه‌ای اتصال صلب در قاب خمینی ویژه
	الف ) طراحی اتصال
۹۹	ب ) کنترل چشمۀ اتصال برای برش
۹۹	ج ) کنترل عدم تشکیل مفصل پلاستیک در ستون در هر گره از قاب خمینی
۱۰۰	۱۱-۱۲ وصله‌ها
۱۰۰	الف) طراحی وصله بال
۱۰۱	ب) طراحی وصله جان
۱۰۱	۱۲-۱۲ طرح جوش وصله جان
۱۰۲	۱۳-۱۲ طرح جوش وصله بال
۱۰۲	۱۴-۱۲ وصله تیر
۱۰۵	۱۵-۱۲ برگه طراحی اتصالات

## ۱۰۹ ..... (۱۳) تیر ورق

۱۰۹	۱-۱۳ ترسیم دیاگرام برش ، لنگر خمینی
۱۰۹	۲-۱۳ حدس ارتفاع جان
۱۱۰	۳-۱۳ تعیین ضخامت جان
۱۱۰	۴-۱۳ تعیین سطح مقطع بال

۱۱۰	۵- انتخاب ضخامت بال
۱۱۰	۶- کنترل خمش و محاسبه تنش های خمشی
۱۱۱	۷- بررسی لزوم کاربرد سخت کننده های میانی
۱۱۱	۸- کنترل برش
۱۱۲	۹- کنترل تنش خمشی جان
۱۱۲	۱۰- کنترل کمانش قائم جان
۱۱۳	۱۱- محاسبه جوش سخت کننده ها
۱۱۳	۱۲- کنترل های چشمeh آخر
۱۱۴	۱۳- ورق های زیر سری در محل بار متتمرکز و تکیه گاه ها
۱۱۴	۱۴- محاسبه i ورق های سخت کننده میانی
۱۱۴	۱۵- محاسبه ورق های اتکایی زیر بار متتمرکز
۱۱۵	۱۶- طراحی جوش بال به جان
۱۱۶	۱۷- چند نکته در رابطه با تیر ورق ها
<b>۱۱۷</b>	<b>(۱۴) بادبند ها</b>
۱۱۷	۱- بادبند های هم محور یا همگرا
۱۱۷	۲- تحلیل و طراحی مهار بند های ضربدری
۱۱۷	الف) روش اول
۱۱۷	ب) روش دوم
۱۱۷	(۱) تحلیل دقیق
۱۱۸	(۲) تحلیل تقریبی
۱۱۸	۳- بادبندی های هشتی و هفتی
۱۱۸	الف) تحلیل تحت بار $q$
۱۱۸	ب) تحلیل برای نیروی های جانبی
۱۱۹	۴- ضوابط کلی طراحی بادبند های همگرا
۱۲۰	۵- نحوه محاسبه فوائل لقمه های بادبند
۱۲۰	۶- بادبند های برون محور یا واگرا
۱۲۱	۷- ضوابط خاص ناحیه پیوند
۱۲۲	۸- برگه طراحی بادبندها
<b>۱۲۸</b>	<b>(۱۵) قطعات با لنگر لختی متغیر</b>
<b>۱۳۱</b>	<b>(۱۶) طراحی در برابر خستگی</b>
<b>۱۳۲</b>	<b>(۱۷) طراحی سازه های خرپایی</b>
<b>۱۳۳</b>	<b>جداول نیمروخ های ساختمانی</b>

## ۱

## کلیات

تبديل آحاد:

$$1 \text{ dan} = 10N = 1Kg$$

$$1 KN = 10^3 N = 100 Kg$$

$$1 bar = 1 \frac{dan}{cm^2} = 1 \frac{Kg}{cm^2}$$

**فولادهای ساختمانی :** در سازه های فولادی از انواع مختلف فولاد ساختمانی در طراحی سازه ها استفاده می شود . فولاد نرمه بیشترین مصرف را در ساختمان دارا است . فولاد اعلاء نیز بعد از فولاد نرمه در اجرای سازه ها بکار می رود.

**(الف) مشخصات فولاد نرمه :**

$$F_y = 2300 \pm 100 \quad \text{تنش تسلیم (bar)}$$

$$F_u = 3700 \quad \text{تنش نهایی (bar)}$$

درصد ازدیاد طول در شکست ۲۲ تا ۲۵ درصد

نکته : مبنای کار ما در حل مسائل  $f_y = 2400 bar$  خواهد بود.

**(ب) مشخصات فولاد اعلا :**

$$F_y = 2600 \pm 100 \quad \text{تنش تسلیم (bar)}$$

$$F_u = 5200 \quad \text{تنش نهایی (bar)}$$

درصد ازدیاد طول در شکست حداقل ۲۲ درصد

مشخصات عمومی فولادها به شرح زیر است:

$$e = 2.1 \times 10^6 \quad 2 \times 10^6 \quad \text{ضریب ارتجاعی فولاد (bar)}$$

$$\lambda = 11 \times 10^{-6} \left( \frac{cm}{c \cdot cm} \right) \quad \text{ضریب انبساط حرارتی فولاد}$$

در این مجموعه از حروف بزرگ  $F$  برای بیان حروف تنش های مجاز و از حروف کوچک  $f$  برای بیان تنش های موجود استفاده شده است .

$F_t$  و  $f_t$  : تنش موجود و مجاز کششی

$F_a$  و  $f_a$  : تنش موجود و مجاز فشاری

$F_b$  و  $f_b$  : تنش موجود و مجاز خمشی

$F_v$  و  $f_v$  : تنش موجود و مجاز برشی

تذکر : در این مجموعه هر جا برای روابط و فرمولها واحدی ذکر نشده است پیش فرض مورد نظر  $Kg \cdot cm$  است . یعنی برای طول  $cm$  و برای نیرو  $Kg$  در نظر گرفته شده است .

تذکر : ضوابط ارائه شده از آینه نامه ایران بر اساس مبحث ۱۰ مقررات ملی ساختمانی ایران است و ضوابط مربوط به بارگذاری از مبحث ۶ مقررات ملی ساختمان و آینه نامه طراحی ساختمان ها در برابر زلزله بر اساس استاندارد ۲۸۰۰ ایران ویرایش سوم است . ضوابط ارائه شده  $AISC$  نیز بر اساس آینه نامه سازه های فولادی  $AISC$  است .

۲

## قطعات کششی

(۱-۲) طراحی قطعه کششی :



تنش مجاز ≤ تنش موجود

$$f_t = \frac{T}{A} \leq F_t$$

(۲-۲) تنش مجاز :

(الف) تنش مجاز قطعات کششی با احتساب سطح ناخالص ( $Ag$ ) مگر در مقاطع مفصل ها :

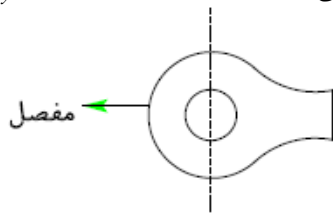
$$F_t = 0.6F_y \quad (\text{بند ۱۰-۱-۴-۱، آیین نامه ایران})$$

(ب) تنش مجاز قطعات کششی با احتساب سطح خالص موثر ( $Ae$ ) آن ها :

$$F_t = 0.5F_u \quad (\text{بند ۱۰-۱-۴-۱، آیین نامه ایران})$$

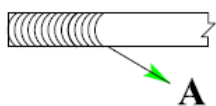
(ج) تنش مجاز در مقاطع مفصل ها :

$$F_t = 0.45F_y \quad (\text{بند ۱۰-۱-۴-۳، آیین نامه ایران})$$



(۵) تنش مجاز میلگرد های رزوه شده با احتساب سطح ناخالص آنها یا در قطر بزرگ :

$$F_t = 0.33F_u \quad (\text{بند ۱۰-۱-۴-۱، آیین نامه ایران})$$

سطح مقطع ناخالص ( $Ag$ ) :

$$Ag = b \cdot t \quad (\text{بند ۱۰-۱-۱-۱-۱، قسمت الف، آیین نامه ایران})$$

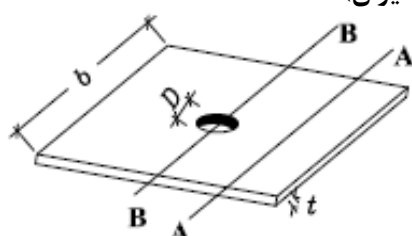
سطح مقطع خالص ( $An$ ) :

$$A_n = (b - D)t \quad (\text{بند ۱۰-۱-۱-۱-۱، قسمت ب، آیین نامه ایران})$$

سطح مقطع موثر ( $Ae$ ) :

$$Ae = U \times An \quad (\text{بند ۱۰-۱-۱-۱-۱-۱، قسمت پ، آیین نامه ایران})$$

D : قطر محاسباتی سوراخ



(3-2) جدول تعیین سطح مقطع موثر  $A_e$ ، برای قطعات کششی، بند ۱۰-۱-۱۱-۱، ایران

شرط لازم	سطح خالص موثر $A_e$	$U$	حداقل تعداد پیچ یا پروژ در امتداد تنش	شرح قطعه
به جز تسمه یا اتصال جوشی (به ردیف های ۶-۷-۸ مراجعه شود)	$A_n$	۱	۱ (یا جوش)	۱- هرگاه کل عناصر قطعه به صفحه اتصال متصل شده باشند.
بند ۱-۵ آیین نامه	$A_n \leq 0.85A_g$	۱	۱	۲- وصله ها یا عناصر اتصال که کششی عمل می کنند (قطعات کوتاه کششی)
$\frac{\text{عرض بال}}{\text{ارتفاع مقطع}} \geq \frac{2}{3}$	$0.9A_n^*$	۰/۹	۳ (یا جوش)	۳- نیمترخ های I و T شکل
	$0.85A_n^*$	۰/۸۵	۳ (یا جوش)	۴- نیمترخ های I و T شکل در صورتی که فاقد شرط بند فوق باشندو سایر نیمترخ ها و نیمترخ های مرکب که دارای سطح مقطعی خارج از سطح اتصال باشند.
	$0.75A_n$	۰/۷۵	۲	۵- کلیه نیمترخ های مذکور در دو بند فوق
$l \geq 2W^{**}$	$A_g$	۱	جوش	۶- تسمه با اتصال جوش طولی در دو لبه و به موازات نیرو
$2W > l \geq 1.5W$	$0.87A_g$	۰/۸۷	جوش	۷- مانند بند ۶
$1.5W > l \geq W$	$0.75A_g$	۰/۷۵	جوش	۸- مانند بند ۶

\* اتصال از طریق بال یا بالهای انجام خواهد شد.

 $W^{**}$  عرض تسمه است و  $l$  طول هر جوش در امتداد طول تسمه است.

تبصره: حداقل تعداد پیچ و پروژ در هر ردیف آن پیچ هایی است که اگر پیچ هایی غیر از آنها برداشته شوند خللی در مساله پدید نمی آید.

## (4-2) روش های تعییه سوراخ:

(الف) روش استاندارد: در این روش به دلیل فشار زیادی که میله مرکزی به صفحه وارد می کند مقداری از مساحت اطراف سوراخ لهیده می شود و به همین دلیل یک قطر محاسباتی در نظر می گیریم.

$$\begin{cases} d = \varphi + 15 \text{ (mm)} \\ D = d + 15 \text{ (mm)} \end{cases}$$

 $D$ : قطر محاسباتی سوراخ $d$ : قطر واقعی سوراخ $\varphi$ : قطر پیچ

**ب) روش برقو:** در این روش پانچ سوراخ را با قطر کمتری از قطر محاسباتی انجام می دهیم و سپس لبه ها را با ابزاری بنام برقو برداشته باشند تا برابر باشد.

$$\left\{ \begin{array}{l} d = \varphi + 15 \text{ (mm)} \\ D = d \end{array} \right.$$

**ج) روش متنه زنی:** از دو روش فوق گرانتر است و اگر ضخامت صفحه زیاد باشد مورد استفاده قرار می گیرد.

$$\left\{ \begin{array}{l} d = \varphi + 15 \text{ (mm)} \\ D = d \end{array} \right.$$

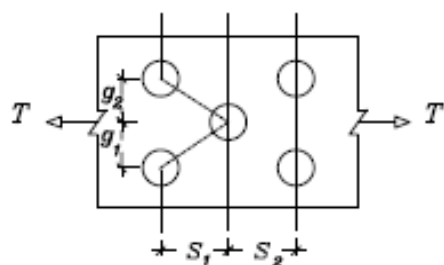
### 2-5) تعیین سطح خالص :

**الف) تعیین سطوح خالص روی مسیرهای قایم:**

$$A_n = A_g - n(D.t)$$

**ب) تعیین سطوح خالص روی مسیرهای مایل:**

$$A_n = A_g - n(D.t) + \sum_{i=1}^j \frac{S_i^2}{4g_i} \times t_i$$



$j$ : تعداد مسیرهای مایل

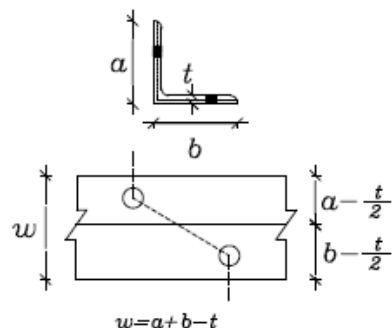
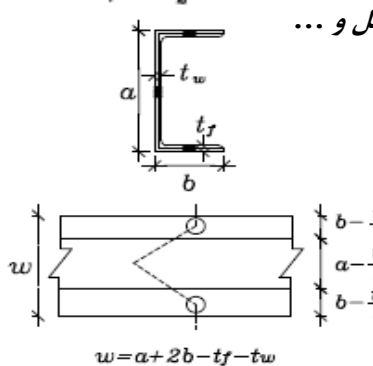
$t_i$ : ضخامت ورق در مسیر مایل

$S_i$ : فاصله افقی دو پیچ در مسیر مایل

$g_i$ : فاصله قائم دو پیچ در مسیر مایل

### 2-6) قسمه معادل :

عبارت است از خط میانی (میانتار) در پروفیل های نسبی، ناوданی و یا I شکل و ...



### 2-7) کنترل صلبیت در قطعات کششی :

در طرح قطعات کششی باید ضابطه صلبیت با توجه به مطالب زیر معین شود:

**الف) در قطعات کششی (قطعات اصلی و فرعی)** نسبت طول آزاد قطعه به شعاع ژیراسیون حداقل مقطع نباید از ۳۰۰ تجاوز کند.

**تذکر:** قطعه اصلی قطعه ای است که در طول عمر سازه همواره تحت تنفس باشد و خرابی آن منجر به خرابی سازه شود. قطعه فرعی قطعه ای است که در موارد خاص به تنفس می افتد و خرابی آنها بلا فاصله منجر به خرابی سازه نمی شود.

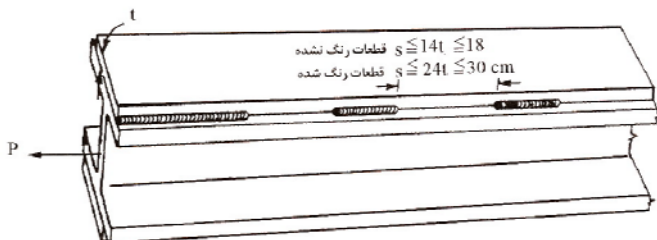
$$\frac{L}{r_{min}} \leq 300 \quad (\text{بند ۱-۴-۲، آیین نامه ایران})$$

- ب) برای قطعات کششی به صورت میلگرد خاباطه ای جهت صلبیت تعریف نشده است .
- ج) در قطعات مرکب در هر صورت نسبت فاصله آزاد هر نیمرخ از قطعه به شعاع ژیراسیون حداقل همان نیمرخ باید از ۳۰۰ تجاوز کند . (بند ۱۰-۱-۴-۲، آیین نامه ایران )

### 2-8(قطعات کششی مرکب :

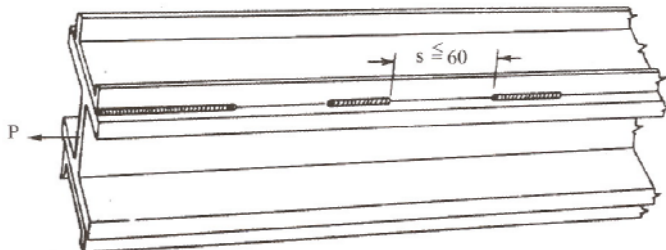
الف) هر گاه قطعه از یک تسمه و یک نیمرخ تشکیل شده باشد :

(بند ۱۰-۱-۴-۲، ایران)



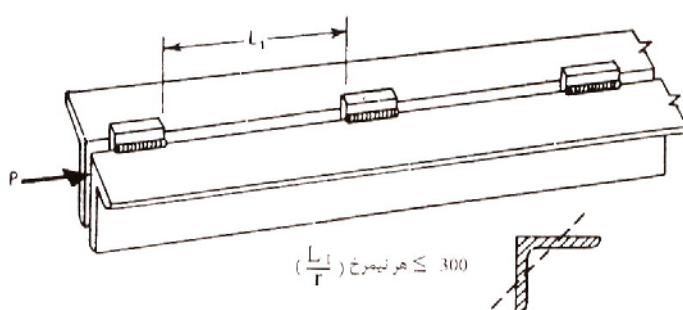
ب) هر گاه قطعه از ترکیب دو نیمرخ تشکیل شده باشد :

(بند ۱۰-۱-۴-۲، ایران)



ج) هر گاه در تشکیل قطعه از لقمه استفاده شده باشد :

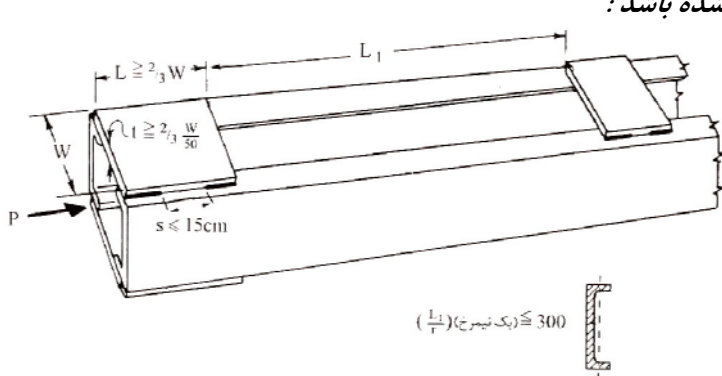
(بند ۱۰-۱-۴-۲، ایران)



$$\text{عمود بر نیمساز} \quad r_{\min} = r_tk$$

ه) هر گاه در اتصال نیمرخ های قطعه از تسمه استفاده شده باشد :

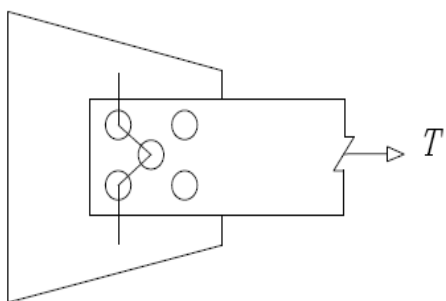
(بند ۱۰-۱-۴-۲، ایران)



محاسبه  $A_n$  در صورتیکه مسیر مورد بررسی تحت اثر کل نیرو نباشد :

اگر به شکل صفحه بعد توجه کنید در مسیر مورد بررسی کل نیرو وارد نمی شود.

بلکه ضریبی ( $k$ ) از نیرو وارد می شود و داریم:



$$K = \frac{\text{تعداد سوراخ های رد شده} - \text{تعداد کل سوراخ ها}}{\text{تعداد کل سوراخ ها}}$$

$$Ae(0.5 \cdot F_u) \geq K \cdot T \quad : \text{ضابطه}$$

به جای ضابطه اولیه شده می توان ضریب بالا را به صورت معکوس در  $A_n$  مسیرهایی که تحت اثر کل نیرو نیستند خرب کرد.

## 2-9) مراحل محاسبه ظرفیت کششی مقطع:

$$1) \text{ محاسبه سطح ناخالص } A_g$$

$$2) \text{ محاسبه سطح خالص } A_n \text{ که داریم:}$$

$$An = \text{Min}(An_i)$$

$$3) \text{ محاسبه سطح خالص موثر } A_e :$$

$$Ae = U \cdot An$$

$$4) \text{ محاسبه } T :$$

$$T = \min \begin{cases} 0.6F_y \times A_g \\ 0.5F_u \times A_e \end{cases}$$

۵) کنترل صلبیت.

## 2-10) مراحل طراحی مقطع کششی:

$$1) \text{ محاسبه سطح ناخالص لازم } A_g : \frac{T}{0.6 \cdot F_y} \longrightarrow \text{انتخاب پروفیل}$$

$$2) \text{ محاسبه } A_n \text{ و } A_e \text{ لازم:}$$

$$Ae \geq \frac{T}{0.5 \cdot F_u}$$

$$3) \text{ محاسبه } r_{\min} \text{ لازم:}$$

$$r_{\min} \geq \frac{L}{300} \longrightarrow \text{برای قطعات اصلی و فرعی}$$

$$4) \text{ کنترل } A_e \text{ و } r_{\min} :$$

$$(A_e \geq A_{\min}) \text{ لازم موجود}$$

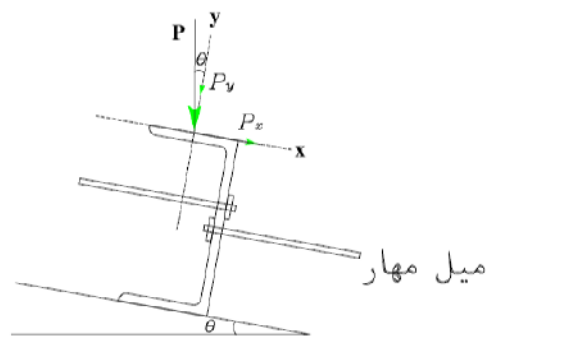
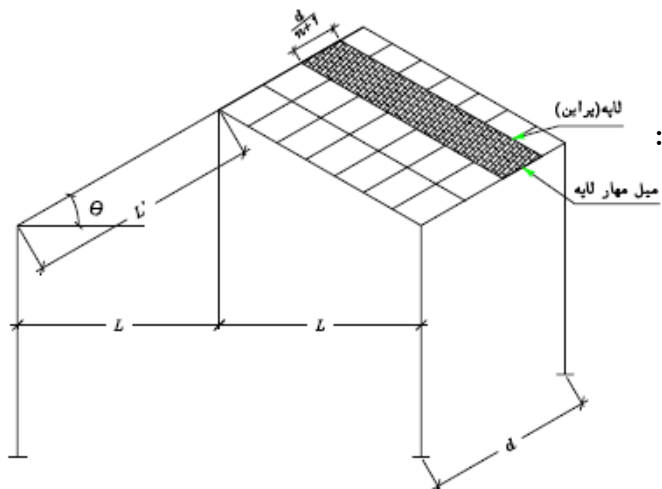
$$(r_{\min} \geq r_{\min}) \text{ لازم موجود}$$

## (11-2) طراحی میلگردهای کششی:

$$F_t = 0.33F_u \longrightarrow A \geq \frac{T}{F_t} \longrightarrow A \geq \frac{\pi D^2}{4}$$

با توجه به سه معادله بالا می توان  $D$  (قطر میلگرد) را محاسبه کرد.

نکته: حداقل قطر میلگرد به جهت امکان رزوه  $10\text{ mm}$  یا  $10\text{ mm}$  می باشد.



$$L = L' \cos \theta \quad , \quad qL = q'L'$$

$n$ : تعداد ردیف میل مهار در فاصله بین دو قاب

$$\text{افقی مایل} = q'_1 \left( \frac{Kg}{m^2} \right) \quad \text{وزن پوشش}$$

$d$ : فواصل خربیا یا تیرهای اصلی

$2L$ : دهانه پوشش

$$\text{افقی مایل} = q'_2 \left( \frac{Kg}{m^2} \right) \quad \text{بار برف}$$

$\frac{d}{n+1}$ : عرض بارگیر هر میلگرد

$q_i$ : شدت بار افقی

$q'_i$ : شدت بار مایل

$$\begin{aligned} \text{شدت بار} &= \begin{cases} q' = q'_1 + q'_2 \left( \frac{Kg}{m^2} \right) \\ q = q_1 + q_2 \left( \frac{Kg}{m^2} \right) \end{cases} \longrightarrow \text{بار قائم} = \begin{cases} P = q'.L'.\frac{d}{n+1} (Kg) \\ P = q.L.\frac{d}{n+1} (Kg) \end{cases} \end{aligned}$$

$$\Rightarrow T = P_x = PSin\theta \longrightarrow A = \frac{\pi D^2}{4} \geq \frac{T}{0.33F_u} \longrightarrow D \geq \dots \dots$$

## ۳

## قطعات فشاری

$$P_{cr} = \frac{\pi^2 \cdot E \cdot I}{Le^2}$$

بار بحرانی (اولر) برای ستونی که دو سر مفصل باشد به صورت روبرو است:

$I$  : ممان اینرسی عضو فشاری

$L_e$  : طول موثر عضو فشاری

$P_{cr}$  : بار بحرانی

$E$  : مدول الاستیسیته عضو فشاری

## (1-3) محاسبه تنش بحرانی:

$$F_{cr} = \frac{\pi^2 \cdot E}{\lambda^2}$$

$$\lambda = \frac{KL}{r} = \frac{Le}{r}$$

$L$  : طول آزاد عضو فشاری

$\lambda$  : ضریب لاغری عضو فشاری

$r$  : شعاع ژیراسیون عضو فشاری

$K$  : ضریب طول موثر

$$\lambda_{cr} = C_c = \sqrt{\frac{2\pi^2 \cdot E}{F_y}} = \frac{6440}{\sqrt{F_y}}$$

(بند ۱-۱۰، ۵-۲، قسمت الف، ایران)

## (2-3) تعیین نوع کمانش:

$\begin{cases} \text{اگر} & \lambda \geq C_c \\ \text{اگر} & \lambda < C_c \end{cases}$	$\longrightarrow$	کمانش ارتجاعی	$\longrightarrow$	$F_{cr} = \frac{\pi^2 \cdot E}{\lambda^2}$
				$F_{cr} = \left(1 - \frac{\lambda^2}{2C_c^2}\right) F_y$

(3-3) تنش مجاز: (بند ۱-۱۰، ۵-۲، آیین نامه ایران)

## (الف) کمانش ارتجاعی:

$$F = \frac{F_{cr}}{F \cdot S} = \frac{12}{23} \cdot \frac{\pi^2 \cdot E}{\lambda^2} = \frac{105 \times 10^5}{\lambda^2}$$

(رابطه ۱-۵-۲ آیین نامه ایران)

## (ب) کمانش غیر ارتجاعی:

$$F_a = \frac{F_{cr}}{F \cdot S} = \frac{(1 - 0.5\beta^2)F_y}{F \cdot S}, \quad \beta = \frac{KL/r}{C_c}, \quad F \cdot S = 1.67 + 0.375\beta - 0.125\beta^3$$

$$F_a = \frac{\left(1 - \frac{\lambda^2}{2C_c^2}\right) \cdot F_y}{\frac{5}{3} + \frac{3}{8}\frac{\lambda}{C_c} - \frac{1}{8}\frac{\lambda^3}{C_c^3}}$$

(رابطه ۱-۵-۱ آیین نامه ایران)

نکته: تنش مجاز قطعات فشاری درجه دوم (فرعی):

$\begin{cases} \text{اگر} & \lambda \geq 120 \\ \text{اگر} & \lambda < 120 \end{cases}$	$F_{as} = \frac{F_a}{\frac{1.6 - \lambda}{200}}$	(AISC ۳-۵-۱)
		(AISC ۳-۱-۵-۱)

نکته: ضریب لاغری حداقل قطعات فشاری (اصلی و فرعی) محدود به عدد ۲۰۰ می‌باشد. (بند ۱-۱۰، ۸-۱ آیین نامه ایران)

(4-3) جدول تعیین  $F_a$  بر حسب  $F_y = 2333 \text{ bar}$ 

(جدول تعیین تنش مجاز بر حسب لاغری ، ضمیمه A ، AISC)

$\lambda = \frac{KL}{r} > \left[ C_c = \sqrt{\frac{2\pi^2 E}{F_y}} \right]$	$\lambda = \frac{KL}{r} < \left[ C_c = \sqrt{\frac{2\pi^2 E}{F_y}} \right]$										
$F_a = \frac{12}{23} \frac{\pi^2 E}{\lambda^2}$	$F_a = \frac{\left(1 - \frac{\lambda^2}{2C_c^2}\right) F_y}{\frac{5}{3} + \frac{3\lambda}{8C_c} - \frac{\lambda^3}{8C_c^3}}$										
$\lambda$	0	1	2	3	4	5	6	7	8	9	$\lambda$
0	1400	1398	1395	1393	1390	1387	1385	1382	1379	1376	0
10	1373	1370	1367	1364	1361	1357	1354	1351	1347	1343	10
20	1339	1335	1332	1328	1324	1320	1316	1312	1308	1304	20
30	1300	1296	1291	1287	1283	1278	1274	1269	1264	1260	30
40	1255	1250	1245	1240	1235	1230	1225	1220	1215	1210	40
50	1205	1199	1194	1189	1183	1178	1172	1167	1161	1155	50
60	1150	1144	1138	1132	1126	1120	1114	1108	1102	1096	60
70	1090	1084	1078	1072	1065	1059	1053	1046	1040	1033	70
80	1026	1019	1013	1006	999	992	986	979	972	965	80
90	957	950	943	936	929	922	914	907	900	892	90
100	885	877	869	862	854	846	839	831	823	815	100
110	807	799	791	783	775	767	759	750	742	734	110
120	638	717	709	700	692	683	674	665	656	648	120
		721	716	710	705	700	695	689	684	679	
130	638	629	620	611	602	593	585	576	568	560	130
	672	666	660	654	648	641	635	630	624	618	
140	552	544	536	529	521	514	507	500	494	487	140
	613	608	603	598	593	588	583	579	574	570	
150	481	474	468	462	456	450	444	439	433	428	150
	565	561	557	553	549	546	542	538	535	531	
160	422	417	412	407	402	397	392	388	383	379	160
	528	525	522	518	515	513	510	507	504	501	
170	374	370	366	361	357	353	349	345	341	337	170
	499	496	494	492	489	487	485	483	481	479	
180	334	330	326	323	319	316	313	309	306	303	180
	477	475	473	471	470	468	467	465	465	462	
190	300	296	293	290	287	284	281	279	276	273	190
	461	460	458	457	456	455	454	453	452	451	
200	270										200
	451										

به ازای  $\lambda \geq 120$  دو عدد به عنوان تنش مجاز حداکثر ذکر شده : عدد اول که بالای عدد دوم قرار دارد ، تنش مجاز در قطعات فشاریدرجه اول و عدد دوم که حاصل تقسیم عدد اول در ضریب  $1.6 - \frac{\lambda}{120}$  است تنش مجاز قطعات فشاری درجه دوم نظیر بادبنده است .

(AISC, A) :  $F_y = 3600 \text{ bar}$ ,  $F_y = 2400 \text{ bar}$ ,  $F_a = 5-3$  جدول تعیین  $F_a$  بر حسب

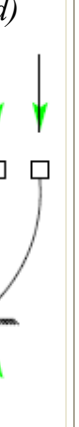
	$\frac{KL}{r}$	$F_a$													
1	41	1841	81	1329	121	719	161	406	42	1272	82	1019	121	695	161
2	42	1830	82	1314	122	707	162	401	3	1432	43	1267	83	686	162
3	43	1819	83	1298	123	695	163	396	4	1429	44	1262	84	677	163
4	44	1808	84	1283	124	684	164	391	5	1426	45	1256	85	667	164
5	45	1797	85	1268	125	673	165	386	6	1423	46	1251	86	658	165
6	46	1786	86	1252	126	663	166	382	7	1420	47	1245	87	648	166
7	47	1775	87	1237	127	652	167	377	8	1417	48	1240	88	638	167
8	48	1764	88	1221	128	642	168	373	9	1414	49	1234	89	629	168
9	49	1753	89	1205	129	632	169	368	10	1411	50	1228	90	626	169
10	50	1741	90	1189	130	623	170	364	11	1408	51	1223	91	623	170
11	51	1729	91	1173	131	613	171	360	12	1404	52	1217	92	613	171
12	52	1718	92	1157	132	604	172	356	13	1401	53	1211	93	604	172
13	53	1706	93	1140	133	595	173	352	14	1397	54	1205	94	595	173
14	54	1694	94	1124	134	586	173	348	15	1394	55	1199	95	586	173
15	55	1682	95	1107	135	577	175	346	16	1390	56	1193	96	577	175
16	56	1669	96	1090	136	569	176	340	17	1386	57	1187	97	569	176
17	57	1658	97	1074	137	561	177	336	18	1382	58	1181	98	561	177
18	58	1645	98	1057	138	553	178	332	19	1379	59	1175	99	553	178
19	59	1632	99	1040	139	545	179	328	20	1375	60	1168	100	545	179
20	60	1620	100	1022	140	537	180	325	21	1371	61	1162	101	537	180
21	61	1607	101	1005	141	529	181	321	22	1367	62	1156	102	529	181
22	62	1594	102	987	142	522	182	318	23	1362	63	1149	103	522	182
23	63	1581	103	970	143	515	183	314	24	1358	64	1143	104	515	183
24	64	1568	104	952	144	507	184	311	25	1354	65	1137	105	507	184
25	65	1555	105	945	145	500	185	307	26	1350	66	1130	106	500	185
26	66	1541	106	936	146	494	186	304	27	1345	67	1123	107	494	186
27	67	1528	107	919	147	487	187	301	28	1341	68	1117	108	487	187
28	68	1514	108	902	148	480	188	298	29	1336	69	1110	109	480	188
29	69	1501	109	886	149	474	189	295	30	1332	70	1103	110	474	189
30	70	1487	110	869	150	468	190	291	31	1327	71	1097	111	468	190
31	71	1473	111	854	151	461	191	288	32	1322	72	1090	112	461	191
32	72	1459	112	839	152	455	192	285	33	1318	73	1083	113	455	192
33	73	1445	113	824	153	449	193	283	34	1313	74	1076	114	449	193
34	74	1431	114	810	154	444	194	280	35	1308	75	1069	115	444	194
35	75	1417	115	804	155	438	195	277	36	1303	76	1062	116	438	195
36	76	1402	116	782	156	432	196	274	37	1298	77	1055	117	432	196
37	77	1388	117	769	157	427	197	271	38	1293	78	1048	118	427	197
38	78	1373	118	756	158	422	198	268	39	1288	79	1041	119	422	198
39	79	1359	119	743	159	416	199	266	40	1281	80	1034	120	416	199
40	80	1344	120	731	160	411	200	263		1283	80	1034	120	411	200

	$\frac{KL}{r}$	$F_a$													
1	41	1841	81	1329	121	719	161	406	42	1272	82	1019	122	695	162
2	42	1830	82	1314	122	707	162	401	3	1432	43	1267	83	686	163
3	43	1819	83	1298	123	695	163	396	4	1429	44	1262	84	677	164
4	44	1808	84	1283	124	684	164	391	5	1426	45	1256	85	667	165
5	45	1797	85	1268	125	673	165	386	6	1423	46	1251	86	658	166
6	46	1786	86	1252	126	663	166	382	7	1420	47	1245	87	648	166
7	47	1775	87	1237	127	652	167	377	8	1417	48	1240	88	638	167
8	48	1764	88	1221	128	642	168	373	9	1414	49	1234	89	629	168
9	49	1753	89	1205	129	632	169	368	10	1411	50	1228	90	626	169
10	50	1741	90	1189	130	623	170	364	11	1408	51	1223	91	623	170
11	51	1729	91	1173	131	613	171	360	12	1404	52	1217	92	613	171
12	52	1718	92	1157	132	604	172	356	13	1401	53	1211	93	604	172
13	53	1706	93	1140	133	595	173	352	14	1397	54	1205	94	595	173
14	54	1694	94	1124	134	586	173	348	15	1394	55	1199	95	586	173
15	55	1682	95	1107	135	577	175	346	16	1390	56	1193	96	577	175
16	56	1669	96	1090	136	569	176	340	17	1386	57	1187	97	569	176
17	57	1658	97	1074	137	561	177	336	18	1382	58	1181	98	561	177
18	58	1645	98	1057	138	553	178	332	19	1379	59	1175	99	553	178
19	59	1632	99	1040	139	545	179	328	20	1375	60	1168	100	545	179
20	60	1620	100	1022	140	537	180	325	21	1371	61	1162	101	537	180
21	61	1607	101	1005	141	529	181	321	22	1367	62	1156	102	529	181
22	62	1594	102	987	142	522	182	318	23	1362	63	1149	103	522	182
23	63	1581	103	970	143	515	183	314	24	1358	64	1143	104	515	183
24	64	1568	104	952	144	507	184	311	25	1354	65	1137	105	507	184
25	65	1555	105	945	145	500	185	307	26	1350	66	1130	106	500	185
26	66	1541	106	936	146	494	186	304	27	1345	67	1123	107	494	186
27	67	1528	107	919	147	487	187	301	28	1341	68	1117	108	487	187
28	68	1514	108	902	148	480	188	298	29	1336	69	1110	109	480	188
29	69	1501	109	886	149	474	189	295	30	1332	70	1103	110	474	189
30	70	1487	110	869	150	468	190	291	31	1327	71	1097	111	468	190
31	71	1473	111	854	151	461	191	288	32	1322	72	1090	112	461	191
32	72	1459	112	839	152	455	192	285	33	1318	73	1083	113	455	192
33	73	1445	113	824	153	449	193	283	34	1313	74	1076	114	449	193
34	74	1431	114	810	154	444	194	280	35	1308	75	1069	115	444	194
35	75	1417	115	804	155	438	195	277	36						

## (AISC 8-1) تعیین ضریب طول موئثر (K): (بخش ۱-۸)

**الف)** هرگاه دو سر قطعه فشاری به گره صلب ختم نشود مقدار  $K$  از جدول زیر محاسبه می شود:

(AISC 1-8-1 - C) جدول C

شکل کمانش ستون به وسیله خط چین نشان داده شده است	(a)	(b)	(c)	(d)	(e)	(f)
						
<b>مقداری نظری <math>K</math></b>	0,5	0,7	1,0	1,0	0,2	2,0
<b>مقداری توصیه شده برای طراحی</b>	0,65	0,80	1,0	1,2	2,1	2,0
<b>شرایط انتهایی</b>	جرخش گیر دار جرخش آزاد جرخش گیردار جرخش	بدون انتقال بدون انتقال انتقال آزاد انتقال آزاد				

## (AISC 8-1) (ب) ضریب طول موئثر قاب ها :

۱) کمانش ستون ارجاعی باشد:

در این حالت با استفاده از روابط داده شده و با توجه به وضعیت مهاری قاب ها از نمودار ژولیان و لورنس مقدار ضریب طول موئثر ( $K$ ) قابل محاسبه است:

$$G_T = \left[ \frac{\sum \frac{I_c}{L_c}}{\sum \frac{I_b}{L_b}} \right], \quad G_B = \left[ \frac{\sum \frac{I_c}{L_c}}{\sum \frac{I_b}{L_b}} \right]$$

$G_T$  : رابطه مربوط به گره بالایی  $G_B$  : رابطه مربوط به گره پایینی

$\frac{I}{L}$  : مجموع کلیه ستون های متصل به گره مورد نظر در صفحه قاب

$\frac{I}{L}$  : مجموع کلیه تیر های متصل به گره مورد نظر در صفحه قاب

۲) کمانش ستونی غیر ارجاعی باشد:

اگر کمانش غیر ارجاعی با  $C_c \leq \lambda$  در این صورت مقدار  $G_T$ ,  $G_B$  با روابط زیر تصحیح می شود:

$G' = G \cdot F_a$  . قدیم (G) اصلاح شده (G')

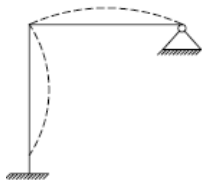
$$F_e' = \frac{12}{23} \cdot \frac{\pi^2 \cdot E}{\lambda^2}$$

: همان  $G_B$  با  $G_T$  در حالت ارتجاعی است .  
 $F_a$  : تنش مجاز در حالت غیر ارتجاعی است .  
 $F_e'$  : تنش مجاز اولر

نکته ۱ : مقدار  $G$  تکیه گاه گیردار  $= I$  و برای تکیه گاه مفصلی ستون ها  $G = 10$  است .

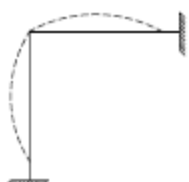
نکته ۲ : در استفاده از نمودار ژولیان و لورنس باید به این نکته توجه داشت که گره انتهایی تیرها صلب باشد . اگر گره انتهایی تیر یک گره صلب نباشد در این صورت  $\sum \frac{I_b}{L_b}$  در ضرایب زیر ضرب می شود :

الف) ستون عضوی از قاب بدون جابجایی و انتهایی تیر مفصل باشد در این صورت :



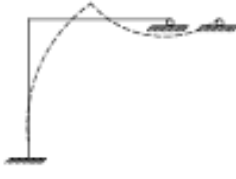
$$\longrightarrow 1.5 \times \left[ \frac{I}{L} \right]_b$$

ب) ستون عضوی از قاب بدون جابجایی و انتهایی تیر گیردار باشد در این صورت :



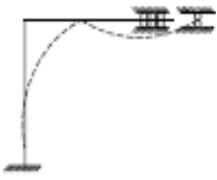
$$\longrightarrow 2 \times \left[ \frac{I}{L} \right]_b$$

ج) ستون عضوی از قاب با جابجایی و انتهایی تیر مفصل باشد در این صورت :



$$\longrightarrow 0.5 \times \left[ \frac{I}{L} \right]_b$$

د) ستون عضوی از قاب با جابجایی و انتهایی تیر گیردار باشد در این صورت :



$$\longrightarrow 0.67 \times \left[ \frac{I}{L} \right]_b$$

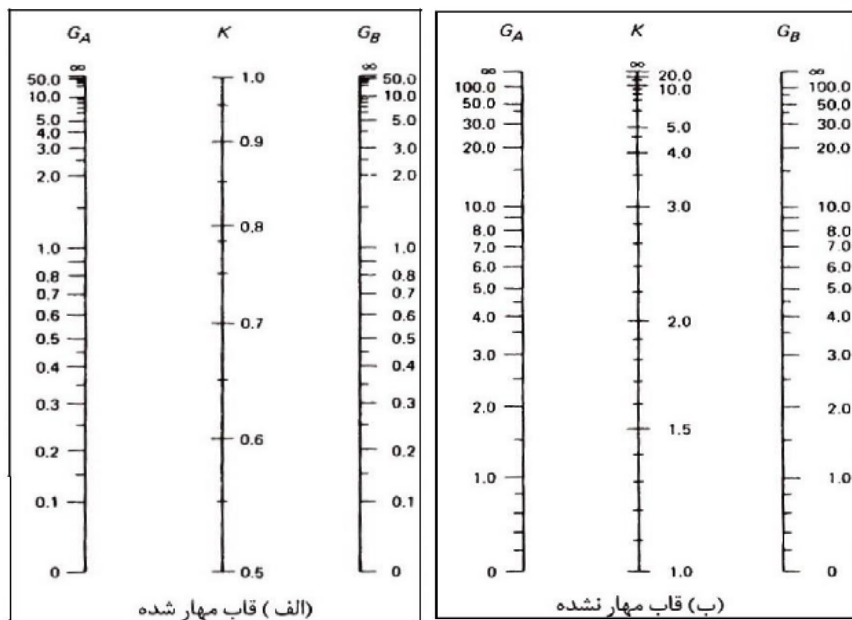
### (7-3) نمودار ژولیان و لورنس :

نکته ۱ : هر چه مقدار  $G$  افزایش یابد مقدار  $K$  نیز زیاد می شود ; در حالت مهار شده  $1 \leq K \leq 0.5$  است و در قاب مهار نشده  $< K < 1$  است .

نکته ۲ :  $G_B$  ،  $G_T$  ربطی به مهار شدگی و مهار نشیدگی ندارند و چه قاب مهار شود یا نشود با همان  $G_B$  و  $G_T$  ،  $K$  را تعیین می کنیم .

در صورت نیاز به ضرایب اصلاح  $I$  تیرها ( بدلیل شرایط غیر صلب بودن تکیه گاه دو تیر ) ضرایب اصلاح متناسب با نوع قاب مهار شده یا نشده ، متفاوت بوده و لازم است در ضریب  $G$  اعمال گردد . ( توضیحات همین صفحه )

(AISC, 2-8-1-c) شکل



## 3-8) مراحل گام به گام طراحی ستون ها:

مرحله ۱: فرض می کنیم در مرحله اول  $F_a = 1000 \text{ bar}$  باشد.

مرحله ۲: تعیین سطح مقطع :

مرحله ۳: با توجه به سطح مقطع بدست آمده مناسب ترین پروفیل را انتخاب می کنیم.

مرحله ۴: با توجه به پروفیل مورد نظر و مشخصات آن شامل  $l_x, l_y, r_x, r_y, k_x, k_y$  داریم:

$$\begin{cases} \lambda_x = \frac{K_x \cdot L_x}{r_x} \\ \lambda_y = \frac{K_y \cdot L_y}{r_y} \end{cases}$$

$$\lambda_{\max} = \max\{\lambda_x, \lambda_y\}$$

مرحله ۵: تعیین  $\lambda_{\max}$  با توجه به  $\lambda_x, \lambda_y$  یعنی داریم که :

مرحله ۶: با توجه به  $F_a$ ,  $\lambda_{\max}$  را مجدداً حساب می کنیم:

مرحله ۷: میزان تنفس فشاری ستون را محاسبه می کنیم:

مرحله ۸:

الف) اگر  $f_a \leq F_a$  و در آن صورت طراحی پایان می یابد. (البته طرح بایستی اقتصادی باشد).

ب) اگر  $f_a > F_a$  باشد در این صورت نمره پروفیل افزایش می یابد و محاسبات را از گام ۴ مجدداً تکرار می کنیم.

نکته: اگر  $f_a < F_a$  باشد نمره پروفیل کاهش یافته و محاسبات را تکرار می کنیم.

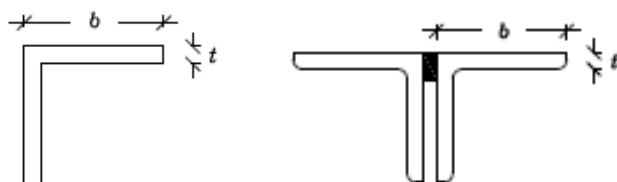
## 3-9) کمانش موضعی:

فرض کنید پروفیلی با ترکیبی از پروفیل ها تشکیل دهنده عضو فشاری باشند. اگر روابط مربوط به کمانش موضعی برقرار نباشد باید میزان  $F_a$  بر اساس ضریب های  $Q_s, Q_a$  یعنی ضرایب تقلیل تنفس برای عناصر تقویت شده و تقویت نشده تغییر کند (کاهش یابد). در کمانش موضعی تلاش ما براین است که با کاهش تنفس مؤثر از کمانش قسمتی از ستون جلوگیری کنیم.

## 10-3) انواع قطعات فشاری:

(الف) عناصر تقویت نشده: (ضمیمه C AISC, C)

نوع ۱: قطعات تشکیل شده از زنجیرهای با زوج نبشی های مجزا از هم:



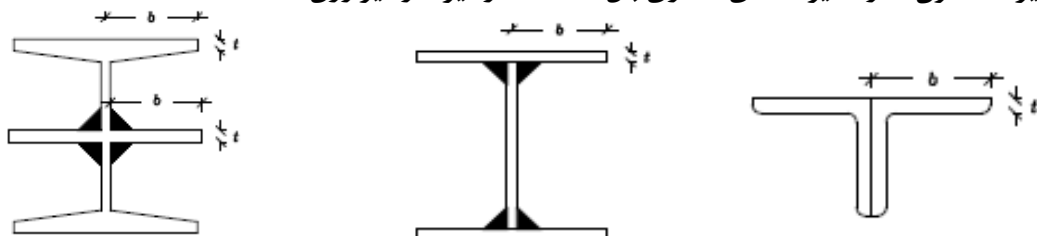
اگر  $\frac{b}{t} \leq \frac{637}{\sqrt{F_y}}$   $\longrightarrow Q_s = 1$  (AISC, 1-9)

اگر  $\frac{637}{\sqrt{F_y}} < \frac{b}{t} < \frac{1300}{\sqrt{F_y}}$   $\longrightarrow Q_s = 1.34 - 0.000533 \left( \frac{b}{t} \right) \sqrt{F_y}$  (رابطه ۱ AISC, C 2-1)

اگر  $\frac{b}{t} \geq \frac{1300}{\sqrt{F_y}}$   $\longrightarrow Q_s = \frac{108950}{F_y \left( \frac{b}{t} \right)^2}$  (رابطه ۲ AISC, C 2-2)

نکته: اگر مقطعی از چند ورق با  $b$  متغیر ساخته شده باشد، تک تک  $Q_s$  ها را حساب کرده و  $\min$  آنها را در نظر می گیریم.

نوع ۲: قطعات فشاری تشکیل شده از دو نبشی به هم چسبیده و یا دو پروفیل به هم چسبیده، صفحات بیرون زده از شاهتیرها ستون ها و سایر اعضای فشاری بال تحت فشار تیرها و تیر ورق ها:

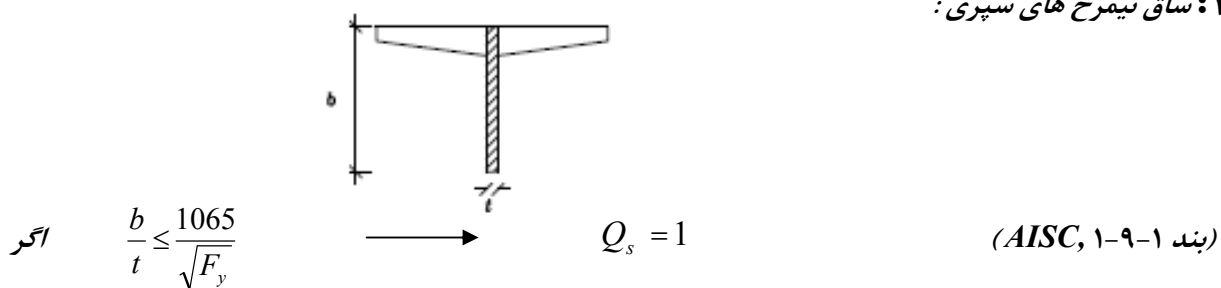


اگر  $\frac{b}{t} \leq \frac{797}{\sqrt{F_y}}$   $\longrightarrow Q_s = 1$  (AISC, 1-9-1)

اگر  $\frac{797}{\sqrt{F_y}} < \frac{b}{t} < \frac{1476}{\sqrt{F_y}}$   $\longrightarrow Q_s = 1.415 - 0.000521 \left( \frac{b}{t} \right) \sqrt{F_y}$  (رابطه ۳ AISC, C 2-3)

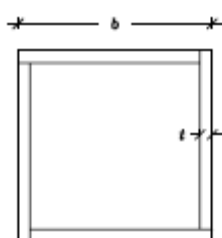
اگر  $\frac{b}{t} \geq \frac{1476}{\sqrt{F_y}}$   $\longrightarrow Q_s = \frac{1406000}{F_y \left( \frac{b}{t} \right)^2}$  (رابطه ۴ AISC, C 2-4)

نوع ۳: ساق نیميخهای سپری:



اگر  $\frac{1065}{\sqrt{F_y}} < \frac{b}{t} < \frac{1476}{\sqrt{F_y}}$   $\longrightarrow Q_s = 1.908 - 0.000853 \left( \frac{b}{t} \right) \sqrt{F_y}$  (رابطه AISCC 2-5)

اگر  $\frac{b}{t} \geq \frac{1476}{\sqrt{F_y}}$   $\longrightarrow Q_s = \frac{1406000}{F_y \left( \frac{b}{t} \right)^2}$  (رابطه AISCC 2-6)



ب) عناصر تقویت شده: (ضمیمه C AISCC)

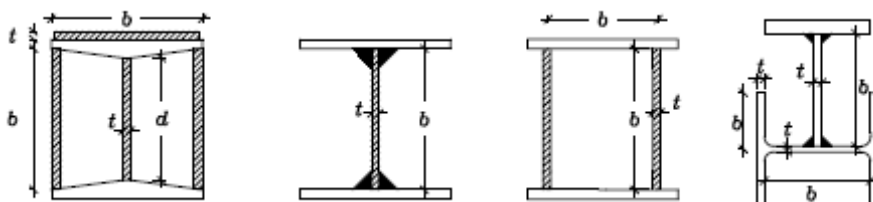
نوع ۱: برای بال قوطی های مربع و مستطیل شکل و با ضخامت یکنواخت:

اگر  $\frac{b}{t} \leq \frac{1995}{\sqrt{F_y}}$   $\longrightarrow Q_a = 1 \rightarrow b_e = b$  (بند ۱-۹-۱ AISCC)

اگر  $\frac{b}{t} > \frac{1995}{\sqrt{F_y}}$   $\longrightarrow Q_a \neq 1 \rightarrow b_e = \frac{2121}{\sqrt{f}} t \left[ 1 - \frac{422}{\left( \frac{b}{t} \right) \sqrt{f}} \right] \leq b$  (رابطه AISCC 3-1)

$$f = f_a \leq Q_s \cdot F_a$$

نوع ۲: برای هر عضو تقویت شده‌ای که تحت فشار یکنواخت قرار داشته باشد:



اگر  $\frac{b}{t} \leq \frac{2121}{\sqrt{F_y}}$   $\longrightarrow Q_a = 1 \rightarrow b_e = b$  (بند ۱-۹-۱ AISCC)

اگر  $\frac{b}{t} > \frac{2121}{\sqrt{F_y}}$   $\longrightarrow Q_a \neq 1 \rightarrow b_e = \frac{2121}{\sqrt{f}} t \left[ 1 - \frac{371}{\left( \frac{b}{t} \right) \sqrt{f}} \right] \leq b$  (رابطه AISCC 3-2)

$$f = f_a \leq Q_s \cdot F_a$$

نوع ۳: برای صفحات یکسره‌ای که چند نیمیرخ را به هم وصل می‌کنند و در آنها سوراخهای متنابض برای دسترسی به داخل نیمیرخ‌های متصل به آنها ایجاد شده است رابطه  $\frac{b}{t} \leq \frac{2658}{\sqrt{F_y}}$  باید برقرار باشد. (بند ۱-۹-۲ AISCC)

نوع ۴: در مورد نیمیرخ‌هایی با مقطع دور، که تحت فشار محوری قرار دارند، در صورتی تمام سطح مقطع موئثر تلقی خواهد شد که نسبت قطر خارجی نیمیرخ به ضخامت جدار آن در رابطه زیر صدق می‌کند.

$\frac{b}{t} \leq \frac{231990}{\sqrt{F_y}}$  (بند ۱-۹-۲ AISCC)

## (11-3) مراحل گام به گام طراحی ستون‌ها در صورت وجود کمانش موضعی:

مرحله ۱: ابتدا ستون را بر اساس حالت بدون وجود کمانش موضعی طرح می‌کنیم ( $F_a$  را می‌یابیم).

مرحله ۲: سپس مقدار  $Q_s$  را از کنترل عناصر تقویت نشده محاسبه می‌کنیم.

مرحله ۳: از رابطه  $f = f_a \leq Q_s \cdot F_a$  برای  $f$  مقداری را فرض می‌کنیم.

مرحله ۴: مقدار  $b$  را برای عناصر تقویت شده محاسبه می‌کنیم.

مرحله ۵: مقدار  $A_e$  سطح موئثر را می‌یابیم:

$$A_e = A_g - \sum (b - b_e) \cdot t$$

(بخش C ۴ AISCC)

مرحله ۶: محاسبه  $Q_a$  داریم:

$$Q = Q_s \cdot Q_a$$

مرحله ۷: محاسبه  $Q$  که داریم:

: داریم

$C_C$  محاسبه

:

Λ

مرحله

$$C_C = \sqrt{\frac{2\pi^2 \cdot E}{Q \cdot F_y}} = \frac{6440}{\sqrt{Q \cdot F_y}}$$

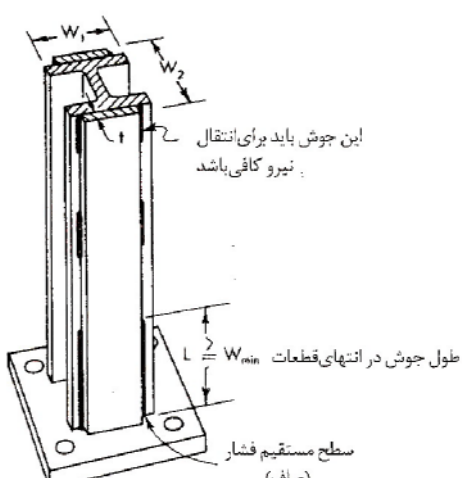
مرحله ۹: محاسبه مجدد  $F_a$  با توجه به  $C_C$

$$F_a = \frac{Q \cdot F_y}{F.S} \left[ 1 - \frac{\lambda^2}{2C_C^2} \right] \quad \leftarrow \text{در حالت غیر ارجاعی}$$

(AISC, C 5-1 رابطه)

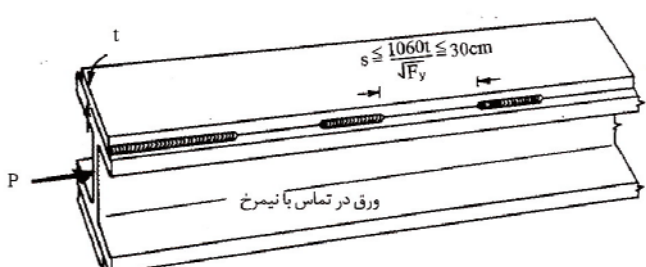
مرحله ۱۰: کنترل  $f_a \leq F_a$

اگر تفاوت آمده با مقدار حدی در نظر گرفته شده زیاد باشد مقدار  $F_a$  جدید را به عنوان  $f$  در نظر گرفته و از مرحله ۴ به بعد عملیات را دوباره تکرار می‌کنیم.



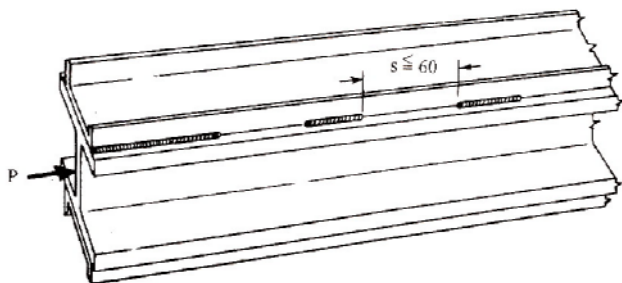
## (12-3) قطعات فشاری مركب: (بند ۱-۱۰-۴-۵-۴ آبین نامه ایران)

الف) هر گاه اتصال انتهای نیمیرخ‌ها در قطعه فشاری مطرح باشد باید مطابق شکل عمل شود:

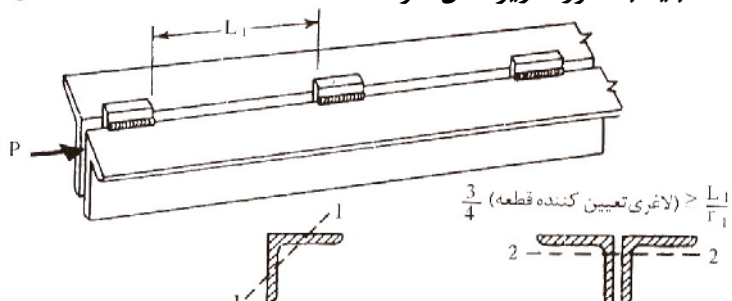


ب) اگر اتصال ورق و نیمیرخ در طول قطعه مطرح باشد:

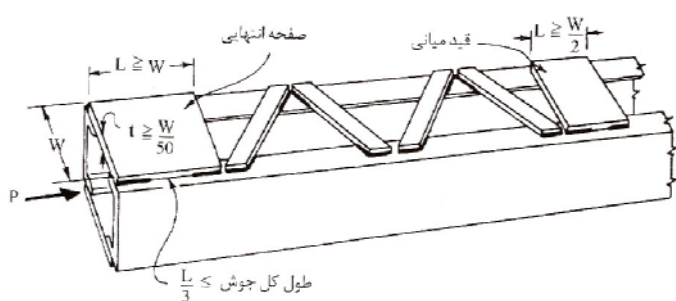
ج) اگر اتصال دو نیم رخ در طول قطعه مطرح باشد:



د) اگر چند قطعه توسط لقمه به یکدیگر متصل شده باشند باید به صورت زیر عمل شود:



ه) اگر قطعات توسط بست به یکدیگر متصل شوند باید ورق دو انتهای قطعه و همچنین ورق محلی که آرایش بست به هم می خورد مطابق شکل زیر باشد:



### (13-3) مراحل گام به گام طراحی ستون های بست دار:

نوع ۱: ستون های با بست افقی یا نرdbانی : (بند ۱۰-۵-۴-۵ قسمت ب) (آیین نامه ایران)

مرحله ۱: می دانیم در ستون های ترکیبی لاغری کمتر و تنفس مجاز بیشتر است پس فرض می کنیم ابتدا  $F_a = 1100$  باشد.

$$A \geq \frac{P}{F_a} \rightarrow A = \dots, \frac{A}{2} = \dots$$

مرحله ۲: با توجه به  $F_a$  داریم:

مرحله ۳: تعیین نوع پروفیل ستون با توجه به  $\frac{A}{2}$ .

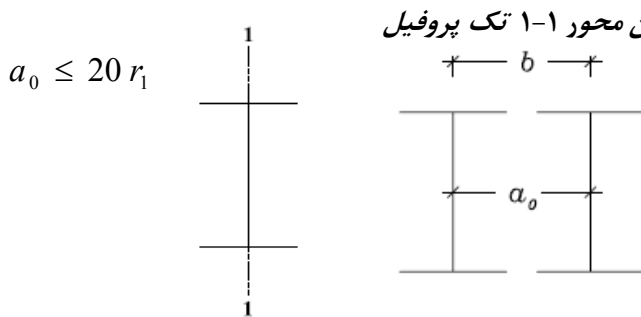
مرحله ۴: با فرض اینکه  $F_a$  مقدار  $\lambda_x = \lambda_{\max}$  جدید را محاسبه می کنیم.

مرحله ۵: با توجه به اینکه فرض می کنیم  $\alpha, \alpha \lambda_y \leq \lambda_x$  با توجه به بست تعیین می شود ابتدا فرض می کنیم که  $\alpha = 1.15$  باشد حال داریم:

$$\left( 1.15 \cdot \frac{KL}{r} \right)_y \leq \frac{KL}{r} \rightarrow r_y = ?$$

$$r_y^2 = r_{y_0}^2 + \left( \frac{b}{2} \right)^2 \longrightarrow b \geq \dots$$

مرحله ۶: تعیین  $a_0$  با توجه به شکل و کنترل آن بر اساس رابطه زیر:



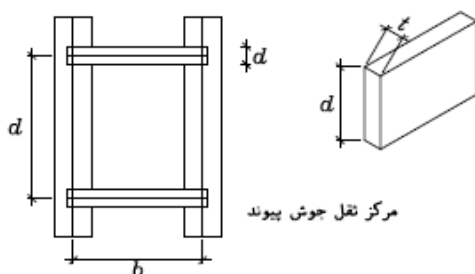
$r_1$ : شعاع ژیراسیون حداقل تک نیمروخ با شعاع ژیراسیون محور ۱-۱ تک پروفیل

$a_0 = b - t_w$ : در پروفیل های دوبل I شکل  
 $b$ : فاصله مرکز ثقل تا مرکز ثقل دونیمروخ

$$\lambda_y = \frac{KL}{r_y} \quad \text{بعد از محاسبه } r_{y0} = \sqrt{r_{y0}^2 + \left(\frac{b}{2}\right)^2} \quad \text{و } a_0 \text{ جدید مجدد}$$

مرحله ۷: تعیین  $d$  و  $t_d$  از روابط زیر: (بند ۱۰-۵-۴-۱-۱۰ قسمت ب) (آیین نامه ایران)

$$\begin{cases} d \geq 0.42a_0 \\ t_d \geq \frac{b}{40} \end{cases} \quad \begin{array}{l} d: \text{عرض قید} \\ t_d: \text{ضخامت قید} \end{array}$$



حال می توانیم پلیت های بست را طرح کنیم.

نکته: مرکز ثقل جوش پیوند باید بر تار فشاری نیمروخ ها منطبق باشد.

نکته: مقدار  $d, t_d$  باید طوری طرح شوند که با شرایط اجرایی نیز هم خوانی داشته باشد.

مرحله ۸: تعیین فواصل بست ها: (بند ۱۰-۵-۴-۱-۱۰ قسمت ب) (آیین نامه ایران)

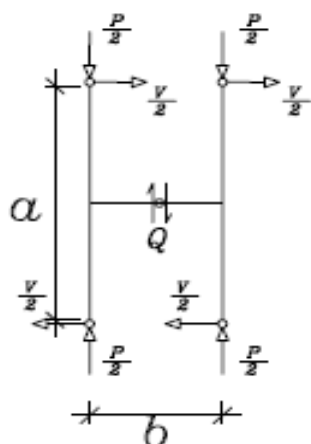
$$\begin{cases} a \geq 2.5d \\ \frac{a}{r_1} \leq \text{Max} \begin{cases} ۴۰ & \text{یا} \\ \frac{2}{3}\lambda_y & \text{یا} \\ \frac{L}{2r_x} \end{cases} \end{cases} \quad \begin{array}{l} r_1: \text{شعاع ژیراسیون حداقل تک نیمروخ} \\ a: \text{فواصل مراکز بست ها} \end{array}$$

حال مقداری را برای  $a$  بر اساس قواعد بالا فرض می کنیم.

نکته: به لحاظ اجرایی مقدار  $a$  در حدود ۴۰ تا ۶۰ سانتی متر مناسب می باشد.

مرحله ۹: کنترل ابعاد بست بر اساس کنترل برش و خمش:

$$V = 0.02P \quad (\text{میزان برش در ستون های ترکیبی}) \quad (\text{بند ۱۰-۵-۴-۱-۱۰ قسمت ب) (ایران})$$



$$\frac{Q}{2} = \frac{V \cdot a}{2b}$$

کنترل برش  $\rightarrow 1.5 \frac{Q/2}{d \cdot t_d} \leq 0.4 F_y$

: کنترل خمش

$$\begin{cases} M_b = Q/2 \cdot b/2 \\ S_x = \frac{t_d \cdot d^2}{6} \\ f_b = \frac{M_b}{S_x} < 0.75 F_y \end{cases}$$

$M_b$  ← لنگر در هر قید

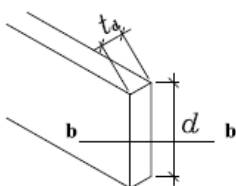
$S_x$  ← اساس مقطع هر قید

$f_b$  ← تنش خمشی موجود

نکته: اگر  $f < 0.75 F_y$  در این صورت مقطع قوی تری انتخاب می شود و با اینکه فواصل بسته ها (a) را کم می کنیم.

مرحله ۱۰: تعیین دقیق  $\alpha$ :

(بند ۱۰-۵-۴، آین نامه ایران)



$A$  : سطح مقطع کلی نیمروز های عضو فشاری

$A_b$  : سطح مقطع یک جفت قید افقی

$a$  : فاصله مرکز به مرکز قید ها

$b$  : فاصله مرکز ثقل دو نیمروز از یکدیگر

$r_b$  : شعاع ژیراسیون قید افقی نسبت به محوری که تحت خمش قرار می گیرد. (محور b در شکل صفحه قبل)

$r_1$  : شعاع ژیراسیون حداقل هر یک از نیمروز های فشاری است.

مرحله ۱۱: کنترل نهايی:

$$\begin{cases} \lambda_x = \dots \\ \lambda_{\max} = \dots \rightarrow F_a = \dots \\ \alpha \lambda_y = \dots \end{cases} \quad : \text{کنترل} \quad f_a \leq F_a$$

نکته: رابطه دیگری نیز برای تعیین مقدار دقیق  $\alpha$  ارائه شده است:

$$\alpha = \sqrt{1 + \frac{\left(\frac{a}{r_1}\right)^2}{\lambda_y^2}} \quad : \text{فواصل قید ها در امتداد طول عضو}$$

$r_1$  ← شعاع ژیراسیون حداقل هر یک از نیمروز های فشاری

نوع ۲ : طراحی براساس بست چپ و راست : (ساده و دوبل) (بند ۱۰-۵-۴-۵ قسمت الف) ایران )

مرحله ۱ : مطابق نسبت های افقی تا مرحله ۶ انجام می دهیم تا مقدار  $b$  را نیز محاسبه کنیم .

$$d = \frac{b}{\sin \theta} \quad \text{مرحله ۲ : تعیین } d \text{ (طول بست) : مشترک بین بست ساده و دوبل}$$

مرحله ۳ : تعیین  $a$  (فواصل بست ها) :

$$\left. \begin{array}{l} a = 2 \cdot d \cdot \cos \theta \\ a = d \cdot \cos \theta \\ \frac{a}{r_1} \leq \frac{3}{4} \lambda_{\max} \end{array} \right\} \rightarrow a = \dots$$

نکته : بست های چپ و راست را باید طوری قرار داد که لاغری بال مخصوص بین نقاط اتصال آن از  $\frac{3}{4}$  لاغری تعیین کننده کلی عضو بیشتر نشود . (بند ۱۰-۵-۴-۵ قسمت الف) ایران ) (رابطه بالا )

نکته : اگر فاصله اتصالات بین دو سر بست بیش از ۳۸ سانتیمتر باشد ارجح است که بست ها به صورت زوج در نظر گرفته شوند و با در آنها نیم رخ نبشی استفاده گردد . (بند ۱۰-۵-۴-۵ قسمت الف) ایران )

مرحله ۴ : محاسبه  $t_b$  :

$$\left. \begin{array}{l} \text{ساده} \quad \frac{d}{r_d} \leq 140 \\ \text{دوبل} \quad \frac{d}{r_d} \leq 200 \end{array} \right\} \rightarrow r_d)_y \geq 0.29 t_b \Rightarrow t_b \geq \dots \quad r_d : \text{شعاع زیراسیون حول محور ضعیف قید}$$

با بدست آوردن  $t_d$  مجدداً  $r_d$  را محاسبه می کنیم .

نکته : نسبت  $\frac{d}{r}$  برای بست های چپ و راست تکی نباید از ۱۴۰ تجاوز کند . برای بست های چپ و راست به صورت زوج این نسبت نباید از ۲۰۰ بیشتر شود . (بند ۱۰-۵-۴-۵ قسمت الف) ایران )

توضیح : محور ۱-۱ محور ضعیف قید است که  $r_d$  نسبت به آن محاسبه می شود .



مرحله ۵ : محاسبه  $\lambda_d$  :

نکته : طول آزاد برای محاسبه ضربی لاغری بست های اتصالی که در فشار قرار دارند در بست های تکی برابر فاصله بین اتصالات دو سر آنها به عضو فشاری و دربست های زوج ضربدری ۷۰ درصد این فاصله به حساب می آید . (بند ۱۰-۵-۴-۵ قسمت الف) ایران )

$$\left. \begin{array}{l} \text{ساده} \quad \frac{d}{r_d} = \lambda_d = \dots \\ \text{دوبل} \quad \frac{0.7d}{r_d} = \lambda_d = \dots \end{array} \right\}$$

مرحله ۶ : محاسبه تنش مجاز فشاری :

$\lambda_d = \dots \Rightarrow F_a = \dots$  طراحی بستهای چپ و راست به مانند طراحی قطعات درجه دوم است.

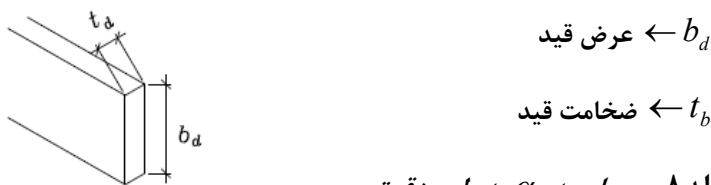
مرحله ۷ :

$$F = \frac{V}{n \sin \theta}, V = 0.02P \quad (\text{نیروی فشاری موجود در قید})$$

در بستهای چپ و راست ساده  $n = 2$  و در بستهای چپ و راست دوبل  $n = 4$  است.

نکته: زاویه تمایل امتداد بستهای نسبت به محور طولی عضو ارجح است که برای بسته تکی از  $60^\circ$  درجه و برای بسته های زوج از  $45^\circ$  درجه کمتر نباشد. (بند ۱۰-۵-۱-۴ قسمت الف) ایران)

$$\frac{F}{t_b \cdot b_d} \leq F_a \rightarrow b_d = \dots \quad (\text{حال داریم})$$



مرحله ۸ : محاسبه  $\alpha$  به طور دقیق

$$\frac{KL}{r} \geq 40 \rightarrow \alpha = \sqrt{1 + \frac{300}{\lambda_y^2}}$$

(رابطه آیین نامه ایران)

$$\frac{KL}{r} < 40 \rightarrow \alpha = 1.1$$

ضریب لاغری نسبت به محور عمود بر بسته ها

$$\alpha = \sqrt{1 + \frac{\pi^2}{\lambda_y^2} \cdot \frac{A}{A_d} \cdot \frac{1}{\cos \theta \cdot \sin^2 \theta}}$$

$A$  : سطح مقطع کل نیمکرهای عضو فشاری

$A_d$  : سطح مقطع بستهای چپ و راست در هر مقطع ستون

$\theta$  : زاویه شیب بستهای چپ و راست نسبت به محور طولی ستون

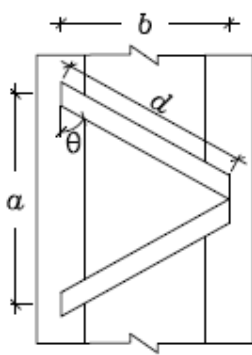
$$A_d = n \cdot b_d \cdot t_d$$

در بستهای چپ و راست ساده

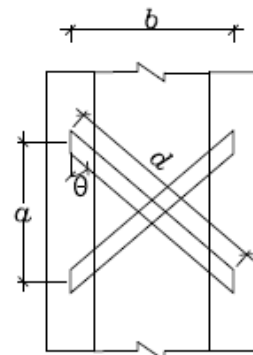
در بستهای چپ و راست دوبل

مرحله ۹: کنترل نهایی:

$$\begin{cases} \lambda_x = \dots \\ \lambda_{\max} = \dots \rightarrow F_a = \dots \\ \alpha \lambda_y = \dots \end{cases} \quad : \text{کنترل} \quad f_a \leq F_a$$



بست چپ و راست ساده( $\theta \geq 60^\circ$ )



بست چپ و راست دوبل( $\theta \geq 45^\circ$ )

$\alpha$  نکته: در ستون هایی که هم بست چپ و راست و هم پیوند افقی داریم از رابطه زیر برای تعیین دقیق استفاده می شود

$$\alpha = \sqrt{1 + \frac{\pi^2}{\left(\frac{L}{r}\right)^2} \left[ \frac{A}{A_d} \cdot \frac{1}{\cos \cdot \sin^2 \theta} + \frac{A}{A_b} \tan \theta \right]}$$



ستون با بست چپ و راست و پیوند افقی

(14-3) برگه طراحی ستون فلزی

برگه طراحی ستون فلزی(روش تنش مجاز)									
طبقه:		شماره ستون در تحلیل:				تیپ ستون:			
نیروها و لنگرهای طراحی									مشخصات مقطع :
$P(t)$	$M_y(t.m)$	$M_x(t.m)$	$L(cm)$	$A(cm^2)$	$r_x(cm)$	$r_y(cm)$	$w_x(cm^3)$	$w_y(cm^3)$	$F_{y'}$
تش های مجاز									
$G_j(x)$		$K_x$	$K_y$	$\lambda_x = \left( \frac{KL}{r} \right)_x$	$\lambda_y = \left( \frac{KL}{r} \right)_y$	$F_a$ $(kg/cm^2)$	$F_{bx}$ $(kg/cm^2)$	$F_{ex'}$ $(kg/cm^2)$	
$G_i(x)$									
محاسبات دستی									
ETABS خروجی									
توکیب تنش های محوری و خمی									
$(1): \frac{f_a}{F_a} + \beta_x \frac{f_{bx}}{F_{bx}} \leq 1$									
$(2): \frac{f_a}{0.6F_y} + \frac{f_{bx}}{F_{bx}} \leq 1$									
$f_a$ $(kg/cm^2)$	$f_a/F_a$	$f_a/0.6F_y$	$f_{bx}$ $(kg/cm^2)$	$f_{bx}/F_{bx}$	$C_{mx}$	$\beta_x$	Ratio (1)	Ratio (2)	Ratio (ETABS)
کنترل ضوابط آینین فامه 2800									
$(1): P_1 = P_{DL} + 0.8P_{LL} + (0.4R)P_E \leq P_{SC}$									
$P_{SC} = 1.7F_a A$									
$(2): P_2 = 0.85P_{DL} + (0.4R)P_E \leq P_{ST}$									
$P_{ST} = F_y A$									
$P_{DL}(t)$	$P_{LL}(t)$	$P_E(t)$	$ P_1(t) $	$P_{SC}(t)$	Check(1)	$ P_2(t) $	$P_{ST}(t)$	Check(2)	
					O.K.			O.K.	
طراحی بست های موازی ستون									
$l_1(cm)$	فاصله بین قیدها	$d(cm)$	ارتفاع هر قید	$t(cm)$	ضخامت	$\lambda_{ye} = k_1 \lambda_y$	$\lambda_{ye} \leq \lambda_x$	USE	
							O.K.		

## ۴

## طراحی کف ستون ها

۱-۴) روش تعیین تنش مجاز فشاری بتن :

۱) تنش فشاری مجاز بروی تکیه گاه بتنی : (بند ۷-۷-۱-۱۰ ، آیین نامه ایران )

$$F_p = 0.3 f'_c \sqrt{\frac{A_2}{A_1}} \leq 0.7 f'_c$$

← مقاومت فشاری بتن بروی نمونه استوانه ای استاندارد .

← سطح ورق زیر در تماس با شالوده  $(cm)^2$  (سطح کف ستون)  $\leftarrow A_1$

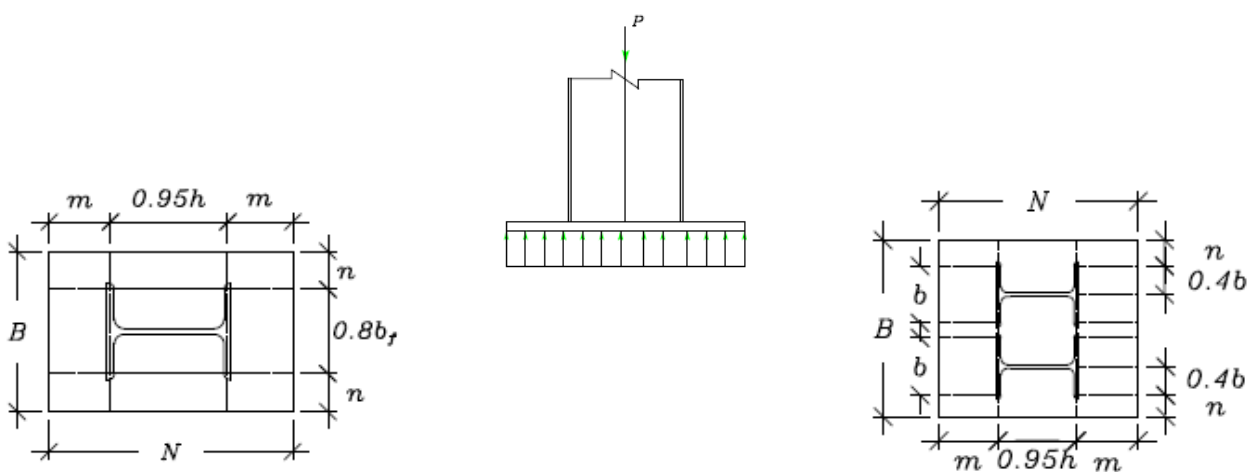
← حداکثر سطحی از شالوده هم مرکز و متشابه با ورق زیرستون  $(cm)^2$  می باشد . (سطح پی)  $\leftarrow A_2$

۲) مقدار  $f_p$  از رابطه زیر نیز تعیین می شود :

$$\alpha = \begin{cases} 1.25 & \text{کف ستون در کنار پی نواری} \\ 1.5 & \text{کف ستون در وسط پی نواری} \\ \sqrt{\frac{A_2}{A_1}} \leq 2.0 & \text{سطح کف ستون و } A_2 \text{ سطح پی} \end{cases}$$

$f'_c \left( \frac{Kg}{cm^2} \right)$	۱۰۰	۱۵۰	۲۰۰	۲۵۰	۳۰۰	۳۵۰	۴۰۰
$f_a \left( \frac{Kg}{cm^2} \right)$	۳۰	۴۵	۵۵	۷۵	۹۰	۱۰۵	۱۲۰

۱) طراحی کف ستون بدون خروج از مرکزیت و بدون سخت کننده :



مراحل گام به گام : (تک پروفیل)

۱) فرض می کنیم  $m = n$  است ، حال داریم :

۲) رابطه کنترل تنش فشاری :

۳) با استفاده از بند ۱، ۲، با دو معادله و دو مجهول،  $N, B$  را تعیین می‌کنیم؛ و کنترل می‌کنیم که:

$$f_p \leq F_p$$

نکته: ابعاد کف ستون مضربی از ۵ است.

۴) با توجه به  $N, B, m$  را چنین داریم:

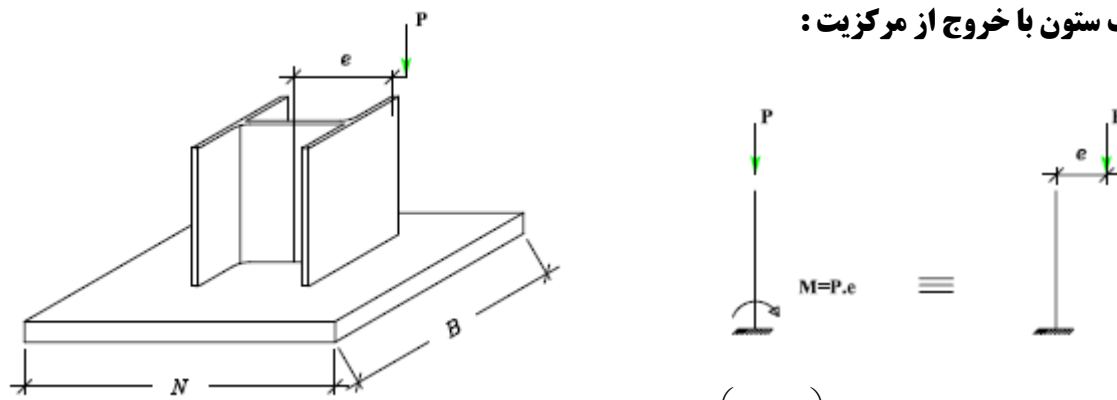
$$\begin{cases} m = \frac{1}{2}(N - 0.95h) \\ n = \frac{1}{2}(B - 0.8b_f) \end{cases}$$

۵) تعیین ضخامت کف ستون یا ( $t$ ):

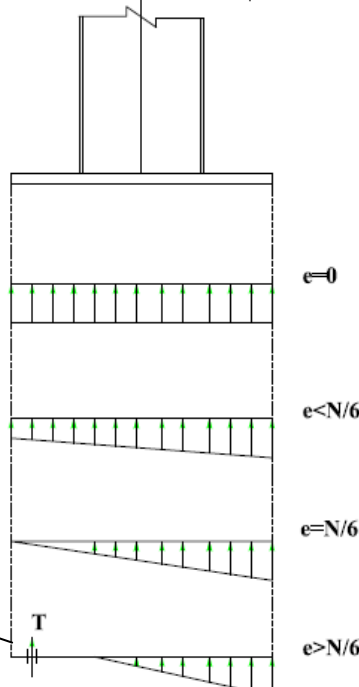
$$\begin{cases} m' = \max(m, n) \\ f_p = \frac{P}{N \cdot B} \end{cases} \rightarrow t \geq 2m' \sqrt{\frac{f_p}{F_y}} \Rightarrow t = \dots$$

USE :  $B \cdot PL(N \times B \times t)$

طراحی کف ستون با خروج از مرکزیت:



$$f_p = \frac{P}{A} \pm \frac{P \cdot e}{B \cdot N^2} = \frac{P}{A} \pm \frac{P \cdot e}{A \cdot N} = \frac{P}{A} \left( 1 \pm \frac{e}{N} \right) \leq F_p$$



۲) طراحی کف ستون با خروج از مرکزیت:

۱) با توجه به ابعاد ستون  $N$ ,  $B$ ,  $P$  را تعیین می‌کنیم.

با فرض اولیه  $B = N$ , می‌توان مقادیر  $N$ ,  $B$ ,  $P$  را به صورت زیر تعیین نمود:

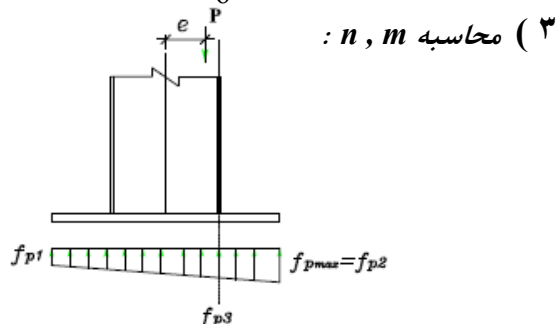
$$B \approx \sqrt{\frac{P}{F_p}}, \quad N = \frac{P}{2B \cdot F_p} + \sqrt{\left(\frac{P}{2B \cdot F_p}\right)^2 + \frac{6M}{B \cdot F_p}} * \text{رابطه}$$

۲) با  $N$  بدست آمده فرض  $e \leq \frac{N}{6}$  را کنترل می‌کنیم، اگر برقرار بود وارد مرحله ۳ می‌شویم.

۳) محاسبه  $n$ ,  $m$ :

$$\begin{cases} m = \frac{1}{2}(N - 0.95h) \\ n = \frac{1}{2}(B - 0.8b) \end{cases} \rightarrow \max(m, n) = m'$$

$$f_p = \frac{f_{p3} + f_{p2}}{2}$$



۴) با تعیین  $f_{p\max}$  از رابطه صفحه قبل با استی کنترل کنیم که:

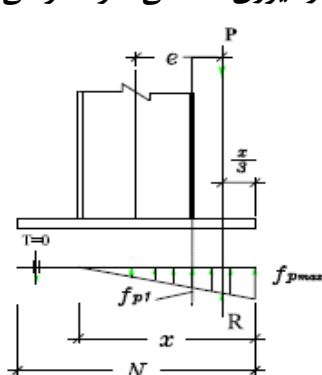
$$t \geq 2m' \sqrt{\frac{f_p}{F_y}} \quad 5) \text{ تعیین ضخامت: } B_{PL}$$

نکته: اگر  $f_p$  را از فرمول تعیین  $f_{p\max}$  قرار دهیم طرح غیر اقتصادی است و اگر  $f_p$  متوسط دو سر کف ستون قرار دهیم در خلاف جهت اطمینان است.

۳) طراحی کف ستون با خروج از مرکزیت زیاد:

در این حالت فرض می‌کنیم که برآیند نیروهای زیر کف ستون بر  $P$  منطبق است و از نیروی کششی صرفنظر می‌کنیم در این حالت طول ناحیه کششی مشخص نیست.

$\leftarrow R$  برآیند نیروهای زیر کف ستون



۱) با توجه به ابعاد ستون، بعد کف ستون در جهت لنگر  $N$  و بعد دیگر کف ستون  $B$  تعیین می‌شود.

۲) کنترل رابطه:

$$\frac{N}{6} \leq e \leq \frac{N}{2}$$

۳) تعیین طول گسترش:

$$T=0 \quad x = \frac{N}{2} - e \Rightarrow x = 3\left(\frac{N}{2} - e\right)$$

$$\sum F_y = 0 \Rightarrow \frac{1}{2} f_p \cdot x \cdot B = P \rightarrow f_p = \frac{2P}{x \cdot B} \leq F_p$$

$$m' = \max(m, n)$$

۴) کنترل رابطه تنفس فشاری:

۵) تعیین ضخامت:  $B_{PL}$ 

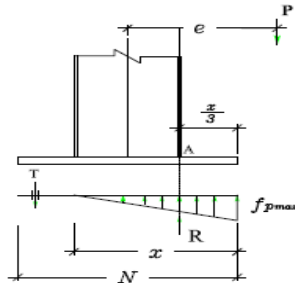
$$f_p = \frac{f_{p_{\max}} + f_{p_1}}{2} \rightarrow t \geq 2m' \sqrt{\frac{f_p}{F_Y}} \rightarrow Use PL(B \cdot N \cdot t)$$

نکته:  $m, n$  از ممان روابط ارائه شده در صفحات قبل بدست می‌آید.

$$e > \frac{N}{2}, e > \frac{N}{6}$$

(2-4) (الف) روش تقریبی:

فرض: برآیند عکس العمل زیر کف ستون در میان صفحه بال فشاری است. در این حالت Bolt طراحی می‌کنیم چون نیروی کششی قابل صرفنظر نیست.



نکته: برای آنکه فضای کافی برای قرار دادن میل مهار وجود داشته باشد، ابعاد کف ستون باید حداقل ۲۰ cm از

ابعاد ستون بیشتر باشد.

۱)  $N, B$  را با توجه به ابعاد ستون تعیین می‌کنیم و یا از رابطه \* استفاده می‌کنیم.۲) مقدار خروج از محوریت را محاسبه و با  $\frac{N}{6}, \frac{N}{2}$  مقایسه می‌کنیم.

$$\left\{ \begin{array}{l} e > \frac{N}{6} \rightarrow \text{میل مهار به کشش می‌افتد} \\ e > \frac{N}{2} \rightarrow \text{از فرض اولیه استفاده می‌کنیم} \end{array} \right.$$

۳) با فرض وارد شدن برآیند عکس العمل زیر کف ستون در میان صفحه بال فشاری  $x/3$  را محاسبه می‌کنیم.

$$\frac{x}{3} = \frac{N - h}{2} + \frac{t_f}{2} \rightarrow x = \dots$$

۴) بالنگرگیری حول نقطه  $A$  و معلوم بودن بار  $P$ ، نیروی کششی  $T$  محاسبه می‌شود.if  $T < 0 \rightarrow$  به میل مهار کششی وارد نمی‌شود ۲Φ20

$$\text{if } T > 0 \rightarrow A_s \geq \frac{T}{F_t} \rightarrow F_t = 0.33F_u$$

نکته: اگر برش پای ستون را نیز مد نظر قرار دهیم، داریم:

 $nA_s \geq \frac{T + 0.9V}{0.43F_u}$ : تعداد میل مهار در هر طرف است زیرا ناشی از نیروی زلزله ممکن است جهت لنگر عوض شود. $R = T + P$ : بدست آوردن  $R$

۶) تعیین  $f_p$  و مقایسه آن با مقدار مجاز :

$$R = \frac{f_p \times x}{2} \times B \rightarrow f_p = \frac{2R}{x \cdot B} \leq F_p$$

$\leftarrow F_p$  تنش مجاز فشاری بتن

هر جا که رابطه  $f_p \leq F_p$  برقرار نشد، ابعاد کف ستون را افزایش می دهیم.

۷) لنگر بحرانی در میان صفحه بال ستون با توجه به توزیع تنش زیر کف ستون محاسبه می شود:

۸) تعیین ضخامت ( $t$ ) با کنترل خمین صفحه:

$$= \frac{M}{S} = \frac{M}{\frac{Bt^2}{6}} \leq 0.75F_y \rightarrow t = \dots$$

نکته:  $0.75F_y$  به دلیل مستطیلی بودن مقطعی است که خمین را تحمل می کند.

### چند نکته:

۱ - قطر میل مهار ( $\Phi$ ) بین ۸۰ mm - ۲۰ انتخاب شود.

۲ - اگر نیاز به  $Bolt$  محاسباتی نبود از  $2\Phi 20$  استفاده شود و میل مهارها به صورت متقارن در طرفین قرار می گیرند.

۳ - فاصله بین بولت ها تا کنار صفحه حداقل  $Q 1.5$  باشند.

۴ - قطر سوراخ صفحه را حدود ۱ تا  $1.5$  mm بزرگتر از قطر بولت در نظر می گیرند.

۵ - اگر بخواهیم جهت تأمین ضخامت از دو پلیت استفاده کنیم:

$$L_w = 2 \left( \frac{x}{3} \right) + B$$

$$F = \frac{M}{\frac{2}{3}t} = \dots$$

$$650a \times L_w \geq F \rightarrow a = \dots$$

$a$  بدست آمده بایستی با  $a_{\max}, a_{\min}$  مقایسه شود.

توجه: محاسبات قبلی برای صفحه کوچک انجام شده است.

### ۳-۴) روش دقیق:

در این روش  $T, x, f_p$  مجهولند و  $B, N, As$  فرض می شوند:

(۱)

$$\sum F_y = 0 \rightarrow \frac{1}{2}f_p \cdot x \cdot B = P + T \quad (\text{I})$$

$$\sum M_b = 0 \rightarrow \frac{1}{2}f_p \cdot x \cdot B \left( \frac{N}{2} - \frac{X}{3} \right) + T \cdot g = P \cdot e \quad (\text{II})$$

نقطه A، نقطه پایان تنش فشاری است.

با فرض اینکه صفحه ستون حول نقطه A دوران کند داریم:

$$\frac{\varepsilon_C}{x} = \frac{\varepsilon_S}{g + \frac{N}{2} - x} \xrightarrow{E_S = nE_C} \frac{nE_C \varepsilon_C}{x} = \frac{E_S \varepsilon_S}{g + \frac{N}{2} - x}$$

$$\rightarrow \frac{nf_P}{x} = \frac{f_T}{g + \frac{N}{2} - x} \rightarrow \frac{nf_P}{x} = \frac{T/A_S}{g + \frac{N}{2} - x}$$

از حل سه معادله و سه مجهول  $T, x, f_P$  محاسبه می‌گردد.

۲) انجام کنترل رو برو:

$$\begin{cases} f_P \leq F_p \rightarrow & \text{بعضی صفحه را تعیین می‌کنیم} \\ f_s = \frac{T}{A_s} \leq 0.33F_u \rightarrow & \text{مساحت میل مهار کافیست} \end{cases}$$

#### 4-4) طراحی کف ستون با استفاده از سخت کننده‌ها:

برای کاهش خسارت کف ستون، از یک سری سخت کننده‌های بروی  $B \cdot PL$  استفاده می‌شود تا لنگر طراحی خسارت تا حد امکان کاهش داده شود. اصول طراحی کف ستون با سخت کننده با طراحی کف ستون در حالت عادی تفاوتی ندارد.

استفاده از سخت کننده‌ها توزیع تنفس زیرکف ستون را تغییر نمی‌دهد و موجب گیر داری اتصال نمی‌شود.

#### 4-5) مراحل گام به گام:

۱) تعیین ابعاد کف ستون ( $B, N$ ) با استفاده از رابطه تقریبی \* صفحه ۶۶.

$$e = \frac{M}{P} \rightarrow \begin{cases} e > \frac{N}{6} \rightarrow & \text{توزیع تنفس مثلثی و بولت‌ها به کشش می‌افتد} \\ e < \frac{N}{6} \rightarrow & \text{توزیع تنفس ذوزنقه‌ای و بولت‌ها به کشش نمی‌افتد} \end{cases}$$

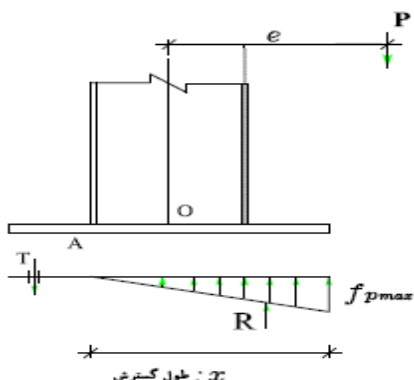
۲) تعیین طول گسترش تنفس ( $x$ ):

$$\frac{e}{N} \mapsto \frac{x}{N}$$

از جدول زیر استفاده می‌شود: (برای اعدادی که در جدول وجود ندارند، انتوپوله می‌کنیم)

$\frac{e}{N}$	۰,۰۸	۰,۳	۰,۵۲	۰,۶	۰,۶۱۵	۰,۶۴	۰,۷۵	۰,۸۷	۱
$\frac{x}{N}$	۱	۱	۰,۴۸	۰,۴	۰,۳۹	۰,۳۷	۰,۳۵	۰,۳۴	۰,۳۳۳

:  $T, R$  تعیین مقادیر ۴



$$\sum M_e = 0 \rightarrow T = \dots$$

$$\sum F_y = 0 \rightarrow R = T + P$$

$$f_p(\max) = \frac{2R}{x \cdot B} \leq F_p$$

۵) کنترل تنش فشاری:

اگر رابطه برقرار نبود ابعاد  $B \cdot PL$  افزایش می یابد.

۶) تعیین موقعیت سخت کننده ها و مشخص کردن نواحی ۱ تا ۴ و محاسبه لنگر در نواحی مختلف کف ستون:

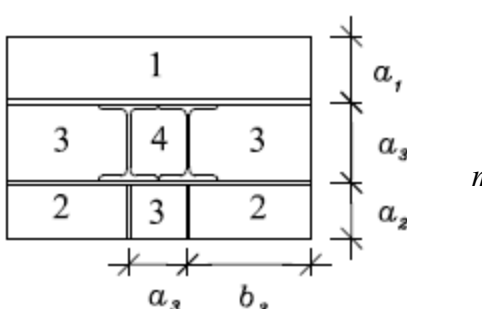
الف) ناحیه ۱ (از یک طرف بسته):

تنش ماکزیمم در ناحیه ۱  $\leftarrow q_1$

$$m_1 = \frac{q_1 \cdot \alpha_1^2}{2}$$

بعد کوچکتر ناحیه ۱  $\leftarrow \alpha_1$

لنگر عرض واحد ناحیه ۱  $\leftarrow m_1$



$$m_2 = \frac{q_2 \cdot \alpha_2^2}{2}$$

ب) ناحیه ۲ (از دو طرف بسته):

تنش ماکزیمم در ناحیه ۲  $\leftarrow q_2$

بعد کوچکتر ناحیه ۲  $\leftarrow \alpha_2$

لنگر عرض واحد ناحیه ۲  $\leftarrow m_2$

ج) ناحیه ۳ (از سه طرف بسته):

تنش ماکزیمم در ناحیه ۳  $\leftarrow q_3$

$$m_3 = \beta_3 \cdot q_3 \cdot \alpha_3^2$$

طول لبه آزاد ناحیه ۳  $\leftarrow \alpha_3$

لنگر عرض واحد ناحیه ۳  $\leftarrow m_3$

از جدول تعیین می شود و  $b_3$  طول لبه غیر آزاد ناحیه ۳ می باشد.

$b_3/\alpha_3$	۰,۵	۰,۶	۰,۷	۰,۸	۰,۹	۱	۱,۲	۱,۴	۲	>۲
$\beta_3$	۰,۰۶	۰,۰۷۴	۰,۰۸۸	۰,۰۹۷	۰,۱۰۷	۰,۱۱۲	۰,۱۲	۰,۱۲۶	۰,۱۳۲	۰,۱۳۳

(۵) ناحیه ۴ (از چهار طرف بسته):

$$\leftarrow q_4 \leftarrow \text{تنش ماقزیم ناحیه ۴}$$

$$m_4 = \beta_4 \cdot q_4 \cdot \alpha_4^2 \quad \leftarrow \alpha_4 \leftarrow \text{بعد کوچکتر ناحیه ۴}$$

$$m_4 \leftarrow \text{لنگر عرض واحد ناحیه ۴}$$

$\beta_1$ : از جدول تعیین می شود،  $b_4$  طول بعد بزرگ تر ناحیه ۴ است.

$b_4/\alpha_4$	1	1.1	1.2	1.3	1.4	1.5	1.6	1.7	1.8	1.9	2	>2
$\beta_4$	0.048	0.055	0.063	0.069	0.075	0.081	0.086	0.091	0.094	0.098	0.100	0.125

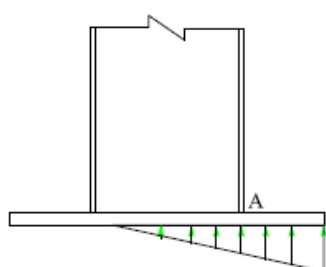
(۶) تعیین ضخامت کف ستون با استفاده از لنگر در نواحی مختلف:

$$m = \max\{m_1, m_2, m_3, m_4\} = \dots \rightarrow t \geq \sqrt{\frac{6.m}{0.75F_y}} \rightarrow t \geq \dots$$

نکته: اگر ضخامت زیاد شد، دور تا دور کف ستون نیز سخت کننده هایی استفاده می کنیم تا کلیه ناحیه ۴ تبدیل شود و لنگر کاهش یابد. طریقه قرار گیری سخت کننده ها بر عهده ماست و با تغییر وضعیت قرار گیری سخت کننده ها محاسبات بایستی تکرار شود و  $t$  جدید را بدست آوریم.

(۷) طراحی سخت کننده ها:

ابتدا لنگر در نقطه A به طور دقیق محاسبه می شود و سپس با فرض مناسب برای  $h_s, t_s$  ممان اینرسی و اساس مقطع را می یابیم و رابطه حمش را کنترل می کنیم.



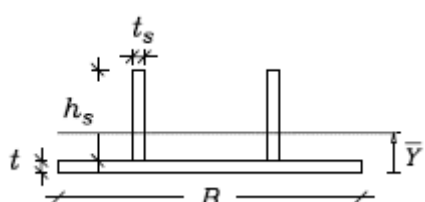
$$\bar{Y} = \dots$$

$$I = \dots$$

$$B \leftarrow M \leftarrow \text{لنگر برای کل عرض}$$

$$t_s \leftarrow \text{ضخامت سخت کننده}$$

$$h_s \leftarrow \text{ارتفاع سخت کننده}$$



$$S = \frac{I}{C} = \frac{I}{h_s + t - y}, f_b = \frac{M}{S} \leq 0.75F_y$$

(۸) طراحی میل مهارها بولت ها:

طراحی میل مهارها به برش پای ستون و نیروی کششی T بستگی دارد از رابطه زیر تعیین می شود:

$$nA_s \geq \frac{T + 0.9V}{0.43.F_u}$$

## برگه طراحی کف ستون: 6-4

## برگه طراحی صفحه زیرستون

ستون:			تیپ صفحه ستون:		
نیروها	$P(ton)$	$M_y(t.m)$	$V(ton)$	$e = M/P_{(cm)}$	$F_y = 2400(kg/cm^2)$
بار طراحی ستون					$f_c = 210(kg/cm^2)$
بار ماکریم					$F_p = 147(kg/cm^2)$
تعیین ابعاد (cm)	$e \leq \frac{D}{6} \Rightarrow q = \frac{P}{BD} \left(1 + \frac{6e}{D}\right)$			$q_1$ $(kg/cm^2)$	$q_2$ $(kg/cm^2)$
D	B	$e \geq \frac{D}{6} \Rightarrow q = \frac{2(P+T)}{x.B}$			$q \leq F_p$
					O.K.

## تعیین ضخامت صفحه ستون بدون لچکی

d	b	$m = \frac{1}{2}(D - 0.95d)$ $n = \frac{1}{2}(B - 0.8b)$	m	n	$s = \text{Max}\{m, n\}$	$t \geq \sqrt{\frac{3qs^2}{0.75F_y}}$	$t(cm)$
---	---	---	---	---	--------------------------	---------------------------------------	---------

## تعیین ضخامت صفحه ستون با لچکی

$m_1 = q_1(a_1^2/2)$		$m_3 = \alpha q_3 a_3^2$		$t \geq \sqrt{\frac{6M}{0.75F_y}}$	$t(cm)$
$m_2 = q_2(a_2^2/2)$		$m_4 = \beta q_4 a_4^2$		$M = \text{Max}\{m_1, m_2, m_3, m_4\}$	

## تعیین میل مهارها

بار طراحی	$P(ton)$	$M_y(t.m)$	$V(ton)$	$F_y = 3000(kg/cm^2)$
				$F_u = 5000(kg/cm^2)$

$T(kgf)$	$A_{req} \geq \frac{T}{0.33F_u} =$	آرماتور در یک سمت صفحه ستون	$A(cm^2)$
----------	------------------------------------	-----------------------------	-----------

کنترل تنش برشی				کنترل اثرمشترک تنش کششی و برشی		
$f_v = \frac{(V/2)}{A}$	$f_v(kg/cm^2)$	$F_v = 0.17F_u$	$f_v \leq F_v$	$f_t(kg/cm^2)$	$F_t = 0.43F_u - 1.8f_v \leq 0.33F_u$	$f_t \leq F_t$

$l_{dh}(cm)$	طول میل مهار با قلاب استاندارد	$f_{bh} = 3.15\sqrt{f_c}$	$l_{dh} = d \frac{F_y}{4f_{bh}}$	$l_{dh}(cm)$

## قطعات خمشی

۵

### ۱-۱) طراحی تیر با انتکا جانبی مناسب:

طراحی اعضا خمشی بر اساس حداکثر میزان ممان خمشی واردہ بر اعضا انجام می‌گیرد.

$$f_b = \frac{MC}{I} \quad , \quad S_x = \frac{I}{C} \rightarrow f_b = \frac{M}{S_x} \leq F_b$$

$S_x$  : اساس مقطع ارجاعی

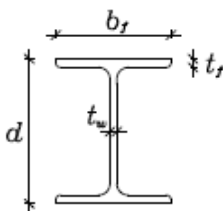
$M$  : حداکثر لنگر خمشی واردہ به مقطع

**مقطع فشرده:** قطعه‌ای را فشرده گویند که دارای شرایط ابعادی مقطع به صورت زیر باشد:

(الف) اتصال بال به جان به صورت پیوسته باشد.

(ب) فواصل مهار جانبی بال فشاری رعایت شده باشد.

(ج) نسبت  $b_f$  به  $t_f$  و  $d$  به  $t_w$  در روابط زیر صدق می‌کند:

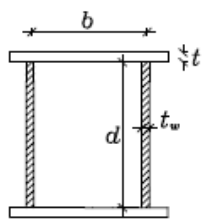


ضوابط فشرده‌گی

$$\frac{b_f}{2t_f} \leq \frac{545}{\sqrt{F_y}}$$

(جدول ۱-آیین نامه ایران)

$$\frac{d}{t_w} \leq \frac{5365}{\sqrt{F_y}}$$



ضوابط فشرده‌گی

$$\frac{b_f}{t_f} \leq \frac{1590}{\sqrt{F_y}}$$

(جدول ۱-آیین نامه ایران)

$$\frac{d}{t_w} \leq \frac{5365}{\sqrt{F_y}}$$

برای مشاهده محدودیت و پهنای آزاد به ضخامت، برای سایر عناصر فشاری به جدول ۱ آیین نامه ایران مراجعه شود.

نکته: برای خمنس حول  $x$  باید کلیه ضوابط مقطع فشرده از جمله فواصل مهار جانبی را کنترل کنیم ولی برای حول  $y$  فقط کنترل ابعاد کفایت می‌کند.

### ۲-۲) نقش مجاز خمشی حول محور قوی در نیمرخ I و ناوادانی: (بند ۱-۱-۱-۲-۱ آیین نامه ایران)

$$F_{bx} = 0.66 \cdot F_y \quad \text{(رابطه ۱-۲-۱ آیین نامه ایران)}$$

$$F_{bx} = 0.6 \cdot F_y \quad \text{(رابطه ۱-۲-۱ آیین نامه ایران)}$$

اعضایی که تمام شرایط فشرده‌گی را دارا هستند و  $\frac{545}{\sqrt{F_y}}$  بزرگ تر و لی از  $\frac{b_f}{2t_f}$  آنها از  $\frac{795}{\sqrt{F_y}}$  کوچک تر باشد می‌توان

بر اساس نقش مجاز خمشی که از رابطه زیر محاسبه می‌شود طرح کرد. (بند ۱-۱-۵-۴-۲ آیین نامه AISIC)

$$\frac{545}{\sqrt{F_y}} \leq \frac{b_f}{2t_f} \leq \frac{795}{\sqrt{F_y}} \Rightarrow F_{bx} = F_y \left[ 0.79 - 0.000239 \left( \frac{b_f}{2t_f} \right) \sqrt{F_y} \right] \quad \text{(رابطه ۱-۵-۱-الف AISIC)}$$

## (3) نش مجاز خمی حول محور برای مقطع I، قسمه ها و ورق های مستطیلی: (بند ۱۰-۲-۱-۱ آینه ایران)

$$\begin{array}{ll} F_{b_x} = 0.75 \cdot F_y & \text{(رابطه ۱۰-۲-۷ آینه ایران)} \\ \text{برای قطعات فشرده خمی} & \\ F_{b_x} = 0.6 \cdot F_y & \text{(رابطه ۱۰-۲-۸ آینه ایران)} \\ \text{برای قطعات غیر فشرده} & \end{array}$$

توجه: در کنترل شرایط فشرده‌گی پروفیل‌ها در خمی حول محور ضعیف نیازی به کنترل  $L_u, L_c$  نیست.

در مقاطع در تقارن در دو جهت مانند  $I$ ، که نسبت به محور ضعیف خود تحت خمی قرار گیرند در صورتی که بال آنها شرایط مقطع فشرده را احراز نکند و اتصال جان و بال به صورت سرتاسری باشد می‌توان محاسبه را براساس نش مجاز از رابطه زیر انجام داد: (بند ۱۰-۲-۱-۱ آینه ایران)

$$\frac{545}{\sqrt{F_y}} \leq \frac{b_f}{2t_f} \leq \frac{795}{\sqrt{F_y}} \Rightarrow F_{bx} = F_y \left[ 1.075 - 0.0006 \left( \frac{b_f}{2t_f} \right) \sqrt{F_y} \right] \quad \text{(رابطه ۹-۲-۱۰ آینه ایران)}$$

## (4-5) روش طرح خمیری:

در روش طرح خمیری بارهای وارد را در ضرب بار ضرب می‌کنند تا بار نهایی قطعه که موجب خرابی خمیری قطعه خواهد شد بدست آید. لنگرهای نهایی خرابی خمیری سازه را معین می‌کنند.

$$F_y = \frac{M_p}{Z} \rightarrow M_p = Z \cdot F_y, Z = 2Q \quad \text{گشتاور اول سطح}$$

$Z$ : اساس مقطع خمیری

$$\frac{Z}{S} = \frac{\text{اساس مقطع خمیری}}{\text{ضریب شکل}} = \frac{\text{اساس مقطع ارجاعی}}{\text{اساس مقطع ارجاعی}}$$

در طرح خمیری ضرب اطمینان را روی بارها اعمال می‌کنیم، به این صورت که بارها را در ضرب  $1,7$  ضرب می‌کنیم.

## (5-5) کنترل ابعاد طرح خمیری: (بند ۱۰-۳-۷ آینه ایران)

نسبت پهنا به ضخامت در بالهای نیمرخ‌های نورد شده و مقاطع ساخته شده مشابه با جان تک که تحت اثر فشار حاصل از دوران زاویه‌ای در مفصل خمیری قرار می‌گیرند نباید از مقدار زیر تجاوز کند: (بند ۱۰-۳-۷ آینه ایران)

$$\frac{b_f}{2t_f} \leq \frac{420}{\sqrt{F_y}} \quad \text{کنترل بال فشاری: } b_f \leftarrow \text{عرض بال}$$

$t_f$ : ضخامت بال

$$\frac{b_f}{2t_f} \leq \frac{1590}{\sqrt{F_y}} \quad \text{در مقاطع Box:}$$

نسبت پهنا به ضخامت در بالهای تحت فشار در تیرهای با مقطع قوطی شکل و ورق‌های تقویتی نباید از مقدار

$$\frac{1590}{\sqrt{F_y}} \text{ تجاوز کند. (رابطه ۱۰-۳-۷ آینه ایران)}$$

نسبت ارتفاع به ضخامت در جان اعضايی که تحت اثر خمی خمیری قرار دارند نباید از مقداری که از رابطه (۱۰-

(۷) یا (۱۰-۳-۸) بدست می‌آید بیشتر شود:

وقتی که  $\frac{P}{P_y} \leq 0.27$  است :

$$\frac{d}{t} = \frac{3450}{\sqrt{F_y}} \left[ 1 - 1.4 \frac{P}{P_y} \right] \quad (\text{رابطه } ۷-۳-۱ \text{ آین نامه ایران})$$

وقتی که  $\frac{P}{P_y} > 0.27$  است :

$$\frac{d}{t} = \frac{2150}{\sqrt{F_y}} \quad (\text{رابطه } ۸-۳-۱ \text{ آین نامه ایران})$$

### (6-5) کنترل خیز:

در تیر های با دهانه بزرگ خیز تیر عامل تعیین کننده طراحی است.

تیرها و شاهتیر هایی که سقف های گچ کاری شده را تحمل می کنند باید طوری محاسبه شوند که تعییر مکان حد اکثر نظیر بار مرده و زنده از  $\frac{1}{240}$  طول دهانه و تعییر مکان نظیر بار زنده از  $\frac{1}{360}$  طول دهانه بیشتر نشود:

$$\Delta_{\max} \leq \Delta_{\max}^{\text{مجاز}} \quad (\text{بند } ۹-۱-۱ \text{ آین نامه ایران})$$

در حالت کلی حد اکثر خیز را در یک قطعه ارتجاعی می توان از رابطه زیر محاسبه کرد:

$w \leftarrow$  شدت بار

$L \leftarrow$  طول دهانه تیر

$E \leftarrow$  مدول ارتجاعی تیر

$I \leftarrow$  ممان اینرسی مقطع

$\beta$ : ضریبی است که بستگی به درجه گیرداری دو سر تیر و نوع توزیع بار روی تیر دارد. برای تیرهای دو سر ساده  $\beta = 5$  است و برای سایر انواع تیرها  $\beta$  را از کتب راهنمایی می توان به دست آورد.

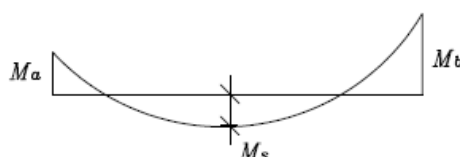
اگر تیر دو سر ساده با بار گستردۀ یکنواخت مورد نظر باشد رابطه خیز به صورت زیر است:

$$\Delta_{\max} = \frac{5 \cdot w \cdot L^4}{384EI}$$

نکته: هرگاه طول دهانه بیش از  $m^{1/4}$  باشد، باید اثر وزن تیر نیز اعمال گردد.

نکته: برای تیرهای یکسره خیز وسط دهانه تیر تحت اثر بار گستردۀ یکنواخت و دو لنگر خمشی غیر یکسان در دو انتهای تیر از رابطه زیر محاسبه می شود:

$$\Delta = \frac{5L^2}{48EI} [M_s - 0.1(M_a + M_b)]$$



در جدول صفحه بعد مقدار خیز بر طبق رابطه بالا بر حسب  $\frac{L}{d}$  درج شده است:

$$\Delta_{\max} = \frac{5 \cdot w \cdot L^4}{384EI}$$

جدول مقدار خیز بر طبق رابطه  
فولاد اعلاء  
 $f = 1400$

فولاد اعلاء  
 $f = 2200$

$L/d$	$L/d$	$L/d$ فولاد اعلاء $f = 1400$	$L/d$ فولاد اعلاء $f = 2200$
$L/360$	$28000/f$	۲۰	۱۲,۷
$L/300$	$33600/f$	۲۴	۱۵,۳
$L/240$	$42000/f$	۳۰	۱۹,۱
$L/200$	$50400/f$	۳۶	۲۲,۹

ملحقات ضوابط AISC محدودیت های زیر را توصیه می کند :

۱- تیرها و شاهتیرهایی که تحت ضربه و بالرزش قرار نداشته باشند :

$$\frac{L}{d} \leq \frac{55000}{f_b}$$

در صورت فشرده بودن تیر  $\frac{L}{d} \leq \frac{36400}{f_b}$  است.

۲- در تیرهایی که تحت اثر ضربه با ارتعاش هستند باید نسبت طول به عمق مقطع از ۲۰ کمتر باشد .

$$\frac{L}{d} \leq 20 \quad (\text{بند ۱-۱۳-۲})$$

۳- برای لایه های سقف که شیب سقف کمتر از ۲۵٪ باشد نسبت  $\frac{L}{d} \leq \frac{55000}{f_b}$  و در صورت فشرده بودن

باید برقرار باشد . ( $f_b$  بایستی محاسبه شود)

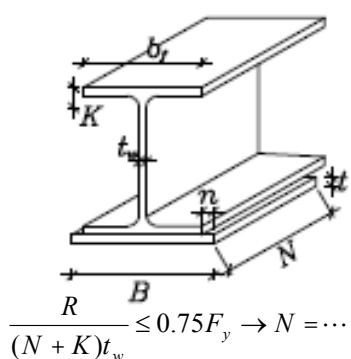
(7-5) کنترل برش :

اگر  $\frac{h}{t_w} \leq \frac{3185}{\sqrt{F_y}}$  باشد برای سطح مقطعی که از حاصل ضرب ارتفاع کلی نیم رخ در ضخامت جان بدست می آید تنفس برشی

محاذ عبارت است از : (بند ۱۰-۱-۱-۲-۴ آین نامه ایران)

$$F_v = 0.4F_y \longrightarrow f_v = \frac{V}{A_w} = \frac{V}{d \cdot t_w} \leq 0.4F_y \quad (\text{رابطه ۱۰-۲-۱ آین نامه ایران})$$

(8-5) طراحی ورق های زیرسروی :



مراحل گام به گام طراحی در تکیه گاه :

۱- محاسبه  $N$  : (طول صفحه)

$$K = \frac{h - h_1}{2}$$

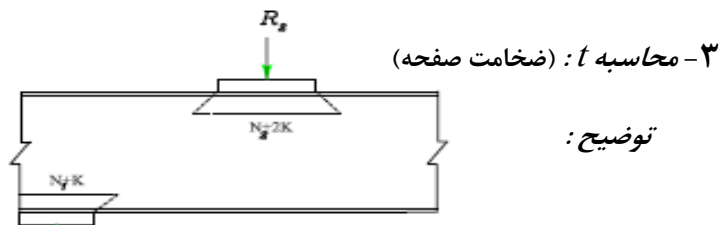
$K$ : ناحیه انحنای تیر

۲- محاسبه  $B$ : (عرض صفحه)

$$q = \frac{R}{N \times B} \leq \text{تنش فشاری مجاز مصالح} \rightarrow B = \dots$$

$R$ : عکس العمل تکیه گاه

$$n = \frac{B - b_f}{2} \quad \longrightarrow \quad t \geq 2n \sqrt{\frac{q}{F_y}}$$



توضیح:

$$\frac{R_2}{(N_2 + 2K)t_w} \leq 0.75F_y$$

اگر بار در مقطع میانی تیراژر کند (AISC ۸-۱۰-۱)

روش ارجاعی

$$\frac{R_1}{(N_1 + K)t_w} \leq 0.75F_y \quad \text{اگر عکس العمل انتهایی تیر مدنظر باشد (AISC ۹-۱۰-۱)}$$

### 5- طراحی اعضاء تحت خمش دو محوره:

برای طراحی این اعضاء ابتدا نسبت  $\frac{S_x}{S_y}$  را از پروفیل دلخواه انتخاب کرده و در رابطه زیر (I) قرار می دهیم و  $S_x$  را به دست می آوریم. با  $S_x$  به دست آمده پروفیل انتخاب می کنیم و رابطه اصلی خمش دو محوره را کنترل می کنیم.

$$(I) : S_x \geq \frac{M_x}{F_{bx}} + \frac{M_y}{F_{by}} \times \frac{S_x}{S_y}$$

$$\boxed{\frac{f_{bx}}{F_{bx}} + \frac{f_{by}}{F_{by}} \leq 1.0 \rightarrow \frac{M_x}{S_x \cdot F_{bx}} + \frac{M_y}{S_y \cdot F_{by}} \leq 1.0}$$

جدول مقادیر تقریبی  $\frac{S_x}{S_y}$  در نیمرخ های مختلف

نیمرخ INP	نیمرخ IPE	نیمرخ IPB
نمره نیمرخ	$\frac{S_x}{S_y}$	نمره نیمرخ
نمره ۸ الی ۱۴	۷	نمره ۱۰ الی ۱۶
نمره ۱۶ الی ۲۶	۸	نمره ۲۲ الی ۳۶ و ۴۵
نمره ۲۸ الی ۴۰	۹	نمره ۳۶ الی ۴۰ و ۴۵
نمره ۳۴ الی ۵۵	۹/۵	نمره ۴۰ الی ۵۰
نمره ۴۲/۵ الی ۵۵	۱۰	نمره ۵۰ الی ۹

## 5-10) کمانش جانبی تیرها:

مهار جانبی بال فشاری به منظور جلوگیری از کمانش جانبی تیرها در فواصل معین قرار داده می‌شود که تنש مجاز خمشی  $F_b$  بر حسب فواصل مهارها تعیین می‌شود: همواره باید سعی شود از کاربرد مهارهای مشکوک خودداری شود در حالتی که به مهار بودن مهار مطمئن نیستیم مهار باید باری برابر ( $A_f \cdot f_b$ )  $\approx 0.03 \sim 0.02$  را تحمل کند.

سطح بال فشاری تیر  $\rightarrow A_f$

تنش موجود خمشی تیر  $\rightarrow f_b$

5-11) تنش مجاز خمشی  $F_b$ :

حالت اول: اگر فواصل مهار جانبی بال فشاری از هر یک از دو مقدار زیر کمتر باشد.

$$L_C = \frac{635 \cdot b_f}{\sqrt{F_y}} \quad (\text{رابطه } ۱۰-۱ \text{ آیین نامه ایران})$$

$$L_U = \frac{14 \times 10^5}{\left(\frac{d}{A_f}\right) F_y} \quad (\text{رابطه } ۱۰-۱ \text{ آیین نامه ایران})$$

$$L_b < L_c, L_u \rightarrow F_b = 0.66 F_y \quad (\text{رابطه } ۱۰-۲ \text{ آیین نامه ایران})$$

نکته: مقطع فشرده علاوه بر شرط بالا بایستی سایر شرایط ذکر شده برای مقطع فشرده در فصل قبل را دارا باشد.

$\leftarrow A_f$  سطح بال فشاری

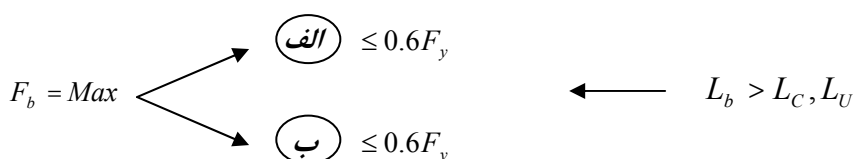
$\leftarrow b_f$  عرض بال فشاری

$\leftarrow d$  ارتفاع پروفیل

## حالت دوم:

$$\text{اگر } L_c < L_b < L_u \rightarrow F_b = 0.6 F_y \quad (\text{رابطه } ۱۰-۲ \text{ آیین نامه ایران})$$

حالت سوم: چنانچه فواصل مهار جانبی بال فشاری از  $L_u, L_c$  کمتر نباشد در این صورت تنش مجاز از بزرگترین مقدار رابطه الف و یا ب انتخاب می‌شود.



$$\text{الف) } F_b = \frac{8.4 \times 10^5}{L \cdot d} \cdot C_b \leq 0.6 F_y \quad (\text{رابطه } ۱۰-۵ \text{ آیین نامه ایران})$$

$\leftarrow C_b$  ضریب تشدید

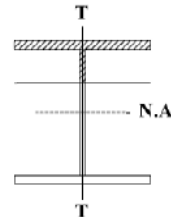
$\leftarrow L$  فواصل مهار جانبی بال فشاری

$$\left\{
 \begin{array}{l}
 \textcircled{1} \quad \text{اگر} \quad \frac{L}{r_T} \leq \sqrt{\frac{72 \times 10^5 \cdot C_b}{F_y}} \rightarrow F_b = 0.6F_y \quad (\text{رابطه } ۱-۱-۱-۱ \text{ قسمت پ ایران}) \\
 \\ 
 \textcircled{2} \quad \text{اگر} \quad \sqrt{\frac{72 \times 10^5 C_b}{F_y}} \leq \frac{L}{r_T} \leq \sqrt{\frac{360 \times 10^5 C_b}{F_y}} \quad (\text{رابطه } ۳-۲-۱-۱ \text{ ایران}) \\
 \rightarrow F_b = \left[ \frac{2}{3} - \frac{F_y \left( \frac{L}{r_t} \right)^2}{1075 \times 10^5 C_b} \right] F_y \leq 0.6F_y \\
 \\ 
 \textcircled{3} \quad \text{اگر} \quad \frac{L}{r_T} \geq \sqrt{\frac{360 \times 10^5 C_b}{F_y}} \rightarrow F_y = \frac{120 \times 10^5 C_b}{\left[ \frac{L}{r_t} \right]^2} \leq 0.6F_y \quad (\text{رابطه } ۴-۲-۱-۱ \text{ ایران})
 \end{array}
 \right.$$

 $: r_T$ 

شعاع زیراسیون مقطعي شامل مجموع بال فشاری و  $\frac{1}{3}$  منطقه فشاری جان می باشد که نسبت به محور مار بر جان تیر محاسبه می شود ( $cm$ ).  $r_T$  را می توان مساوی  $1.2r_y$  در نظر گرفت که  $r_y$  شعاع زیراسیون مقطع نسبت به محور ضعیف است. (بند ۱-۱-۱-۱ قسمت پ آینه ایران)

$$r_T = \sqrt{\frac{I_y / 2}{A_f + 1/6 A_w}} \quad (\text{برای پروفیل های نورد شده})$$



$$r_T = \sqrt{\frac{I_t}{A}} \quad : \text{در حالت کلی} \quad I_t : \text{ممان اینرسی قسمت ها هاشور خورده حول محور T}$$

$$A : \text{مساحت هاشور خورده (بال فشاری و } \frac{1}{3} \text{ جان فشاری)}$$

نکته ۱: از رابطه (الف) در تعیین تنفس مجاز زمانی می توان استفاده کرد که بتوان بال فشاری را مستطیل شکل دانست به طوری که سطح آن حداقل برابر سطح بال کششی باشد.

نکته ۲: از رابطه (ب) زمانی می توان استفاده کرد که پروفیل حتماً دارای یک محور تقارن بارگذاری باشد.

نکته ۳: برای تعیین تنفس مجاز در حالت سوم ابتدا از رابطه (الف) استفاده می کنیم اگر به  $0.6F_y$  رسید عملیات متوقف می شود.

نکته ۴: در پروفیل های نورد شده ما دنبال  $Max$  هستیم و رابطه اول جوابگو است.

 $: C_b$ 

ضریب تشدید تنفس می باشد که از رابطه رو بروی می شود:

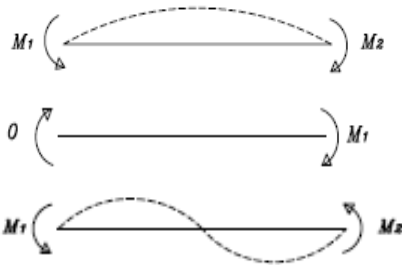
$$C_b = 1.75 + 1.05 \frac{M_1}{M_2} + 0.3 \left( \frac{M_1}{M_2} \right)^2 \leq 2.3 \quad (\text{رابطه } ۱-۱-۲-۶, \text{ آینه ایران})$$

$M_1, M_2$  به ترتیب لنگرخمشی حداقل و حداکثر تیر در محل تکیه گاه های جانبی می باشند و نسبت زمانی

مثبت است که سبب ایجاد دو قوس در منحنی تغییر شکل تیر شود و زمانی منفی است که سبب ایجاد یک قوس می

$$\text{گردد، در صورت این رابطه یعنی } \left| \frac{M_1}{M_2} \right| \leq 1 \text{ برقرار است.}$$

نمایان دهنده مهار جانبی



$$\frac{M_1}{M_2} < 0 \rightarrow C_b \leq 1.75$$

$$\frac{M_1}{M_2} = 0 \rightarrow C_b = 1.75$$

$$\frac{M_1}{M_2} > 0 \rightarrow 1.75 \leq C_b \leq 2.3$$

نکته ۱: اگر لنگرخمشی حداکثر در مقطعی از قطعه خمشی که بین دو مقطع مهار شده جانبی قطعه است بزرگ تراز باشد مقدار  $C_b = 1$  است.

نکته ۲: چنانچه مقدار  $C_b = 1$  در نظر گرفته شود، در جهت خسrib اطمینان خواهد بود.

نکته ۳: برای حل مسائل، ابتدا با رسم دیاگرام ممان و فواصل مهارها، منطقه بحرانی را می یابیم، منطقه ای است که در آن  $C_b$  کمترین و  $L$  (فواصل مهار) دارای بیشترین مقدار باشد و ممان بیشتری نسبت به سایر مناطق داشته باشد. برای منطقه بحرانی طراحی را انجام می دهیم و برای سایر نواحی کنترل می کنیم.

## جدول ۱ : آین نامه ایران

حداکثر نسبت پهنای آزاد به ضخامت مقاطع غیر فشرده		پهنای ضخامت	عضو تحت تنش	
مقاطع فشرده				
$\frac{795}{\sqrt{F_y}}$	$\frac{545}{\sqrt{F_y}}$	$\frac{b}{t}$	بالهای تیر نزد شده I و ناوادانی در خمش	
$\frac{795}{\sqrt{F_y/K_c}}^*$	$\frac{545}{\sqrt{F_y}}$	$\frac{b}{t}$	بالهای تیر مرکب I (با اتصال جوش) در خمش	
$\frac{635}{\sqrt{F_y}}$	کاربرد ندارد.	$\frac{b}{t}$	عضو فشاری تک نبیشی یا جفت نبیشی با اتصال و لقمه هایی بین دو نیم رخ	
$\frac{795}{\sqrt{F_y}}$	کاربرد ندارد.	$\frac{b}{t}$	بالهای برجسته در عضو فشاری جفت نبیشی در تماس سراسری با یکدیگر ، تسممه ها یا نبیشیها که بطور برجسته بر تیر یا ستون قرار گیرند ، قطعات تقویتی در تیرهای مرکب	
$\frac{1065}{\sqrt{F_y}}$	کاربرد ندارد.	$\frac{d}{t}$	تیغه (جان) نیم رخ سپری	
$\frac{2655}{\sqrt{F_y}}$	کاربرد ندارد.	$\frac{b}{t}$	پهنای آزاد در ورقهای تقویتی سوراخدار	
$\frac{1995}{\sqrt{F_y}}$	$\frac{1590}{\sqrt{F_y}}$	$\frac{b}{t}$	ورقهای تقویتی روی بال تیر با دو خط اتصال در دو لبه موازی ، بالهای مقطع قوطی شکل ( مربع یا مستطیل ) با ضخامت ثابت جدار در خمش یا فشار	
$\frac{2120}{\sqrt{F_y}}$	کاربرد ندارد.	$\frac{d}{t}$ یا $\frac{b}{t}$	تمام عناصر دریگری که در دو لبه تحت اثر فشار یکنواخت نگهداری شده باشند .	
	$\frac{5365}{\sqrt{F_y}}$	$\frac{d}{t}$	جان قطعات تحت اثر فشار حاصل از خمش	
$\frac{6370}{\sqrt{F_b}}$		$\frac{h}{t_w}$		
	برای حالت : $\frac{f_a}{F_y} \leq 0.16$ $\frac{5365}{\sqrt{F_y}}(1 - 3.74 \frac{f_a}{F_y})$	$\frac{d}{t_w}$	جان قطعات تحت اثر مشترک فشار حاصل از خمش و فشار محوری	
	برای حالت : $\frac{f_a}{F_y} > 0.16$ $\frac{2155}{\sqrt{F_y}}$			
$\frac{6370}{\sqrt{F_b}}$		$\frac{d}{t_w}$		
	$\frac{232 \cdot 10^3}{F_y}$	$D/t$	تحت فشار محوری	مقاطع دایره ای
	$\frac{232 \cdot 10^3}{F_y}$	$d/t$	تحت خمش	تو خالی (لوله شکل)

(12-5) برگه طراحی تیر فلزی:

## برگه طراحی تیر فلزی (روش تنش مجاز)

طبقه:	شماره تیر در تحلیل:			تیپ تیر:
نیروهای طراحی	$M_{\max} (t.m)$	$V_{\max} (t)$	$L(cm) =$	$F_y = 2400 kg/cm^2$
<b>طراحی خمشی</b>				
	$F'_b = 0.66F_y \Rightarrow w_{req} = \frac{M_{\max}}{F'_b} =$			
مشخصات مقطع	$w_x(cm^3)$	$b_f(cm)$	$t_f(cm)$	$d(cm)$
	$L_c = \min \left\{ \frac{635b_f}{\sqrt{F_y}}, \frac{14 \cdot 10^5}{(d/A_f)F_y} \right\} =$			$L_d =$
$L_d \leq L_c$	مهار جانبی شده	$L_d > L_c$		مهار جانبی نشده
فسرده		$\lambda = \frac{L_b}{r_T} =$ $C_b = 1.75 + 1.05(M_1/M_2) + 0.3(M_1/M_2) =$ $\begin{cases} \lambda \leq \lambda_1 \Rightarrow F_{bl} = 0.6F_y \\ \lambda_1 < \lambda < \lambda_2 \Rightarrow F_{bl} = [2/3 - \lambda^2 F_y / 1075 \cdot 10^5 C_b] F_y \\ \lambda > \lambda_2 \Rightarrow F_{bl} = 120 \cdot 10^5 C_b / \lambda^2 \end{cases}$		$\lambda_1 = \sqrt{\frac{72 \cdot 10^5 C_b}{F_y}} =$ $\lambda_2 = \sqrt{\frac{360 \cdot 10^5 C_b}{F_y}} =$
غیرفسرده		$F_{b2} = \frac{840000 C_b}{(L_b d / A_f)} \leq 0.6 F_y =$ $F_b = \text{Max}\{F_{b1}, F_{b2}\} =$		$(kg/cm^2)$
	$F_b (kg/cm^2)$	$F_b (ETABS) (kg/cm^2)$	$f_b (kg/cm^2)$	$f_b \leq F_b$
				O.K.
<b>طراحی برشی</b>				
$\frac{h}{t_w}$	$\frac{h}{t_w} \leq \frac{3185}{\sqrt{F_y}} = 65.01$	$f_v$ $(kg/cm^2)$	$F_v = 0.4 F_y$ $(kg/cm^2)$	$f_v \leq F_v$
	O.K.			O.K.
<b>کنترل تغییر شکل (cm)</b>				
$\delta_{all}(D+L) = L/240$	$\delta_{\max}(D+L)$	$\delta_{all}(L) = L/360$	$\delta_{\max}(L)$	$\delta_{\max} \leq \delta_{all}$
				O.K.

## ۶

## مباحث تکمیلی طرح تیرها

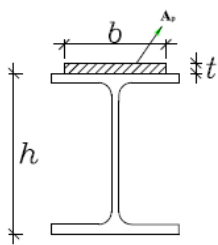
## ۱-۶) طرح تیر با ورق تقویت:

دلایل تقویت تیر:

- ۱) موجب صرفه جویی اقتصادی می شود .
- ۲) در صورت نبودن پروفیل مورد نظر در کارگاه ، بسیار مناسب است .

دو راه برای تعیین ابعاد ورق تقویت ارائه شده است :

الف) روابط تقریبی برای حدس ورق تقویت :



$$A_p = 1.2 \frac{S - S_0}{h} \quad \text{در صورت استفاده از یک ورق}$$

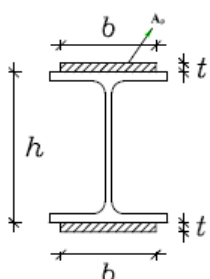
تعیین  $b \times t \geq A_p$  با دقت در شرایط اجرایی

$\leftarrow S$  اساس مقطع لازم

$\leftarrow S_0$  اساس مقطع پروفیل موجود

$\leftarrow h$  ارتفاع پروفیل

$$A_p = \frac{S - 0.9S_0}{h} \quad \text{در صورت استفاده از دو ورق}$$



: در این فرمول مساحت دو ورق تقویت بالا و پایین است .

$2 \times b \times t \geq A_p \rightarrow$  انتخاب  $b$  ،  $t$  (عرض و ضخامت) با دقت به شرایط اجرایی

لازم  $S \geq S$  نیمرخ ها و ورق ها : کنترل دقیق

نکته : عرض ورق تقویت بایستی به گونه ای انتخاب شود که به اندازه یک خط جوش در طرفین ، از عرض بیشتر و یا کمتر باشد .

برای تعیین طول تقویت ، رابطه تقریبی زیر برای تیر ساده با بارگذاری ارائه شده است :

$$L' = L \sqrt{\frac{S - S_0}{S}}$$

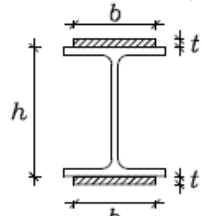
$\leftarrow S_0$  طول کل تیر

$\leftarrow S$  اساس مقطع لازم

$\leftarrow L'$  طول نظری تقویت

ب) روابط دقیق برای تعیین ورق تقویت :

ورق ها  $(S_x)$   $= S_{x_0} +$  پروفیل  $(S_x)$  مورد نیاز



در این روش با فرض معقول  $b$  یا  $t$  ، دیگری را از رابطه زیر بدست می آوریم :

$$S = \frac{I}{C} = \frac{1}{C} [I_x + \frac{b}{12} ((h + 2t)^3 - h^3)] \geq S \quad \text{مورد نیاز} \quad \longrightarrow \quad b, t \text{ موجود}$$

برای محاسبه‌ی طول ورق تقویت، قابل تحمل پروفیل را بدست آورده و از دیاگرام لنگر خمی، مسافتی که ورق تقویت نیاز دارد، محاسبه می‌کنیم.

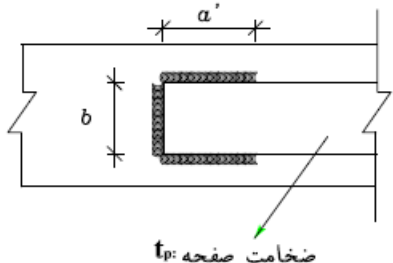
$$\text{تش مجاز خمی } (F_b \times S_x) \times \text{پروفیل} = M \text{ ممان قابل تحمل پروفیل}$$

به این ترتیب طول نظری تقویت محاسبه می‌شود.

چند نکته:

۱) محاسبه طول عملی ورق تقویت: (بند ۱۰-۱-۱۲، آیین نامه ایران)

$$\text{طول نظری} + 2a' \geq \text{طول عملی تقویت}$$



۱) جوش ورق به بال پروفیل از سه طرف صورت گیرد

$$1) a' = b \quad \text{if} \quad \frac{3}{4}(t_p) \geq \text{اندازه جوش} \quad (2)$$

۱) جوش ورق به بال پروفیل از سه طرف صورت گیرد

$$2) a' = 1.5b \quad \text{if} \quad \frac{3}{4}(t_p) < \text{اندازه جوش} \quad (2)$$

۳)  $a' = 2b$  if ۱) ورق از دو ضلع جانبی جوش شده باشد

با تعیین مقدار  $a'$  و اضافه کردن آن به دو طرف ورق تقویت، طول عملی تسمه تعیین می‌شود.

۲) مجموع سطح مقطع های ورق های تقویتی در تیرهای مرکب با اتصال پیچ و یا پرج نباید از ۷۰ درصد سطح مقطع کل بال تجاوز کند. البته این جمله را آیین نامه در مورد اتصال جوش نیز پذیرفته است.

$$A_p \leq 0.7 A_f \quad (\text{بند ۱۰-۱-۱۲، آیین نامه ایران})$$

۳) کنترل کمانش موضعی ورق حتماً بایستی انجام گیرد:

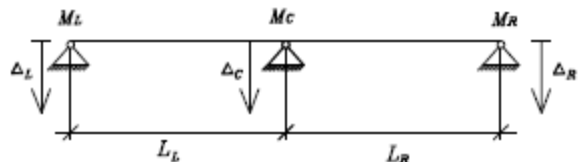
$$\frac{b}{t} = \frac{1590}{\sqrt{F_y}} \quad (\text{جدول ۱ - آیین نامه ایران}) \quad \text{که البته در اکثر موارد رابطه رو برو برقرار است.}$$

## 6-2) قیر سراسری:

یاد آوری:

قضیه سه لنگر: این قضیه رابطه بین لنگرهای سه نقطه از عضو خمی برقرار می‌کند. از این قضیه برای تحلیل سازه‌های نامعین استفاده می‌شود. لازم به ذکر است که رابطه سه لنگر را باید به شمار درجه نامعینی سازه به کار گرفت. به این ترتیب با حل همزمان معاملات ایجاد شده، لنگرهای خمی مجھول پیدا می‌شوند:

$$\begin{aligned} & \left[ \frac{M \cdot L}{I} \right]_L + 2M_c \left[ \frac{L}{I} \right]_L + \left[ \frac{L}{I} \right]_R + \left[ \frac{M \cdot L}{I} \right]_R = \\ & -6 \left[ \frac{S \cdot \bar{x}}{I \cdot L} \right]_L - 6 \left[ \frac{S \cdot \bar{x}}{I \cdot L} \right]_R + 6E \left[ -\left( \frac{\Delta}{L} \right)_L + \Delta C \left( \frac{1}{L_L} + \frac{1}{L_R} \right) - \left( \frac{\Delta}{L} \right)_R \right] \end{aligned}$$



- $\leftarrow S_R$  مساحت نمودار ممان در قسمت راست  
 $\leftarrow S_L$  مساحت نمودار ممان در سمت چپ  
 $\leftarrow \bar{x}_R$  فاصله مرکز سطح ممان در قسمت راست تا تکیه گاه کناری  
 $\leftarrow \bar{x}_L$  فاصله مرکز سطح نمودار ممان در قسمت چپ تا تکیه گاه کناری  
 $\leftarrow \Delta_L$  نشست تکیه گاه چپ  
 $\leftarrow \Delta_R$  نشست تکیه گاه راست  
 $\leftarrow \Delta_c$  نشست تکیه گاه وسط

نکته: در صورتی که تکیه گاه گیردار باشد، یک دهانه فرضی باید اضافه نشود و یک رابطه اضافی نوشته شود.

### باز توزیع لنگر:

شرایط: در صورتی از عملیات باز توزیع لنگر استفاده می‌شود که اولاً سازه نامعین و ثانیاً مقطع فشرده باشد.

### ضوابط فشرده:

۱) اتصال بال به جان پیوسته باشد.

$$\frac{b_f}{2t_f} \leq \frac{545}{\sqrt{F_y}} \quad (\text{جدول آین نامه ایران}) \quad (2)$$

$$\frac{d}{t_w} \leq \frac{5365}{\sqrt{F_y}} \quad (\text{جدول آین نامه ایران}) \quad (3)$$

۴) فواصل مهار جانبی بال فشاری از  $L_u, L_c$  کمتر باشد.

$$L_c = \frac{635 \cdot b_f}{\sqrt{F_y}} \quad (\text{رابطه ۱۰ - ۱ - آین نامه ایران})$$

$$L_u = \frac{14 \times 10^5}{\left[ \frac{d}{A_f} \right] F_y} \quad (\text{رابطه ۱۰ - ۱ - ۲ - آین نامه ایران})$$

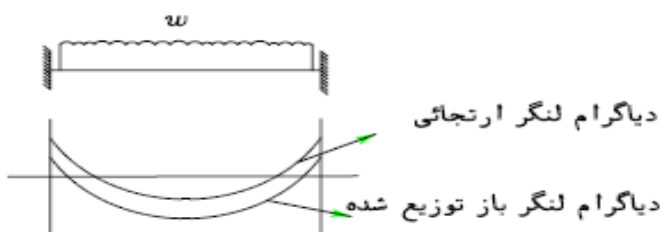
نکته: باز توزیع لنگر عبارت است از رسیدن لنگر از نواحی بیشتر به نواحی کمتر.

اعضایی که شرایط مقطع فشرده با نگهداری جانبی را دارند و در تکیه گاه مانند تیر سراسری ادامه می‌یابند، یا با اتصال صلب به ستون متصل‌اند و به صورت عضوی از قاب صلب کار می‌کنند، در حالتی که لنگر حداقل در محل تکیه گاه بوجود آید، می‌توان آنها را برای تحمل ۰,۹ لنگر منفی مربوط به بارهای قائم محاسبه کرد به شرطی که لنگر مثبت میان دهانه را به مقدار ۰,۱ میانگین لنگرهای منفی دوسر، افزایش داد (بند ۱۰ - ۱ - ۲ - آین نامه ایران)

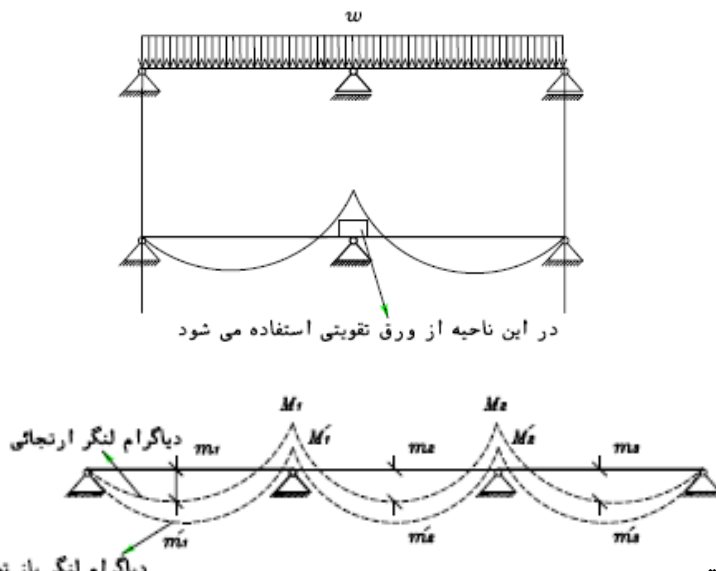
### نحوه باز توزیع لنگر:

(لنگر منفی روی تکیه گاه) =  $0,9 \cdot \text{لنگر تکیه گاه باز توزیع شده}$

(متوسط لنگرهای منفی دو سر دهانه) =  $0,1 \cdot \text{لنگر مثبت وسط دهانه} + \text{لنگر وسط دهانه باز توزیع شده}$



نکته: یکی از مواردی که از ورق تقویت زیاد استفاده می‌شود در تیرهای سراسری است، زیرا شبیه لنگر منفی زیاد و طول ورق تقویت کاهش می‌یابد و بهتر است تیر برای لنگر مثبت طرح و برای لنگر منفی تقویت شود و در طول کمی به ورق تقویت نیاز داریم.



$$\begin{cases} M'_1 = 0.9M_1 \\ M'_2 = 0.9M_2 \\ m'_1 = m_1 + 0.1\left(\frac{0+M_1}{2}\right) \\ m'_2 = m_2 + 0.1\left(\frac{M_1+M_2}{2}\right) \\ m'_3 = m_3 + 0.1\left(\frac{M_2+0}{2}\right) \end{cases}$$

#### مراحل گام به گام طراحی تیر سراسری با ورق تقویت:

- ۱ - با فرض فشردگی مقطع، لنگرهای باز توزیع شده را محاسبه می‌کنیم.
- ۲ - طراحی تیر با لنگر مثبت (لنگر کمتر).
- ۳ - طراحی تقویت تیر، برای آنکه بتواند  $M$  را تحمل کند. (تعیین ضخامت و عرض ورق تقویت)
- ۴ - تعیین طول نظری ورق تقویت براساس ممان قابل تحمل پروفیل.
- ۵ - بدست آوردن طول عملی.
- ۶ - انجام کنترل های رو برو:

۱) مجموع سطح مقطع های ورق تقویتی در تیرهای مرکب با اتصال پیچ و یا پرج نباید از  $70^{\circ}$  درصد سطح مقطع کل بال تجاوز کند.

$$A_p \leq 0.7 A_f \quad (\text{بند } ۱۰-۱-۱-۱۲, \text{ آیین نامه ایران})$$

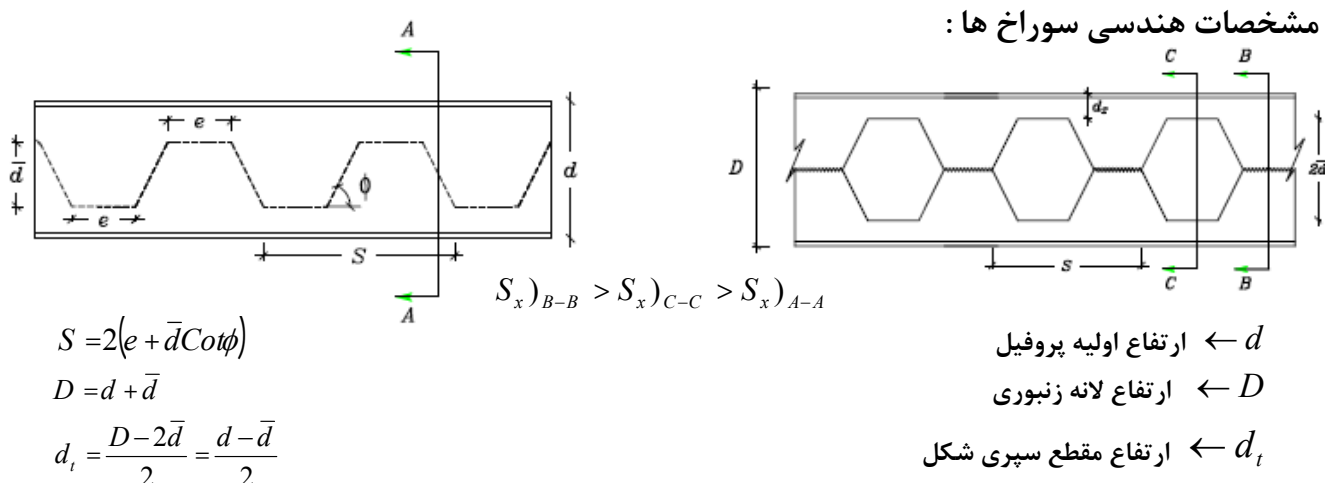
$$\frac{b}{t}_{Pl} = \frac{1590}{\sqrt{F_y}} \quad (\text{جدول } ۱, \text{ آیین نامه ایران}) \quad (۲)$$

#### ۷ - کنترل ۴ شرط فشردگی مقطع

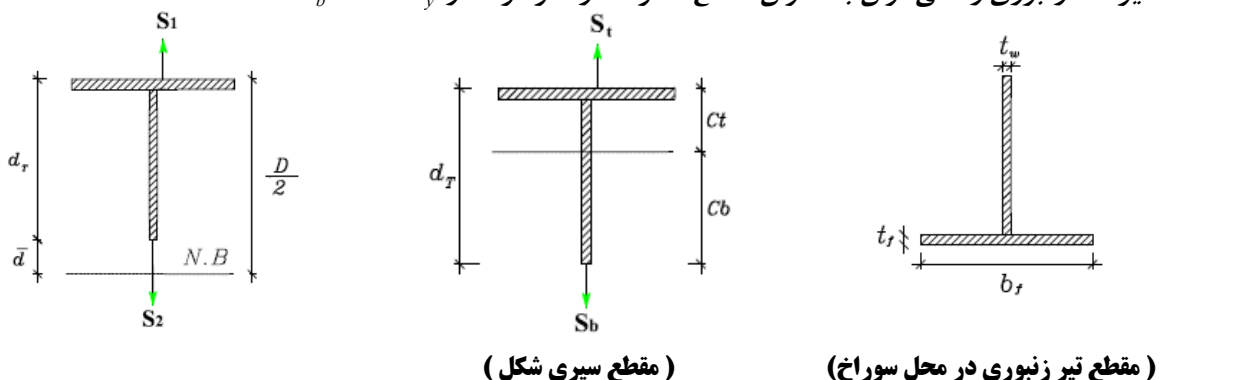
۸ - اگر شرایط فشردگی صدق نکرد، باید از دیاگرام لنگر باز توزیع نشده مسئله را حل کنیم که مسلمانه ابعاد ورق تقویت افزایش می‌یابد. (نکته: برای تعیین طول ورق تقویت، بهتر است از ابتدا از دیاگرام لنگر باز توزیع نشده استفاده کنیم).

## (3-6) تیر لانه زنبوی

از نیمرخ های گرم کارخانه ای با ایجاد یک الگوی برش در جان تیر و اتصال دو قسمت بریده نشده به یکدیگر تیر لانه زنبوی بدست می آید. تیر جدید دارای ارتفاع بیشتر از تیر نورد شده اولیه بوده و همین افزایش ارتفاع موجب افزایش قابل ملاحظه ای در مقاومت خمشی تیر می شود، بدون آنکه تعییر قابل ملاحظه ای در وزن تیر ایجاد گردد.



نکته: تیر لانه زنبوی را نمی توان به عنوان مقطع فشرده در نظر گرفت و  $F_b = 0.6F_y$



$I_g$ : ممان اینرسی مقطع زنبوی در محل سوراخ حول محور خنثی

$I_t$ : ممان اینرسی مقطع سپری شکل حول محور خنثی

$S_1$ : اساس مقطع تیر زنبوی در تار بالا

$S_2$ : اساس مقطع قسمت تیر زنبوی در تار پایین

$S_t$ : اساس مقطع قسمت سپری شکل در تار بالا

$S_b$ : اساس مقطع قسمت سپری شکل در تار پایین

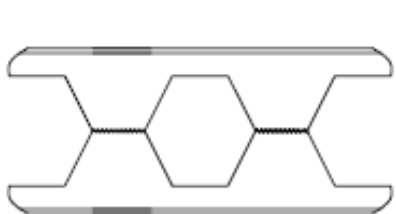
$A_t$ : مساحت قسمت سپری

$C_t$ : فاصله از تار خنثی تا بالاترین تار مقطع سپری

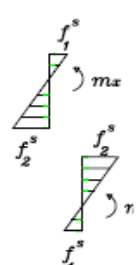
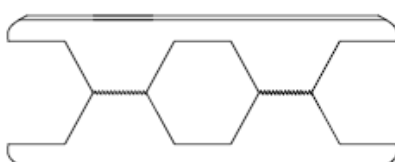
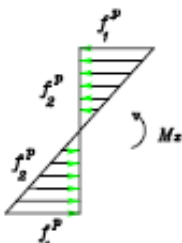
$C_b$ : فاصله از تار خنثی تا پایین ترین تار مقطع سپری

## معیارهای طراحی:

## ۱) معیار خمش:



(الف) تنش ناشی از خمش اصلی



(ب) تنش ناشی از خمش ثانویه

$$f_1^P = \frac{M_x}{S_1}$$

$$f_1^S = \frac{m_x}{S_t}$$

$$m_x = \frac{V_x \cdot e}{2}$$

$$f_2^P = \frac{M_x}{S_2}$$

$$f_2^S = \frac{m_x}{S_b}$$

. تنش های محوری ناشی از خمشی اصلی در تارهای بالایی و انتهایی مقطع زنبوری .

. تنش های محوری ناشی از خمشی ثانویه در تارهای بالایی و انتهایی T شکل .

. لنگر ثانویه سپری شکل .

$$f_1 = |f_1^P| + |f_1^S| = \left| \frac{M_x}{S_1} \right| + \left| \frac{m_x}{S_t} \right|$$

$$f_2 = |f_2^P| + |f_2^S| = \left| \frac{M_x}{S_2} \right| + \left| \frac{m_x}{S_b} \right|$$

مقادیر  $f_1, f_2$  باید از تنش های مجاز خمش در فشار و کشش کمتر باشند در غیر این صورت سوراخ از لحاظ خمش پاسخگو نبوده و باید پر گردد .

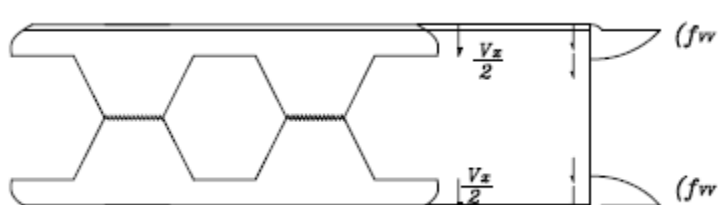
## ۲) معیار کمانش موضعی اجزای سپری شکل :

$$\frac{b_f}{2t_f} \leq \frac{795}{\sqrt{F_y}} \quad (\text{جدول ۱ - آینین نامه ایران})$$

$$\frac{d}{t_w} \leq \frac{1065}{\sqrt{F_y}} \quad (\text{جدول ۱ - آینین نامه ایران})$$

## ۳) معیار برش قائم :

توزیع تنش برشی در مقطع به صورت سهمی بوده و مقدار حد اکثر آن در محل محور خنثی می باشد که از رابطه زیر



بدست می آید :

$$(f_{vv})_{Max} = \frac{\frac{V_x}{2} \times \bar{Q}}{I_t \cdot t_w} < F_v = 0.4F_y$$

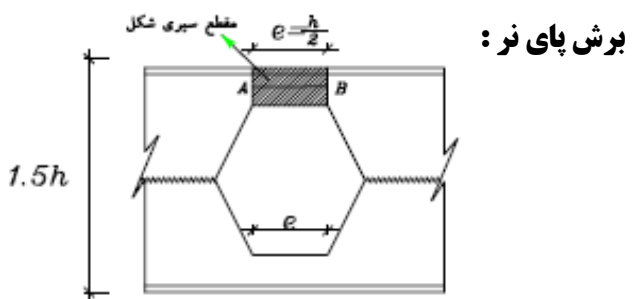
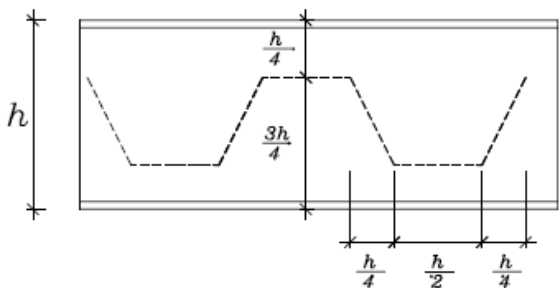
$I_t$ : ممان اینرسی مقطع سپری شکل حول محور خنثی

لنگر سطح حداکثر مقطع سپری است، در صورتیکه رابطه فوق ارضانشود، باید مقطع سوراخ پرشود که در صورت پرشدن سوراخ تنفس برخشی در مقطع با جان پر به صورت زیرکنترل می‌شود:

$$f_v = \frac{V_x}{D \cdot t_w} < 0.4F_y$$

ضخامت جان  $\leftarrow t_w$

ارتفاع تیر زنبوری  $\leftarrow D$



از آنجاکه انجام کنترل های ارائه شده در صفحات قبل در حل مسائل امتحانی وقت گیر و طولانی است لذا **مراحل گام به گام طراحی تیرهای زنبوری** را به صورت زیر ارائه می‌دهیم:

۱) رسم دیاگرام برش و خمش تیر.

۲) طرح پروفیل زنبوری براساس ممان ماکزیمم.

۳) تعیین معادلات نیروی برشی و لنگر خمشی در طول تیر.

۴) کنترل برش در تیر:

$$\frac{V}{A} \leq 0.4 \cdot F_y \rightarrow x > \dots$$

$$A = 2 \left( \frac{h}{4} \right) (t_w)$$

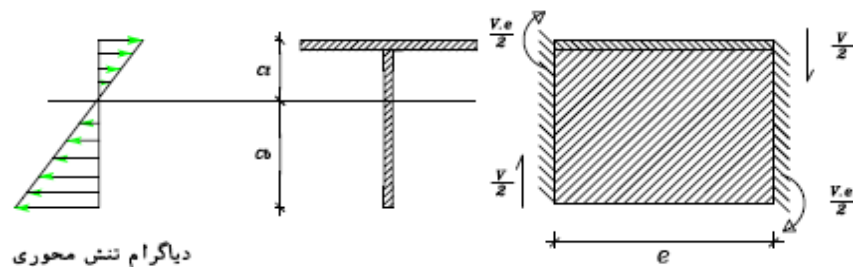
با کنترل این رابطه ناحیه‌ای که برش جوابگو نیست و باقیستی با ورق سوراخ‌های تیر لانه زنبوری را پر کرد مشخص می‌شود.

۵) کنترل خمش اولیه و ثانویه:

$$S_1 = \frac{I_g}{D/2}, S_t = \frac{I_t}{C_t}$$

$$f_1^P = \frac{M_x}{S_1}, f_2^S = \frac{m_x}{S_t}$$

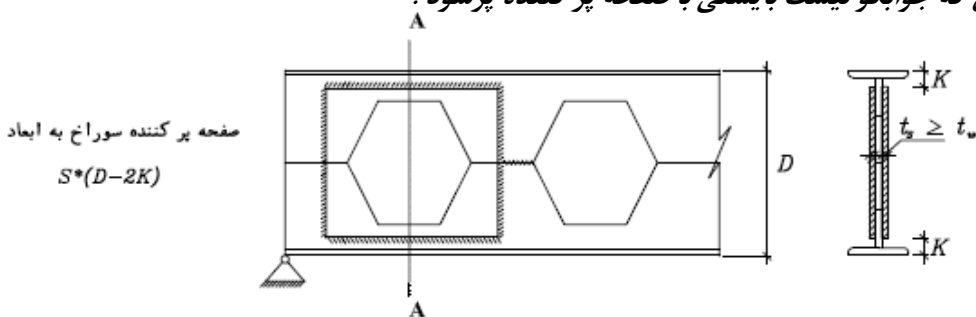
برای راحتی کار نسبت به حالت قبل، کنترل خمش اولیه و ثانویه را فقط در دورترین تار مقطع انجام می‌دهیم.  
(بالاترین یا پایین ترین تار مقطع زنبوری)



$$e = \frac{h}{2} \quad , \quad m_x = \frac{V \cdot e}{2} = \frac{V \cdot h}{4} \rightarrow \quad f_1^S = \frac{m_x \cdot C_t}{I_t} = \frac{\frac{V \cdot h}{4}}{\frac{I_t}{C_t}} = \frac{V \cdot h}{4S_t}$$

$$f_1^P + f_1^S \leq F_b \Rightarrow \frac{M_x}{S_1} + \frac{V \cdot h}{4S_t} \leq 0.6F_y \rightarrow \dots < x < \dots$$

6) با توجه به محدودهای  $x$  که کنترل برش و خمش تعیین می‌شود، در صورت برقرار نبودن هر یک از روابط برش یا خمش، ناحیه‌ای که جوابگو نیست بایستی با صفحه پرکننده پرسود.

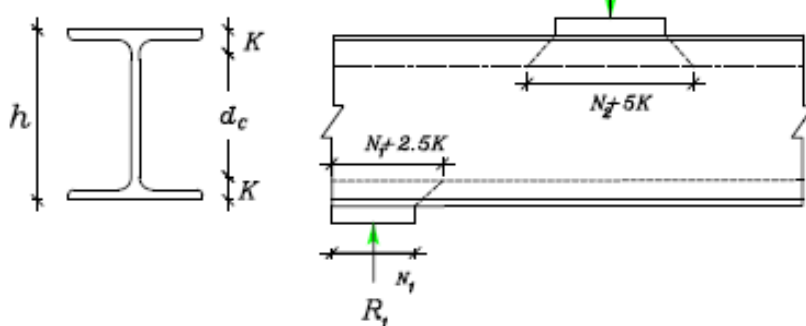


### 3-6) مسائل ویژه در طرح تیر:

(بند ۱۰-۱-۸-۱، آیین نامه ایران)

۱) کنترل جاری شدن موضعی جان:

توصیه:  $N \geq K$



$\leftarrow R$  ← بار متتمرکز یا عکس العمل تکیه گاه

$\leftarrow d_c$  ← ناحیه صاف جان تیر

$\leftarrow K$  ← ناحیه انحنای جان تیر

در تیرها و شاه تیرهای مرکب (با اتصال جوشی) باید روابط زیر برقرار شوند:

$$\frac{R_1}{(N_1 + 2.5K)t_w} \leq 0.66F_y \quad (\text{رابطه } ۱۰-۸-۳, \text{ آیین نامه ایران})$$

روش حد خمیری

$$\frac{R_2}{(N_2 + 5K)t_w} \leq 0.66F_y \quad (\text{رابطه } ۱۰-۸-۴, \text{ آیین نامه ایران})$$

$$\frac{R_1}{(N_1 + K)t_w} \leq 0.75F_y \quad (\text{رابطه } ۱ - ۱۰ - ۹, AISC)$$

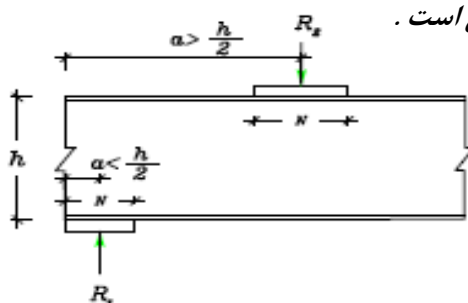
روش ارجاعی

$$\frac{R_2}{(N_2 + 2K)t_w} \leq 0.75F_y \quad (\text{رابطه } ۱ - ۱۰ - ۸, AISC)$$

نکته: از روابط حد خمیری برای کنترل جاری شدن موضعی جان واژ روابط روش ارجاعی برای طراحی زیرساخت ها استفاده می شود.

نکته: اگر روابط موفق برقرار نشود، بقیه قطعات فشاری تقویتی ضروری است.

۲) کنترل لهیدگی در جان تیر:



وقتی که نیروی فشاری از مقادیر زیر تجاوز کند، باید قطعات تقویتی فشاری در روی جان اضافی که تحت اثر بار های متتمرکز هستند قرار داده شود.

۱- اگر بار متتمرکز در فاصله  $\frac{h}{2}$  از بیش از عضو وارد شود:

$$R_2 = 566 \cdot t_w^2 \left[ 1 + 3 \left[ \frac{N}{h} \right] \left[ \frac{t_w}{t_f} \right]^{1.5} \right] \sqrt{F_{yw} \cdot \frac{t_f}{t_w}} \quad (\text{رابطه } ۱ - ۸ - ۴, \text{آین نامه ایران})$$

۲- اگر بار متتمرکز در فاصله کمتر از  $\frac{h}{2}$  از انتهای عضو وارد شود:

$$R_1 = 285 \cdot t_w^2 \left[ 1 + 3 \left[ \frac{N}{h} \right] \left[ \frac{t_w}{t_f} \right]^{1.5} \right] \sqrt{F_{yw} \cdot \frac{t_f}{t_w}} \quad (\text{رابطه } ۱ - ۸ - ۵, \text{آین نامه ایران})$$

حد جاری شدن فولاد جان تیر  $\rightarrow F_{yw}$

نکته: اگر قطعات تقویتی گذارده شده حداقل تا نصف ارتفاع جان ادامه یابد بررسی روابط صفحه قبل لازم نخواهد بود.

۳) کنترل کمانش توأم با انتقال جانبی در جان تیر:

بقیه قطعات تقویتی فشاری در جان تیرهایی که از حرکت جانبی بال توسط مهار جلوگیری نشده و تحت اثر بارهای متتمرکز فشاری از حدود زیر بیشتر شود:

۱- اگر بال بار گذاری شده در مقابل دوران زاویه ای نگهداری شده و نسبت  $\frac{d_c \cdot b_f}{L \cdot t_w}$  کمتر از ۲، ۳ باشد:

$$R = \frac{480 \times 10^3 \cdot t_w^3}{h} \left[ 1 + 0.4 \left[ \frac{d_c / t_w}{L / b_f} \right]^3 \right] \quad (\text{در رابطه } ۱ - ۸ - ۶, \text{آین نامه ایران})$$

$$R = \frac{480 \times 10^3 \cdot t_w^3}{h} \left[ 0.4 \left[ \frac{d_c / t_w}{L / b_f} \right]^3 \right]$$

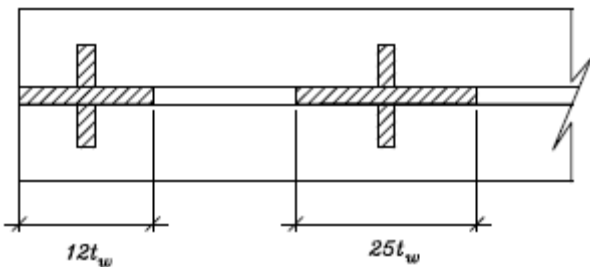
(رابطه ۱۰ - ۸ - آینه ایران)

$L$  ← : بزرگ ترین طول بدون تکیه گاه جانبی در هر یک از بال‌ها در محل بال متوجه

$b_f$  ← : عرض بال ،  $t_w$  ← : ضخامت جان ،  $d_c$  ← : ناحیه صاف جان

در صورتی که نسبت  $\frac{d_c \cdot b_f}{L \cdot t_w}$  از مقدار ۲،۳ و یا ۱،۷ (بسته به حالت مورد بحث) بزرگ‌تر باشد، احتیاجی به بررسی روابط نیست. برای بالی که تحت اثر بال گسترده هموار قرار گیرد نیاز احتیاجی به این بررسی نمی‌باشد.

#### ۴) بقیه قطعات تقویتی در بارها متوجه:



اگر قطعه تقویتی نیاز باشد، این قطعات باید به ستون فرضی با بار محوری محاسبه شوند و طول مؤثر ستون فرضی ۰.۷۵h است. سطح مقطع این ستون عبارت است از سطح مقطع جفت قطع تقویتی به اضافه نواری از جان که پهنه‌ای آن در قطعات تقویتی میانی  $25t_w$  و در قطعات انتهایی  $12t_w$  است. h در اینجا ارتفاع آزاد جان بین دو بال است.

در حالتی که در اتصال انتهایی تیر یا شاهتیر با ستون، برای انتقال لنگر، بال یا ورق اتصال بال تیر به بال ستونی با نیمرخ  $I$ ، جوش شود، یک جفت قطعه تقویتی باید در جان ستون قرار گیرد که سطح مقطع آن از رابطه زیر کمتر نشود.

$$A_{st} = \frac{P_{bf} - F_{yc} \cdot t_{wc} (t_b + 5K)}{F_{yst}}$$

(رابطه ۱۰ - ۸ - آینه ایران)

$F_{yc}$  ← : تنش جاری شدن ستون

$F_{yst}$  ← : تنش جاری شدن سخت کننده

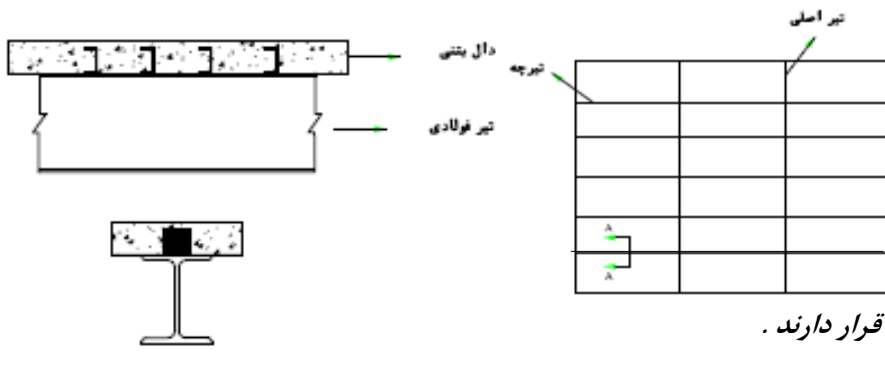
$t_b$  ← : ضخامت بال تیر یا ورق اتصال

برای توضیح بیشتر به قسمت طراحی سخت کننده در اتصال صلب و طراحی ورق‌های اتکایی در تیر ورق‌ها مراجعه شود.

## ۷

## تیرهای مختلط

همکاری دال بتني و تیر فولادی در برابری سازه را مقطع مرکب می‌گویند. اين در صورتی است که از برش گيرها برای تحمل نيروي برشی بين سطح فولادی و بتني که از اختلاف لنگر حاصل می‌شود، استفاده کنیم. در اين سистем دال بتني در برابری سازه مؤثر است.



برش گيرها متناسب با عرض تير بال قرار دارند.

## (1-7) عرض مؤثر دال بتني :

$$b_E = b_f + \begin{cases} b' & \text{در تير کناري} \\ 2b' & \text{در تير ميانى} \end{cases}$$

L : طول دهانه تير

(AISC, 1-11-1)

(AISC, 1-11-1)

برای مشاهده روابط ارائه شده برای عرض مؤثر دال در آیینه ایران به بند ۱۰ - ۲ - ۱ - ۱۰، قسمت الف مراجعه شود

## (2-7) محاسبه مشخصات مقطع:

$$E_s = 2.1 \times 10^6 \text{ bar}$$

$$E_c = W^{1.5} (0.136) \sqrt{f'_c} \text{ bar} \xrightarrow{W=2300 \frac{\text{Kg}}{\text{m}^3}} E_c = 15000 \sqrt{f'_c}$$

$$W = 2300 \frac{\text{Kg}}{\text{m}^3} \quad (\text{وزن مخصوص بتن معمولی})$$

$$n = \frac{E_s}{E_c}$$

طبق توصیه آیینه n بهتر است عدد صحیحی انتخاب شود که معمولاً بین ۹ تا ۱۰ است.

نکته: اگر از تير لانه زنبوری بخواهیم استفاده کنیم، بخارط برش بالایی که در اين تيرهای کامپوزیت وجود دارد،

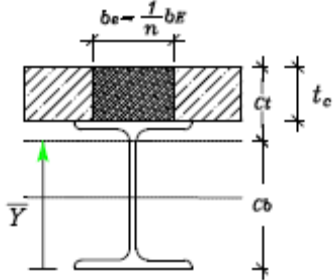
باید تمام سوراخهای آنرا پر کنیم.

### (3-7) محاسبات تیرهای مرکب در دو حالت متفاوت:

#### ۱) اجرای با شمع بندی:

در این شرایط روش تیر را با استفاده از شمع تقویت می‌کنیم و فرض می‌کنیم سازه در حین ساخت هیچ باری را تحمل نمی‌کند و همه بارها توسط شمع ها تحمل می‌شود و پس از گیرش بتن، شمع ها را خارج می‌کنیم.

در این حالت کنترل ها فقط بعد از گیرش بتن است که شامل بار مرده و زنده است.



مقطع بتنی را به مقطع فولادی معادل تبدیل می‌کنیم و داریم:

$$\bar{Y} = \frac{\sum A_i \cdot Y_i}{\sum A_i} \rightarrow \bar{Y} = \dots$$

$$I = \sum I_0 + \sum A \cdot d^2$$

$\leftarrow$  محل محور خنثی مقطع مرکب

$\leftarrow$  ممان اینرسی مقطع مرکب

$\leftarrow$  اساس مقطع نسبت به تار بالا

$\leftarrow$  اساس مقطع نسبت به تار پایین

$\leftarrow$  فاصله از تار خنثی تا بالاترین تار

$\leftarrow$  فاصله از تار خنثی تا پایین ترین تار

$$M = M_D + M_L$$

کنترل لازم بعد از گیرش بتن:

$$\begin{cases} f_t = \frac{M_D + M_L}{nW_t} = \dots \leq & \text{تنش مجاز بتن} \\ f_b = \frac{M_D + M_L}{W_b} = \dots \leq & \text{تنش مجاز فولاد} \end{cases}$$

نکته ۱: در این حالت بارها پیش بینی نشده نداریم.

نکته ۲: چون بین بتن و فولاد در گیری کامل برقرار است، فواصل مهار جانبی بال فشاری صفر است و تنش مجاز فولاد  $F_y = 0.66F_b$  است. (برای توضیح بیشتر به فصل قطعات خمشی مراجعه شود)

نکته ۳: اگر تار خنثی در مقطع بتنی قرار گیرد، از آنجا که بتن در کشش می‌خورد و بی اثر است محل تار عوض شود که با استفاده از رابطه صفحه بعد می‌توان موقعیت جدید تار خنثی را تعیین کرد؛ در موقعیت جدید تار خنثی نیز، باز بخشی از بتن در کشش می‌باشد که می‌توان مجددًا موقعیت جدید  $\bar{Y}$  را تعیین کرد. (سعی و خطأ)

$$\begin{cases} Q_t = \frac{b_e(d + t_s - \bar{Y})^2}{2} \\ Q_b = A_s \left( \bar{Y} - \frac{d}{2} \right) \end{cases} \Rightarrow Q_t = Q_b \rightarrow \bar{Y} = \dots$$

MASAHAT PROFIL ← ارتفاع پروفیل ← d ← ضخامت دال بتنی ←  $A_s$

نکته ۴: گاهی اوقات تیر را ضعیف تر انتخاب می کنند و از یک صفحه فلزی کششی استفاده می شود تا طراحی اقتصادی تر شود.

## ۲) اجرایی بدون شمع بندی:

۱) قبل از گیرش بتن: که فولاد بایستی به تنها ی وزن خود وزن بتن، وزن قالب بندی و بارهای پیش بینی نشده را تحمل کند.

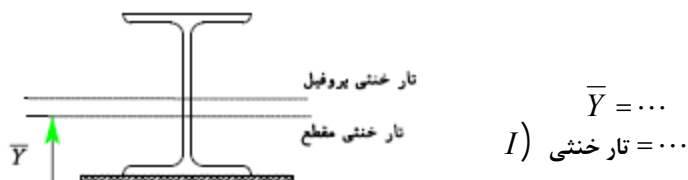
$$D_1 = (\dots + \underbrace{\text{وزن بتن}}_{\text{بارهای پیش بینی نشده}} + \text{وزن فولاد})$$

۲) بعد از گیرش بتن: بایستی بارهای  $D_1, D_2, L$  توسط مقطع مرکب تحمل شود در این مرحله با قبل از گیرش متفاوت است زیرا بار ( $\dots$ ) حذف می شود.

$$\begin{cases} D_1 \\ D_2 \rightarrow D_1 \\ L \rightarrow \text{بار زنده} \end{cases}$$

در این روش دو سری  
کنترل انجام می شود:

## کنترل های قبل از گیرش بتن:



$$\begin{cases} \text{مقطع مرکب} & \leftarrow W_{sb} \\ \left( \text{پروفیل} + \text{ورق} \right) & \left( \begin{array}{l} W_{sb} = \frac{I}{C_b} \\ W_{st} = \frac{I}{C_t} \end{array} \right) \end{cases}$$

اساس مقطع پروفیل (مقطع فولادی) نسبت به تار پایین  
اساس مقطع پروفیل نسبت به تار بالا

## کنترل تنش در مقطع فولادی قبل از گیرش بتن:

$$\begin{cases} f_{st} = \frac{M_{D_1}}{W_{st}} \leq \text{تنش فولاد} \\ f_{sb} = \frac{M_{D_1}}{W_{sb}} \leq \text{تنش فولاد} \end{cases} \rightarrow M_{D_1} \leftarrow \text{ممان حاصل از بار مرده } D_1 \text{ قبل از گیرش بتن.}$$

نکته: اگر از ورق تقویتی استفاده نگردد،  $W_{st} = W_t$  خواهد بود.

از آنجا که فواصل مهار جانبی فشاری قبل از گیرش صفر نیست پس تنفس مجاز رابطه (الف) تعیین می شود:

(رابطه ۱۰ - ۲ - ۵، آینه ایانه ایران)

$$F_b = \frac{8.4 \times 10^5}{L \cdot d} C_b \leq 0.6 F_y$$

$$\frac{A_f}{A_f}$$

نکته: در طراحی، کنترل های قبل از گیرش سیار تعیین کننده در نمره پروفیل است. و برای حدس اولیه مورد استفاده قرار می گیرد. زیرا در صورت عدم وجود مهار جانبی در طول تیر، تنفس مجاز به شدت کاهش می یابد.

نکته: همان طور که قبلاً ذکر شد می توان از یک صفحه فلزی جهت تقویت بال کششی تیر استفاده کرد.

### کنترل های بعد از گیرش بتون:

در این قسمت ابتدا مانند اجرای با شمع بندی  $I$ ,  $W_b$ ,  $W_t$  را برای مقطع مرکب محاسبه می کنیم و کنترل های زیر را انجام می دهیم.

$$(M_{D_1} + M_{D_2})$$

$$\uparrow$$

$$1) \quad f_b = \frac{M_D + M_L}{W_b} \leq (0.66 F_y) \quad \text{تنش کششی فولاد}$$

$$2) \quad f_C = \frac{M_{D_2} + M_L}{n W_t} \leq (0.45 f'_C) \quad \text{تنش فشاری بتون}$$

$M$ : لنگر ناشی از بار مرده بدون بارهای پیش بینی نشده

$M$ : لنگر ناشی از بارهای مرده کفسازی

$W_b$ : اساس مقطع نسبت به تار پایین (بتون + ورق + پروفیل)

از بین دو رابطه زیر یکی را کنترل می کنیم زیرا یکسان هستند.

$$f_{sb} = \frac{M_{D_1}}{W_{sb}} + \frac{M_{D_2} + M_L}{W_b} \leq 0.9 F_y \quad W_{sb}$$

$$\frac{W_b}{W_{sb}} \leq 1.35 + 0.35 \frac{M_{D_2} + M_L}{M_{D_1}}$$

نکته: قبل از گیرش بتون متفاوت است زیرا بعد از گیرش بارهای پیش بینی نشده مثل وزن بتون انباسته و... حذف می شود.

نکته: بعد از گیرش بتون فواصل مهار جانبی صفر است و تنفس مجاز فولاد  $F_b = 0.66 F_y$  است.

### 4-7) کنترل خیز:

ماکزیمم خیز تیر دو سر مفصل با بارگسترده:

$$\Delta_{\max} = \frac{5}{384} \frac{q L^4}{E.I}$$

الف) با شمع بندی:

$$\left\{ \begin{array}{l} q = q_{D+L} \\ I = \text{پروفیل} \end{array} \right. \longrightarrow \left\{ \begin{array}{l} \Delta_{D+L} \leq \frac{L}{240} \\ \Delta_L \leq \frac{L}{360} \end{array} \right.$$

ب) بدون شمع بندی:

$$\left. \begin{array}{l} \Delta_{D_1} = \left\{ \begin{array}{l} q = q_{D_1} \\ I = \text{پروفیل} \end{array} \right. \\ \Delta_{D_2} = \left\{ \begin{array}{l} q = q_{D_2} \\ I = \text{کامپوزیت} \end{array} \right. \\ \Delta_L = \left\{ \begin{array}{l} q = q_L \\ I = \text{کامپوزیت} \end{array} \right. \end{array} \right\} \rightarrow \Delta_{D+L} = (\Delta_{D_1} + \Delta_{D_2} + \Delta_L) \leq \frac{L}{240} \Rightarrow O.K$$

$$\Delta_L \leq \frac{L}{360} \rightarrow O.K$$

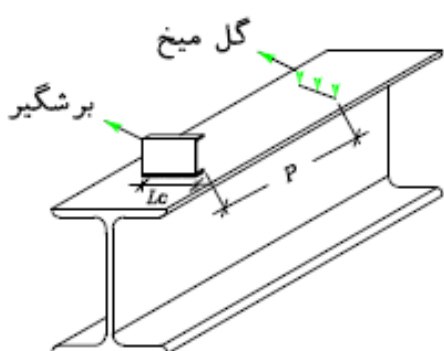
## (5-7) طرح برشگیرها:

(1) طرح برشگیر بر اساس بارهای وارد:

طبیعتاً تراکم برشگیری‌ها در نزدیکی تکیه‌گاه بیشتر است، ولی آیین نامه اجازه نمی‌دهد که برشگیرها را در تمام سطح به طور یکسان قرار دهیم. (با فواصل یکسان)

$$\tau = \frac{V \cdot Q}{I \cdot t} \rightarrow \tau \times t \times P = \text{نیروی برشی هر برشگیر}$$

$$\Rightarrow \frac{V \cdot Q}{I \cdot t} \times t \times P \leq q \quad (\text{ظرفیت برشی هر برشگیر}) \rightarrow P \leq \frac{q}{\frac{V \cdot Q}{I}}$$



$P$  ← فاصله دو برشگیر  
 $V$  ← مقدار برش در مقطع  
 $I$  ← ممان اینرسی مقطع مرکب  
 $Q$  ← گشتاور اول سطح مقطع بتنی که به صورت فولاد معادل شده است.  
 $t$  ← فصل مشترک پروفیل و مقطع  
 $q$  ← مقادیر مجاز ظرفیت هر برشگیر در آیین نامه ارائه شده است.  
 $L_c$  ← طول هر برشگیر (cm)

(2) طرح برشگیر به روش مقاومت نهایی:

برش افقی در محل تماس تیر فولادی و دال بتنی باید توسط برشگیرها که بر بال فوچانی تیر فولادی جوش شده و داخل بتن فرو رفته‌اند، حمل گردد، برای عملکرد مختلط کامل با بتنی که تحت فشار خمثی می‌باشد، برش افقی کل که باید بین نقطه حداقل لنگر خمثی و نقطه لنگر صفر حمل گردد، مساوی کوچکترین مقدار به دست آمده از رابطه زیر در نظر گرفته می‌شود: (بند ۱۰ - ۱ - ۲ - ۷، قسمت ت). آیین نامه ایران

$$V_h = 0.85 f'_C \cdot \frac{A_C}{2} + F_{yr} \cdot \frac{A'_S}{2} \quad (\text{رابطه } ۱۰ - ۲ - ۱۷, \text{ آیین نامه ایران})$$

$$V_h = F_Y \cdot \frac{A_S}{2} \quad (\text{رابطه } ۱۰ - ۲ - ۱۸, \text{ آیین نامه ایران})$$

$f'_C \leftarrow$  مقاومت فشاری بتن

$A_C \leftarrow$  مساحت واقعی سطح مؤثر بتنی

$A_S \leftarrow$  سطح مقطع تیر فولاد

$A'_S \leftarrow$  سطح مقطع فولاد فشاری موجود در ناحیه عرض مؤثر که در محاسبات مشخصات هندسی مقطع منظور شده است.

$A'_{yr} \leftarrow$  تنش تسليیم حداقل مقرر میلگردهای

در تیرهای مختلط پیوسته که در آن میلگردهای طولی در نواحی لنگر منفی به صورت مختلط با تیر فولادی عمل نمایند، کل نیروی برشی افقی که باید توسط برشگیرها در حد فواصل تکیه گاه داخلی و نقطه عطف مجاور حمل گردد از رابطه زیر بدست می‌آید: (بند ۱ - ۲ - ۷، قسمت ت)، آینه ایان)

$$V_h = F_{Yr} \frac{A_{Sr}}{2} \quad (\text{رابطه } ۱۰ - ۲ - ۱۹, \text{ آینه ایان})$$

$A_{Sr} \leftarrow$  سطح مقطع کل میلگردهای طولی واقع در عرض مؤثر در روی تکیه گاه داخلی ( محل ممان منفی ماکزیمم )

$F_{Yr} \leftarrow$  تنش تسليیم حداقل مقرر میلگردهای طولی

برای عملکرد مختلط کامل، تعداد برشگیرها در هر طرف نقطه حداکثر لنگر خمی که برای مقاومت در مقابل برش افقی طراحی می‌شوند، از رابطه زیر محاسبه می‌شود: (بند ۱ - ۲ - ۷، قسمت ت)، آینه ایان)

$$n = \frac{V_h}{q} \quad (\text{رابطه } ۱۰ - ۲ - ۲۰, \text{ آینه ایان})$$

$V_h \leftarrow$  نیروی برشی افقی که طبق روابط صفحه قبل بدست می‌آید.

$q \leftarrow$  نیروی برشی مقاوم مجاز یک برشگیر طبق جدول ارائه شده است.

$n$  : تعداد برشگیر در هر طرف نقطه حداکثر لنگر

$P$  : فاصله برشگیرها از یکدیگر

7-7) تعیین مقدار  $q$  از جدول آینه ایان :

\* جدول ۱ - الف - نیروی برشی افقی مجاز ( $q$ ) برای یک برشگیر بر حسب تن

مقادیر فشاری بتن (Kg/cm <sup>2</sup> )			نوع برشگیر **
۲۰۰	۲۵۰	۳۰۰	
۲,۲	۲,۵	۲,۷	گلمیخ سر پهن یا قلاط شده به قطر ۱,۳ و طول ۵,۰ سانتیمتر
۳,۵	۳,۹	۴,۲	گلمیخ سر پهن یا قلاط شده به قطر ۱,۶ و طول ۶,۵ سانتیمتر
۵	۵,۶	۶	گلمیخ سر پهن یا قلاط شده به قطر ۲,۰ و طول ۷,۵ سانتیمتر
۶,۸	۷,۶	۸,۲	گلمیخ سر پهن یا قلاط شده به قطر ۲,۲ و طول ۹,۰ سانتیمتر
۰,۷۲ W	۰,۸۴ W	۰,۸۹ W	ناودانی ۸۰ ***
۰,۷۸ W	۰,۸۹ W	۰,۹۵ W	ناودانی ۱۰۰ ***
۰,۸۳ W	۰,۹۵ W	۱,۰ W	ناودانی ۱۲۰ ***

\* مقادیر جدول فقط برای بتن با وزن مخصوص معمولی طبق ASTM 33 قابل استفاده است.

\*\* برای گلمیخها بلندتر از مقادیر ذکر شده، می‌توان از مقادیر نیروی برشی افقی ارائه شده استفاده کرد.

\*\*\* طول ناودانی به سانتیمتر است.

(جدول ۱۱-۴، آینه نامه AISC)

بار مجاز $q$ بر حسب KN (بن متعارف)			نوع برشگیر
$f'_c$ مقاومت فشاری استوانه بنی			
۲۸۰	۲۴۰	۲۱۰	
۲۵	۲۲	۲۰	گل میخ به قطر 12 mm و طول 5 cm
۴۳	۳۸	۳۵	گل میخ به قطر 12 mm و طول 5 cm
۶۵	۶۰	۵۵	گل میخ به قطر 12 mm و طول 5 cm
۸۰	۷۵	۶۵	گل میخ به قطر 12 mm و طول 5 cm
۱۳۵ W	۱۲۵ W	۱۲۰ W	ناودانی UNP 8
۱۴۰ W	۱۳۰ W	۱۲۵ W	ناودانی UNP 10
۱۵۵ W	۱۴۵ W	۱۳۵ W	ناودانی UNP 12

 $W$  - طول ناودانی

## چند نکته:

- ۱ - فاصله برشگیرها نباید از 8 برابر ضخامت دال بنی بیشتر شود (گل میخ ها) (بند ۱۰-۱-۲-۷، قسمت ت)، ایران)
- ۲ - حداقل فاصله مرکز به مرکز گل میخ های برشگیر در امتداد محور تیر مساوی 6 برابر قطر و در امتداد عرضی، مساوی 4 برابر قطر است. (بند ۱۰-۱-۲-۷، قسمت ت)، ایران)
- ۳ - بار  $D_1$  در حالت بدون شمع بندی، قبل و بعد از گیرش به دلیل یک سری از بارهای پیش بینی نشده (مثل بن انباشته روی سقف و افرادی که بن را پخش و ویر می کنند و...) متفاوت است.
- ۴ - معمولاً اجرای با شمع بندی موجب کاهش نمره پروفیل نسبت به حالت بدون شمع بندی می شود.
- ۵ - کنترل خیز: از آنجا که عملکرد دال بنی به تیر فولادی کمک می کند، نمره پروفیل نسبت به حالت عادی کاهش یافته و خیز حتماً بایستی کنترل شود.
- ۶ - عملکرد مقطع مرکب در ناحیه لنگر مثبت قابل استفاده است و برای منفی مناسب نیست، چون بن در کشش ضعیف است ترک می خورد.
- ۷ - به عنوان توصیه در طرح برشگیرها، برای تیرهای کوتاه  $V$  را ممان عکس العمل تکیه گاه قرار می دهیم، که جهت ضریب اطمینان است ولی برای تیرهای با دهانه زیاد، بهتر است دیاگرام برش را به صورت پلکانی تبدیل کرده و در قسمت جداگانه برشگیر را طرح کنیم استفاده از عکس العمل تکیه گاه در تیرهای با دهانه زیاد، غیر اقتصادی است.
- ۸ - اگر از شمع بندی استفاده شود، تیر در ابتدا خیزی ندارد و بعد از برداشتن شمع، خیز به تیر وارد می شود و کنترل خیز مانند حالت عادی است و از I تیر مرکب استفاده می کنیم.
- ۹ - در حالت بدون شمع بندی ابتدا I تیر تنها را کنترل کرده و در مرحله دوم بار  $D_2$  و بار زنده وارد مسئله می شوند، که مجدداً I تیر مرکب مورد استفاده قرار می گیرد. دو رابطه با هم مقایسه و جمع دو حالت را وارد محاسبه می کنیم.

(7-7) برگه طراحی تیر مختلط:

(بدون شمع بندی)		<i>Composit</i>		برگه طراحی تیرهای	
نام پروژه :		طبقه :			
محاسب :		محور :			
: تاریخ		انتها :			ابتدا :
از :	صفحه				تیپ تیر :
مشخصات مصالح مصرفی					
$F_y = 2400$	$f'_c =$	$L =$	$b =$		
$E_s =$	$E_c =$	$n =$	$t_c =$		
تعیین لنگرهای طراحی و کنترل کفايت پروفیل					
$LL = (Kg/m^2)$	معادل + کفسازی	$D_2 = (Kg/m^2)$	$D_1 = (Kg/m^2)$		
$q_l = LL \times b = (Kg/m)$		$ML = q_l \cdot L^2 / 8 = (T.m)$			
$q_{D2} = D_2 \times b = (Kg/m)$		$MD_2 = q_{D2} \cdot L^2 / 8 = (T.m)$			
$q_{D1} = D_1 \times b + W_{pro} + 0.04b =$		$MD_1 = q_{D1} \cdot L^2 / 8 = (T.m)$			
<i>USE : IPE 200(d= , b= , t_w= , t_f= , G= , A= , I_x= , S_x= )</i>					
$f_{st} = MD_1 / S_x =$		$F_b = (840000 / (L \cdot d / A_f)) \times C_b =$			
$f_{st} \leq F_b \quad O.K$					
کنترل های قبل از گیرش بتن					
$b_E = \min \begin{cases} L/4 = \\ b_0 = \\ b_f + 16 \cdot t_c = \end{cases}$					
$\longrightarrow b_e = b_E / n =$					
$Y =$	$Q_t = Q_b$	$\longrightarrow Y' =$	$I =$		
$W_b = I / C_b =$		$W_t = I / C_t =$			

## کنترل های بعد از گیرش بن

$$\left\{ \begin{array}{l} f_b = (M_D + M_L) / W_b = \leq 0.66 F_y = \\ f_c = (M_{D2} + M_L) / n.W_b = \leq 0.45 f'_c = \\ f_{sb} = M_{D1} / W_s b + (M_{D2} + M_L) / W_b = \leq 0.9 F_y = \end{array} \right.$$

## کنترل خیز

$$\left\{ \begin{array}{l} \Delta L = (5/384). (q_L \times L^4) / E.I_{comp} = \leq L/360 = \\ \Delta D_1 = (5/384). (q_{D1} \times L^4) / E.I_{pro} = \\ \Delta D_2 = (5/384). (q_{D2} \times L^4) / E.I_{comp} = \\ \Delta D_2 + \Delta D_1 + \Delta L = \leq L/240 = \end{array} \right.$$

## طراحی بر شگرها

$$Vh = \min \left\{ \begin{array}{l} ((0.85 \times f'_c \times A_c) / 2 = \\ As.F_y / 2 = \end{array} \right. \quad \text{فرض UNP}$$

$$q = 0. / 5 \angle, w = Ton \quad w = cm \quad \text{طول UNP}$$

$$N = Vh / q =$$

$$N = \quad \text{تعداد UNP در طول دهانه}$$

$$P = L / N =$$

## برگه طراحی تیرچه کرومیت:

## برگه طراحی تیرچه کرومیت

تیپ تیرچه:

کنترل خمس مقطع قبل از گیرش بتن						
$F_y (kg/cm^2)$	تنش تسلیم فولاد	$Y (cm)$	$I (cm^4)$	$S_{ts} = I/Y$		
$f_c (kg/cm^2)$	مقاومت فشاری بتن					
$DL (kg/m^2)$	بار مرده اضافی					
$LL (kg/m^2)$	بار زنده	$W_{D1} (t/m)$	$M_{D1} (t.m)$	$f_{bc} (kg/m^2)$	$F_{bc} (kg/m^2)$	$f_{bc} \leq F_{bc}$
$b_E (m)$	عرض بار گیر					O.K.
$t_c (cm)$	ضخامت بتن	کنترل خمس مقطع پس از گیرش بتن				
$L (m)$	طول دهانه	$b_e (cm)$	$Y (cm)$	$I_c (cm^4)$	$S_{tc} = I_c/Y$	
مشخصات نیشی فوقانی						
$A (cm^2)$	سطح	$W_{D2} (t/m)$	$M_{D2} (t.m)$	$W_L (t/m)$		
$I_1 (cm^4)$	سمان اینرسی					
$e (cm)$	خروج از مرکز		$M_D = M_{D1} + M_{D2}$	$M_L (t.m)$		
$W (kg/m)$	وزن					
مشخصات بال تحتانی			$f_{bt} = (M_D + M_L)/S_{tc}$	$F_{bt} (kg/m^2)$	$f_{bt} \leq F_{bt}$	
$b (cm)$	عرض					O.K.
$t (cm)$	ضخامت	تربیب تنش ها در دو مرحله بارگذاری				
$x (cm)$	فاصله بال فوقانی تا روی بتن	$m = S_{tc}/S_{ts}$	$k = 1.35 + 0.35(M_{D2} + M_L)/M_{D1}$	$m \leq k$		
$d (cm)$	فاصله بال فوقانی تا بال تحتانی					O.K.
$E_s (kg/cm^2)$	ضریب ارتجاعی فولاد	کنترل برش				
$E_c (kg/cm^2)$	ضریب ارتجاعی بتن	$V = (W_{D1} + W_{D2} + W_L) \cdot L/2$	$V_r (ton)$	$V \leq V_r$		
$A_s (cm^2)$	سطح مقطع میلگرد جان					O.K.
کنترل خیز						
			$\delta_{D+L} (cm)$	$\delta_{all}(D+L) = L/240$	$\delta_{max} \leq \delta_{all}$	
						O.K.
			$\delta_L (cm)$	$\delta_{all}(L) = L/360$	$\delta_{max} \leq \delta_{all}$	
						O.K.

## ۸

## تیرستون

در سازه های واقعی اکثر ستون ها علاوه بر نیروی محوری ، لنگر انتهایی یا بار جانبی وارد بر خود رانیز تحمل نماید که اصطلاحاً به چنین اعضایی که هم نیروی محوری و هم ممان خمی را باید تحمل نمایند ، تیرستون می گویند .

ضوابط طراحی به روش آبین نامه ایران : (بند ۱۰-۱-۶-۱، آبین نامه ایران )

این آبین نامه با در نظر گرفتن تغییرات لنگر حاصل از بار های جانبی برای طراحی این نوع قطعات دو فرمول میانگین که بر طبق آنها پایداری و عدم جاری شدن قطعه را کنترل می کند ارائه می دهد .

(1-8) فرمول اول : اگر  $\frac{f_a}{F_a} > 0.15$  باشد :

$$(الف) \quad \frac{f_a}{0.6F_y} + \frac{f_{bx}}{F_{bx}} + \frac{f_{by}}{F_{by}} \leq 1.0$$

(رابطه ۱۰-۶-۲، آبین نامه ایران )

$$(ب) \quad \frac{f_a}{F_a} + \frac{C_{mx}}{\left(1 - \frac{f_a}{F'_{ex}}\right)} \cdot \frac{f_{bx}}{F_{bx}} + \frac{C_{my}}{\left(1 - \frac{f_a}{F'_{ey}}\right)} \cdot \frac{f_{by}}{F_{by}} \leq 1.0$$

(رابطه ۱۰-۶-۱، آبین نامه ایران )

نکته : در رابطه (ب) ، برای تعیین  $C_b = 1$  ،  $F_{bx}$  قرار می دهیم ، چون  $C_m$  در رابطه وجود دارد .

(2-8) فرمول دوم : اگر  $\frac{f_a}{F_a} \leq 0.15$  باشد :

$$\frac{f_a}{F_y} + \frac{f_{bx}}{F_{bx}} + \frac{f_{by}}{F_{by}} \leq 1.0 \quad (رابطه ۱۰-۶-۳، آبین نامه ایران )$$

$f_a, F_a$  : تنش موجود و مجاز فشاری

$f_{bx}, F_{bx}$  : تنش موجود و مجاز خمی حول x

$f_{by}, F_{by}$  : تنش موجود و مجاز خمی حول y

تنش اولر که بر ضریب اطمینان تقسیم شده که مقدار آن عبارت است از :

$$F'_e(x,y) = \frac{12 \cdot \pi^2 \cdot E}{23 \cdot \lambda^2(x,y)} = \frac{105 \times 10^5}{\lambda^2(x,y)} \quad (بند ۱۰-۱-۶-۱، آبین نامه ایران )$$

(3-8) تعیین  $C_m$  : (بند ۱۰-۱-۶-۱، آبین نامه ایران )

۱ - اگر عضو قسمتی از قاب با انتقال جانبی باشد ، این ضریب برابر ۰,۸۵ بود .

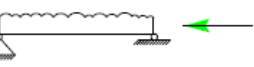
۲ - اگر عضو قسمتی از قاب بدون انتقال جانبی باشد :

الف) اگر قطعه مستقیماً تحت اثر بار خارجی نباشد :

$$C_m = 0.6 - 0.4 \frac{M_1}{M_2} \geq 0.4$$

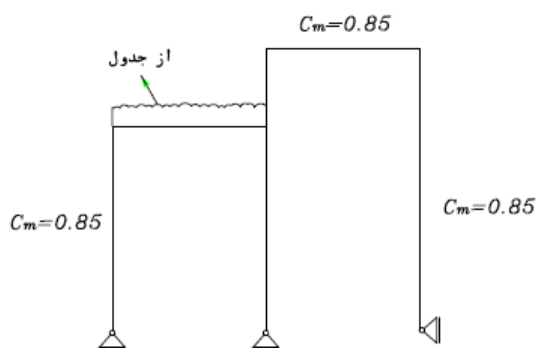
ب) اگر قطعه مستقیماً تحت اثر تأثیر باز خارجی باشد ، در این صورت مقدار  $C_m$  از جدول زیر محاسبه می شود :

(جدول c AISc , ۱-۶-۱)

	Case	$\psi$	$C_m = 1 + \Psi\alpha$
۱		-	۱,۰
۲		-۰,۳	$1 - 0.3 \frac{f_a}{F'_e}$
۳		-۰,۴	$1 - 0.4 \frac{f_a}{F'_e}$
۴		-۰,۲	$1 - 0.2 \frac{f_a}{F'_e}$
۵		-۰,۴	$1 - 0.4 \frac{f_a}{F'_e}$
۶		-۰,۶	$1 - 0.6 \frac{f_a}{F'_e}$

نکته: اگر بارگذاری روی تیرستون منطبق بر جدول بالا نباشد، باز هم می‌توان با تقریب از روابط جدول استفاده کرد.

مثال:



تبصره: در صورتی که قطعه تحت تأثیر بار ثقلی و جانبی تأمین قرار گیرد، تنש‌های مجاز به میزان  $\frac{1}{3}$  افزایش می‌یابد، افزایش ۱,۳۳ در تنش مجاز معادل ضریب ۰,۷۵ به تنش‌های موجود است. یعنی:

تنش مجاز  $\leq$  تنش موجود  $\times 0,75$  (بند ۱۰-۰-۵-۱، آینه ایران)

نکته: در محاسبات اجرایی در تعیین  $C_m$  برای اعضایی که در انتهای آنها لنگر وجود ندارد  $C_m = 1$  و برای اعضایی که انتهای آنها لنگر وجود دارد  $C_m = 0.85$  در نظر گرفته شود. (بند ۱۰-۱-۶-۱، آینه ایران)

#### ۴-۸) انتخاب مقطع اولیه تیرستون:

$$P_{eq} \geq P + M_x \cdot \frac{A}{S_x} \cdot \frac{F_a}{F_{bx}} + M_y \cdot \frac{A}{S_y} \cdot \frac{F_a}{F_{by}}$$

$P_{eq}$  برای تعیین  $S_y, S_x$  برای پروفیل فرضی است.

$$A \geq \frac{P_{eq}}{F_a} : \text{انتخاب پروفیل}$$

فرضیات:

$$F_a = 1000 \text{ bar} \quad -1$$

$$F_{bx} = 0.6 \cdot F_y \quad -2$$

$$F_{by} = 0.75 \cdot F_y \quad -3$$

#### (5-8) مراحل گام به گام طراحی تیرستون ها:

مرحله ۱: ترسیم دیاگرام نیروی محوری و ممان خمشی برای بار ثقلی و بار جانبی به طور جداگانه

مرحله ۲: تعیین  $P_{eq}$

$$A \geq \frac{P_{eq}}{F_a}$$

مرحله ۳: تعیین نوع پروفیل

مرحله ۴: کنترل فشاری تیرستون:

$$\begin{cases} \lambda_x = \frac{KL}{r} \\ \lambda_y = \frac{KL}{r} \end{cases} \rightarrow \lambda_{\max} = \max\{\lambda_x, \lambda_y\} \rightarrow \text{تعیین } F_a \rightarrow$$

کنترل:  $\frac{P}{A} = f_a \leq F_a$

مرحله ۵: کنترل خمشی تیرستون:

(۱) کنترل فشردگی

(۲) تعیین  $F_{by}, F_{bx}$

(۳) تعیین  $f_{by}, f_{bx}$

(۴) کنترل اینکه:  $f_{by} \leq F_{by}$  ،  $f_{bx} \leq F_{bx}$

(۵) تعیین  $F'_{ey}, F'_{ex}$

(۶) تعیین  $C_{my}, C_{mx}$

مرحله ۶: تعیین نسبت  $\frac{f_a}{F_a}$  و مقایسه با ۰.۱۵ برای تعیین رابطه کنترلی

صفحه ۶۳ .

فرمول اول

فرمول دوم

نکته: اگر یک عضو خرپایی دارای تغییرات نیروی محوری باشد، مقدار  $K$  برای صفحه عمود برابر است با:

$$K = 0.75 + 0.25 \frac{f_{\min}}{f_{\max}} \quad (\text{در عضو عمود بر صفحه})$$

## ۹

## پیچش

لنگر پیچشی به اعضای سازه های نظیر ساختمان های معمولی و پل ها معمولاً به صورت مستقیم وارد نمی شود و معمولاً در اثر بارهای خارج از مرکز در اعضای این سازه های پدید می آید . هرچند لنگر پیچشی در بسیاری موارد تنها بار وارد به اعضای ساختمان های معمولی نیست ، ولی چنانچه تنش های حاصل از آن به طور مناسب شناسایی و کنترل نشود ، ممکن است باعث بروز خرابی در سازه شود .

## (1-9) راه حل ساده برای طراحی قطعات خمشی توأم با پیچش :

در این روش لنگر پیچشی اعمالی به تیر را به زوج نیرو در بال های مقطع I شکل تبدیل میکنیم (پیچش را به خمین تبدیل می کنیم) بنابراین هر یک از بال ها تحت تأثیر نیرویی قرار گرفت که خمین حول محور قوی بال را ایجاد می کند و در نهایت با توجه به اینکه کدامیک از حالات زیر رخ می دهد ، رابطه مربوط را کنترل می کنیم :



:I (2-9)

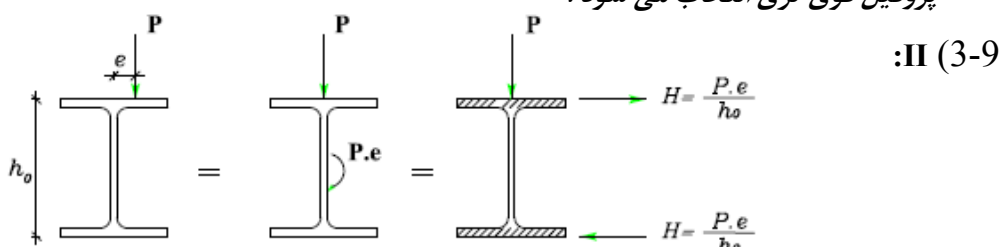
$$\text{Contorol: } \frac{f_{bx}}{F_{bx}} + \frac{f_{by}}{F_{by}} \leq 1.0$$

$$\begin{cases} f_{bx} = \frac{M_x}{S_x} \\ f_{by} = \frac{M_y}{\frac{S_y}{2}} \end{cases}$$

نکته : در محاسبه  $f_{by}$  به اندازه نصف جان تیر با خطأ مواجه شده ایم .

را می توان  $0.75F_y$  و یا  $0.6F_y$  در نظر گرفت ولی توصیه می شود در حل مسائل  $f_{by} = 0.75F_y$  در نظر گرفته شود .

نکته : تبدیل پیچش به خمشی سبب می شود که بار  $H$  را فقط به بال وارد کنیم و این روش محافظه کارانه است و پروفیل قوی تری انتخاب می شود .



:II (3-9)

فاصله از وسط بال تا وسط بال پروفیل  $\rightarrow h_0$

$$h_0 = h - t_f$$

$$\text{Contorol: } \frac{f_{bx}}{F_{bx}} + \frac{f_{by}}{F_{by}} \leq 1.0$$

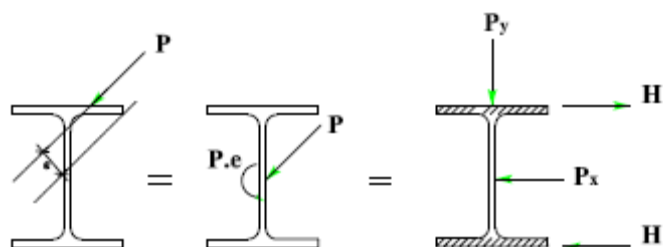
$$\begin{cases} f_{bx} = \frac{M_x}{S_x} \\ f_{by} = \frac{M_y}{\frac{S_y}{2}} \end{cases}$$

$$\begin{cases} F_{bx} = \begin{cases} 0.66F_y & \text{کمتر} \\ 0.6F_y & \text{از} \\ 0.6F & \text{می باشد} \end{cases} \\ F_{by} = \begin{cases} 0.75F_y & \text{کمتر} \\ 0.6F_y & \text{از} \\ 0.6F & \text{می باشد} \end{cases} \end{cases}$$

نکته: تنش هادر بالا و پایین مقطع اثری روی یکدیگر ندارند و ما به دنبال نقطه بحرانی هستیم که تنش ماکزیمم دارد.

لنگری که بار  $P$  ایجاد می‌کند.

لنگری که بار  $H$  ایجاد می‌کند.



III (4-9)

$$H = \frac{P \cdot e}{h_0} \quad h_0 = h - t_f$$

$$\text{Contorol: } \frac{f_{bx}}{F_{bx}} + \frac{f_{by}}{F_{by}} + \frac{f'_{by}}{F'_{by}} \leq 1.0$$

$$\begin{cases} f_{bx} = \frac{M_x}{S_x} \\ f_{by} = \frac{M_y}{S_y} \\ f'_{by} = \frac{M'_y}{S_y/2} \end{cases} \begin{cases} F_{bx} = 0.66F_y \\ F_{by} = 0.6F_y \\ F'_{by} = \begin{cases} 0.75F_y \\ 0.6F_y \end{cases} \end{cases}$$

کمتر <  $0.6F_y$

لنگری که بار  $P_y$  تولید می‌کند.

لنگری که بار  $P_x$  تولید می‌کند.

لنگری که بار  $H$  تولید می‌کند.

نکته: در پیچش اتصال بال به جان را منقطع فرض می‌کنیم.

۱۰

## پیچ و پرچ

### ۱-۱۰) حداقل بار دوام پیچ ها :

هرگاه پیچ با مقاومت بالایی نصب گردد ، اساسی ترین الزامی که در نصب آن وجود دارد ، ایجاد پیش تنیدگی کافی در پیچ می باشد . میزان این پیش تنیدگی به مقدار حداکثر باید به نحوی باشد که تغییر شکل و گسیختگی پیچ را سبب نگردد . منحنی تنش-کرنش پیچهای با مقاومت بالا دارای پله خمیری معینی نبوده ولذا در این پیچ ها به جای تنش تسلیم از بار قراردادی جاری شدن استفاده می شود . بار قراردادی جاری شدن عبارت است از نیرویی که از حاصلضرب تنش تسلیم در سطح تحت کشش پیچ (AS) بدست می آید .

$$AS = \frac{\pi}{4} \left[ D - \frac{0.9743}{n} \right]^2$$

بار دوام (حداقل نیروی پیش تنیدگی) پیچ ها از جدول زیر معین می شود (ضوابط AISC) :

(جدول ۱-۲۳-۵، AISC)

پیچ های A490 یا مشابه (ton)	پیچ های A325 یا مشابه (ton)	ابعاد اسمی پیچ (in)
۶,۷	۵,۳	۱/۲
۱۰,۷	۸,۵	۵/۸
۱۵,۶	۱۲,۵	۳/۴
۲۱,۸	۱۷,۵	۷/۸
۲۸,۵	۲۲,۷	1
۳۵,۶	۲۴,۹	۹/۸
۴۵,۴	۳۱,۶	۵/۴
۵۳,۸	۳۷,۸	۱۱/۸
۶۵,۸	۴۵,۸	۳/۲

بار دوام برای پیچ های بر مقاومت در ضوابط ایران برابر است با :

$$T_i = 0.55F_u \cdot A_b \quad (\text{جدول ۱۱، آینه نامه ایران})$$

$T_i$  : بار دوام

$A_b$  : سطح مقطع اسمی پیچ

$F_u$  : تنش نهایی مصالح پیچ

### ۲-۱۰) نقش های مجاذ برشی :

در حالت کلی تنش برشی اسمی مجاذ  $F_V$  چه برای اتصالات اصطکاکی و چه معمولی با رابطه زیر بیان میشود :

$$F_V = \beta_1 \times \beta_2 \times \beta_3 \times (F_V \text{ مبنی})$$

- $\beta_1$ : ضریب احتمال لغزش
- $\beta_2$ : ضریب وضعیت نصب پیچ
- $\beta_3$ : ضریب مربوط به اندازه و شکل سوراخ پیچ

(3-10) تعیین مقادیر عددی ضرایب  $\beta_1, \beta_2, \beta_3$ :

$$\beta_1 = \beta_2 = \beta_3 = 1 \rightarrow F_v = F_v (\text{مبنای})$$

(الف) در اتصالات برشی داریم:

(ب) در اتصالات اصطکاکی داریم:

$$\beta_1 = \begin{cases} 0.59 & \text{احتمال لغزش \%5} \\ 0.68 & \text{احتمال لغزش \%10} \end{cases}$$

$$\beta_2 = \begin{cases} 1.0 & \text{روش پیچاندن مناسب مهره} \\ 0.85 & \text{روش آچار مدرج} \\ 1.0 & \text{روش واشر مخصوص} \end{cases}$$

$$\beta_3 = \begin{cases} 1.0 & \text{برای سوراخ های دایره} \\ 0.85 & \text{برای سوراخ های کشیده} \end{cases}$$

(4-10) نشانه های قراردادی:

$$f_v = \frac{P}{m(\frac{\pi}{4}D^2)} \leq F_v \quad (\text{تنش برشی مجاز})$$

$$P = \frac{T}{n}$$

$m$ : تعداد سطوح برش

$P$ : بار یک پیچ

$t$ : ضخامت ورق

$T$ : نیروی کششی اتصال

$D$ : قطر محاسباتی پیچ

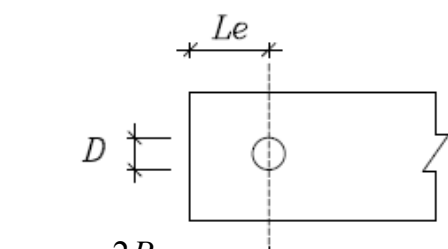
$n$ : تعداد پیچ ها

$$f_t = \frac{P}{\frac{\pi \cdot D^2}{4}} \leq F_t \quad (\text{تنش مجاز کششی})$$

$$f_p = \frac{P}{D \cdot t} \leq F_p \quad (\text{تنش مجاز فشاری})$$

(5-10) فواصل پیچ ها:

(الف) اتصالات برشی:



(بنده ۵-۷-۱۰، آینه نامه ایران)

$$Le_1 \geq \frac{2P}{F_u \cdot t}$$

$P$ : نیروی منتقل شده توسط وسیله اتصال به عضو مورد نظر  $D$ : قطر محاسباتی پیچ

$L_e$ : فاصله حداقل بین مرکز آخرین پیچ تا لبه ورق  $F_u$ : حداقل مقاومت نهایی کششی قطعه

$t$ : ضخامت قطعه متصل شونده

فصل دهم: پیچ و پرچ

جدول تعیین تنش مجاز :

**توضیح:** برای مشاهده جداول تنش مجاز در *AISC*، به جدول ۱-۵-۱، در آئین نامه *AISC* مراجعه شود:

(F <sub>r</sub> )		نقش بوسیله اتصالات		نقش بوسیله اتصالات		نقش بوسیله اتصالات		نقش بوسیله اتصالات		نقش بوسیله اتصالات	
اصاله بوسیله اتصالات		اصاله بوسیله اتصالات		اصاله بوسیله اتصالات		اصاله بوسیله اتصالات		اصاله بوسیله اتصالات		اصاله بوسیله اتصالات	
اصاله بوسیله اتصالات	اصاله بوسیله اتصالات	اصاله بوسیله اتصالات	اصاله بوسیله اتصالات	اصاله بوسیله اتصالات	اصاله بوسیله اتصالات	اصاله بوسیله اتصالات	اصاله بوسیله اتصالات	اصاله بوسیله اتصالات	اصاله بوسیله اتصالات	اصاله بوسیله اتصالات	اصاله بوسیله اتصالات
0.6 Fy	0.6 Fy	سوزاخ بزرگ شده و لوپاچ کوتاه	سوزاخ بزرگ شده و لوپاچ کوتاه	استاندارد	سوزاخ بزرگ شده و لوپاچ کوتاه	معطر کشن (F <sub>r</sub> )	معطر کشن (F <sub>r</sub> )	0.75 Fy	ج	ج	ج
0.22Fu (b)	0.22Fu (b)	باردار استاندارد	باردار استاندارد	عروسی	باردار استاندارد	باج معقول	باج معقول	0.33 Fu (a) ****			
0.17Fu	0.17Fu					قابلیه دنادانه شده طبق متشکل هست	قابلیه دنادانه شده طبق متشکل هست	0.33 Fu (a)	قابلیه دنادانه شده طبق متشکل هست	قابلیه دنادانه شده طبق متشکل هست	قابلیه دنادانه شده طبق متشکل هست
0.22Fu	0.22Fu					تعیین شده در حالتی که سطح پوش از قفسه دنادانه شده می باشد	تعیین شده در حالتی که سطح پوش از قفسه دنادانه شده می باشد	0.33 Fu (a)	تعیین شده در حالتی که سطح پوش از قفسه دنادانه شده می باشد	تعیین شده در حالتی که سطح پوش از قفسه دنادانه شده می باشد	تعیین شده در حالتی که سطح پوش از قفسه دنادانه شده می باشد
0.2 Fu	0.2 Fu	0.09 Fu	0.1 Fu	0.12 Fu	0.15 Fu	0.38 Fu (d)	0.38 Fu (d)	0.38 Fu (d)	0.15Fu	0.12Fu	0.1Fu
0.2Fu	0.2Fu	0.09Fu	0.1Fu	0.12Fu	0.15Fu	0.38Fu (d)	0.38Fu (d)	0.38Fu (d)	0.15Fu	0.12Fu	0.1Fu

+ در این جدول (a) براسناییکی، (b) قرار گرفتن دندانه ها در سطح بوس عجاز و (d) برای بهره های

\* با ضریب انتقالات ۰,۳۳ برای وضعیت که سطح نیمان تغییر با قلس ناشی از اعمال نوزد کارخانه ایجاد شود و با مساحتی تا ۰,۹۵ متر مربع.

باشد.

Fu نیشن، نهاد، مصالح سمع و فیزیکی، حاره، شدید، مصالح سنجشها، بالشید، مه غنیه، اثنا

برای پیچیدهای معمولی A307 با این اندکی بزرگتر از ۴۲۰۰، برای پیچیدهای A325 با قدری مساوی و یا کمتر از ۴۵۰۰ میلیمترهای

مساوای ۸۲۵۰ و قطر بزرگتر از ۲۵ میلیمتر مساوای ۷۲۵۰ و برای بچج A490 مساوای ۱۰۰۰۰ هی باشد.

نحوه صادر ایوان مقدار بارای Fu A337 بار بار 4200 bar و 4200 bar و 7250 bar و 8250 bar در فضای ایران مقدار بارای Fu A325 بار بار 10000 bar پیش بینی شده است. سطح نخست تنش کمپرسی است. سطح نخشن متعادل باشی سطح تعیین شده است. مقادیر داخلی پویا بر روی دهه های ایجاد شده است. قسم ۷۰- ۷۱ بارای برجامی کوینده شده دستی و قسم ۹۲- ۹۳ بارای برجامی کوینده شده مالشینی در نظر

$Le_2 \longrightarrow$  از جدول

$$Le = \text{Max}\{Le_1, Le_2\}$$

نکته: فاصله مرکز سوراخها از مراکز ییم مقدار دو رابطه بدست می‌آید:

$$S = \text{Max}\left\{\frac{2P}{F_u \cdot t} + \frac{D}{2}, 3D\right\} \quad (\text{بند ۱۰-۷-۵، آیین نامه ایران})$$

: حداقل مقاومت نهایی کششی قطعه  $F_u$

### ب) اتصالات اصطکاکی :

برای این حالت  $L_e$  مستقیماً از جدول برداشت می‌شود.

نکته: هرگاه نوع برش ذکر نشود، حالت بحرانی تر و یا قیچی را در نظر می‌گیریم.

### جدول فاصله مرکز پیچ از لبه ورق:

(AISC، ۱۶-۱-۵)

اگر لبه ورق با نورد یا شعله بریده شود *	mm	اگر لبه ورق قیچی شده باشد mm	قطر پیچ یا پروژ	
			mm	in
۲۰		۲۲	۱۲	$\frac{1}{2}$
۲۲		۲۸	۱۵	$\frac{5}{8}$
۲۵		۳۰	۲۰	$\frac{3}{4}$
۲۸		۳۸**	۲۲	$\frac{7}{8}$
۳۲		۴۵**	۲۵	1
۳۸		۵۰	۲۸	$\frac{9}{8}$
۴۲		۵۷	۳۰	$\frac{5}{4}$
۱.۲۵D		۱.۷۵D	>۳۰	$\frac{5}{4}$

\* اگر سوراخی در جایی باشد که تنفس قطعه  $f \leq 0.25F_a$  باشد، این مقادیر را ۳ mm کاهش می‌دهیم.

\*\* برای نسبی اتصال تیرها این مقدار را ۳۰ mm بگیرید.

### (جدول ۹، ایران)

حداقل فاصله مرکز سوراخ استاندارد تا لبه

لبه نورد شده ورق، نیمرخ، قسمه و نیز لبه بریده شده با شعله یا اره	لبه بریده شده با قیچی	قطر اسمی پیچ یا پروژ
1.35 d	1.75 d	d

نکته ۱: حداقل فاصله از مرکز هر پیچ و یا پرج تا نزدیکترین لبه قطعات در تماس ۱۲ برابر خامت قطعه متصل شونده می باشد ولی نباید از ۱۵ سانتی متر تجاوز کند. (بند ۱۰-۱-۳-۷، قسمت د، ایران)

$$L = \min \begin{cases} 12t \\ 15\text{cm} \end{cases} \quad t : \text{خامت ورق}$$

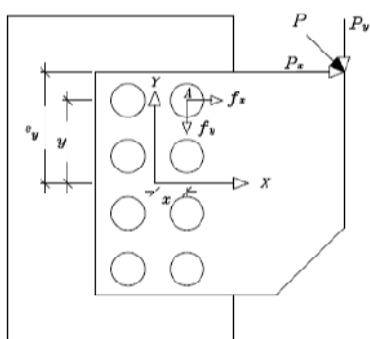
نکته ۲: برای سوراخ های استاندارد یا سوراخ های لوبيایی کوتاه که دو یا چند پیچ در خط نیرو داشته باشند:

$$F_p = 1.2 F_u \quad (\text{رابطه } ۱۰-۷-۱، \text{آیین نامه ایران})$$

که  $F_p$  تنش مجاز تماсی در فشار است.

نکته ۳: فواصل مرکز به مرکز پیچ ها یا پرج ها نباید از  $\frac{2}{3}D$  و بهتر از آن از  $3D$  کمتر گرفته شود. در صورتی که مقادیر حداقل آیین نامه در تعیین فواصل پیچها یا فاصله پیچ ها از لبه ورق کمتر از مقادیر محاسباتی شود، مقدار محاسباتی ملاک عمل خواهد بود. (بند ۱۰-۱-۷-۳، قسمت ح، آیین نامه ایران)

نکته ۴: آزمایشات نشان می دهد که هر گاه  $\frac{Le}{D} \leq 3$  باشد، در صورت احتمال خرابی اتصال، این خرابی با باریکی سوراخ شروع می شود و در حالی که اکر  $\frac{Le}{D} > 3$  باشد، سوراخ پیچ یا پرج تغییر شکل داده و درازمی شود، برطبق ضوابط AISC به منظور جلوگیری از تغییر شکل سوراخ می بایستی  $f_p \leq 1.5 F_u$  باشد. در جنین حالتی  $\frac{Le}{D} = 2.65$  خواهد شد.



(۶-۱۰) اثر توام برش و پیچش: (برش با خروج از مرکزیت)

$$T = P_x \cdot e_y + P_y \cdot e_x$$

$P_x$ : مولفه افقی برش

$P_y$ : مولفه عمودی برش

$e_x$ : فاصله افقی نقطه اثر نیرو تا مرکز ثقل پیچ ها

$e_y$ : فاصله عمودی نقطه اثر نیرو تا مرکز ثقل پیچ ها س

$T$ : کوبیل پیچشی ناشی از خروج از مرکزیت

$A$ : مساحت یک پیچ

$(x, y)$ : مختصات پیچ بحرانی نسبت به مرکز ثقل پیچ ها

$\sum x^2 + \sum y^2$ : مجموع مجدد فواصل افقی و عمودی پیچ ها از مرکز ثقل پیچ ها

$I_p$ : ممان اینرسی پیچشی

$$\text{اثر برش} \quad \begin{cases} f_{sx} = \frac{P_x}{A} e_x \\ f_{sy} = \frac{P_y}{A} e_y \end{cases}$$

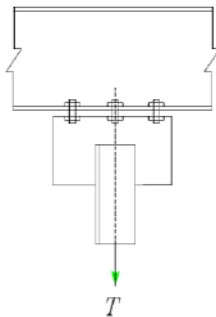
$$f_x = \frac{T \cdot Y}{A(\sum x^2 + \sum y^2)} \quad I_p = A(\sum x^2 + \sum y^2)$$

$$\text{اثر پیچش} \quad \begin{cases} f_x = \pm f_{sx} \pm f_x \\ f_y = \pm f_{sy} \pm f_y \end{cases}$$

$$f_r = \sqrt{f_x^2 + f_y^2} \quad \leq \quad \text{تنش برشی مجاز}$$

$$\text{مجموع تنش} \quad \begin{cases} f_x = \pm f_{sx} \pm f_x \\ f_y = \pm f_{sy} \pm f_y \end{cases}$$

نکته: پیچی بحرانی است که اولاً فاصله بیشتری از مرکز نقل پیچ ها دارد و ثانیاً مولفه های حاصل از برش و پیچش آن در یک جهت هستند. مانند پیچ A در شکل صفحه قبل.



## (7-10) طرح اتصالات پیچی تحت کشش:

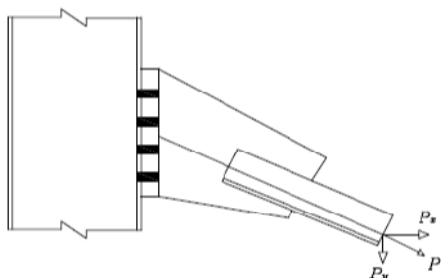
$$f_t = \frac{T}{\sum A} \leq F_t$$

یک چنین حالتی زمانی رخ می دهد که خط اثر نیرو عمود بر سطحی باشد که قطعه به آن سطح متصل می شود و اگر خط اثر نیرو عمود بر سطح اتصال نباشد، در این صورت پیچ یا پرج اتصال تحت اثر توازن کشش و برش است.

در اتصال برشی  $F_t$  از جدول تنש های مجاز تعیین می شود و اگر اتصال اصطکاکی باشد،  $F_t = \frac{T_i}{A_b}$ ، که  $T_i$  بار دوام

پیچ است که از جدول تعیین می شود و  $A_b$  مساحت پیچ. ضمناً نیروی  $T$  حتماً بایستی از مرکز نقل پیچ ها بگذرد.

## (8-10) اثر توازن کشش و برش:



نیروی  $P_x$  کششی در پیچ

نیروی برشی در پیچ  $P_y$

$$f_v = \frac{Py}{\sum A} \quad \text{اگر تنها تنش برشی داشتیم} \quad \rightarrow f_v \leq F_v \quad \rightarrow \quad \frac{f_v}{F_v} \leq 1$$

$$f_t = \frac{Px}{\sum A} \quad \text{اگر تنها تنش کششی داشتیم} \quad \rightarrow f_t \leq F_t \quad \rightarrow \quad \frac{f_t}{F_t} \leq 1$$

$$AISC \quad \text{طبق آینه نامه} \quad \rightarrow \quad \frac{f_v}{F_v} + \frac{f_t}{F_t} \leq C \quad (\text{بند ۳-۶-۱})$$

## الف) اتصالات برشی:

$$C = 1.25 \rightarrow f \leq \left[ 1.25F_t - \frac{F_t}{F_v} f_v \right] = F'_t$$

تنش مجاز کششی کاهش یافته به دلیل برش  $F'_t$

$$\frac{F_t}{F_v} \begin{cases} 1.8 & \text{اگر از قسمت دندانه دار بگذرد} \\ 1.4 & \text{اگر از قسمت دندانه دار نگذرد} \end{cases}$$

به جای محاسبه  $F'_t$  از رابطه بالا می توان مقادیر آماده آن را از جدول صفحه بعد برداشت نموده:

(جدول تعیین تنش های مجاز کششی  $F'_t$  بر طبق ضوابط AISC)

نوع پیچ	بر حسب
پیچهای A307	$F'_t = 1790 - 1.8f_v \leq 1380$
پیچهای A325 هرگاه سطح برش بر قسمت دندانه دار <b>بگذرد</b>	$F'_t = 3790 - 1.8f_v \leq 3050$
پیچهای A325 هرگاه سطح برش بر قسمت دندانه دار <b>نگذرد</b>	$F'_t = 3790 - 1.4f_v \leq 3050$
پیچهای A490 هرگاه سطح برش بر قسمت دندانه دار <b>بگذرد</b>	$F'_t = 4690 - 1.8f_v \leq 3700$
پیچهای A490 هرگاه سطح برش بر قسمت دندانه دار <b>نگذرد</b>	$F'_t = 4690 - 1.4f_v \leq 3700$

(ب) اتصالات اصطکاکی :

$$C = 1 \rightarrow \frac{f_v}{F_v} + \frac{f_t}{F_{tp}} \leq 1 \quad F_{tp} = \frac{T_i}{A_b}$$

$$\longrightarrow f_v \leq F_v \left[ 1 - \frac{f_t \cdot A_b}{T_i} \right] = F'_v$$

 $T_i$  : بار دوام پیچ (از جدول) $A_b$  : مساحت اسمی پیچ $F_{tp}$  : تنش حاصل از بار بیش تنبیدگی

برای پیچهای پر مقاومت که در اتصال اصطکاکی مورد استفاده قرار می گیرند ، باید تنش مجاز در خreib کاهنده

$$\text{ضرب شود . (بند ۱۰-۱-۷-۳، قسمت ج، ایران)}$$

با قرار دادن مقدار  $F'_v$  در رابطه اخیر،  $F'_v$  (تنش مجاز برشی کاهش یافته به دلیل کشش) بدست می آید:

$$\begin{cases} AISC & \begin{aligned} F'_v &\leq 1200 \left( 1 - \frac{f_t \cdot A_b}{T_i} \right) \longrightarrow A325 \\ F'_v &\leq 1500 \left( 1 - \frac{f_t \cdot A_b}{T_i} \right) \longrightarrow A490 \end{aligned} \\ \text{ایران} & \begin{aligned} F'_v &\leq 0.15 F_u \left( 1 - \frac{f_t \cdot A_b}{T_i} \right) \longrightarrow A325 \\ F'_v &\leq 0.15 F_u \left( 1 - \frac{f_t \cdot A_b}{T_i} \right) \longrightarrow A490 \end{aligned} \end{cases}$$

کنترل های لازم:

تنش های موجود باشد در دو حالت مجزا و ترکیبی کنترل شوند ، یعنی داریم:

اتصال برشی :

$$\begin{cases} \text{تنش موجود} & \begin{aligned} f_v &= \dots \dots \\ f_t &= \dots \dots \end{aligned} \end{cases}$$

$$\begin{cases} f_V \leq F_V \\ f_t \leq F_t \end{cases} \quad \text{کنترل در حالت مجزا}$$

$$\begin{cases} \frac{f_V}{F_V} + \frac{f_t}{F_t} \leq 1.25 \\ f_t \leq F'_t \end{cases} \quad \text{یا}$$

اتصال اصطکاکی:

$$\begin{cases} f_V = \dots \\ f_t = \dots \end{cases} \quad \text{تنش موجود}$$

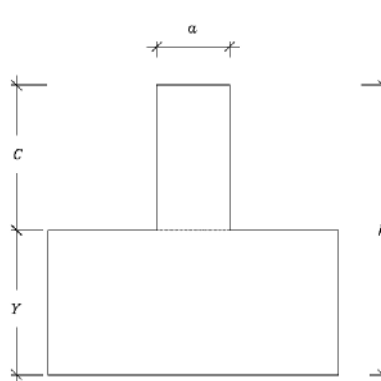
$$\begin{cases} f_V \leq F_V \\ f_t \leq F_t \end{cases} \quad \text{کنترل در حالت مجزا}$$

$$\begin{cases} \frac{f_V}{F_V} + \frac{f_t}{F_{tp}} \leq 1.0 \\ f_t \leq F'_{Vt} \end{cases} \quad \text{یا}$$

نکته: در حالت ترکیبی بهتر است، کنترل رابطه اصلی صورت گیرد.

(9-10) اتصالات پیچی تحت اثر خمش: (بحث ارائه شده در رابطه با اتصال برشی است)

$$\begin{cases} a = m \cdot \frac{A}{P} \\ c = \frac{\sqrt{b} \cdot h}{\sqrt{a} + \sqrt{b}} \end{cases}$$

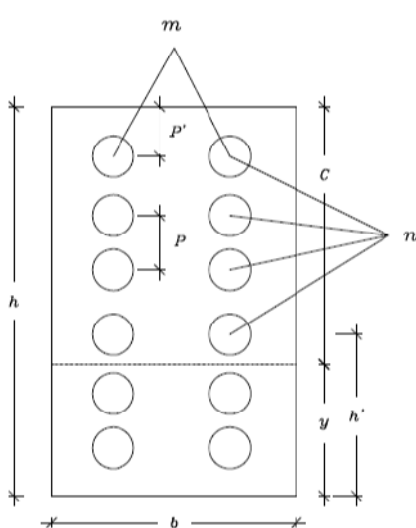


الف) روابط تقریبی:

$m \leftarrow$  تعداد پیچ ها در هر ردیف

$A \leftarrow$  مساحت هر پیچ

$P \leftarrow$  فاصله پیچ ها از یکدیگر



ب) روابط دقیق:

$P \leftarrow$  فواصل پیچ ها

$P' \leftarrow$  فاصله دورترین پیچ کششی نسبت به تار خنثی تا بالای قطعه

$h' \leftarrow$  فاصله اولین پیچ موجود در بالای محور خنثی تا تار فشاری انتهایی

$b \leftarrow$  پهنای ناحیه فشاری

$y \leftarrow$  ارتفاع محور خنثی

$m \leftarrow$  تعداد پیچ ها در یک ردیف

$n \leftarrow$  تعداد پیچ‌ها در یک ستون در بالای محور خنثی

$A \leftarrow$  مساحت هرپیچ

$C \leftarrow$  فاصله دورترین تار کششی تا تار خنثی

$h \leftarrow$  ارتفاع کل

(10-10) مراحل گام به گام:

$$y = \left( \frac{1}{6} \approx \frac{1}{7} \right) \quad (1) \text{ حدس اولیه } y :$$

$$b \frac{y^2}{2} = mn \cdot A \left( h' - y + P \frac{n-1}{2} \right) \Rightarrow y = \dots \quad (2) \text{ } y \text{ را از رابطه روبرو محاسبه می‌کنیم :$$

(3)  $y$  محاسبه شده را با  $y$  فرضی مقایسه می‌کنیم و در صورت لزوم محاسبات را تکرار می‌کنیم.

(4) ممان اینرسی مقطع را محاسبه می‌کنیم :

$$I = \frac{by^3}{3} + \frac{m \cdot n \cdot A \cdot P^2 (n^2 - 1)}{12} + m \cdot n \cdot A \left( \frac{n-1}{2} P + h' - y \right)^2 \quad (5)$$

$$C = h - y - p' \quad (5)$$

$$f_t = \frac{Mc}{I} \quad , \quad f_t \leq F_t \quad (6)$$

### کنترل‌های لازم:

$$f_t = \frac{Mc}{I} \leq F_t \quad (الف) \text{ اگر اتصال فقط تحت اثر خمین باشد :}$$

(ب) اگر اتصال فقط تحت اثر خمین و برش باشد :

$$\begin{cases} f_t = \frac{Mc}{I} \\ f_v = \frac{V}{\sum A} \end{cases} \longrightarrow \frac{f_v}{F_v} + \frac{f_t}{F_t} \leq 1.25$$

(ج) اگر اتصال تحت اثر خمین و کشش باشد :

$$\begin{cases} f_t)_T = \frac{T}{\sum A} \\ f_t)_M = \frac{Mc}{I} \end{cases} \longrightarrow f_t = f_t)_T + f_t)_M \leq F_t$$

نکته: برای حدس اولیه مقدار پیچ در یک اتصال از رابطه تقریبی زیر استفاده می‌شود:

$$n \approx \sqrt{\frac{6 \cdot M}{m' \cdot R \cdot p}} \quad M \leftarrow \text{لنگر وارد}$$

$P \leftarrow$  فاصله دو پیچ

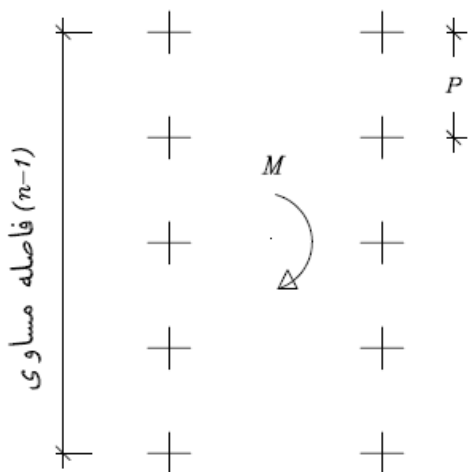
$R \leftarrow$  ظرفیت باربری مجاز هر پیچ

$m' \leftarrow$  تعداد ردیف پیچ‌ها در اتصال (در شکل 2)

(۵) اگر اتصال تحت اثر خمیش و کشش و برش باشد:

$$\begin{cases} f_V = \frac{V}{\sum A} \\ f_t)_T = \frac{T}{\sum A} \Rightarrow \begin{cases} f_V = \frac{V}{\sum A} \\ f_t = f_t)_T + f_t)_M \end{cases} \Rightarrow \frac{f_V}{F_V} + \frac{f_t}{F_t} \leq 1.25 \\ f_t)_M = \frac{M \cdot C}{I} \end{cases}$$

(۵) اگر علاوه بر قسمت (۵) اتصال تحت پیچش هم باشد  $f_V$  برآیند تنفس های برشی واردہ بر پیچ خواهد بود.



۱۱

## جوش

(1-1) جدول تعیین حداقل ضخامت مؤثر جوش لب با نفوذ غیر کامل : (بند ۱۰ - ۷ - ۲ ، آیین نامه ایران)  
جدول ۲ - حداقل ضخامت گلوگاه جوش لب

حداقل گلوگاه جوش	ضخامت قطعه ضخیمتر
۳ میلیمتر	تا ۶ میلیمتر
۴,۵ میلیمتر	۶ تا ۱۲ میلیمتر
۶ میلیمتر	۱۲ تا ۲۰ میلیمتر
۸ میلیمتر	۲۰ تا ۲۸ میلیمتر
۱۰ میلیمتر	۲۸ تا ۵۷ میلیمتر
۱۲ میلیمتر	۵۷ تا ۱۵۲ میلیمتر
۱۶ میلیمتر	بالاتر از ۱۵۲ میلیمتر

(2-1) جدول تعیین حداقل بعدجوش لب با نفوذ غیر کامل بر مبنای آیین نامه اتصالات ایران ، نشریه شماره ۲۶۴ :

جدول ۱ - ۲ حداقل بعد گلوی جوش برای جوش های شیاری با نفوذ نسبی

حداقل اندازه جوش *	
(mm)	
۲	۴ تا ۳
۳	بزرگتر از ۴ تا ۷
۵	بزرگتر از ۷ تا ۱۲
۶	بزرگتر از ۱۲ تا ۲۰
۸	بزرگتر از ۲۰ تا ۳۸
۱۰	بزرگتر از ۳۸ تا ۵۸
۱۳	بزرگتر از ۵۸ تا ۱۵۰
۱۶	بزرگتر از ۱۵۰

\* حداقل اندازه جوش لازم نیست از ضخامت قطعه نازکتر بیشتر شود.

## (3-11) جدول تعیین حداقل اندازه جوش گوشه: (بند ۱۰-۱-۷-۲، آیین نامه ایران)

جدول ۳ - حداقل بعد جوش گوشه

حداقل بعد جوش گوشه	ضخامت قطعه ضخیمتر متصل شونده
۳ میلیمتر	تا ۷ میلیمتر
۵ میلیمتر	۷ تا ۱۲ میلیمتر
۷ میلیمتر	۱۲ تا ۲۰ میلیمتر
۸ میلیمتر	بیش از ۲۰ میلیمتر

## (4-11) جدول تعیین حداقل بعد جوش گوشه بر مبنای آیین نامه اتصالات ایران، نشریه شماره ۲۶۴:

جدول ۱-۱ حداقل اندازه جوش گوشه

حداقل اندازه جوش گوشه (mm)	ضخامت فلز پایه (T) (mm)
باید بایک	$t \leq 7$
بار عبور	$7 < T \leq 12$
حاصل	$12 < T \leq 20$
گردد	$20 < T$

\* برای فرایند خیر کم هیدروژن و بدون پیش گرمایش،  $T$  مساوی قطعه ضخیم تر خواهد بود.

برای فرایند خیر کم هیدروژن با استفاده از تدبیر پیش گرمایش، و همچنین برای فرایند کم هیدروژن،  $T$  مساوی ضخامت قطعه نازکتر است. در این حالت شرط مربوط به حصول جوش با یک بار عبور نیز اعمال نمی گردد.

\*\* اندازه جوش لازم نیست از ضخامت ورق نازکتر، بزرگتر شود.

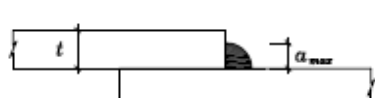
\*\*\* در سازه تحت بار دینامیکی، حداقل اندازه جوش ۵ میلی متر می باشد.

تذکر: برای مشاهده جداول فوق در AISC، به جداول ۱-۱۷-۲، الف و ۱-۱۷-۲، ب آیین نامه AISC مراجعه شود.

## (5-11)\* ضوابط حداقل اندازه جوش گوشه: (بند ۱۰-۱-۱-۷-۲، قسمت ب، آیین نامه ایران)

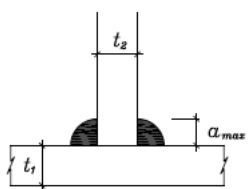


$$t < 7 \text{ mm} \rightarrow a_{\max} = t$$



$$t \geq 7 \text{ mm} \rightarrow a_{\max} = \text{Max} \begin{cases} 7 \text{ mm} \\ t - 1.5 \text{ mm} \end{cases}$$

وقتی جوش از بعدی غیر از ضخامت ورق باشد داریم:

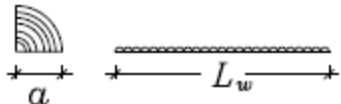


$$a_{\max} = \min \begin{cases} 0.75 \cdot t_2 \\ 1.5 \cdot t_1 \end{cases}$$

اگر ورق از یک طرف جوش شود از ضریب ۱,۰ و اگر از دو طرف جوش شود از ضریب ۰,۷۵ استفاده می شود.

(6-11) \* **حداقل طول مؤثر جوش گوشه:** (بند ۱۰ - ۱ - ۷ - ۲، قسمت ب، آیین نامه ایران)

حداقل طول جوش گوشه:



$$L_w = \max \begin{cases} 4a \\ 4\text{cm} \end{cases}$$

: بعد جوش  $a$

: طول جوش  $L_w$

نکته ۱: اگر ضابطه موفق رعایت نشد فقط  $\frac{1}{4}$  از طول جوش محاسباتی است.

$$\text{if } L < 4a \rightarrow L' = \frac{L}{4} \quad (L' : \text{طول محاسباتی})$$

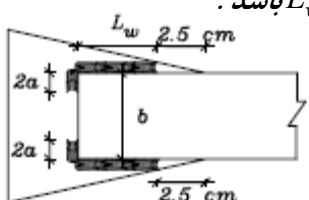
نکته ۲: در فاصله 2.5 cm از لبه ورق، جوشکاری باید متوقف شود.

نکته ۳: طول جوش حداقل به اندازه عرض صفحه باید باشد.

نکته ۴: طول برگشت جوش  $2a$  باید و اگر بیشتر بوده در محاسبات وارد می شود.

نکته ۵: فاصله عمودی بین خطوط جوش در اتصالات انتهایی به 20 cm محدود می شود.

نکته ۶: از جوش گوشه مقطع در صورتی می توان استفاده کرد  $L_w \geq 4a$ ,  $L_w \geq 4\text{cm}$ .



$$L_w \geq b$$

$$b \leq 20\text{cm}$$

- حداقل روی هم آمدگی قطعات در روی هم را به ۵ برابر ضخامت ورق نازکتر و همچنین 2.5 cm محدود می شود.

$$L > \max \begin{cases} 2.5\text{cm} \\ 5.t_{\min} \end{cases}$$



ضخامت ورق نازکتر  $\leftarrow t_{\min}$

حداقل طول روی هم آمدگی  $\leftarrow L$

(7-11) \* **سطح مؤثر جوش:** (بند ۱۰ - ۱ - ۷ - ۲، قسمت الف و ب، آیین نامه ایران)

سطح مؤثر جوش ها از حاصل ضرب ضخامت مؤثر جوش ( $t_e$ ) در طول جوش به دست می آید:

$$A_w = L_w \cdot t_e$$

(8-11) \* **ضخامت مؤثر جوش لب:** (بند ۱۰ - ۱ - ۷ - ۲، قسمت الف، آیین نامه ایران)

**الف) جوش لب با نفوذ کامل:**



$$t_e = t_{\min}$$

اندازه مؤثر (ضخامت مؤثر) جوش لب با نفوذ کامل برابر با ضخامت ورق نازک است.

ب) جوش لب با نفوذ غیر کامل: (بند ۱۰-۱-۷-۲، قسمت الف، آیین نامه ایران)



- جوش با نفوذ غیر کامل لاله ای:

$$t_e = D$$

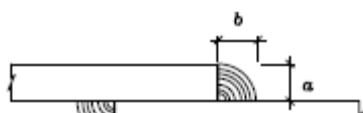
- جوش با نفوذ غیر کامل جناغی:



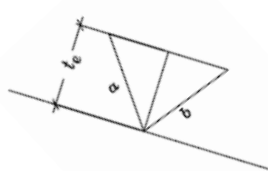
$$\text{if } \begin{cases} \alpha \geq 60^\circ \rightarrow t_e = D \\ 45^\circ < \alpha < 60^\circ \rightarrow t_e = D - 3\text{mm} \end{cases}$$

ضخامت مؤثر جوش لب با نفوذ نسبی به جدول صفحه ۷۸ و شکل های بالا محدود می شود.

(9-11) \* ضخامت مؤثر جوش گوشه: (بند ۱۰-۱-۷-۲، قسمت ب)، آیین نامه ایران



کمترین فاصله بین ریشه جوش و سطح خارجی جوش است.



$$\text{if } \begin{cases} a = b \rightarrow t_e = \frac{a}{\sqrt{2}} = 0.707a \\ a \neq b \rightarrow t_e = \frac{a \cdot b}{\sqrt{a^2 + b^2}} \end{cases}$$

(10-11) \* ارزش جوش: نیروی است که هر سانتی متر جوش تحمل می کند: ( $R_w$ )

$$R_w = \text{نش مجاز جوش} \times t_e \times 1\text{cm}$$

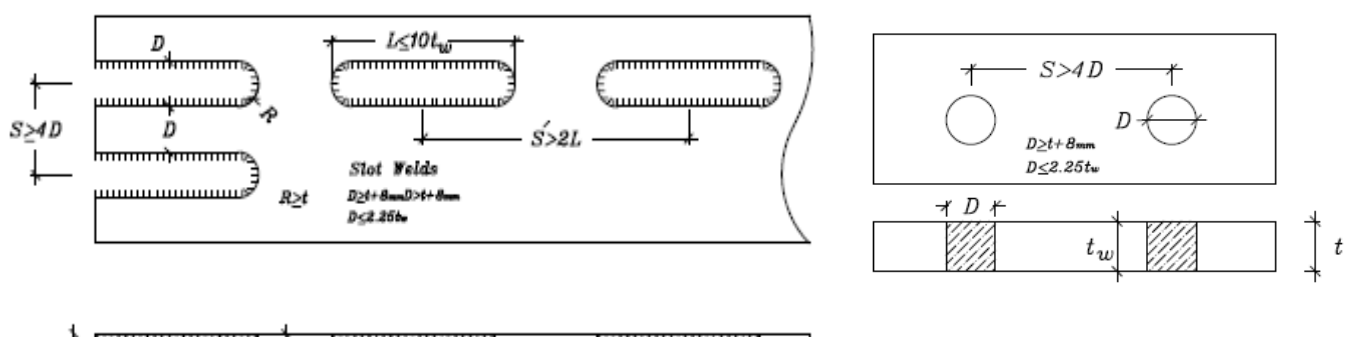
(11-11) \* نیروی جوش: از حاصلضرب ارزش در طول جوش، نیروی جوش بدست می آید:

$$F \leq R_w \cdot L_w$$

(12-11) \* جوش انگشتانه و کام: (بند ۱۰-۱-۷-۲، قسمت پ، آیین نامه ایران)

از این جوش می توان در اتصالات روی هم به منظور جوش تکمیلی و یا جلوگیری از کمانش بر طبق مشخصات شکل زیر استفاده کرد:

نکته: سطح مؤثر جوش انگشتانه و کام برابر با سطح انگشتانه و کام خواهد بود.



تذکر: برای مشاهده این قسمت در AISC. به بند ۱-۱۷-۹ آیین نامه AISC مراجعه شود.

\* 13-11) تنش مجاز:

**الف)** جوش گوشه در هر امتدادی که قرار گیرد، صرفاً به منظور انتقال برشی در خود طرح می‌شود.

**ب)** جوش گوشه لب دقیقاً همان تنشی را منتقل می‌کند که در قطعات مورد اتصال وجود دارد.

اگر فولاد نرم و الکترود هم از نوع معمولی باشند، تنش‌های مجاز به صورت زیر است:

تنش‌های مجاز جوش در صورت مصرف الکترودهای معمولی

۹۲۰ bar	برش در جوش گوشه
۹۰۰ bar	برش در جوش لب انگشتانه و کام
۱۱۰۰ bar	کشش در جوش لب
۱۴۰۰ bar	فشار در جوش لب

در صورتیکه از الکترودهای E 60 ، E 70 ، E 80 استفاده می‌شود، تنش‌های مجاز طبق جدول زیر تعیین می‌شود.

(جدول ۴، بند ۱۰-۲-۷، قسمت ت، آیین نامه ایران)

تنش مجاز جوش \*

نوع جوش	نوع تنش	تنش مجاز
جوش لب با نفوذ کامل ولبه آماده شده	کششی یا فشاری، در امتداد عمود بر مقطع موثر	متناوب با فلز مادر**
جوش لب با نفوذ نسبی	کششی یا فشاری، موازی با محور جوش	متناوب با فلز مادر**
جوش گوشه	برشی، در مقطع موثر	۰،۳ × مقاومت نهایی کششی فلز جوش
جوش انگشتانه و کام	فشاری، در امتداد عمود بر مقطع موثر	متناوب با فلز مادر**
جوش گوشه	کششی یا فشاری، موازی با محور جوش	متناوب با فلز مادر**
جوش گوشه	کششی، در امتداد عمود بر مقطع موثر	۰،۳ × مقاومت نهایی کششی فلز جوش
جوش گوشه	برشی، موازی با محور جوش	۰،۳ × مقاومت نهایی کششی فلز جوش
جوش گوشه	برشی، در مقطع موثر	۰،۳ × مقاومت نهایی کششی فلز جوش
جوش انگشتانه و کام	کششی یا فشاری، موازی با محور جوش	متناوب با فلز مادر**
جوش انگشتانه و کام	برشی، موازی سطح برش شونده (روی مقطع موثر)	۰،۳ × مقاومت نهایی کششی فلز جوش

\* این تنشها باید در ضرایب مذکور در بند ۱۰-۱-۷-۲، ت ضرب شوند.

\*\* فلز جوش (الکترود مصرفی) باید با فلز مادر سازگار باشد و محدودیت مقاومت الکترود مطابق با مقادیر زیر تأمین گردد.

حد جاری شدن فلز مادر ( $F_y$ )	مقاومت نهایی کششی فلز الکترود ( $F_{uc}$ )
$2950 \text{ Kg/cm}^2$ تا	$4200 \text{ Kg/cm}^2 \rightarrow E60$
$3680 \text{ Kg/cm}^2$ تا	$4900 \text{ Kg/cm}^2 \rightarrow E70$
$4570 \text{ Kg/cm}^2$ تا	$5600 \text{ Kg/cm}^2 \rightarrow E80$

تذکر: برای مشاهده تنش های مجاز در جوش ها به جدول ۱-۵-۳، آین نامه AISC مراجعه شود.

تنش مجاز محاسباتی جوشی با اعمال ضرایب زیر در مقابل جدول ۴ به دست می آید:

(بند ۱۰-۱-۷-۲ قسمت ت آین نامه ایران)

$$\phi = 1$$

۱ - در صورت انجام آزمایش های غیر مخرب نظیر رادیوگرافی و التراسونیک:

۲ - در صورت انجام جوش در کارخانه (و یا شرایط مشابه) و بازرسی چشمی توسط افراد مجرب:

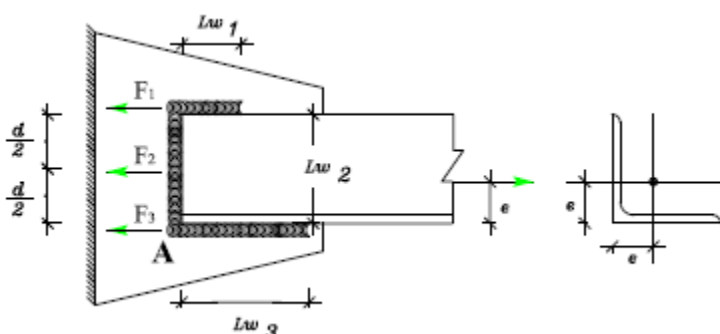
$$\phi = 0.85$$

۳ - در صورت انجام جوش در محل و بازرسی چشمی جوش توسط افراد مجرب:

$$\phi = 0.75$$

#### 14-11) \* طراحی اتصال متداول:

طرح اتصال نامتقارن برای این است که خروج از مرکزیت در جوش از بین برود و تنش ها یکنواخت گردد.



#### 15-11) مراحل گام به گام طراحی اتصال متداول:

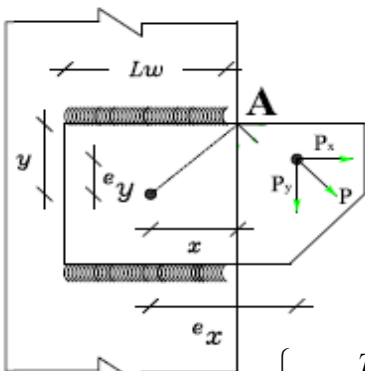
(1) با توجه به نوع الکترود  $R_w$  تعیین شود.

$$F_2 = R_w \cdot L_{w2} \quad (2)$$

$$\sum M_A = 0 \rightarrow F_1 = \frac{P \cdot e}{d} - \frac{F_2}{2} \quad (3)$$

$$\sum F_x = 0 \rightarrow F_3 = P \times \left(1 - \frac{e}{d}\right) - \frac{F_2}{2} \quad (4)$$

$$L_{w3} = \frac{F_3}{R_w}, L_{w1} = \frac{F_1}{R_w} \quad (5)$$



\* برش با خروج از مرکزیت: (برش و پیچش) (16-11)

برش مستقیم  $\begin{cases} f'_x = \frac{P_x}{A_w} \\ f'_y = \frac{P_y}{A_w} \end{cases} \rightarrow$  تنش های کنواخت است

$$T = P_x \cdot e_y + P_y \cdot e_x$$

برش حاصل از پیچش  $\begin{cases} f''_x = \frac{T \cdot y}{I_p} \\ f''_y = \frac{T \cdot x}{I_p} \end{cases}$

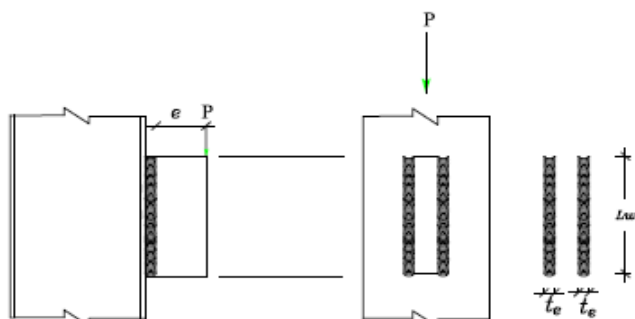
$$f_r = \sqrt{f_x^2 + f_y^2} = \sqrt{(f'_x + f''_x)^2 + (f'_y + f''_y)^2} \leq F_V$$

نقطه ای بحرانی است که اولاً تنش های ناشی از پیچش بیشتر باشند و ثانیاً تنش های برشی حاصل از پیچش با برش مستقیم هم جهت باشند. (در این شکل نقطه A بحرانی است).

در حل مسائل با فرض  $t_e = 1$  و استفاده از جدول صفحه 85  $I_p$  را محاسبه کرده و (1) را بدست می آوریم:

$$\frac{f_r(1)}{t_e} \leq \rightarrow f_r(1) \leq t_e \times \text{تنش مجاز} \rightarrow f_r(1) \leq R_w$$

از این رابطه هم برای تعیین  $t_e$  و هم جهت کنترل رابطه استفاده کرد.



\* جوش تحت اثر برش و لنگر خمی: (17-11)

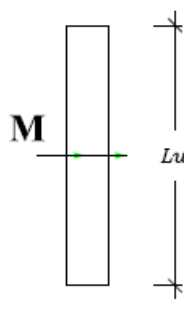
جوش گوشه و قطعی تحت خمی قرار می گیرد، در واقع در جوش برش ایجاد می شود.

$$\left\{ \begin{array}{l} f'_y = \frac{P}{A} = \frac{P}{2 \cdot t_e \cdot L_w} \Rightarrow \\ f'_r = \sqrt{f'_y^2 + f'_x^2} \leq F_V \\ f''_x = \frac{M}{S} = \frac{P \cdot e}{2 \times \frac{t_e \cdot L_w^2}{6}} \Rightarrow \end{array} \right.$$

در اینجا نیز برای حل مسائل،  $t_e = 1$  فرض کرده را  $S_x$  از جدول صفحه بعد به دست می آوریم:

$$\frac{f_r(1)}{t_e} \leq F_v \rightarrow t_e \geq \frac{f_r(1)}{F_v} \rightarrow a = \dots, a_{\min} \leq a \leq a_{\max}$$

\* رابطه برای طراحی یک خط جوش تحت خمشی: (18-11)



$$f_r = \frac{M}{S} = \frac{M}{\frac{L_w^2 \cdot t_e}{6}} \leq F_v \rightarrow R_w \geq \frac{6M}{L_w^2}$$

$$\rightarrow L_w \geq \sqrt{\frac{6M}{R_w}}$$

این یک رابطه تقریبی است برای یک ردیف و فقط تحت اثر خمشی است اگر  $L_w$  خیلی زیاد شد می توان از ردیف های جوش بیشتری استفاده کرد. با فرض  $a$  از  $a_{\min}$  تا  $a_{\max}$  و تعیین  $t_e$  بدست آمده از رابطه بالا، رابطه اصلی را کنترل می کنیم.

محاسبات برای ضخامت واحد «1» است.

## مشخصات جوش هرگاه به مانند مقطعی خطی فرض شود

شکل مقطع $b =$ (عرض) (ارتفاع)	$\frac{I_x}{y}$	اساس مقطع	لنگر لختی قطبی $I_p$ حول مرکز ثقل (ارتفاع)
1.		$S = \frac{d^2}{6}$	$I_p = \frac{d^3}{12}$
2.		$S = \frac{d^2}{3}$	$I_p = \frac{d(3b^2 + d^2)}{6}$
3.		$S = bd$	$I_p = \frac{b(3d^2 + b^2)}{6}$
4.	$\bar{y} = \frac{d^2}{2(b+d)}$ $\bar{x} = \frac{b^2}{2(b+d)}$	$S = \frac{4bd + d^2}{6}$	$I_p = \frac{(b+d)^4 - 6b^2d^2}{12(b+d)}$
5.	$\bar{x} = \frac{b^2}{2b+d}$	$S = bd + \frac{d^2}{6}$	$I_p = \frac{8b^3 + 6bd^2 + d^3}{12} - \frac{b^4}{2b+d}$
6.	$\bar{y} = \frac{d^2}{b+2d}$	$S = \frac{2bd + d^2}{3}$	$I_p = \frac{b^3 + 6b^2d + 8d^3}{12} - \frac{d^4}{2d+b}$
7.		$S = bd + \frac{d^2}{3}$	$I_p = \frac{(b+d)^3}{6}$
8.	$\bar{y} = \frac{d^2}{b+2d}$	$S = \frac{2bd + d^2}{3}$	$I_p = \frac{b^3 + 8d^3}{12} - \frac{d^4}{b+2d}$
9.		$S = bd + \frac{d^2}{3}$	$I_p = \frac{b^3 + 3b^2 + d^3}{6}$
10.		$S = \pi r^2$	$I_p = 2\pi r^3$

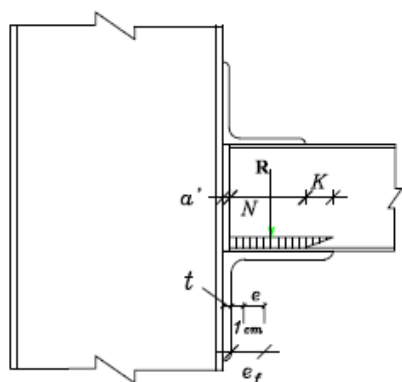
## ۱۲

## اتصالات

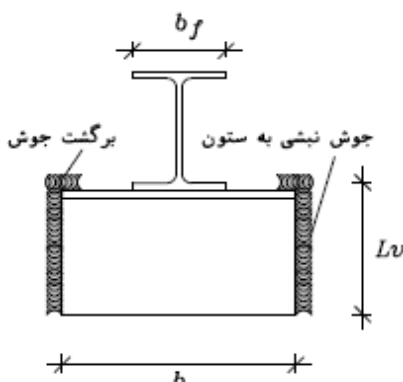
۱-۱) اتصالات ساده‌ی تیر به ستون:

- ساده‌ی تیر به ستون به اتصالی گفته می‌شود که امکان دوران مقطع تیر در تکیه‌گاه حتی به کمک تغییر شکل غیر ارجاعی عناصر اتصال ممکن نگردد.
- اتصال ساده ارجاعی به اتصالی گفته می‌شود که امکان دوران انتهایی تیر به همراه قطعات اتصال ممکن باشد.
- (اتصال نبشی نشیمن و اتصال نبشی جان)
- اتصال ساده غیر ارجاعی، اتصالی است که هنگام دوران انتهایی تیر، تکیه‌گاه بدون تغییر شکل باقی بماند.
- (اتصال برآکت)

۲-۲) مراحل گام به گام طراحی اتصال با نبشی نشیمن:



$$a' = 1 - 2\text{cm}$$



مرحله ۱: طول تکیه‌گاه تیر با نبشی (از کنترل لهیدگی جان تیر):

$$N = \frac{R}{0.66F_y \cdot t_{wb}} - 2.5K \geq K$$

ضخامت جان تیر  $t_{wb}$

مرحله ۲:

$$b \geq b_f + 2(1.5)\text{cm}$$

طول نبشی نشیمن به اندازه  $b_f \times 1.5\text{cm}$  از  $b_f$  تیر بزرگتر انتخاب می‌شود.

مرحله ۳: تعیین  $e_f$  :

$$\begin{cases} e_f = a' + \frac{N}{2} \\ e_f = e + 1 + t_f \end{cases} \rightarrow e = e_f - 1 - t_f$$

مرحله ۴: تعیین  $t_f$  (ضخامت نبش) و بدست آوردن ( $L_v$ )

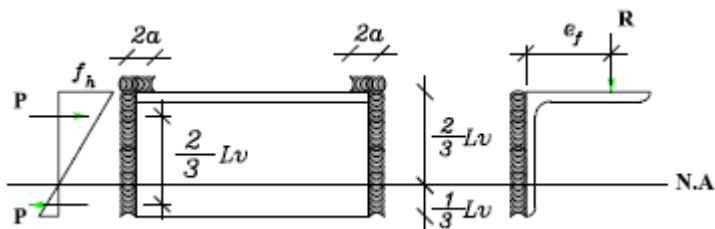
$$\begin{aligned} & \text{لنگر وارد بر نبشی} & M = R \cdot e \\ & \text{اساس مقطع نبشی} & S = \frac{b \cdot t^2}{6} \end{aligned}$$

$$\rightarrow \frac{M}{S} = \frac{R \cdot e}{\frac{b \cdot t^2}{6}} \leq 0.75F_y \rightarrow t^2 \geq \frac{8R \cdot e}{b \cdot F_y} \rightarrow \text{or}, \frac{R}{b} \leq \frac{F_y \cdot t^2}{8 \cdot e} \Rightarrow \frac{R}{b} \leq \frac{280, t^2}{e_f - 1 - t}, A = \frac{R}{300 \cdot b}$$

$$\Rightarrow A \leq \frac{t^2}{e_f - 1 - t} \rightarrow t \geq -\frac{A}{2} + \sqrt{\frac{A^2}{4} + A(e_f - 1)}$$

با خصامت بدست آمده نوع نبشی و  $(L_V)$  تعیین می شود.

مرحله ۵: محاسبه ی جوش اتصال:



$f_h \leftarrow$  مولفه افقی حامل از خمشی جوش

نکته: جوش اتصال تحت خمش و برش قرار می گیرد.

$$\text{لنگروارده} = \text{لنگر مقاوم} \quad \frac{R}{2} \cdot e_f = P \left( \frac{2}{3} L_V \right), P = \frac{f_h}{2} \times \frac{2}{3} L_V$$

$$\rightarrow \begin{cases} f_h = 2.25 \frac{R \cdot e_f}{L_V^2} \\ f_V = \frac{R}{L_V} \end{cases} \rightarrow f_r = \sqrt{f_h^2 + f_V^2} \leq 650.a \quad \rightarrow \text{الکترود معمولی}$$

$$\rightarrow a \geq \frac{R}{1300.L_V^2} \sqrt{L_V^2 + 20.25.e_f^2} \quad L_V : \text{طول ساق عمودی نبشی}$$

مرحله ۶: کنترل بعد جوش بدست آمده با  $a_{\max}$  و  $a_{\min}$

$$\begin{cases} a_{\min} \rightarrow \text{جبول} \\ a_{\max} = t - 1.5mm \end{cases}$$

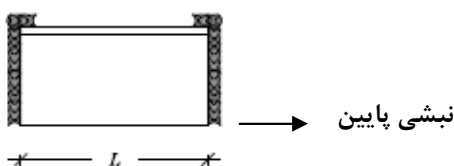
### 3-12) ظوابط اجرایی:

نکته ۱: نبشی بالا از حرکت بال فوقانی جلوگیری می کند که نبشی  $L100 \times 10$ , or,  $L80 \times 80$  مورد استفاده قرار می گیرد.

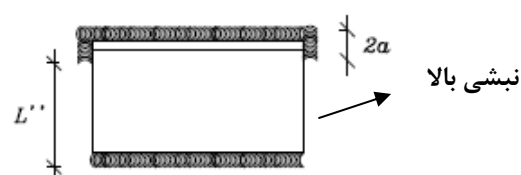
نکته ۲: جوش نبشی نشیمن به ستون جوش کارخانه ای است.

نکته ۳: فاصله  $L$  در شکل روبرو جوش نمی شود چون تحمل خمشی راندارد و فقط برش را تحمل می کند.

نکته ۴: فاصله  $L'$  به منظور قرارگیری صحیح تیر جوش نمی شود.



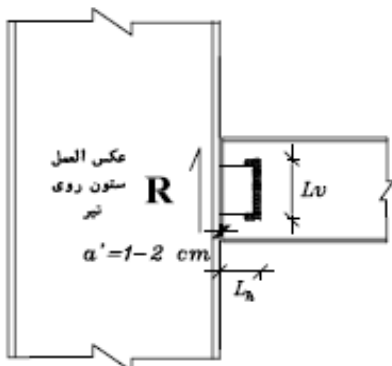
نکته ۵: دو قسمت "L" در شکل پایین به هیچ وجه نبایستی جوش شوند زیرا در صورت جوش این دو ناحیه فرض مفصلی بودن و دوران تکیه گاه نقض می شود.



نکته ۶: جوش نبشی بالا به ستون جوش کارگاهی است.

نکته ۷: بال تیر روی نبشی تحتانی جوش اجرایی می گردد، این جوش به منظور استقرار مناسب تیر بوده و غیر محاسباتی است.

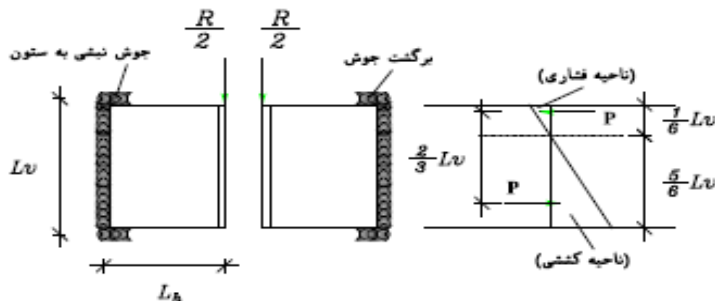
## 4-12) مراحل گام به گام طراحی اتصال با نبشی جان:

۱-۲: فاصله منتاز:  $a' cm$ 

تذکر: جوش نبشی به ستون نبشی به تیر کارخانه ای است.

مرحله ۱: تعیین ( $L_h$ ): حدس زدن شماره نبشی که معمولاً از نبشی 10 یا 12 استفاده می شود.مرحله ۲: انتخاب ( $L_v$ ): (نبشی بایستی در قسمت صاف جان قرار گیرد). می توان از یکی از توصیه های رویرو  $L_v$  استفاده کنیم.

$$\begin{cases} L_v = h - b_f \\ L_v \leq \frac{2}{3}h \\ MaxL_v = h - 2K \end{cases} \quad \leftarrow \text{ارتفاع تیر} \quad h$$

مرحله ۳: محاسبه  $a$  از جوش نبشی به ستون:

لنگری که از خارج به تیر وارد می شود

$$\begin{cases} \rightarrow \frac{R}{2} \times L_h \\ \rightarrow P \times \frac{2}{3} L_v \end{cases} \quad \rightarrow \frac{R}{2} L_h = P \times \frac{2}{3} L_v \Rightarrow P = \frac{3}{4} \cdot \frac{R \cdot L_h}{L_v}$$

$$P = \frac{1}{2} \left( f_h \times \frac{5}{6} L_v \right) \rightarrow \frac{5}{12} f_h \cdot L_v = \frac{3}{4} \cdot \frac{R \cdot L_h}{L_v}$$

$$\begin{aligned} & \rightarrow \begin{cases} f_h = 1.8 \cdot \frac{R \cdot L_h}{L_v^2} \\ f_r = \frac{R}{2L_v} \end{cases} \rightarrow f_r = \sqrt{f_h^2 + f_v^2} = \frac{R}{2L_v} \sqrt{L_v^2 + 12.96L_h^2} \leq 650 \cdot a \\ & \rightarrow a \geq \frac{R}{1300L_v} \sqrt{L_v^2 + 12.96L_h^2} \end{aligned}$$

مرحله ۴: تعیین  $a_{\max}$ ,  $a_{\min}$  و بررسی محدودیت جوش:

اگر جوش نبشی به ستون و جوش نبشی به جان تیر یکسان باشد بایستی حتماً کنترل رابطه زیر صورت گیرد زیرا بسیار تعیین کننده است.

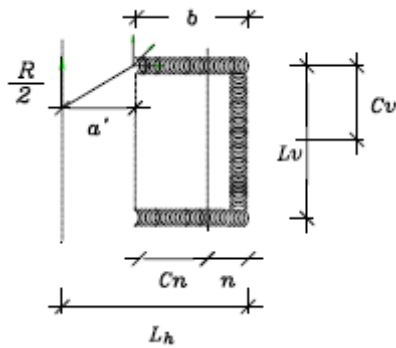
از جدول  $\rightarrow$ 

$$a_{\max} = \begin{cases} t_{\text{نش}} - 1.5mm \\ 0.75 \times t_{wb} \rightarrow \end{cases}$$

چون جان تیر از دو طرف جوش می شود

نکته ۱: هر چه طول جوش ( $L_V$ ) کاهش باید، بعد جوش افزایش می باید و بالعکس، پس بهترین حالت زمانی رخ می دهد که طول جوشی انتخاب شود که بعد جوش انتخاب آن بین  $a_{min}$  و  $a_{max}$  قرار گیرد، زیرا حالت بهینه است.

نکته ۲: اگر پروفیل تیر دوبل باشد در رابطه بالا به جای  $0.75$  از  $1.05$  استفاده می کنیم. چون نسبتی از یک طرف جوش می شود.



$$a' = 1 - 2cm$$

$$A_w = 2b + L_V$$

$$T = \frac{R}{2} (L_h - n) b = L_h - a'$$

$$C_n = b - n = L_h - n - a'$$

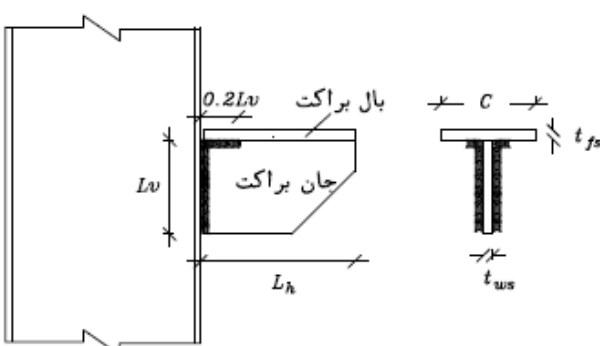
$$n = \frac{b^2}{2b + L_V}, \quad C_V = \frac{L_V}{2}, \quad j = I_P = \frac{(2b + L_V)^3}{12} - \frac{b^2(b + L_V)^2}{2b + L_V} \rightarrow 85$$

$$\begin{cases} f_h = \frac{T \cdot C_V}{j} = \frac{R \cdot (L_h - n)}{2} \times \frac{C_V}{j} \\ f_v = \frac{T \cdot C_n}{j} = \frac{R \cdot (L_h - n)}{2} \times \frac{C_n}{j} \end{cases}$$

تنش حاصل از پیچش نقطه A ( نقطه بحرانی )

$$f'_V = \frac{R}{A_w} = \frac{R}{2(2b + L_V)} \rightarrow f_r = \sqrt{f_h^2 + (f_v + f_h')^2} \leq 650a \rightarrow \begin{cases} a_{min} \rightarrow \\ a_{max} = t_{ws} - 1.5mm \\ a_{max} = 0.75 \times t_{wb} \end{cases}$$

نکته: اگر a کم بود بطوری که  $L_V$  را آنقدر کاهش می دهیم تا a در فاصله آن دو قرار بگیرد، اگر  $L_V$  آنقدر کم بود که a از  $a_{max}$  بیشتر نشد،  $L_V$  را زیاد می کنیم تا در حد فاصل a  $a_{max}$  و  $a_{min}$  قرار گیرد.



### 12-5) روش گام به گام طراحی اتصال برآکت:

ضخامت بال برآکت  $\leftarrow t_{fs}$

ضخامت جان برآکت  $\leftarrow t_{ws}$

ضخامت جان تیر  $\leftarrow t_{ws}$

ضخامت بال تیر  $\leftarrow t_{fb}$

$$\begin{cases} t_{ws} \geq t_{wb} \\ t_{ws} \geq \frac{L_h}{\frac{795}{\sqrt{F_y}}} \rightarrow (\text{ضابطه کمانش موضعی ورق جان}) \end{cases}$$

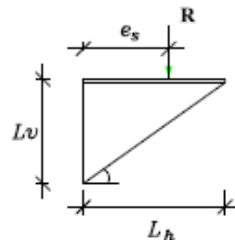
محدودیت ها :

$$t_{fs} \geq \max \begin{cases} t_{fb} \rightarrow \text{بال} \\ t_{ws} \rightarrow \text{جان} \end{cases}$$

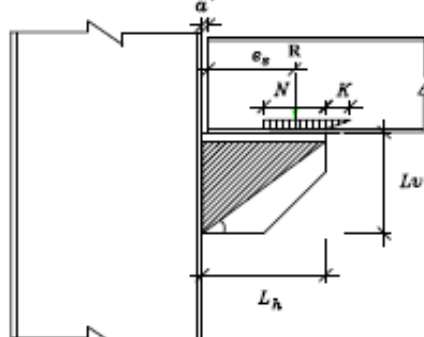
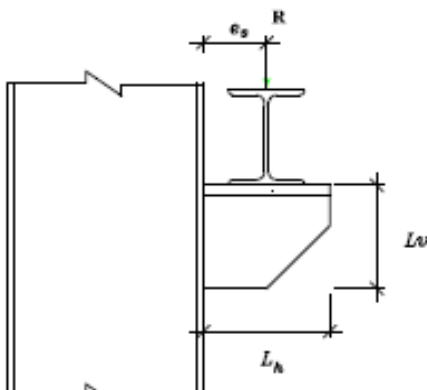
نکته:  $t_{fs}$  معمولاً بین ۱۰ تا ۱۲ میلیمتر انتخاب می شود.

نکته: در برآکت های مثلثی  $\phi \geq 45^\circ$  باشد و رابطه زیر کنترل شود:

$$t_{ws} \geq \frac{R(6e_s - 2L_h)}{0.6F_y \cdot L_h^2 \cdot \sin^2 \phi}$$



مرحله ۱: محاسبه  $N$



$$N = \frac{R}{0.66F_y \cdot t_{wb}} - 2.5K \geq K \rightarrow N = \dots$$

مرحله ۲: محاسبه  $L_h$

$$L_w = N + a' \rightarrow L_h = \dots$$

فاصله مونتاژ  $\leftarrow a'$

$$e_s = L_h - \frac{N}{2}$$

مرحله ۳: تعیین  $e_s$

مرحله ۴: تعیین  $t_{ws}$  با استفاده از محدودیت های ارائه شده در صفحه قبل.

نکته: خیانت جان برآکت بایستی جوابگوی کمانش موضعی و بعد جوش باشد. همچنین در انتخاب  $t_{ws}$  باید به توجه شود.

مرحله ۵: تعیین  $t_{fs}$  (عموماً بین 10 تا 12 میلیمتر) از محدودیت ارائه شده در صفحه قبل استفاده شود.

مرحله ۶: تعیین محدودیت جوش گوشه: زیرا جان برآکت از دو طرف به ستون جوش می شود

با تعیین آ، مستقیماً وارد مرحله ۸ می شویم، در غیر اینصورت برای محاسبه جوش وارد مرحله ۷ می شویم.

مرحله ۷: محاسبه جوش صفحه قائم برآکت به ستون:

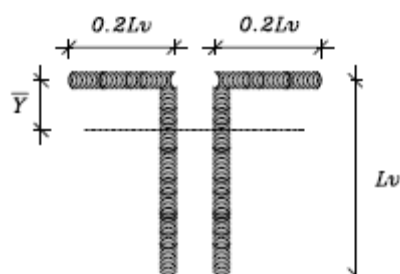
$$\bar{y} = \frac{L_V^2}{2(L_V + 0.2L_V)} = \frac{L_V}{2.4}$$

$$M = R \cdot e_s$$

$$S_w = \frac{2[4 \times 0.2L_V^2 + L_V^2]}{6} = 0.6L_V^2$$

$$A_w = 2(L_V + 0.2L_V) = 2.4L_V$$

$$f_b = \frac{M}{S_w} = \frac{R \cdot e_s}{S_w}, f_s = \frac{R}{A_w} = \frac{R}{2.4L_V}$$



$\leftarrow f_s$  تنش قائم جوش ناشی از برش

$\leftarrow f_b$  تنش افقی جوش ناشی از خمشی

$$f_r = \sqrt{f_b^2 + f_s^2} = \frac{R}{2.4L_V^2} \sqrt{L_V^2 + 16 \cdot e_s^2} \leq 650 \cdot a$$

$$\rightarrow a \geq \frac{R}{1560L_V^2} \sqrt{L_V^2 + 16 \cdot e_s^2}, B = \frac{R}{1560 \cdot a}$$

با حدس زدن  $L_V$  می توانیم  $a$  (بعد جوش) را تعیین کنیم.

مرحله ۸: تعیین  $L_V$ :

با  $a$  تعیین شده از گام ۶ می توان تعیین  $L_V$  کرد.

$$L_V \geq \sqrt{\frac{B}{2} \left( B + \sqrt{B^2 + 64e_s^2} \right)}, B = \frac{R}{1560 \cdot a}$$

در هر صورت با حدس زدن یکی از دو مقدار  $a$ ،  $L_V$  دیگری تعیین می شود.

:  $\overline{\Phi} \geq 45^\circ$  or  $L_V \geq L_h$

:  $\overline{\Phi}, L_h, L_V$

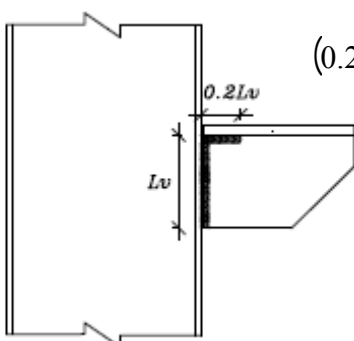
باید

مرحله ۹: کنترل ۹: تعیین  $c$ :

$$C: \begin{cases} b_{fb} \leq C \leq b_{fc} \\ C \geq N, \frac{L_V}{2} \end{cases} \quad \begin{array}{l} \text{عرض بال تیر} \leftarrow b_{fb} \\ \text{عرض بال ستون} \leftarrow b_{fc} \end{array}$$

در محاسبات عملی عموماً  $C$  بین ۱۰ تا ۲۰ سانتی متر است.

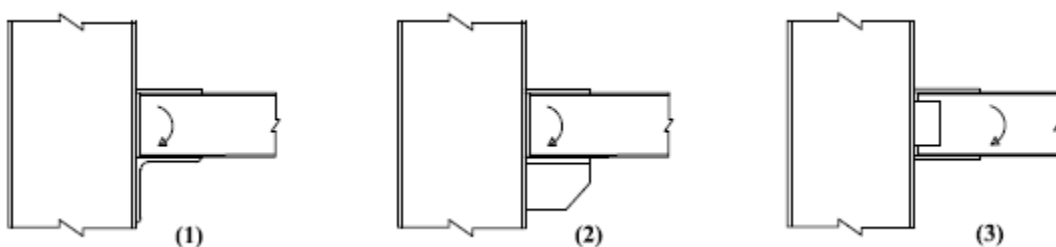
## 12-6) ضابطه اجرایی اتصال برآکت:



طول جوش جان برآکت به بال برآکت نباید کمتر از طول جوش بال به ستون باشد. ( $0.2L_V$ )

## 12-7) اتصال صلب تیر به ستون:

اتصال صلب تیر به ستون اتصالی است که بیش از ۹۰٪ لنگر گیر داری را منتقل کند. این اتصال به یکی از سه صورت زیر طراحی خواهد شد:



در شکل (۱) نسبی نشیمن برای انتقال برش و تسخیر فوکانی و بال نسبی تحتانی برای انتقال لنگر طراحی می شود.

در شکل (۲) سگدست برای انتقال برش و تسخیر فوکانی و بال سگدست برای انتقال لنگر طراحی می شود.

در شکل (۳) تسخیر جان برای انتقال برش و دو تسخیر فوکانی و تحتانی برای انتقال لنگر طراحی می شوند.

## 12-8) مراحل گام به گام طراحی اتصال صلب تیر به ستون:

مرحله ۱: محاسبه لنگر و برش طراحی:

$$M = \max \left( \begin{array}{l} \text{محاسباتی} \\ \text{ممان طراحی اتصال} \end{array} \right) \quad (50\% \text{ ظرفیت خمشی تیر})$$

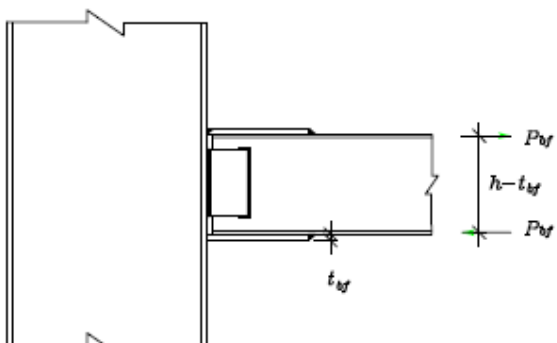
$$= S_x \cdot F_b \rightarrow F_b = 0.6 F_y$$

در طراحی اتصال صلب، عناصر اتصال بال برای انتقال لنگر خمشی در اتصال می شوند و بهتر است این عناصر قادر به تحمل حداقل 50% ظرفیت خمشی تیر نیز باشند.

$$V = \max \left( \begin{array}{l} \text{محاسباتی} \\ \text{برش طراحی اتصال} \end{array} \right) \quad (50\% \text{ ظرفیت خمشی تیر})$$

$$= F_V \cdot A_w = 0.4 F_y \cdot A_w$$

اتصال جان و یا نبیشی نشیمن و سگdest برای انتقال برش در اتصال، طراحی خواهد شد و بهتر است این عناصر قادر به انتقال حداقل 50% ظرفیت برشی تیر باشد.

مرحله ۲: محاسبه  $F, P_{bf}$ : (این گام به بعد مراحل طراحی برای ورق جان و دو تسسمه فوقانی و تحتانی شرح داده شده است)

$$F = \frac{\text{ظرح} M}{(h - t_{bf})}, P_{bf} = \frac{\text{ظرح} M}{(h - t_{bf})} \times (\text{ضریب بار})$$

ضریب  $\frac{5}{3}$  برای بارگذاری عادی (بارهای قائم)ضریب  $\frac{4}{3}$  برای بارگذاری فوق العاده (بارهای قائم + جانبی)

نکته:  $P_{bf}$ ، نیروی محاسبه شده ای است که از بال تیر و یا ورق اتصال خمشی، به ستون وارد می شود. وقتی که این نیرو حاصل از بار زنده و یا مرده است در  $\frac{5}{3}$  و هنگامی که این نیرو حاصل از بار مرده و زنده به اضافه اثر باد زلزله است در  $\frac{4}{3}$  ضرب می شود. (بند ۱۰-۱-۱، قسمت ب)، ایران)

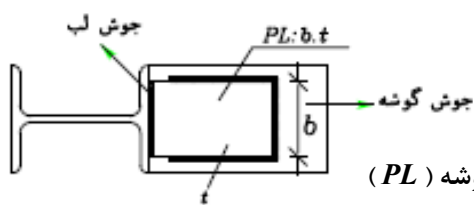
مرحله ۳: محاسبه لب مورد نیاز جهت اتصال بال کششی تیر به ستون:

$$\frac{F}{\text{تنش}(\text{مجاز)}} = \text{سطح جوش لب مورد نیاز}$$

برای الکترود معمولی تنش مجاز bar 1100 در نظر گرفته شده است:

نکته: در بیشتر موارد از اتصال تیر به ستون (جوش لب) صرف نظر می شود، ولی در صورتی که وارد محاسبات شود و این جوش کافی نباشد، توسط صفحه اضافی تأمین می شود.

مرحله ۴: طراحی جوش گوشه صفحه کششی:

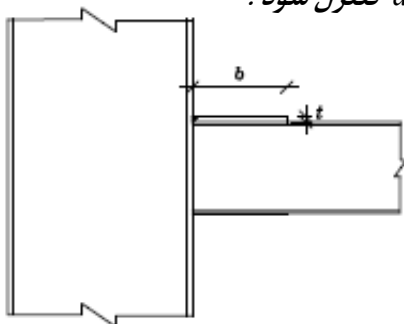


ظرفیت جوش لب ( $PL$ )  $\geq$  ظرفیت جوش گوشه ( $PL$ )

نکته: اگر جوش لب بنا به دلایلی زیاد شد، جوش گوشه بایستی ظرفیتی بیشتر یا برابر با آن داشته باشد.

با فرض مناسبی برای طول جوش گوشه،  $a$  بدست می‌آید که بایستی با  $a_{\max}$ ,  $a_{\min}$  کنترل شود.

مرحله ۵: خامات ورق اتصال بایستی از صلیب کافی برخوردار باشد:



$$\frac{b}{t} < 30$$

$b \leftarrow$  طول صفحه

$t \leftarrow$  خامات صفحه

مرحله ۶: محاسبه جوش لب مورد نیاز جهت اتصال بال فشاری تیر به ستون:

$$F = \frac{F}{\text{تنش (محاز)}} = \text{سطح مقطع جوش لب مورد نیاز}$$

برای الکترود معمولی تنفس مجاز bar 1400 در نظر گرفته شده است.

ممولاً جوش بال به ستون کفايت می‌کند و نیازی به صفحه فشاری نیست.

مرحله ۷: اتصال ورق جان (طراحی صفحه جان برای کنترل برش):

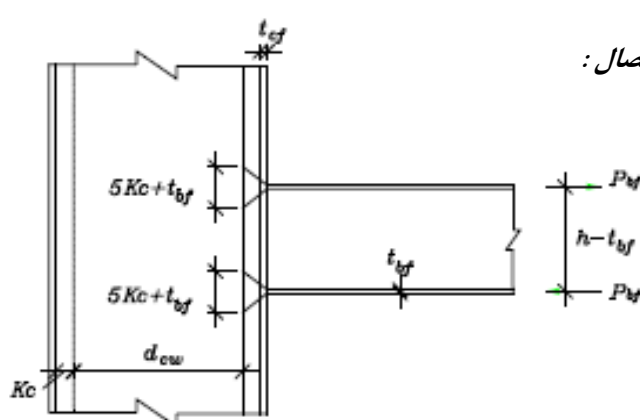
ابتدا با توجه به ناحیه صاف جان  $L$  حدس زده شده و ابعاد  $PL$  مشخص می‌شود و با رابطه زیر  $a$  بدست می‌آید که بایستی با  $a_{\max}$ ,  $a_{\min}$  کنترل شود.

$$2L \times 650 \cdot a \geq V \quad (\text{طرح}) \Rightarrow a = \dots$$

مرحله ۸: طرح جوش تحت برش و پیچش ورق به جان تیر:

از کنترل برش و پیچش جوش در مفصل قبل استفاده می‌شود.

نکته:  $a$  بایستی با  $a_{\max}$ ,  $a_{\min}$  کنترل شود و رابطه  $0.75t_{wb}$  تعیین کننده است زیرا جان تیر از دو طرف جوش می‌شود.



مرحله ۹: بررسی لزوم سخت کننده در بال فشاری و کششی اتصال:

الف) ناحیه فشاری

$d_{cw} \leftarrow$  ناحیه صاف جان ستون

$t_{cf} \leftarrow$  خامات بال ستون

$t_{bf} \leftarrow$  خامات بال تیر

$(5K_c + t_{bf}) \leftarrow$  طول ناحیه گسترش تنش در جان ستون

$K_c \leftarrow$  ناحیه انضای ستون

$$\frac{3400 \cdot t_{cw}^3 \sqrt{F_y}}{P_{bf}} - d_{cw} < 0 \quad (1) : \text{کنترل کمانش}$$

اگر رابطه برقرار باشد جان فشاری ستون امکان کمانش دارد و به سخت کننده نیاز داریم.

$$1) \quad A_{st} = \frac{P_{bf}}{F_y} - t_{cw}(t_{bf} + 5K_c) \rightarrow \text{رابطه ضعف جان ستون در برابر لهیدگی}$$

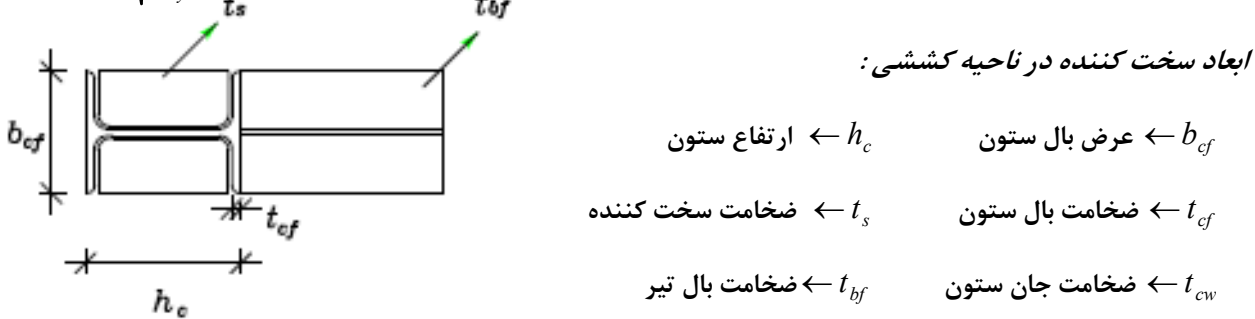
(رابطه ۱۰-۸-۹، آینه نامه ایران)

$$\begin{cases} \text{اگر } A_{st} > 0 \rightarrow \text{به سخت کننده نیاز داریم} \\ \text{اگر } A_{st} \leq 0 \rightarrow \text{به سخت کننده نیاز نداریم} \end{cases}$$

ب) ناحیه کششی:

زمانی ناحیه کششی ستون نیاز به تقویت از نظر کمانش خواهد داشت که:

$$t_{cf} < 0.4 \sqrt{\frac{P_{bf}}{F_y}} \quad t_s \quad t_{bf} \quad \text{(رابطه ۱۰-۸-۱، آینه نامه ایران)}$$



$$\text{عرض دو ورق تقویت} \geq \frac{2}{3} b_{cf}$$

$$(t_s) > 0.5t_{bf}$$

$$\text{طول تقویت} = h_c - 2t_{cf}$$

نکته: تقویت ها در کلیه قسمت ها به ستون جوش می شوند.

سخت کننده در ناحیه کششی آینه نامه ای است ولی در ناحیه فشاری محاسباتی است و ممکن است مقدار آینه نامه ای در قسمت فشاری نیز جوابگو باشد (اکثر موارد)، اگر جوابگو نبود، جداگانه طرح می شود.

$$(از رابطه ۲ بالای صفحه) \quad 2b_s \cdot t_s \geq A_{st} : \text{در ناحیه فشاری}$$

نکته:

#### (9-12) طرح لرزه ای اتصال صلب در قاب خمشی معمولی: (ضوابط طراحی)

بر طبق بند ۶ آینه نامه ۲۸۰۰ ایران، اتصال تیر به ستون قاب های خمشی معمولی باید منطبق بر الزامات قسمت (الف) باشد، مگر اینکه بتوان نشان داد که اتصال این قاب ها توانایی مقاومت در برابر ترکیب بار ثقلی بعلاوه  $0.4R$  برابر نیروی زلزله طرح را که در قسمت (ب) روابط آن آمده است، را دارا باشد. ( $R$  ضریب رفتار بوده و در قاب های معمولی برابر  $6$  می باشد).

آینه نامه AISC کاربرد ورق پیوستگی را برای انتقال نیروها از بال ستون به جان ستون ضروری می داند. تحقیقات

اخیر نشان داده است که اتصال صلب با استفاده از ورق های اتصال دارای شکل پذیری مناسبتری نسبت به اتصال صلب با جوش مستقیم تیر به ستون می باشد.

**الف) طرح اتصال برای حداکثر لنگر منتقل شده از سیستم اتصال، در ترکیب بار بحرانی (روش نتش مجاز) :**

**۱) لنگر طراحی و برش طراحی :**

$$M = 0.75.(M_D + M_L + M_E) \left\{ \begin{array}{l} M_D = \text{مان ناشی از بار مرده} \\ M_L = \text{مان ناشی از بار زنده} \\ M_E = \text{مان ناشی از زلزله} \end{array} \right.$$

نکته: همه ممان ها را با یک علامت قرار می دهیم.

$$V = 0.75.(V_D + V_L + V_E) \left\{ \begin{array}{l} V_D = \text{برش ناشی از بار مرده} \\ V_L = \text{برش ناشی از بار زنده} \\ V_E = \text{برش ناشی از زلزله} \end{array} \right.$$

**۲) نیروی فشاری و کششی در بالهای تیر :**

$$F_f = \frac{M}{d_b} : \text{ارتفاع تیر} d_b$$

**طرح ورق اتصال بال کششی :**

**۳) بدست آوردن ابعاد ورق :**

$$f_f = \frac{F_f}{A_{PL}} \leq 0.6F_y \Rightarrow A_{PL} \geq \frac{F_f}{0.6F_y} \rightarrow A_{PL} = t_{PL} \times b_{PL}$$

**۴) با داشتن  $t_{PL}$ ، مقدار برای  $a$  ما بین  $a_{\max}, a_{\min}$  انتخاب می کنیم.**

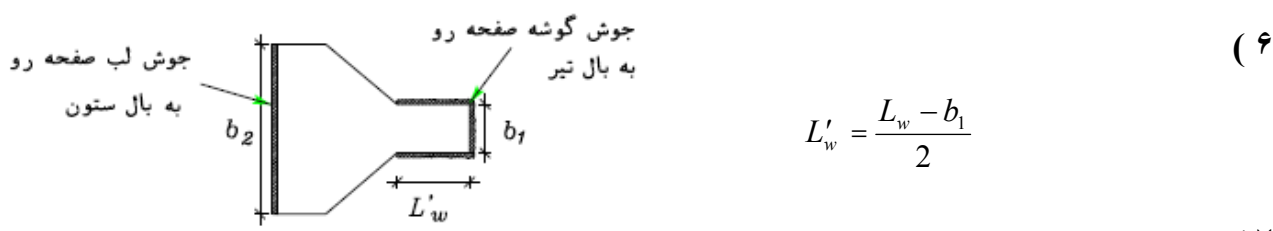
$$\left\{ \begin{array}{l} a_{\min} \rightarrow \text{از جدول} \\ a_{\max} \rightarrow t_{PL} - 1.5mm \end{array} \right. \quad \text{(بر اساس حداکثر ضخامت ورق یا ضخامت بال تیر)}$$

**۵) طرح جوش گوشه:** ( نیروی کششی در جوش گوشه برش /یجاد می کند)

$$F_f \leq R_w \cdot L_w \rightarrow L_w \geq \frac{F_f}{650a}$$

**طول جوش گوشه مورد نیاز صفحه بالا به بال تیر**  $L_w$

در صورت استفاده از الکترود معمولی



$$L'_w = \frac{L_w - b_1}{2}$$

**۷) طرح جوش لب:** ( نیروی کششی در جوش لب ، تولید نیروی کششی می کند )

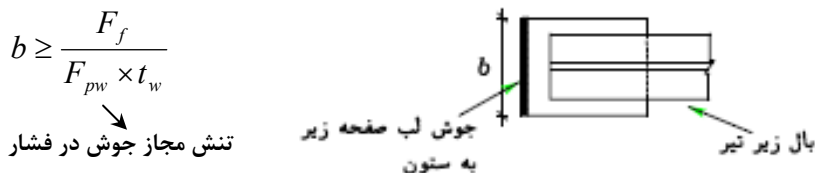
$$f_{tw} = \frac{F_f}{b_2 \times t_w} \leq F_{tw} \rightarrow b_2 \geq \frac{F_f}{F_{tw} \times t_w} \quad (\text{تنش مجاز جوش لب در کشش})$$

$f_{tw}$ : تنش کششی در جوش لب در اتصال صفحه به ستون

$t_w$ : ضخامت جوش لب

**طرح ورق اتصال بال فشاری:** (عرض ورق زیر از عرض بال تیر بیشتر است) :

(۸) مراحل ۳ الی ۶ را برای بال فشاری تکرار کرده و در مرحله ۷ داریم :



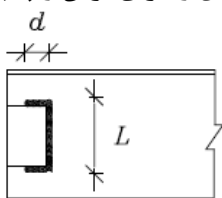
**طرح اتصال ورق جان تیر به ستون:**

(۹) محاسبه عرض ورق با توجه به ناحیه صاف جان تیر :

(۱۰) محاسبه  $a$ : (با توجه به آنکه جوش گوشه ورق به ستون باید تحمل برش را داشته باشد)

$$n \times L \times 650a \geq V \quad \rightarrow a \geq \frac{V}{n \times L \times 650} \quad \text{طرح } n$$

(۱۱) فاصله  $d$  را حدس زده و مشابه اتصال جوش صفحه به جان تیر در اتصال صلب، اتصال را برای برش و پیچش طرح می کنیم (به شرح صفحه ۹۰ مراجعه شود)



**ب) تأمین شکل پذیری اتصال قاب خمی معمولی (روش تنش مجاز بر اساس روش حدی) :**

$$\left\{ \begin{array}{l} \text{مقاومت ورق ها : } F_y \\ \text{ مقاومت معمولی جوش } \times 1,7 : \text{ مقاومت مجاز جوش } \end{array} \right. \quad \text{در این حالت :}$$

(۱) محاسبه لنگر و برش طرح :

$$M = M_D + M_L + 0.4R \times M_E \quad \left\{ \begin{array}{l} M_D = \text{مان ناشی از بار مرده} \\ M_L = \text{مان ناشی از بار زنده} \\ M_E = \text{مان ناشی از زلزله} \\ V = V_D + V_L + 0.4R \times V_E \quad \left\{ \begin{array}{l} V_D = \text{برش ناشی از بار مرده} \\ V_L = \text{برش ناشی از بار زنده} \\ V_E = \text{برش ناشی از زلزله} \end{array} \right. \end{array} \right.$$

(۲) نیروی فشاری و کششی در بالهای تیر :

$$F_f = \frac{M}{d_b} \quad \text{ارتفاع تیر : } d_b$$

**طرح ورق اتصال بال کششی :**

(۳) بدست آوردن ابعاد ورق :

$$f_f = \frac{F_f}{A_{PL}} \leq F_y \Rightarrow A_{PL} \geq \frac{F_f}{F_y} \rightarrow A_{PL} = t_{PL} \times b_{PL}$$

۴) با داشتن  $t_{PL}$ ، مقدار برای  $a$  مابین  $a_{\max}$ ،  $a_{\min}$  انتخاب می کنیم.

$$\begin{cases} a_{\min} \rightarrow \text{از جدول} \\ a_{\max} \rightarrow t_{PL} - 1.5mm \end{cases} \quad (\text{بر اساس حداکثر ضخامت ورق یا ضخامت بال تیر})$$

۵) طرح جوش گوشه: ( نیروی کششی در جوش گوشه برش ایجاد می کند )

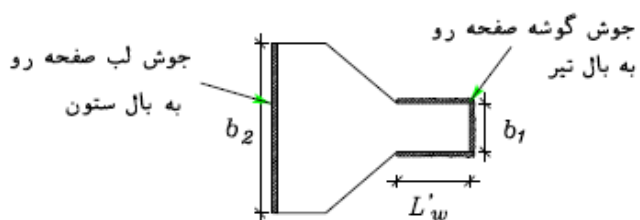
$$L_w \geq \frac{F_f}{1.7 \times 650a} \quad \rightarrow \quad L'_w = \frac{L_w - b_1}{2}$$

در صورت استفاده از الکتروود معمولی

۶) طرح جوش لب: ( نیروی کششی در جوش لب ، تولید نیروی کششی می کند )

$$\text{I) } b_2 \geq \frac{F_f}{F_y \times t_w} \quad \text{جوش لب با نفوذ کامل:}$$

$$\text{II) } b_2 \geq \frac{F_f}{1.7 \times F_{tw} \times t_w} \quad \text{جوش لب با نفوذ نسبی:}$$



طرح ورق اتصال بال فشاری: ( عرض ورق زیر از عرض بال تیر بیشتر است )

۷) مراحل ۳ الی ۵ را برای بال فشاری تکرار کرده و در مرحله ۶ داریم:

$$\text{I) } b \geq \frac{F_f}{F_y \times t_w} \quad \text{جوش لب با نفوذ کامل:}$$

$$\text{II) } b \geq \frac{F_f}{1.7 \times F_{pw} \times t_w} \quad \text{جوش لب با نفوذ نسبی:}$$

طرح اتصال ورق جان تیر به ستون:

۸) محاسبه عرض ورق با توجه به ناحیه صاف جان تیر:

$$L < h_1$$

۹) محاسبه  $a$ : (با توجه به آنکه جوش گوشه ورق به ستون باید تحمل برش را داشته باشد)

$$n \times L \times 650a \times 1.7 \geq V \quad \rightarrow a \geq \frac{V}{n \times L \times 650 \times 1.7} \quad \text{طرح: تعداد ورق های جوش شده به جان تیر}$$

۱۰) فاصله  $a$  را حدس زده و مشابه اتصال جوش صفحه به جان تیر در اتصال صلب ، اتصال را برای برش و پیچش طرح می کنیم. با این تفاوت که تنש مجاز جوش در عدد ۱۷ ضرب می شود. ( به شرح صفحه ۸۸ مراجعه شود )

(10-12) طرح لرزه ای اتصال صلب در قاب خمی ویژه (ظوابط طراحی):

در قاب خمی ویژه لازم است اولاً اتصال تیر به ستون با رعایت شکل پذیری مورد نظر مطابق قسمت (الف) طرح شود. ثانیاً چشممه اتصال برای برش ، مطابق قسمت (ب) کنترل شود. ثالثاً عدم تشکیل مفصل پلاستیک در ستون به شرح قسمت (ج) نیز کنترل شود. ( در این قاب ها خسrib رفتار ( $R$ ) معادل ۱۰ در نظر گرفته می شود ).

## الف) طراحی اتصال:

$$\left\{ \begin{array}{l} F_y : \text{ مقاومت ورق ها} \\ \text{ مقاوت مجاز معمولی جوش} \times 1.7 : \text{ مقاومت جوش ها} \end{array} \right.$$

$$Z_b = n \times 2Q_b$$

(۱)  $n$ : تعداد پروفیل تیر

$$M_{PS} = Z_b \cdot F_y$$

(۲)  $M_{PS}$ : لنگر خمیری تیر

$$t_Z = n \cdot t_{wc}$$

(۳)  $n$ : تعداد پروفیل ستون(۴)  $t_Z$ : ضخامت چشمی اتصال

$$V_Z = 0.55 \cdot F_y \cdot d_C \cdot t_Z \left[ 1 + \frac{3 \times n \times b_{fc} \times t_{fc}^2}{d_b \times d_C \times t_Z} \right]$$

(۴) ظرفیت برشی جان در چشمی اتصال:

$$d_b : \text{ارتفاع تیر}$$

(۵)  $t_Z$ : ضخامت جان ستون + ورق مضاعف در صورت وجود

$$n : \text{تعداد پروفیل ستون}$$

$$d_C : \text{ارتفاع پروفیل ستون}$$

$$t_{fc} : \text{ضخامت بال ستون}$$

(۵) لنگر متناظر با مقاومت برشی چشمی اتصال (مجموع لنگر تیرها ناشی از مقاومت برشی چشمی اتصال):

$$\sum M_{PZ} = V_Z \frac{H \cdot d_b}{H - d_b}$$

$$H : \text{ارتفاع متوسط طبقة (نصف ارتفاع طبقة بالا + نصف ارتفاع طبقة پایین)}$$

$$d_b : \text{ارتفاع متوسط تیرهای متصل به چشمی اتصال}.$$

$$M = \min(M_{PS}, M_{PZ})$$

(۶) لنگر طراحی:

$$F_f = \frac{M}{d_b}$$

(۷) نیروی کششی و فشاری در بال تیر:

طرح ورق اتصال بال کششی:

$$A_{PL} \geq \frac{F_f}{F_y} \rightarrow A_{PL} = t_{PL} \times b_{PL}$$

(۸) تعیین ابعاد ورق:

(۹) با داشتن  $t_{PL}$  مقداری برای  $a$  بین  $a_{\max}$ ,  $a_{\min}$  بدست می آوریم:

$$\left\{ \begin{array}{l} a_{\min} \rightarrow \text{از جدول} \\ a_{\max} \rightarrow t_{PL} - 1.5mm \end{array} \right.$$

(۱۰) طرح جوش گوشه ورق بالا به تیر:

$$L_w \geq \frac{F_f}{1.7 \times 650a}$$

در صورت استفاده از الکترود معمولی

(۱۱) در قاب خمشی ویژه فقط طول جوش گوشه ای که موازی جان است منظور می گردد.

(۱۲) طرح جوش لب ورق به ستون:

$$\text{I) } b_2 \geq \frac{F_f}{F_y \times t_w} \quad \text{جوش لب با نفوذ کامل:}$$

$$\text{II) } b_2 \geq \frac{F_f}{1.7 \times F_{tw} \times t_w} \quad \text{جوش لب با نفوذ نسبی:}$$

طرح ورق اتصال بال فشاری: (عرض ورق زیر از عرض بال تیر بیشتر است)

(۱۳) مراحل ۸ الی ۱۱ را برای بال فشاری تکرار کرده و در مرحله ۱۲ داریم:

$$\text{I) } b \geq \frac{F_f}{F_y \times t_w} \quad \text{جوش لب با نفوذ کامل:}$$

$$\text{II) } b \geq \frac{F_f}{1.7 \times F_{pw} \times t_w} \quad \text{جوش لب با نفوذ نسبی:}$$

ب) کنترل چشمۀ اتصال برای برش:

۱) برش چشمۀ اتصال وابسته به  $M_1$ :

$$\begin{cases} M_1 = M_D + M_L + 1.85M_E \\ V_1 = \frac{M_1(H - d_b)}{H \times d_b} \end{cases} \quad \begin{array}{l} H: \text{ارتفاع متوسط طبقه} \\ d_b: \text{ارتفاع پروفیل تیر} \end{array}$$

۲) برش چشمۀ اتصال وابسته به  $M_2$ :

$$\begin{cases} M_{PS} = n.Z.F_y \Rightarrow M_2 = 0.8 \sum^m M_{PS} \\ V_2 = \frac{M_2(H - d_b)}{H \times d_b} \end{cases} \quad \begin{array}{l} n: \text{تعداد پروفیل تیر} \\ m: \text{تعداد تیرهای وارد بر ستون در گره} \end{array}$$

$$(3) \quad V = \min(V_1, V_2) \Rightarrow V \leq V_Z \longrightarrow O.K$$

نکته: اگر رابطه صادق باشد، چشمۀ اتصال مشکلی ندارد و به ورق مضاعف نیازی نیست.

ج) کنترل عدم تشکیل مفصل پلاستیک در ستون در هر گره از قاب خمی:

۱) محاسبه نیروی محوری ستون در طراحی:

$$f_a = \frac{P}{A_C} \quad ۲) \quad \text{محاسبه تنفس محوری در ستون:}$$

$$Z_C = n \times 2Q \quad ۳) \quad \text{تعداد پروفیل ستون:}$$

۴) عدم تشکیل مفصل پلاستیک در ستون: (با ایجاد مفصل خمیری در تیر)

$j$ : تعداد ستون های وارد بر گره

$$\sum^j Z_C (F_{yc} - f_a) \geq \sum^k Z_b . F_y \quad k: \text{تعداد تیر های وارد بر گره}$$

$F_{yc}$ : تنفس تسليم ستون

۵) عدم تشکیل مفصل پلاستیک در ستون: (با ایجاد مفصل خمیری در چشمۀ اتصال)

$$\sum^j Z_C \cdot (F_{yc} - f_a) \geq 1.25 \sum^k M_{PZ}$$

(۶) در حالات زیر نیاز به کنترل روابط ۴ و ۵ نیست:

**الف)** مقطع ستون فشرده باشد و  $f_a \leq 0.4F_y$  .  $f_a$  تنش محوری ستون در ترکیب بار معمولی )

**ب)** ستون در طبقه ای قرار داشته باشد که مقاومت برشی آن ۵۰ % بزرگتر از مقاومت برشی طبقه بالا باشد.

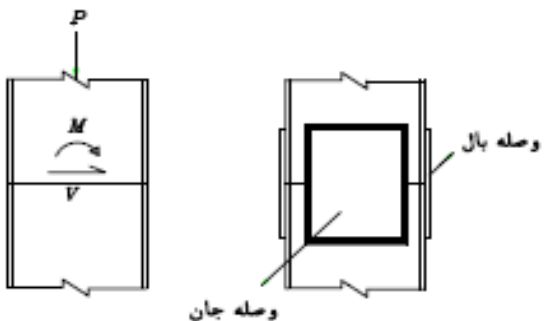
12-11) **وصله ها:** (بند ۱۰-۱-۷-۷، آیین نامه ایران)

وصله ستون:

در مواردی که طول تیر یا ستون کمتر از دهانه باشد ، قطعه دیگری را به پروفیل اضافه می کنیم و در محل اتصال با وصله به یکدیگر متصل می کنیم . واضح است که تسمه کششی باید نیروی وارد را تحمل کند ولی قسمت عمدۀ نیروی فشاری به کمک تماس مستقیم دو ستون تحمل می شود پس کنترل تسمه کششی برای صد درصد نیرو الزامی است .

اگر دو نیمرخ کاملاً صاف بوده و ستون نیز تنها تحت فشار محوری باشد ، برای 25 تا 50 درصد کل نیرو طراحی می شود ، ولی اگر ستون تحت نیروی محوری و لنگر خمی باشد می توان این قطعات را برای 50 تا 75 درصد کل نیرو طراحی کرد .

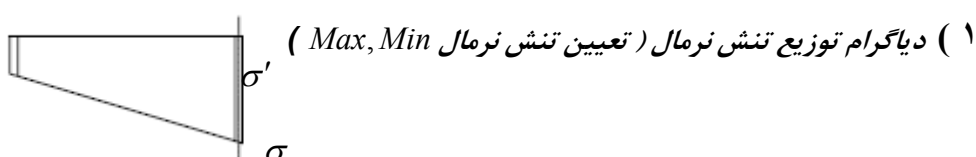
از آنجا که محل وصله و موقعیت آن و روش های طراحی متفاوت خواهد بود ، به عنوان مثال مراحل گام به گام طراحی



وصله ۴ تایی ستون شرح داده شده است :

**الف) طراحی وصله بال:**

در محل اتصال  $M, V, P$  داریم:



$$\sigma = \frac{P}{A} \pm \frac{M}{S_x} \quad \sigma_{\min}$$

(۲) بدست آوردن تنش در وسط بال سمت راست. ( $\sigma'$ )

(۳) محاسبه نیرویی که در بال فشاری (بال سمت راست) ایجاد شود . (بال راست ماکزیمم تنش فشاری را داراست)  $P_f = A_f \times \sigma'$

$$A_f \rightarrow (b_f \times t_f \times$$

$$P_f \rightarrow$$

$$\text{مساحت بال} \times \text{نیروی فشاری بال}$$

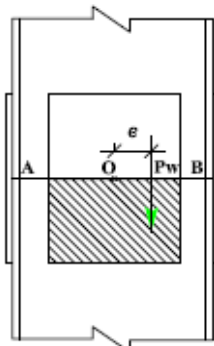
۴) تعیین نیرویی که وصله تحمل می‌کند (بسته به شرایط قرارگیری دوستون روی هم) تعیین تنش مجاز فشاری و بدست آوردن ابعاد وصله.

$$\lambda_{\max} = \frac{KL}{r_{\min}} \xrightarrow{\text{جدول}} F_a = \dots$$

$$\frac{0.5P_f}{A} \leq F_a \rightarrow A \geq \frac{0.5P_f}{F_a} \rightarrow A = \dots \begin{cases} b = \dots \\ t = \dots \end{cases}$$

: نیروی طراحی وصله  $0.5t_f$

نکته: نیروی طراحی بسته به شرایط اتصال و نیروهای موجود در اتصال، متفاوت خواهد بود. (صفحه قبل)



ب) طراحی وصله جان:

$$e = \frac{h - 2t_f}{6} \quad (1) \quad : \text{تعیین } e$$

: خروج از محوریت

در اینجا ابعاد وصله جان حدس زده می‌شود و در بند ۵ کنترل می‌شود.

۲) محاسبه تنش در نقاط  $A$ ,  $B$

$P_w = A_w \times \frac{\sigma_A + \sigma_B}{2}$       ۳) محاسبه نیرویی که جان تحمل می‌کند.

$A$ ,  $B$ ,  $\sigma_A$ ,  $\sigma_B$  : تنش در نقاط  $A$ ,  $B$        $A_w \leftarrow P_w$       نیرویی که جان تحمل می‌کند

۴) نیروی تحمل وصله:

نکته: در این مثال نیرویی وصله ۵۰% در نظر گرفته شده است. بسته به شرایط این مقدار متفاوت خواهد بود.

۵) تنش حداقل در وصله جان و کنترل آن:

$$\sigma = \frac{1}{2} \left( \frac{P'_w}{A'_w} + \frac{P'_w}{S'_w} \right) \leq F_a \rightarrow O.K \quad \leftarrow P'_w \quad \leftarrow \text{نیروی طراحی وصله جان}$$

به دلیل وجود دو وصله در طرفین جان  $A'_w \leftarrow \text{مساحت وصله که در گام ۱ حدس شده است.}$

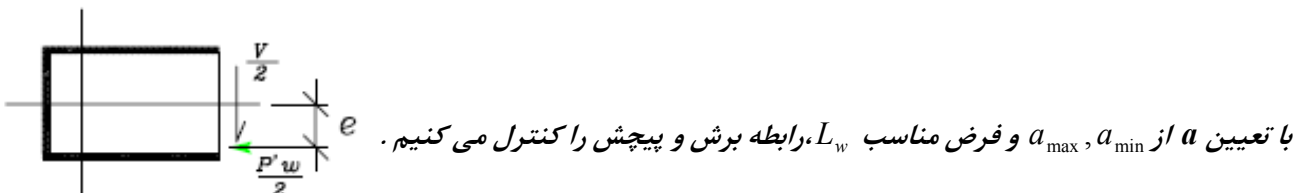
$S'_w \leftarrow \text{اساس مقطع وصله جان}$

۶) کنترل برش:

$$f_V = \frac{V}{2A_w} \leq 0.4F_y$$

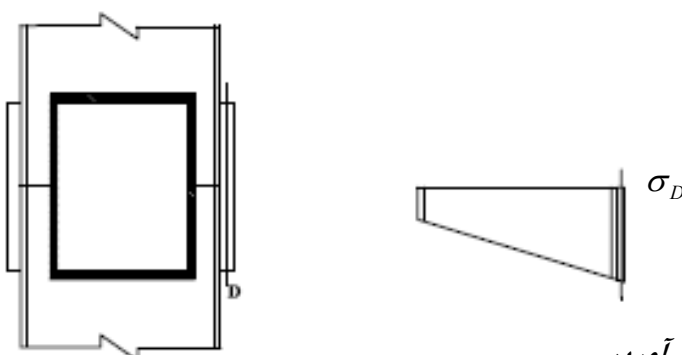
چون دو وصله جان داریم

(12-12) طرح جوش وصله جان:



## (13-12) طرح جوش وصله بال:

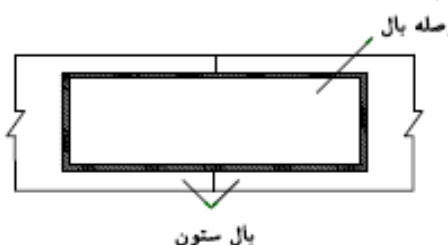
۱) تنش در وسط وصله را می یابیم. ( $\sigma_D$ )



۲) نیرویی که جوش بایستی تحمل کند بدست می آوریم.

$$P = \sigma_D \times A \underbrace{(\text{وصله})}_{(b \times t)} \leftarrow \text{نیرویی که جوش بایستی تحمل کند.} P$$

۳)  $a$  را از بین  $a_{\max}$ ,  $a_{\min}$  انتخاب می کنیم.



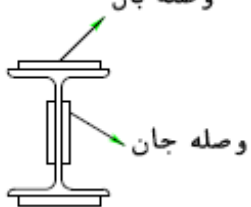
۴) طول جوش را تعیین می کنیم.

$$P = R_w \cdot L_w \rightarrow L_w = \dots$$

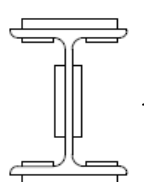
## (14-12) وصله تیر: (بند ۱۰ - ۱ - ۷ - ۷، قسمت الف و ب، آیین نامه ایران)

جوش های لب بال به ی آماده شده، در تیر های نورد شده و تیر های مرکب حداقل باید ظرفیت کامل مقطع کوچک تر وصله شونده را به وجود آورد. انواع دیگر وصله در مقاطع تیر های مرکب و تیر های باید مقاومت مطمئن برای تنش ها موجود در نقطه وصله را به وجود آورد. در ضوابط جدید AISC، وصله ها هرگز نباید برای ظرفیتی کمتر از ۵۰٪ استحکام مؤثر قطعات مورد اتصال طراحی شوند.

در وصله تیرها هر یک از قطعات وصله باید به نوعی طرح شوند که بتوانند کار قطعات مورد وصله را در حالت بدون برش انجام دهند. ورق های اتصال بال و ورق های اتصال جان وظیفه جان تیر را انجام خواهند داد. وصله بال



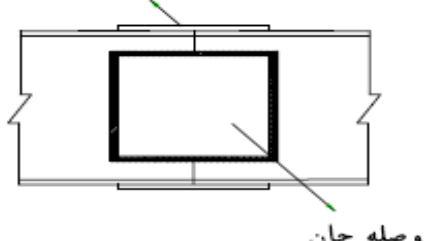
وصله تیر با ۴ ورق



وصله تیر با ۸ ورق

هرگاه ضخامت بال زیاد بوده و نیرویی مورد انتقال بالا، از ورق اتصال  $^A$  تایی استفاده می شود.

همانند وصله ستون، طراحی وصله ها تیر نیز، حالات متفاوتی را شامل می شود. به عنوان مثال، مراحل گام به گام طراحی وصله تیر با  $^4$  ورق بررسی می شود:



۱) تعیین ظرفیت مقطع:

$$M, V = \text{Max} \quad \begin{cases} M, V \text{ محاسباتی} \\ (\text{طبق ضابطه AISC}) \\ (\text{ظرفیت مقطع}) \% 50 \end{cases}$$

(۲) تعیین  $V, M$  طراحی:

$$A_w' = \frac{V}{0.4F_y}, \quad \text{ارتفاع ممکن} = h - 2K \quad (3) \text{ انتخاب ورق های جان:}$$

$$t \geq \frac{A_w'}{2 \times (h - 2K)} \Rightarrow t = \dots$$

با تعیین ضخامت، عرض ورق نیز با توجه به ضوابط اجرایی تعیین می شود. (b)

چون دو ورق در جان داریم

(4) انتخاب ورق های بال:

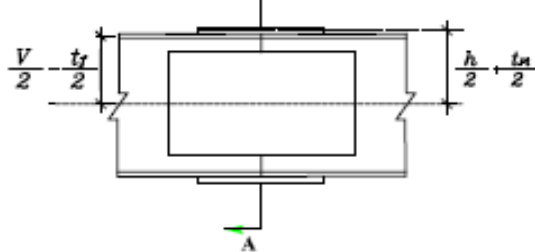
$$\frac{M_{\text{موجور}}}{M_{\text{آخر}}} = \text{درصد ظرفیت مورد نیاز}$$

$$A_f \Rightarrow \begin{cases} b = \dots \\ t = \dots \end{cases}$$

عرض و ضخامت ورق های بال نیز تعیین می شود.

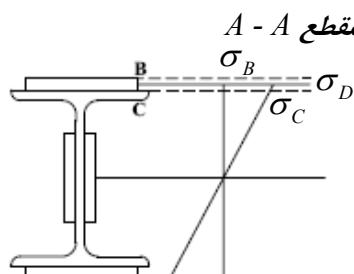
نکته: البته می توان اثر دورتر بودن ورق های وصله را از تار خنثی نسبت به بال تیر در نظر گرفت و سطح مقطع ورق ها را بر اساس آن تعیین کرد:

$$A' = A \times \frac{\left( \frac{h}{2} - \frac{t_f}{2} \right)}{\left( \frac{h}{2} + \frac{t_{PL}}{2} \right)} \quad \text{ضخامت ورق بال} \leftarrow t_{PL}$$



(5) کنترل وصله در مقطع  $A-A$ :

$$\begin{cases} f_b = \frac{M \cdot C}{I_{Tot}} \leq F_b \\ C = \frac{h}{2} + t_{PL} \end{cases} \quad \text{ممان طراحی وصله} \leftarrow M$$



$I \leftarrow$  ممان اینرسی کل، شامل ممان اینرسی ورق های بال و ورق های جان در مقطع  $A$

(6) طرح جوش ورق بال:

الف) تنش در وسط ورق وصله ای بال: ( $\sigma_D$ )

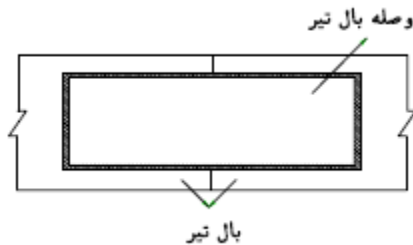
$$\sigma_D = \frac{\sigma_B + \sigma_C}{2}$$

$$F = \sigma_D \times (A \text{ مساحت وصله})$$

ب) نیرویی که جوش تعیین تحمل می کند:

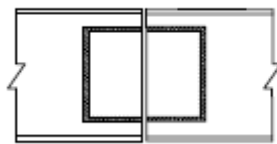
ج) تعیین  $a$  بر اساس  $a_{\max}, a_{\min}$ :

$$F = R_w \cdot L_w \rightarrow L_w = \dots$$



۵) تعیین  $L_w$ :

۷) طرح جوش ورق جان:



الف) تعیین اندازه بعد جوش  $a$  از:

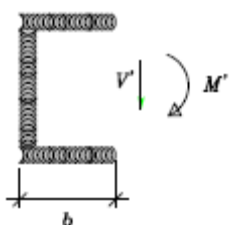
ب) تعیین برش و ممان هر ورق

$$V' = \frac{V(\text{طرح})}{2} \quad \text{هر ورق} \quad M' = \frac{1}{2} \times \frac{I_{PL}(\text{جان})}{I_{Tot}} \times M(\text{طرح}) \quad \text{هر ورق}$$

وصله های جان بخشی از لنگر کل واردہ به مقطع را می گیرند که مقدارش برابر با نسبت ممان اینرسی ورق های

جان به ممان اینرسی مقطع.

ج) با فرضی مناسب برای  $b$ ، مقطع را برای برش و پیچش کنترل می کنیم.



(15-12) برگه طراحی اتصالات:

برگه طراحی اتصال ساده با نشیمن تقویت شده	
CON TYPE	تیپ اتصال:
$F_y = 2400 \text{ kg/cm}^2$	
نیروی طراحی	$R(\text{kgt})$
مشخصات تیر	$t_w$ $k$ $b_f$ $t_f$
$N = \frac{R}{0.66F_y t_w} - 2.5k \geq k$	$N(\text{cm})$ $W = N/2 + 2 \geq 10(\text{cm})$
$P = 285t_w^2 \left[ 1 + 3 \left( \frac{N}{d} \right) \left( \frac{t_w}{t_f} \right)^{1.5} \right] \sqrt{\frac{F_{yw} t_f}{t_w}}$	کنترل لهیدگی جان $P(\text{kgt})$ $R \leq P$ O.K.
$\begin{cases} t_s \geq t_w \\ t_s \geq \frac{W}{(795/\sqrt{F_y})} \\ t_s \geq \frac{R(6e_f - 2W)}{0.6F_y W^2 \sin^2 \phi} \end{cases}$	$e_f = W - N/2$ $t_s(\text{cm})$ $t_b(\text{cm})$ $b(\text{cm})$
$f_r = \frac{P}{2.4L^2} \sqrt{16e_f^2 + L^2} \leq 668D$	طرح جوش سخت کننده به ستون $D_{\max} = F_y t_s / 3340$ $D_{\max}(\text{cm})$ $D(\text{cm})$ $L(\text{cm})$

**برگه طراحی اتصال ساده نبشی نشیمن انعطاف پذیر**

نام پژوهه :	طبقه :	
محاسب :	محور :	
تاریخ :	اپتدا :	
از :	نتیجه :	
صفحه :	نیپ تیر موجود :	
<b>نیروها</b>		
ترکیبات بارگذاری		
D+L+Sup		
.75(D+L+Sup+Exp)		
.75(D+L+Sup-Exp)		
.75(D+L+Sup+Exn)		
.75(D+L+Sup-Exn)		
.75(D+L+Sup+Eyp)		
.75(D+L+Sup-Eyp)		
.75(D+L+Sup+Eyn)		
.75(D+L+Sup-Eyn)		
$N = (R/66F_y t_w) - 2.5K =$	$\geq K = 2.05 \rightarrow N =$	
$b = b_f + 2 \times 1.5 =$ cm	$\geq 7.5 \text{ cm} \rightarrow b =$ cm	
$ef = N/2 +$ فاصله مونتاژ cm	نبشی مصرفی تحتانی :	
$A = R/300.W =$	$\rightarrow A =$	
$t \geq A/2 + (A^2/2 + A(ef - l))^{1/2} =$	نبشی مصرفی فوقانی :	
$a =$ mm $b =$ mm	$t_{\text{سین}} =$ mm	$a' =$ mm
<b>طراحی جوش اتصال</b>		
$a \geq (R/1300.Lv^2) \times (Lv^2 + 20.25ef^2)^{1/2} =$	الکترود مصرفی :	
$a_{min} =$ mm	$\rightarrow a =$ mm	
$a_{max} =$ t - 1.5 =		

## برگه طراحی اتصال صلب

CON TYPE			تیپ اتصال:
			نیروهای طراحی اتصال
$F_y = 2400 \text{ kg/cm}^2$			
ستون:			
مشخصات ستون	$d_c (\text{cm})$		
	$t_w (\text{cm})$		
	$k_c (\text{cm})$		
مشخصات تیر	$d (\text{cm})$		
	$t_w (\text{cm})$		
	$b_f (\text{cm})$		
	$t_f (\text{cm})$		
	$k (\text{cm})$		
	$W_x (\text{cm}^3)$		

## طراحی ورق تحتانی

$T = M/d \quad (\text{kgf})$	$A_p (\text{cm}^2) = T / 0.6F_y$	$b_f + 4 \leq b_p \leq b_c$ $t_p \geq A_p / b_p$	$b_p (\text{cm})$	$t_p (\text{cm})$
طرح حوش	$D_{\max} (\text{mm})$	$D \quad (\text{mm})$	$l_w)_B = \frac{(T/2)}{668D}$	$L_p \quad (\text{cm})$
	$D_{\min} (\text{mm})$			
کنترل تنش کششی در جوش لب به لب	$f_t = \frac{T}{b_p \cdot t_p}$	$F_t \quad (\text{kg/cm}^2)$	$f_t \leq F_t$	USE
			$O.K.$	

## طراحی ورق فوقانی

$T \quad (\text{kgf})$	$A_p \quad (\text{cm}^2)$	$b_1)_p \quad (\text{cm})$	$t_p \quad (\text{cm})$	$f_t = \frac{T}{b_2)_p \cdot t_p} \leq 1100$	$b_2)_p \quad (\text{cm})$
------------------------	---------------------------	----------------------------	-------------------------	--	----------------------------

## طرح جوش

$D_{\max} (\text{mm})$		$D \quad (\text{mm})$	$l_w)_T = \frac{(T/2)}{668D}$	$(L_2)_P$	$(L_1)_P$	$(b_2)_P$	$(b_1)_P$
$D_{\min} \quad (\text{mm})$							
$(L_1)_P \quad (\text{cm})$	$5cm \leq (L_2)_P \leq 10t_p$			$(L_2)_P \quad (\text{cm})$	USE		

ادامه طراحی اتصال صلب					
طرح اتصال برای انتقال برش با استفاده نبشی جان					
طول نبشی نبشی	تعیین	$x \leq \sqrt{\frac{(1336Dl^2)^2 - R^2l^2}{36R^2}} =$	USE		
	کنترل تنش برشی در نبشی	$\tau = \frac{R}{2lt}$	$\tau \text{ (kg/cm}^2\text{)}   F_v = 0.4F_y \text{ (kg/cm}^2\text{)}$	$\tau \leq F_v$ <i>O.K.</i>	
طرح جوش					
$f_r = \frac{R}{2l^2} \sqrt{36x^2 + l^2} \leq 668D$		$f_r \text{ (kg/cm)}$	$D_{\min} \text{ (mm)}$	$D \text{ (mm)}$	
طرح جوش A					
مولفه تنش برشی مولفه های تنش پیچشی	$f'_y = \frac{(R/2)}{l+2b}$	$f''_x = \frac{Tl}{4I_p}$ $f''_y = \frac{T(a-x-2)}{2I_p}$			
	$\begin{cases} e_x = a - x \\ T = Re_x \end{cases} \Rightarrow$				
$I_p \text{ (cm}^3\text{)}$	$x \text{ (cm)}$	$f'_y \text{ (kg/cm)}$	$f''_x \text{ (kg/cm)}$	$f''_y \text{ (kg/cm)}$	
$f_r = \sqrt{(f'_y + f''_y)^2 + (f''_x)^2} \leq 668D$		$f_r \text{ (kg/cm)}$	$D_{\min} \text{ (mm)}$	$D \text{ (mm)}$	
طراحی ورق پیوستگی در داخل ستون					
$\frac{5}{3}(M_D + M_L)$	$\frac{4}{3}(M_D + M_L + M_E)$	$A_f \text{ Beam} \cdot F_y$	$P_{bf} \text{ (ton)}$		
کنترل لهدگی و جاری شدن جان ستون					
$1) t_w \geq \frac{P_{bf}}{2(t_b + 5k_c)F_y}$	$2) \frac{d_c}{t_c} \leq \frac{69000t_c^2 \sqrt{F_y}}{P_{bf}}$				
Check(1)	<i>O.K.</i>	Check(2)	<i>O.K.</i>		
کنترل تشکیل خط تسلیم روی بال					
$P = \frac{t_p F_y}{12} \left[ 2a + b + 36 \frac{t_c^2}{a} \right]$	$P \text{ (ton)}$	$P_{bf} \text{ (ton)}$	$P \geq P_{bf}$		
$A_{st} = \frac{P_{bf} - 2F_{ys}(t_b + 5k_c)t_w}{F_{yst}} =$	$w \text{ (Variable)}$	$t \text{ (cm)}$	$d_c - 5$		

## ۱۳

## تیر ورق

اگر در طراحی تیر نیاز به اساس مقطع زیادی باشد، از پروفیل های استاندارد نمی توان استفاده کرد، در این حالت می توان تیر را از ورق ساخت، اصولاً از تیر ورق برای دهانه های زیادی استفاده می شود.

**مراحل گام به گام طراحی تیر ورق ها:**

(1-13) ترسیم دیاگرام برش، لنگر خمشی (با توجه به وضعیت بارگذاری تیر ورق)

(2-13) حدس ارتفاع جان ( $h$ ) :

**الف) اگر تیر دو سر مفصل باشد (دهانه ساده) :**

$$\begin{cases} \frac{L}{12} \leq h \leq \frac{L}{8} & \text{در ساختمان ها} \\ \frac{L}{15} \leq h \leq \frac{L}{8} & \text{در پل ها} \end{cases}$$

نکته: در ساختمان ها به ازاء هر ۱۵ متر طول تیر ورق به طور تقریبی ۱ متر ارتفاع در نظر می گیریم.

$$\begin{cases} \frac{L}{25} \leq h \leq \frac{L}{15} & \text{اگر تیر سراسری باشد} \\ \frac{L}{40} \leq h \leq \frac{L}{30} & \text{اگر تیر داخل قاب باشد (اتصال صلب)} \end{cases}$$

\* تعیین ارتفاع اقتصادی تیر ورق :

$M$ : لنگر طراحی تیر ورق و  $F_b = 0.6F_y$  است.

در این رابطه  $K$  برابر  $\frac{h_w}{t_w}$  می باشد یعنی نسبت ارتفاع جان تیر ورق به ضخامت تیر ورق که مجهول است. به

عنوان حدس اولیه بهتر است  $\frac{h_w}{t_w} = 200$  در نظر گرفته شود.

\* تعیین وزن واحد طول تیر ورق :

$$G\left(\frac{Kg}{m}\right) = 0.785A_g \quad : \text{برحسب } cm^2 \text{ (سطح مقطع تیر ورق)}$$

$$G\left(\frac{Kg}{m}\right) = 2.057\sqrt{\frac{M^2}{F_b^2 \cdot K}} \quad \leftarrow \text{ممان ماکزیمم برحسب } (Kg.cm)$$

$\leftarrow$  تنש مجاز خمشی که ۱۴۴۰ bar در نظر گرفته می شود.

نکته: ورق های تقویتی را بعنوان ۱۰٪ وزن تیر ورق در نظر می گیریم.

با تعیین وزن تیر ورق، دیاگرام برش و ممان را با بارگذاری جدید اصلاح می کنیم و ارتفاع اقتصادی را با دیاگرام جدید تعیین می کنیم.

(3-13) تعیین ضخامت جان (تناسب لازم جهت عدم کمانش جان) :

$$1) \text{ if } \frac{a}{h} < 1.5 \rightarrow \frac{h}{t_w} \leq \frac{16770}{\sqrt{F_y}} \quad (\text{رابطه } 10-3-2, \text{ آیین نامه ایران})$$

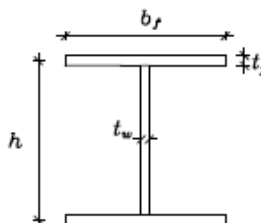
$$2) \text{ if } \frac{a}{h} > 1.5 \rightarrow \frac{h}{t_w} \leq \frac{985 \times 10^3}{\sqrt{F_y}(F_y + 1160)} \quad (\text{رابطه } 10-3-1, \text{ آیین نامه ایران})$$

$$3) \frac{h}{t_w} \leq \frac{6370}{\sqrt{F_y}} \rightarrow \text{عدم کاهش تنفس مجاز}$$

*a* : فواصل سخت کننده هاست.

بهتر است برای مرحله اول نسبت  $\frac{h_w}{t_w}$  در هر رابطه محاسبه شود و  $t_w$  بر حسب هر دو رابطه تعیین شود، زیرا *a* در مرحله اول مشخص نیست.

(4-13) تعیین سطح مقطع بال:



$$A_f = \frac{M}{F_b \cdot h} = \frac{A_w}{6}$$

$$A_f = b_f \cdot t_f$$

$$F_b = 0.6F_y \quad \text{و} \quad A_w = h \cdot t_w$$

(5-13) انتخاب ضخامت بال ( $t_f$ ) : (متناوب با عرض بال براساس کنترل کمانش پیچش بال)

$$\begin{cases} \frac{h}{6} \leq b \leq \frac{h}{2.5} & \text{براساس ارتفاع تیر ورق} \\ \frac{b_f}{2t_f} \leq \frac{795}{\sqrt{F_y}} & \text{رابطه تخمین اولیه عرض بال} \\ \frac{L}{60} \leq b \leq \frac{L}{25} & \text{براساس طول دهانه تیر ورق} \\ \text{(جدول ۱ - آیین نامه ایران)} & \end{cases}$$

از هر دو رابطه جهت تخمین عرض بال استفاده کرد و با قراردادن در خابطه کنترل کمانش پیچشی ( $t_f$ ) را تعیین کرد.

$$0.2 \leq \frac{b}{d} \leq 0.3 \quad (\text{ارتفاع کل تیر ورق: } d) \quad * \text{ رابطه توصیه شده جهت تعیین ابعاد معقول بال تیر ورق:}$$

(6-13) کنترل خمش و محاسبه تنفس های خمشی:

\* تعیین تنفس مجاز خمشی ( $Fb$ )

- چنانچه فواصل مهار جانبی بال فشاری از  $L_u$  کمتر نباشد، در این صورت تنفس مجاز خمشی از بزرگ ترین مقدار رابطه (الف) و یا (ب) انتخاب می شود. برای تعیین تنفس مجاز خمشی به فصل قطعات خمشی مراجعه شود. (صفحه ۳۷)

\* تعدیل تنفس مجاز خمشی:

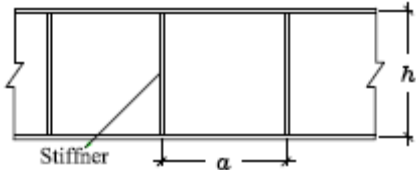
$$\begin{cases} \text{if } \frac{h}{t_w} < \frac{6370}{\sqrt{F_b}} \rightarrow F' = F_b \\ \text{if } \frac{h}{t_w} > \frac{6370}{\sqrt{F_b}} \rightarrow F' = F_b \left[ 1 - 0.005 \frac{A_w}{A_f} \left( \frac{h}{t_w} - \frac{6370}{\sqrt{F_b}} \right) \right] \end{cases} \quad (\text{رابطه } 10-3-3, \text{ آیین نامه ایران})$$

هر چه مقدار  $\frac{h}{t_w}$  زیاد شود، امکان کمانش قائم جان افزایش می یابد پس تنفس مجاز کاهش می یابد.

$$f_b = \frac{M}{S} \leq F'_b$$

تنش موجود با تنش مجاز مقایسه شده و اگر رابطه روپرو برقرار نبود، می‌توان عرض بال ( $b_f$ ) که مضاربی از ۵ انتخاب می‌گردد) را افزایش داد تا ممان اینرسی مقطع افزایش یابد و رابطه برقرار شود.

(7-13) بررسی لزوم کاربرد سخت کننده‌های میانی:



کاربرد سخت کننده لازم است.  $\rightarrow \frac{h}{t_w} > 260$  اگر از نظر محاسباتی:

از نظر اجرایی: محدودیت آیین نامه برای سخت کننده به منظور سهولت ساخت و حمل و نصب:

$$\frac{a}{h} < \min \left\{ \begin{array}{l} \left[ \frac{260}{h/t_w} \right]^2 \\ 3 \end{array} \right\} \Rightarrow a = ? \text{ cm} \quad (\text{رابطه } ۱۰ - ۲ - ۱۵, \text{ آیین نامه ایران})$$

از نظر اجرایی، استفاده از سخت کننده‌ها در هنگام جوشکاری حمل تیر ورق، از تغییر شکل جلوگیری می‌کنند.

نکته: اگر  $f_V \leq F_V$  و  $\frac{h}{t_w} \leq 260$  باشد می‌توان از سخت کننده‌های میانی استفاده نکرد. سخت کننده‌ها به برش کمک می‌کنند.

(8-13) کنترل برش: (با توجه به  $a$  بدست آمده از مرحله قبل)

$$F_V = \frac{F_y}{2.89} C_V \leq 0.4 F_y \quad (\text{در پانل‌های ابتدایی و انتهایی و سوراخ‌ها}) \rightarrow \text{اگر از میدان کششی استفاده نشود.}$$

(رابطه ۱۰ - ۲ - ۱۴, آیین نامه ایران)

$$F_V = \frac{F_y}{2.89} \left[ C_V + \frac{1 - C_V}{1.15 \sqrt{1 + (a/h)^2}} \right] \leq 0.4 F_y \quad (\text{اگر از میدان کششی استفاده شود.})$$

(رابطه ۱۰ - ۳ - ۴, آیین نامه ایران)

توجه: اگر از اثر میدان کششی استفاده می‌شود، در این حالت جان تیر ورق باید به نحوی طراحی شود که تنش کششی خمی ناشی از لنگر، موجود در صفحه جان از رابطه بند (۹) بیشتر نشود.

\* تعیین  $C_V$ :

$$C_V = \frac{315 \times 10^4 K_V}{F_y \left( \frac{h}{t_w} \right)^2}; C_V \leq 0.8 \quad (\text{کمانش ارجاعی و } K_V \text{ بند ۱۰ - ۱ - ۲ - ۴, آیین نامه ایران})$$

$$C_V = \frac{315 \times 10^4 K_V}{F_y \left( \frac{h}{t_w} \right)^2}; C_V > 0.8 \quad (\text{کمانش غیر ارجاعی و } K_V \text{ بند ۱۰ - ۱ - ۲ - ۴, آیین نامه ایران})$$

برای تعیین  $C_V$  از رابطه اول استفاده می‌کنیم اگر مقدار  $C_V$  بزرگ‌تر از ۰.۸ نشد از رابطه دوم استفاده می‌کنیم.

\* تعیین:  $K_V$

$$\begin{cases} K_V = 4 + \frac{5.34}{\left(\frac{a}{h}\right)^2} & \text{اگر } \frac{a}{h} < 1 \text{ باشد:} \\ K_V = 5.34 + \frac{4}{\left(\frac{a}{h}\right)^2} & \text{اگر } \frac{a}{h} > 1 \text{ باشد:} \end{cases}$$

(بند ۱۰ - ۱ - ۴ - آینین نامه ایران)

$$f_V = \frac{V_{\max}}{h \cdot t_w} \leq F_V$$

نکته: اگر رابطه  $f_V \leq F_V$  برقرار نبود، در این صورت می‌توان یا ضخامت جان را افزایش دهیم (که اقتصادی نیست) و یا  $a$  (فواصل سخت کننده‌ها) را کاهش دهیم و مجددًا گام ۸ را تکرار کنیم.

#### 13-9) کنترل تنش خمشی جان: (اثر متقابل خمش و برش در یک مقطع)

(رابطه ۱۰ - ۳ - ۸، آینین نامه ایران)

$$F_b = \min \left\{ \begin{array}{l} 0.6F_y \\ \left( 0.825 - 0.375 \frac{f_V}{F_V} \right) F_y \end{array} \right.$$

برای تعیین  $V$ ,  $f_V$ , برش در محل ممان است نه برش ماکزیمم در تکیه گاه.  
ارتفاع جان  $\rightarrow \frac{h_w}{2}$

ممان اینرسی کل مقطع:  $I$

از رابطه بند ۸ محاسبه می‌شود:  $F_V$

نکته: اگر رابطه برقرار نبود، مقدار  $a$  را کاهش می‌دهیم و از مرحله ۸ تکرار می‌کنیم و یا اینکه عرض بال را افزایش می‌دهیم.

#### 10-13) کنترل کمانش قائم جان:

الف) در صورتیکه بال گیر دار نباشد و امکان چرخش وجود داشته باشد:

$$F_{bearing} \leq \left[ 2 + \frac{4}{\left(\frac{a}{h}\right)^2} \right] \frac{703000}{\left(\frac{h}{t_w}\right)^2} \quad (\text{AISC}, 11 - 10 - 1)$$

ب) در صورتیکه بال کاملاً گیر دار باشد در امکان چرخش نداشته باشد:

$$F_{bearing} \leq \left[ 5.5 + \frac{4}{\left(\frac{a}{h}\right)^2} \right] \frac{703000}{\left(\frac{h}{t_w}\right)^2} \quad (\text{AISC}, 10 - 10 - 1)$$

نکته: در صورت عدم اطلاع از وضعیت گیر داری بال در چرخش، درجهت اطمینان حالت (الف) در نظر گرفته شود.

### \* روش محاسبه‌ی تنش فشاری:

(۱) در صورت عدم وجود سخت کننده زیر بار متتمرکز، تنش فشاری زیر بار متتمرکز برابر است با:

$$F_{bearing} = \frac{P}{\min(a, h)t_w} \leq F_{bearing}$$

(۲) تنش فشاری ناشی از بارگستردہ:

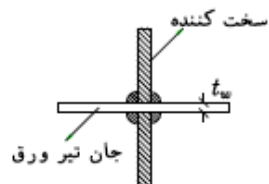
$$F_{bearing} = \frac{q}{t_w} \leq F_{bearing}$$

: شدت بار  $q$

(11-13) محاسبه جوش سخت کننده‌ها:

$$f_{VS} = h \sqrt{\left[ \frac{F_y}{1400} \right]^3} \quad (\text{رابطه } ۱۰-۳-۷، \text{آینه ایران})$$

$$\tau_w \frac{f_{VS}}{n}$$



$\tau_w$  ← تنش برشی وارد بر هر خط جوش

$n$  ← تعداد خط جوش

با فرض مناسبی برای  $a$  و  $R_w$  محاسبه می‌شود و از رابطه زیر در صد جوش منقطع منقطع می‌آید.

$$= \frac{\tau_w}{R_w} \times 100 : \text{درصد جوش منقطع}$$

نکته ۱: خاطبه  $0.75t_w$  در تعیین بعد جوش بسیار مؤثر است.

نکته ۲: صفحات سخت کننده میانی باید به گونه‌ای به جان تیر ورق متصل شوند که بتوانند برشی برابر یا بیشتر از  $f_{VS}$  را تحمل کنند.

نکته ۳: اگر جوش منقطع استفاده می‌شود، فاصله خالص بین جوش‌ها نباید از  $16t_w$  و یا  $cm$  ۲۵ بیشتر شود.

رابطه فوق براساس این نکته نوشته شده است. (بند ۱۰-۱-۳-۴، آینه ایران)

نکته ۴: می‌توان از  $f_{VS}$  کاهش یافته در محاسبات استفاده کنیم. (الزامی نیست)

$$f_{VS} = f_{VS} \times \left( \frac{f_V}{F_V} \right) \quad (\text{قدیمی}) \quad (\text{اصلاح شده})$$

نکته ۵: در نقاطی که تنش برشی ماقزیم نیست از این رابطه استفاده می‌کنیم تا طول جوش منقطع را کاهش دهیم.

(12-13) کنترل‌های چشم‌نهایی:

$$\frac{\min(a, h)}{t_w} \leq \frac{2920}{\sqrt{f_V}} \rightarrow a = ?$$

$$f_V = \frac{R}{h \cdot t_w} \quad a \text{ در چشممه‌های انتهایی از سایر چشممه‌ها کمتر است.}$$

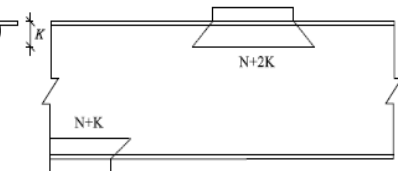
$R$  در تکیه‌گاه‌های کناری عکس العمل تکیه‌گاه که با مقدار برش تکیه‌گاه برابر است.

تذکر: در تکیه‌گاه‌های میانی به جای عکس العمل تکیه‌گاه باید برش ماقزیم را در رابطه  $f_V$  قرار دهیم.

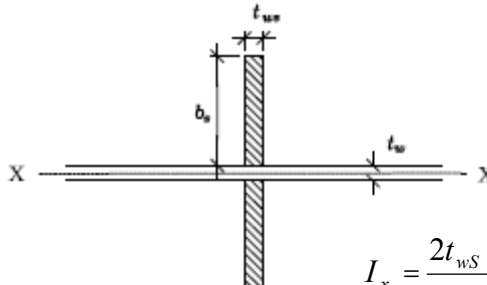
(13-13) ورق های زیر سری در محل بار متمرکز و تکیه گاه ها:

$$\frac{R}{(N+2K)t_w} \leq 0.75F_y; \quad \text{در محل بار متمرکز (AISC ۸-۱۰-۱)}$$

$$\frac{R}{(N+K)t_w} \leq 0.75F_y; \quad \text{در تکیه گاه کناری (AISC ۹-۱۰-۱)}$$



(14-13) محاسبهی ورق های سخت کننده میانی:



$$I_x = \frac{2t_{ws} \times b_s^3}{3}$$

بعنوان مثال وقتی دو سخت کننده داریم:

$$I_x \leftarrow \text{مممان اینرسی ورق های سخت کننده نسبت به محور جان است که باستی در رابطه زیر صدق کند:}$$

$$I_x \geq \left( \frac{h}{50} \right)^4 \quad (\text{رابطه ۱۰ - ۳ - ۵، آینه نامه ایران})$$

سطح کل دو ورق هاشور خورده  $A_{St}$  از رابطه زیر بدست می آید:

$$A_{St} = \frac{1 - C_V}{2} \left[ \frac{a}{h} - \frac{\left( \frac{a}{h} \right)^2}{\sqrt{1 + \left( \frac{a}{h} \right)^2}} \right] \cdot y \cdot D \cdot (h \cdot t_w) \rightarrow A \geq A_{St} \longrightarrow y = \frac{F_{yw}}{F_{yst}}$$

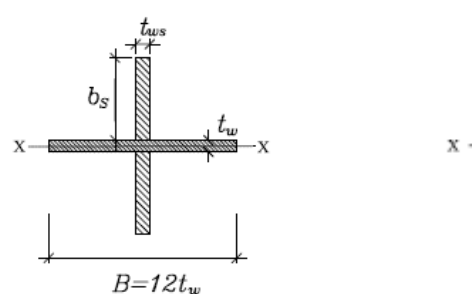
$$D = \begin{cases} 1 \rightarrow & \text{سخت کننده دو طرف} \\ 1.8 \rightarrow & \text{نیشی در یک طرف} \\ 2.4 \rightarrow & \text{سخت کننده در یک طرف} \end{cases} \quad \begin{array}{l} (\text{رابطه ۱۰ - ۳ - ۶، آینه نامه ایران}) \\ (\text{بند ۱۰ - ۱ - ۳ - ۴، آینه نامه ایران}) \end{array}$$

نکته ۱: عملکرد یک سخت کننده به اندازه نصف عملکرد دو سخت کننده نیست.

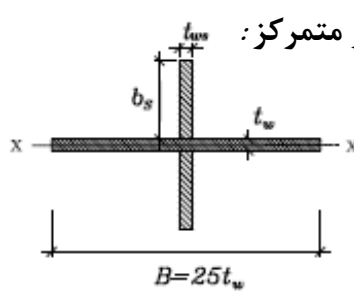
نکته ۲: چون  $a$  در چشممه آخر کمتر از  $a$  در چشممه های میانی است (گام ۱۲)، بنابراین  $A_{St}$  (مساحت سخت کننده های کناری) با مقدار  $a$  بدست آمده از (گام ۱۲) محاسبه می شود.

با  $A_{St}$ ، ابعاد سخت کننده  $(b_s, t_{ws})$  را تعیین می کنیم و رابطه کمانش را نیز کنترل می کنیم.

$$\frac{b_s}{t_{ws}} \leq \frac{795}{\sqrt{F_y}} \quad (\text{جدول ۱ - آینه نامه ایران})$$



ورق اتکای کناری



ورق اتکای میانی

(15-13) محاسبه ورق های اتکایی زیر بار متمرکز:

طراحی ورق های انتکایی در سطح هاشور خورده، همانند طراحی ستون انجام می شود:

$$A_g = 2b_s \cdot t_s + B \cdot t_w \quad \leftarrow \text{سطح هاشور خورده} - A_g$$

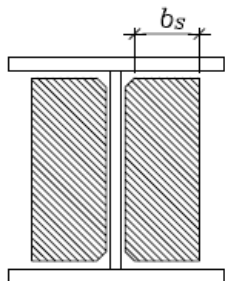
$$I_x = \frac{1}{12} t_s (b_s + t_w)^3 + \frac{1}{12} (B - t_s) t_w^3$$

$$r_x = \sqrt{\frac{I_x}{A_g}}, \lambda = \frac{KL}{r} \quad )_x \xrightarrow{K=0.75, L=h} F_a = ?$$

$$f_a = \frac{P}{A_g} \leq F_a \quad \leftarrow \text{عكس العمل تکیه گاه یا بار متتمرکز (برش نیست)} - P$$

نکته ۱: در صورتیکه رابطه روپرو برقرار نبود یا ابعاد سخت کننده را زیاد می کنیم و یا در صورت لزوم از سخت کننده های ۴ تایی استفاده می کنیم.

نکته ۲: سخت کننده ها از اعضای فشاری فرعی هستند زیرا خرابی آنها موجب خرابی سازه نمی شود و دائمًا تحت تنشی قرار ندارند. ( $F_a$  درجه ۴ است)



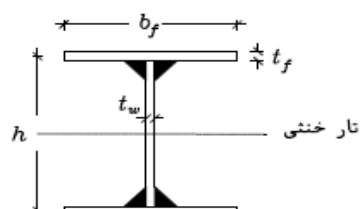
\* ضابطه جاری شده تحت فشار:

$$\frac{P}{0.9F_y} \geq \text{مقدار سطحی که در تماس مستقیم با} \\ (b_s \times t_s) \text{ بال تیر قرار می گیرد}$$

$$\frac{b_s}{t_s} \leq \frac{795}{\sqrt{F_y}}$$

(جدول ۱ - آینه نامه ایران)

(16-13) طراحی جوش بال به جان:



نکته ۱: تنشی های برش در دو سطح عمود بر هم با یکدیگر برابر است.

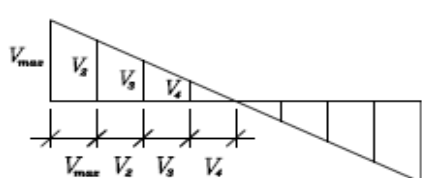
$$\begin{cases} \tau = \frac{V \cdot Q}{I \cdot t} \\ Q = Q_f = (b_f \cdot t_f) \left( \frac{h}{2} + \frac{t_f}{2} \right) \\ V_{\max} \rightarrow \text{واکنش تکیه گاه} \end{cases}$$

$$t = t_w \quad \longrightarrow \quad I = I \text{ مقطع}$$

$$\tau_w = \frac{\tau}{2}$$

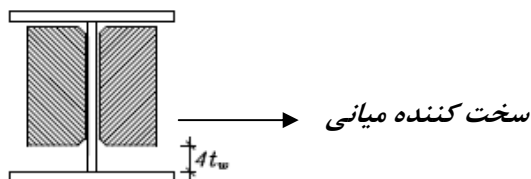
$$R_w = 650a \quad \longrightarrow \quad a = \begin{cases} \min & (\text{جدول}) \\ \max = 0.75t_w & \end{cases} \quad \longrightarrow \quad \text{درصد جوش منقطع} = \frac{\tau_w}{R_w} \times 100$$

نکته ۲: این طرح جوش مربوط به تکیه گاه است و در سایر فواصل می توانیم این مقدار را کاهش دهیم چون برش کاهش می یابد.

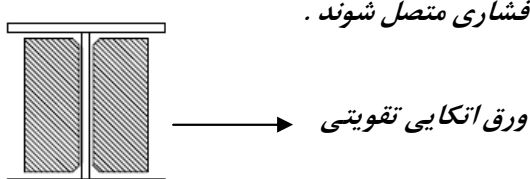


## (17-13) چند نکته در رابطه با تیر ورق ها:

۱) سخت کننده های میانی را می توان به فاصله‌ی تا ۴ برابر ضخامت جان تیر بال کششی مقطع قرار داد.



سخت کننده میانی



ورق های اتکایی تقویتی

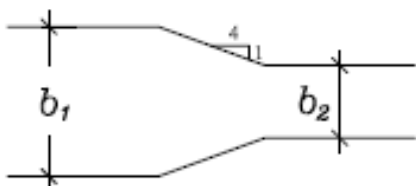
۳) روند تغییر ضخامت ورق بال تیر ورق:

$$\text{تغییر ضخامت ورق بال} \begin{cases} 1.5\text{mm} & \text{if } t \leq 14\text{mm} \\ 3.0\text{mm} & \text{if } t \leq 38\text{mm} \\ 6.0\text{mm} & \text{if } t > 38\text{mm} \end{cases}$$

مجاز نیستیم به یکباره ضخامت را کاهش دهیم و جوش دو ورق بال ضخامت های متفاوت به صورت نفوذی است.

۴) توصیه شده که اگر تیر ورق تحت تنش های خستگی است، بجای تقلیل ضخامت از تقلیل عرض بال استفاده شود. این نکته در مورد ورق های ساختمانی چندان حائز اهمیت نیست.

۵) اگر از تقلیل عرض بال استفاده می شود، بایستی شبیه این تقلیل ۱:۱۲ تا ۱:۱۲ باشد (به صورت پله ای نباشد).



مثال کاهش ۱۰ cm عرض بال در طول 40 cm انجام شود.

## ۱۴

## بادبندها

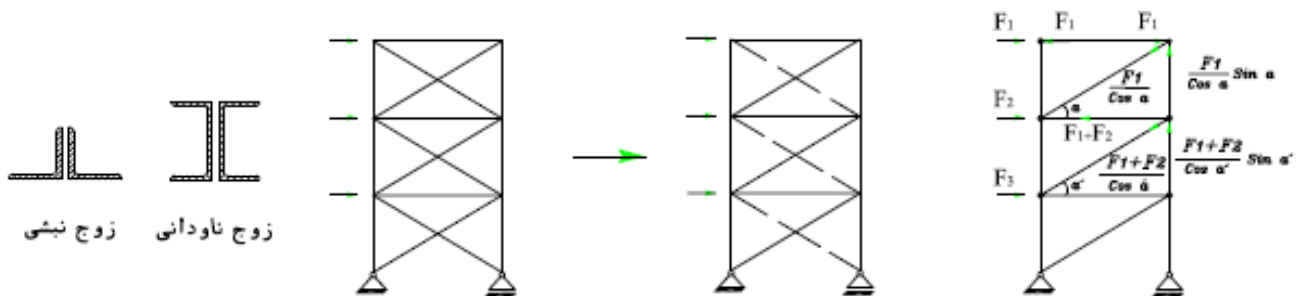
به طور کلی، مهاربندها (باربندها) به دو دسته تقسیم می‌شوند:

- ۱) بادبند هم مرکز یا همگرا (*CBF*): مثل بادبند به صورت ضربدری، یک قطری، خمثی و  $k$  شکل.
- ۲) بادبند برون یا واگرا (*EBF*).

(1-14) بادبندهای هم محور یا همگرا:

(2-14) تحلیل و طراحی مهاربندهای ضربدری:

**(الف)** در این روش فرض برآین است که عنصر فشاری کمانه می‌کند، پس عضو فشاری را حذف کرده و سازه معین حاصل شده را تحلیل می‌کنیم و طراحی را برای اعضا کششی انجام می‌دهیم و سپس از همین مقاطع برای عضو فشاری نیز استفاده می‌شود، عضو را طوری طراحی می‌کنیم که شعاع ژیراسیون کم شود، زیرا در کشش فقط نیاز داریم و لاغری اهمیت ندارد.



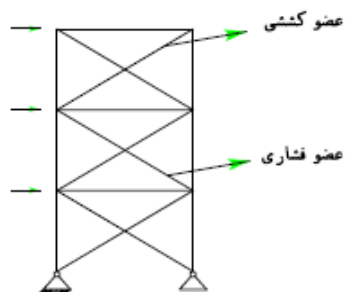
نیروی داخلی اعضا کششی،  $\frac{F_1 + F_2}{\cos \alpha'}$ ,  $\frac{F_1}{\cos \alpha}$ ... بدست می‌آید.

نکته: در ویرایش اول آین نامه 2800، این روش قابل قبولی بود، در ویرایش دوم غیرقابل قبول است.

**(ب)** منظور نمودن عضو فشاری و کششی در تحلیل و طراحی:

- ۱) تحلیل دقیق
- ۲) تحلیل تقریبی

**(۱) تحلیل دقیق:** سازه نامعین را یا به صورت دستی و یا کامپیوتراً دقیقاً تحلیل کرده و عضو کششی و فشاری را کاملاً مجزا طراحی می‌کنیم.

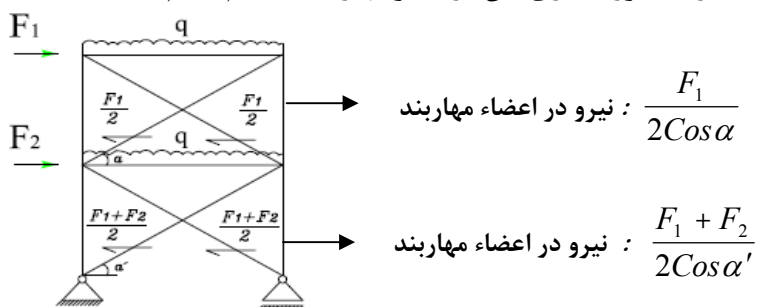


نکته: ترکیب بارهای طراحی به صورت است:

$$\left. \begin{array}{l} \text{تشانه رفت و برگشتی بودن نیروی زلزله است.} \\ \text{ترکیب بارهای طراحی} \\ 0.75(D + L \pm E) \end{array} \right\}$$

نکته: اگر بار جانبی نیروی زلزله باشد، هر عضو مهاربند باید برای حالت بحرانی کشش یا فشار طرح شود.

۴) تحلیل تقریبی : فرض می کنیم برش در هر طبقه را به طور مساوی بین دو عضو مهاربند تقسیم کنیم .



$$\frac{F_1}{2 \cos \alpha}$$

$$\frac{F_1 + F_2}{2 \cos \alpha'}$$

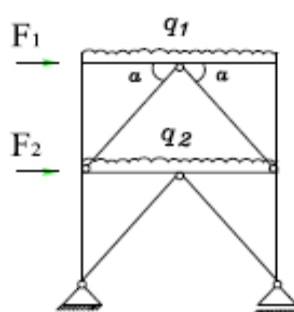
نکته : اگر جهت نیروی زلزله عوض شود ، عضو کشش فشاری می شود و بالعکس . برای حالت بحرانی طرح صورت می گیرد و برای دیگری کنترل می کنیم . ( در حالت فشاری وضعیت بحرانی تراست و لاغری تعیین کننده است )

نکته : بار ثقلی بروی اعضای مهاربند ضربدری آثری ندارد .

نکته : فرض مفصلی بودن اعضاء مهاربندی به شرط آن است که محور مرکز ثقل تمام اعضای وارد بر گره از یک نقطه عبور می کند .

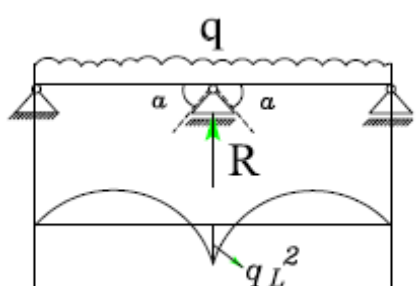
#### 14-3) بادبندی های هشتی و هفتی :

در جایی که به دلیل محدودیت های معماری امکان استفاده از بادبندی ضربدری وجود ندارد ، از بادبند های هشتی استفاده می شود که بار ثقلی نیز یک نیروی فشاری در اعضای مهاربند ایجاد می کند . پس سازه باقیتی ناشی از بارهای ثقلی و جانبی جداگانه تحلیل شود .



#### الف) تحلیل تحت بار q : (بار ثقلی)

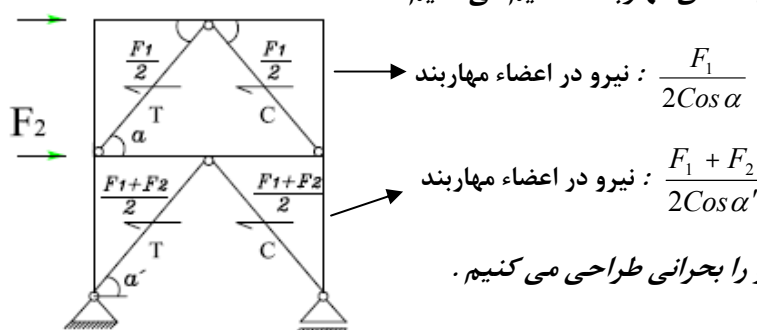
عكس العمل تکیه گاه میانی فرض شده در اعضاء مهاربند فشار ایجاد می کند .



$$R = \frac{q L^2}{2 \sin \alpha}$$

#### ب) تحلیل برای نیروی های جانبی :

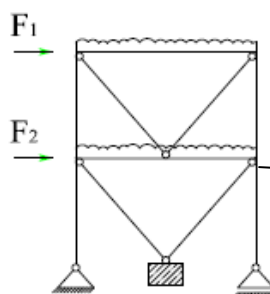
روش تقریبی برش طبقه را به طور مساوی بین اعضای مهاربند تقسیم می کنیم .



$$\frac{F_1}{2 \cos \alpha}$$

$$\frac{F_1 + F_2}{2 \cos \alpha'}$$

حال با استفاده از ترکیب بارهای موجود ، عضو را بحرانی طراحی می کنیم .



نکته : باد بندی های غیر ضربدری برونو برای ۱۵ برابر نیروی ناشی از زلزله تحلیل می شوند.

در این حالت ، ناشی از بار ثقلی ، مهاربند طبقه دوم تحت کشش قرار می گیرند.

نکته : در سیستم های مهاربندی هفتی و هشتی برونو محور و درون محور ، مهاربندهایی که در آن اعضاء مهار علاوه بر بار زلزله تحت اثر بار ثقلی نیز دارای نیرو هستند لازمست :

**الف) طراحی اعضاء مهاربند برای ترکیب بار بحرانی از ترکیب بار مختلف انجام شود .**

**ب) تیر های مهاربندی علاوه بر بار ثقلی تحت بار زلزله نیز دارای لنگر بوده و طراحی تیر کف برای ترکیب بار بحرانی از ترکیبات بار مختلف انجام می شود . در این حالت توجه به این نکته ضروری است که چنانچه لنگر های تیر در حالت عدم اجرای مهاربند بحرانی تر باشد لنگر طراحی تیر برای این اساس تعیین و مبنای طراحی قرار می گیرد :**

$$\left\{ \begin{array}{l} 1) D + L \\ 2) 0.75(D + L + E) \\ 3) 0.75(D + L - E) \end{array} \right. : \text{ ترکیبات بار}$$

#### 14-4) ضوابط کلی طراحی بادبند های همگرا :

۱) طبق بند ۸ - ۲ - الف از پیوست ۲ استاندارد ۲۸۰۰ ، لاغری اعضا که به صورت فشاری طراحی می شوند نباید از  $\frac{6025}{\sqrt{F_y}}$  تجاوز کند . مگر در ساختمان های ۲,۱ طبقه و سازه های غیر ساختمانی . اگر لاغری جوابگو نباشد ،

طبق روال فلورچات تنש فشاری مجاز اولیه ،  $F_a$  ، باید عوض شده و مقدار کوچکتری در نظر گرفته شود .

۲) شیوه اجرایی بادبند های غیر ضربدری ، به صورت که معمولاً ، اعضاء مهاری در وسط به هم متصل می شوند ، جهت لحاظ نموده این نکته ، مقادیر  $K_x$  ،  $K_y$  ، به ترتیب برابر  $\frac{2}{3}$  و  $\frac{1}{2}$  پیشنهاد می شوند .

۳) بادبند های غیر ضربدری هم محور برونو محور برای ۱.۵ برابر نیروی ناشی از زلزله طرح می شوند .

۴) طبق بند ۸ - ۲ - ب از پیوست ۳ استاندارد ۲۸۰۰ ، تنش مجاز فشاری جهت محاسبات اعضاء مهاربندی مطابق رابطه زیر کاهش داده شود :

$$F_{as} = \beta \cdot F_a \quad \beta : \text{ ضریب کاهش تنش طبق رابطه روبرو :}$$

$$\beta = \frac{1}{\left[ 1 + \frac{KL/r}{2C_c} \right]}$$

$$C_c = \sqrt{\frac{2\pi^2 \cdot E}{F_y}}$$

۵) محدودیت های زیر ، در بند ۱۰ - ۱ - ۵ - ۴ مبحث ۱۰ ، ارائه است باید اعمال گردد :

پروفیل ها با گذراندن قطعات لقمه (فیلر) در بین آنها به یکدیگر متصل گردند ، فواصل لقمه ها باید طوری باشد که لاغری هر نیم رخ (لاغری حد اکثر) ، در قسمتی که بین دو لقمه قرار دارد ، برابر ۰.۷ لاغری کل بادبند باشد .

(بند ۸ - ۲ - ت از پیوست ۲ استاندارد ۲۸۰۰ / ایران)

۶) برطبق آیین نامه در صورتی که مهاربندهای ساختمانی یک طبقه یا دو طبقه بتواند حداقل  $0.4R$  برابر نیروی زلزله را تحمل کند ، می توان از ضوابط بند ۵ صرفنظر کرد .

۷) انواع مهاربند های هم محور که در ساختمان های یک یا دو طبقه بکار می روند ، می توانند معیار های لاغری را برآورده نمایند ، به شرطی که مقاومت آنها حداقل مساوی  $R_{\text{min}} = 0.8$  برابر نیروی زلزله آیین نامه ای باشد .

۸) اتصال مهاربندها باید حداقل ۳ مقدار زیر باشد :

الف) مقاومت کششی مهاربند .

ب)  $2.1 R_{\text{min}}$  برابر نیروی مهاربند حاصل از زلزله و بار های قائم .

ج) حد اکثر نیروی که توسط سیستم به مهاربند اعمال می گردد .

#### (5-14) نحوه محاسبه فواصل لقمه های بادبند :

$$\begin{aligned} \frac{r_x}{r_y} &\rightarrow \begin{cases} K_x \\ K_t \end{cases} \rightarrow \begin{cases} \lambda_x \\ \lambda_y \end{cases} \Rightarrow \lambda_{\max} \leq \frac{6025}{\sqrt{F_y}} \\ \lambda_{\max} = \frac{K_y L}{r_y} = \frac{\frac{2}{3}L}{r_y} &\longrightarrow \lambda' = \frac{1 \times L}{r'_y} \longrightarrow \lambda' \leq 0.7 \lambda_{\max} \Rightarrow \frac{L'}{r'_y} \leq 0.7 \frac{\frac{2}{3}L}{r_y} \\ \lambda' = \frac{7}{15} L \frac{r'_y}{r_y} &\quad \leftarrow L \quad \leftarrow \text{طول بادبند} \\ \lambda' &\quad \leftarrow L' \quad \leftarrow \text{فواصل قید} \\ r_y &\quad \leftarrow r_y \quad \leftarrow \text{شعاع ژیراسیون مقطع} \\ r_{\min} &= r'_y \quad \leftarrow r_{\min} \quad \leftarrow \text{شعاع ژیراسیون حداقل مقطع} \end{aligned}$$

#### (6-14) بادبند های برون محور یا واگرا :

در بادبند های واگرا با پارامتر  $e$  نمایش داده می شوند ، طول پیوند هستند به طوری رفتار تیرها حالت غیر ارجایی پیدا می کند و با توجه به خمیری شدن این ناحیه تیرها ، قابلیت جذب انرژی این بادبندها زیاد بوده و از این رو برای میرایی نیروی حاصل از زلزله مناسب هستند . در این حالت با توجه به شرایط زیر ، عملکرد تیر پیوند می تواند یا خمسی باشد :

$$\text{if } e < 1.6 \frac{M_s}{V_s} \rightarrow \text{تسلييم برشی اتفاق می افتد}$$

استفاده از تیرهای پیوند کوتاه ( $e < 1.6 \frac{M_s}{V_s}$ ) که در برش تسلييم می شوند ، بعلت ایجاد حد اکثر مقاومت و سختی و ظرفیت جذب انرژی ترجیح داده می شوند .

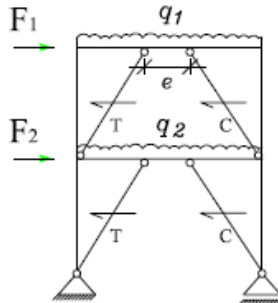
$$\begin{cases} \text{if } 1.6 \frac{M_s}{V_s} < e < 3 \frac{M_s}{V_s} \rightarrow \text{تسلييم خمسی و برشی اتفاق می افتد} \\ \text{if } e > 3 \frac{M_s}{V_s} \rightarrow \text{تسلييم خمسی اتفاق می افتد} \end{cases}$$

چنانچه طول تیر پیوند از  $1.6 \frac{M_s}{V_s}$  بیشتر از قابلهای EBF که تیر پیوند به ستون متصل است ، استفاده شود .

$$\begin{cases} V_s = 0.55 F_y (d \cdot t_w) & \text{برش خمیری} \\ M_s = Z \cdot F_y & \text{لنگر خمیری} \end{cases} \quad (\text{رابطه } ۱۰ - ۳ - ۶, \text{ ایران})$$

$$\text{Min} \begin{cases} V_s \\ M_s \end{cases} : \text{ مقاومت حاکم}$$

در این حالت طرح به روش خمیری است ، اعضای مهاربند بر اساس نیروی برش که ناحیه پیوند تحمل می کند طرح می شوند و اگر بار تقلی داشته باشیم ، صرفنظر می کنیم ، زیرا چندان اهمیتی در طراحی ما ندارد در صورت وجود نیروی محوری ظرفیت خمی مقطع کاهش پیدا می یابد و برابر :



$$\begin{cases} M_{rs} = Z(F_y - F_a) \\ F_a \geq 0.15F_y \end{cases}$$

می گردد .

نکته : در این حالت  $V_s$  که از طراحی تیر پیوند حاصل می شود نباید در ضریب 1.5 برای طراحی بادبند ضرب شود .

#### (7-14) ضوابط خاص ناحیه پیوند :

- ۱) در هیچ حالتی نباید در طول پیوند ، جان تیر دارای سوراخ باشد .
- ۲) استفاده از ورق تقویت جان به علت عدم مشارکت این ورق در رفتار ارجاعی مناسب نیست .
- ۳) برای جلوگیری از دوران آبین نامه UBS محدودیت های زیر را ارائه داده است :

$$\begin{cases} e \leq 1.6 \frac{M_s}{V_s} \Rightarrow 0.09(\text{rad}) \\ e \geq 3 \frac{M_s}{V_s} \Rightarrow 0.03(\text{rad}) \end{cases}$$

۴) برای جلوگیری از کمانش برش جان از سخت کننده های قائم استفاده شود . برای تیر های با ارتفاع کمتر از ۶۰ cm می توان سخت کننده ها را در یک طرف جان قرار داد . محاسبه آنها به صورت زیر است :

**الف) سخت کننده در دو نقطه پیوند :**

ارتفاع آنها برابر ارتفاع جان تیر است و حتماً باید در دو طرف اجرا شوند :

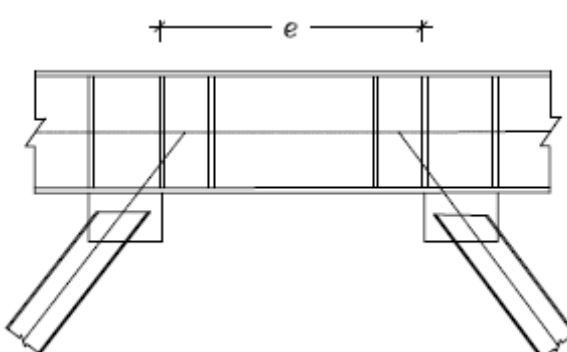
$$t_s \geq \max(0.75t_w, 10\text{mm}) \quad (\text{ضخامت})$$

$$b_s \geq \frac{b_f}{2} - t_w \quad (\text{عرض})$$

**ب) سخت کننده های میانی :**

حداقل ضخامت این سخت کننده ها 10 mm و عرض آنها مشابه به سخت کننده هایی انتهایی است .

$$\begin{cases} t_s \geq 10\text{mm} \\ b_s \geq \frac{b_f}{2} - t_w \end{cases}$$



فاصله سخت کننده ها به صورت زیر تعیین می شود :

$$1) \Delta_m = 0.4R \times \Delta \quad \text{تغییر مکان تشدید یافته}$$

$$2) \Delta_L = \frac{P.L}{A.E} \quad \text{مهاربند ها}$$

$$3) \Delta = \Delta_L \cdot \cos\theta \quad \text{طبقه}$$

$$4) \theta = \frac{\Delta_m}{h} \quad \longrightarrow \quad \gamma = \frac{L}{e} \times \theta$$

$$\text{if } \gamma < 0.03 \rightarrow a \leq 56t_w - \frac{h}{5} \quad \leftarrow a \quad \text{فواصل سخت کننده های میانی}$$

$$\text{if } 0.03 < \gamma < 0.6 \rightarrow \leftarrow h \quad \text{ارتفاع طبقه}$$

$$\text{if } \gamma > 0.09 \rightarrow a \leq 38t_w - \frac{d}{5} \quad \leftarrow \theta \quad \text{(drift) دوران طبقه}$$

$$\leftarrow \Delta_m \quad \text{تغییر مکان نسبی هر طبقه}$$

$$\leftarrow \text{دوران طول پیوند}$$

$$\leftarrow L \quad \text{طول دهانه تیر}$$

$$\leftarrow e \quad \text{طول پیوند}$$

$$\leftarrow d \quad \text{ارتفاع پیوند}$$

نکته : اتصال سخت کننده به جان و بال با جوش گوشه انجام می شود و ظرفیت جوش از رابطه زیر بدست می آید :

$$F_w = \begin{cases} A_{st} \times F_y \rightarrow & \text{جوش جان} \\ \frac{1}{4} A_{st} \times F_y \rightarrow & \text{جوش بال} \end{cases}$$

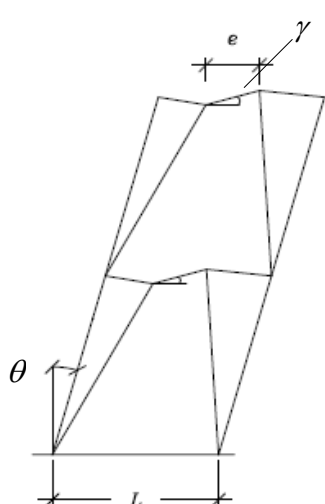
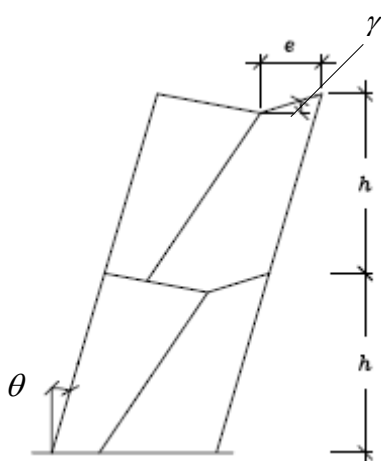
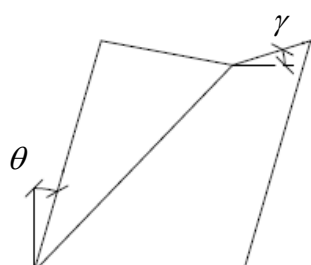
$A_{st}$  : سطح مقطع سخت کننده

$F_w$  : ظرفیت جوش

توصیه :

۱) زاویه مهار با افق بین ۳۵ تا ۶۰ انتخاب گردد.

۲) طول اولیه پیوند  $L$ ، ۱۵، ۲۰، ۳۵ انتخاب گردد.



(8-14) برگه طراحی بادبندها :

برگه طراحی اعضای مهاربندی (ضربدری)						
طبقه:	شماره بادبند در تحلیل:			بادبند:		
نیروی طراحی	مشخصات مقطع :					
$P(t)$	$L(cm)$	$A(cm^2)$	$r_x(cm)$	$r_y(cm)$	$F_y$	
تنش های مجاز						
$K_x$	$K_y$	$\lambda_x = \left( KL / r \right)_x$	$\lambda_y = \left( KL / r \right)_y$	$\lambda_{\max}$	$\lambda_{\max} \leq \frac{6025}{\sqrt{F_y}} = 123$	$F_a$ ( $kg/cm^2$ )
					O.K.	
$f_a$ ( $kg/cm^2$ )	$B = \frac{1}{\left[ 1 + \lambda_{\max} / 2C_c \right]}$	$F_a)_s$ ( $kg/cm^2$ )	$F_a)_s$ (ETABS)	$Ratio$	$Ratio$	(ETABS)
تعیین فاصله بین لقمه ها	$\frac{l_1}{r_{\min}}$	$r_{\min}$	$l_1(cm)$			
$l_1$						

**بوگه طراحی اتصال مهاربند(ضوبدری)****طراحی اتصال مهاربند به قیر و ستون**

نیروی طراحی	$P_d \text{ (ton)}$			قطعه بادبند	قطعه تیر
$P_d = \min \{P_1, P_2\}$	$P_2 = (0.4R)P_{EQ}$			$P_1 = A_{Brace} \cdot F_y$	
$D \text{ (mm)}$	$D_{\max} \text{ (mm)}$			$D_{\min} \text{ (mm)}$	
$L \text{ (cm)}$					
$M_y \text{ (ton.m)}$	$M_x \text{ (ton.m)}$	$P_d)_x \text{ (ton)}$	$P_d)_y \text{ (ton)}$	$\theta \text{ (deg)}$	طول تیر (cm)
$D_{\max} \text{ (mm)}$	$D_{\min} \text{ (mm)}$			طول ستون	طول تیر (cm)
$L_C \text{ (cm)}$	طول صفحه اتصال به ستون	طول صفحه اتصال به تیر	$L_B \text{ (cm)}$		

**کنترل تنش در اتصالات**

تنش	$f_v \text{ (kg/cm)}$	$f_b \text{ (kg/cm)}$	$f_r = \sqrt{f_v^2 + f_b^2}$	$R_w = 1.7 \cdot 668D$	$f_r \leq R_w$
صفحه اتصال به تیر					O.K.
صفحه اتصال به ستون					O.K.

**کنترل ابعاد صفحه اتصال**

(2) کنترل کمانش ورق اتصال					(1) کنترل تنش کششی در عرض موثر و یتمور		
$l \text{ (cm)}$	$kl/r$	$F_a \text{ (kg/cm}^2)$	$P_{sc} = 1.7F_a \cdot w \cdot t_p$	$P_d \leq P_{sc}$	$w \text{ (cm)}$	$P_{st} = F_y \cdot w \cdot t_p$	$P_d \leq P_{st}$
				O.K.			O.K.
(4) کنترل کمانش لبه آزاد ورق اتصال					(3) کنترل برش قالبی در کشش		
$\frac{L}{t_p} \leq 0.75 \sqrt{\frac{E}{F_y}}$	$L \text{ (cm)}$	Check		$P_1 = A_v F_v + A_t F_t$	$P_d \leq P_1$		
		O.K.				O.K.	

**(5) کنترل ترکیب تنش ها**

تنش	$\tau_{xy} \text{ (kg/cm}^2)$	$\sigma_x \text{ (kg/cm}^2)$	$\sigma_y \text{ (kg/cm}^2)$	$\sigma_h \text{ (kg/cm}^2)$	$\sigma_h \leq F_y$	USE
صفحه اتصال به تیر					O.K.	
صفحه اتصال به ستون					O.K.	

**طراحی ورق اتصال میانی اعضا مهاری بادبند**

$P_d \text{ (ton)}$	$D \text{ (mm)}$	طول جوش هر طرف تک پروفیل	طول ورق	عرض ورق	USE

## برگه طراحی اعضای مهاربندی (شورون ۷)

طبقه:	شماره بادبند در تحلیل:		بادبند:		
نیروی طراحی (ETABS)	مشخصات مقطع :				
$P(t)$	$L(cm)$	$A(cm^2)$	$r_x(cm)$	$r_y(cm)$	$F_y$
نقش های مجاز					
$K_x$	$K_y$	$\lambda_x = \left( \frac{KL}{r} \right)_x$	$\lambda_y = \left( \frac{KL}{r} \right)_y$	$\lambda_{\max}$	$\lambda_{\max} \leq \frac{6025}{\sqrt{F_y}} = 123$
					O.K.
$f_a$ (kg/cm <sup>2</sup> )	$B = \frac{1}{1 + \lambda_{\max} / 2C_c}$	$F_a)_s$ (kg/cm <sup>2</sup> )	$F_a)_s$ (ETABS)	$Ratio$	$Ratio$ (ETABS)
کنترل مقطع با ترکیب بار آینه نامه 2800					
$P_{EQ}(t)$	نیروی طراحی	$F_a)_s$ (kg/cm <sup>2</sup> )	$f_a$ (kg/cm <sup>2</sup> )	$Ratio$	
	$P = 1.5P_{EQ} = 102.02(ton)$				
تعیین فاصله بین لقمه ها	$\frac{l_1}{r_{\min}} \leq 0.7 \lambda_{\max}$	$r_{\min}$	$l_1(cm)$		
$l_1$					

**برگه طراحی اتصال مهاربند(شورون)****طراحی اتصال مهاربند به تیر و ستون**

مقطع بادبند	نیروی طراحی			
مقطع تیر	$P_d \text{ (ton)}$	$P_1 = A_{Brace} \cdot F_y$	$P_2 = (0.4R)P_{EQ}$	$P_d = \min \{P_1, P_2\}$
مقطع ستون				
تعیین طول جوش جهت اتصال عضو مهاری به ورق اتصال	$D_{\min} \text{ (mm)}$	$D_{\max} \text{ (mm)}$	$D \text{ (mm)}$	$L \text{ (cm)}$
(cm) طول تیر (cm) طول ستون (cm) $\theta \text{ (deg)}$ $P_d)_x \text{ (ton)}$ $P_d)_y \text{ (ton)}$ $M_x \text{ (ton.m)}$ $M_y \text{ (ton.m)}$				
$L_B \text{ (cm)}$ طول صفحه اتصال به تیر	$L_C \text{ (cm)}$ طول صفحه اتصال به ستون	$D_{\min} \text{ (mm)}$	$D_{\max} \text{ (mm)}$	$D \text{ (mm)}$

**کنترل تنش در اتصالات**

تنش	$f_v \text{ (kg/cm)}$	$f_b \text{ (kg/cm)}$	$f_r = \sqrt{f_v^2 + f_b^2}$	$R_w = 1.7 \cdot 668D$	$f_r \leq R_w$
صفهه اتصال به تیر					O.K.
صفهه اتصال به ستون					O.K.

**کنترل ابعاد صفحه اتصال**

2 کنترل کمانش ورق اتصال				1) کنترل تنش کششی در عرض موثر ویتمور	
$l \text{ (cm)}$	$k l / r$	$F_a \text{ (kg/cm}^2)$	$P_{sc} = 1.7F_a \cdot w \cdot t_p$	$P_d \leq P_{sc}$	$w \text{ (cm)}$
O.K.				O.K.	
4) کنترل کمانش لبه آزاد ورق اتصال				3) کنترل برش قالبی در کشش	
$\frac{L}{t_p} \leq 0.75 \sqrt{\frac{E}{F_y}}$	$L \text{ (cm)}$	Check		$P_1 = A_v F_v + A_t F_t$	$P_d \leq P_1$
		O.K.			O.K.
5) کنترل ترکیب تنش ها					
تنش	$\tau_{xy} \text{ (kg/cm}^2)$	$\sigma_x \text{ (kg/cm}^2)$	$\sigma_y \text{ (kg/cm}^2)$	$\sigma_h \text{ (kg/cm}^2)$	$\sigma_h \leq F_y$
صفهه اتصال به تیر					O.K.
صفهه اتصال به ستون					O.K.
				USE	

## ادامه برگه طراحی اتصال مهاربند(شورون)

## طراحی اتصال مهاربند به تیر

		نیروی طراحی		
مقطع بادبند		$P_d (ton)$	$P_1 = A_{Brace} \cdot F_y$	$P_2 = (0.4R)P_{EQ}$
مقطع تیر				$P_d = \min \{P_1, P_2\}$
تعیین طول جوش جهت اتصال عسو مهاری به ورق اتصال		$D_{\min}(mm)$	$D_{\max}(mm)$	$D(mm)$
طول تیر (cm)	(cm)	طول ستون (cm)	$\theta(deg)$	$P_d)_x(ton)$
				$M_x(ton.m)$
$L_B(cm)$		طول صفحه اتصال به تیر		$D_{\min}(mm)$
				$D_{\max}(mm)$
				$D(mm)$
کنترل تنش در اتصالات				
تنش	$f_v$ (kg/cm)	$f_b$ (kg/cm)	$f_r = \sqrt{f_v^2 + f_b^2}$	$R_w = 1.7 \cdot 668D$
صفحه اتصال به تیر				$f_r \leq R_w$
کنترل ابعاد صفحه اتصال				
(2) کنترل تنش کششی در عرض موثر ویتمور				
$l(cm)$	$k_l/r$	$F_a$ (kg/cm <sup>2</sup> )	$P_{sc} = 1.7F_a \cdot w \cdot t_p$	$P_d \leq P_{sc}$
				$w(cm)$
			$O.K.$	$P_{st} = F_y \cdot w \cdot t_p$
(4) کنترل کمانش لبه آزاد ورق اتصال			O.K.	
(3) کنترل برش قالبی در کشش				
$\frac{L}{t_p} \leq 0.75 \sqrt{\frac{E}{F_y}}$	$L(cm)$	Check	$P_1 = A_v F_v + A_t F_t$	$P_d \leq P_1$
		$O.K.$		$O.K.$
(5) کنترل ترکیب تنش ها				
تنش	$\tau_{xy}$ (kg/cm <sup>2</sup> )	$\sigma_x$ (kg/cm <sup>2</sup> )	$\sigma_y$ (kg/cm <sup>2</sup> )	$\sigma_h$ (kg/cm <sup>2</sup> )
صفحه اتصال به تیر				$\sigma_h \leq F_y$
				$O.K.$

۱۵

## قطعات با لنگر لختی متغیر

قطعه ای با لنگر لختی متغیر خواهد بود که :

- ۱) حداقل دارای یک محور تقارن قائم بر صفحه خمش (در صورتی که تحت خمش قرار گیرند) باشد.
- ۲) سطح مقطع بال ها با یکدیگر برابر و در طول قطعه نیز ثابت باشد .
- ۳) عمق قطعه بر طبق رابطه زیر و به صورت خطی تغییر کند :

$$d = d_0 \left( 1 + \gamma \frac{z}{d_L} \right) \quad (1-15)$$

در این رابطه:

$d_0$  : عمق قطعه در انتهای کوچکتر

$d_L$  : عمق تیر در انتهای بزرگتر

$z$  : فاصله از انتهای کوچکتر

$$\gamma = \frac{d_L - d_0}{d_0} \leq 0.268 \frac{L}{d_0}, 6.0 \quad (2-15)$$

$L$  : فاصله بین دو مقطع مهار شده (اندازه بین مراکز ثقل دو مهار قطعه) است.

۱-۱۵) تنش مجاز کششی قطعات با لنگر لختی متغیر بر اساس مندرجات فصل ۲ معین خواهد شد.

۲-۱۵) تنش مجاز فشاری قطعات با لنگر لختی متغیر، هرگاه در امتداد محور قطعه بار شده باشد و با احتساب سطح مقطع نا خالص آن ها به صورت زیر معین می شود:

$$\begin{aligned} C_C &= \pi \sqrt{\frac{2E}{F_y}} \\ F_{ay} &= \frac{\left(1 - \frac{S^2}{2C^2}\right) F_y}{\frac{5}{3} + \frac{3S}{8C_c} - \frac{S^2}{8C_C^3}} \end{aligned} \quad (3-15)$$

ب) هرگاه ضریب لاغری موعده  $S$  ، بزرگتر از  $C_C$  باشد :

$$F_{ay} = \frac{12\pi^2 \cdot E}{23S^2} \quad (4-15)$$

در این روابط  $S = \frac{KL}{r_{0y}}$  است هرگاه ، کمانش حول محور ضعیف مطرح باشد و  $S$  خواهد بود؛ هرگاه کمانش حول محور قوی مطرح باشد.

$K$  ← ضریب کمانشی برلی قطعه منشوری

$K_\gamma$  ← ضریب کمانشی برای قطعه با لنگر متغیر (که باید از تحلیل بدست آید).

$r_{0x}$  ← شعاع ژیراسیون محور قوی مقطع در انتهای کوچکتر قطعه (با لنگر لختی متغیر)

$r_{0x}$  ← شعاع ژیراسیون محور ضعیف مقطع در انتهای کوچکتر قطعه.

۳-۱۵) تنش خمشی در تارهای خارجی یک قطعه با لنگر لختی متغیر نباید از مقادیر زیر بیشتر شود.

$$F_{by} = \frac{2}{3} \left[ 1 - \frac{F_y}{6B\sqrt{F_{sy}^2 + F_{wy}^2}} \right] F_y \leq 0.6F_y \quad (5-15)$$

و اگر  $F_{by}$  شود، تنش مجاز خمشی از رابطه زیر به دشت می آید:

$$F_{by} = B\sqrt{F_{sy}^2 + F_{wy}^2} \quad (6-15)$$

بنابراین روابط زیر را خواهیم داشت:

$$F_{sy} = \frac{8.25 \times 10^5}{h_s \cdot L \cdot d_0} \frac{A_f}{A_f} \quad (7-15)$$

$$F_{wy} = \frac{117.2 \times 10^5}{\left( \frac{h_w \cdot L}{r_{T_0}} \right)^2} \quad (8-15)$$

$$h_s = 1 + 0.023\gamma \sqrt{\frac{L \cdot d_0}{A_f}} \quad \text{در روابط فوق:}$$

$$h_w = 1 + 0.00385\gamma \sqrt{\frac{L}{r_{T_0}}}$$

: شعاع ژیراسیون در انتهای کوچکتر و مربوط به مقطعی مت Shank از بال فشاری و  $\frac{1}{3}$  جان و حول محور جان است.

$B$  : به صورت زیر تعیین می شود:

**الف:** هرگاه در سه بخش از قطعه که با مهار جانبی از هم جدا شده اند و فواصل مهارها (یا طول بخشن) تقریباً با هم برابر باشد؛ لنگر حد اکثر  $M_2$  در بخش میانی قرار گرفته،  $M_1$  لنگر بزرگتر در انتهای یکی از سه بخش (یا در یکی از دو انتهای قطعه) باشد:

$$B = 1 + 0.37 \left( 1 + \frac{M_1}{M_2} \right) + 0.5\gamma \left( \frac{M_1}{M_2} \right) \geq 1.0 \quad (9-15)$$

**ب:** هرگاه تنش خمشی بزرگتر  $f_{b2}$ ؛ در انتهای بزرگتر قطعه مت Shank از دو بخش که با مهار جانبی از هم جدا شده اند و دارای طول نسبتاً برابری هستند قرار داشته و  $f_{b1}$  تنش خمشی در انتهای بزرگتر باشد:

$$B = 1 + 0.58 \left( 1 + \frac{f_{b1}}{f_{b2}} \right) - 0.7\gamma \left( 1 + \frac{f_{b1}}{f_{b2}} \right) \geq 1.0 \quad (10-15)$$

**ج:** هرگاه تنش خمشی بزرگتر  $f_{b2}$ ؛ در انتهای کوچکتر قطعه مت Shank از دو بخش که با مهار جانبی از هم جدا شده اند و دارای طول نسبتاً برابری هستند قرار داشته و  $f_{b1}$  تنش خمشی در انتهای بزرگتر باشد:

$$B = 1 + 0.55 \left( 1 + \frac{f_{b1}}{f_{b2}} \right) + 2.2\gamma \left( 1 + \frac{f_{b1}}{f_{b2}} \right) \geq 1.0 \quad (11-15)$$

در روابط بالا  $\gamma$  و برای بخشی محاسبه خواهند شد که تنش حد اکثر خمشی در آن بخش قرار دارد.

**د:** هرگاه تنش خمشی در انتهای کوچک قطعه برابر صفر باشد:

$$B = \frac{1.75}{1 + 0.25\sqrt{\gamma}} \quad (12-15)$$

$$\text{در این رابطه } \gamma = \frac{d_L - d_0}{d_0} \text{ برای قطعه منتهی به تنش خمشی صفر محاسبه خواهد شد.}$$

(۴-۱۵) در این قطعات تنش مجاز برشی به کمک بند (۶-۶) معین خواهد شد.

(۵-۱۵) قطعات بالنگر لختی متغیر که تحت اثر لنگر خمشی و نیروی محوری توأم قرار دارند، باید طوری انتخاب شوند که دو رابطه زیر به صورت همزمان صادق باشد:

$$\left( \frac{f_{a0}}{F_{ay}} \right) + \left( \frac{C_m}{1 + \frac{f_{a0}}{F'_{ey}}} \right) \left( \frac{f_{bL}}{F_{by}} \right) \leq 1.0 \quad (13-15)$$

$$\frac{f_{a0}}{0.6F_y} + \frac{f_b}{F_{by}} \leq 1.0$$

در صورتی که  $\frac{f_{a0}}{F_{ay}} \leq 0.15$  باشد، ارضاء شدن تک رابطه نیز کافی است:

$$\frac{f_{a0}}{F_{ay}} + \frac{f_{bL}}{F_{by}} \leq 1.0 \quad (14-15)$$

در این روابط  $F'_{ey}$  تنش مجاز‌الر و برابر مقدار زیر است:

$$F'_{ey} = \frac{12\pi^2 E}{23 \left( \frac{K_\gamma L_b}{r_{b0}} \right)^2} \quad (15-15)$$

: طول بدون مهار قطعه در صفحه خمشی

: شعاع ژیراسیون در انتهای کوچکتر قطعه

: ضریبی است که بصورت زیر معین می‌شود:

**الف:** اگر دو انتهای قطعه به آن یک منحنی خمشی را اعمال کنن و تنشهای خمشی دو انتهای تقریباً با هم برابر باشد:

$$C'_m = 1 + 0.1 \left( \frac{f_{a0}}{F'_{ey}} \right) + 0.3 \left( \frac{f_{a0}}{F'_{ey}} \right)^2 \quad (16-15)$$

**ب:** اگر تنش خمشی در انتهای کوچکتر تقریباً برابر صفر باشد:

$$C'_m = 1 - 0.9 \left( \frac{f_{a0}}{F'_{ey}} \right) + 0.6 \left( \frac{f_{a0}}{F'_{ey}} \right)^2 \quad (17-15)$$

**ج:** اگر تیرستون عضوی از یک قاب با امکان جابجایی باشد  $C'_m = 0.85$  خواهد شد.

اگر  $\frac{KL}{r} \geq C_c$  و تنش های مرکب در قطعه در حال افزایش باشد، می‌توان  $f_{a0}$  را با  $f_a$  و  $f_{bL}$  را با  $f_b$  در روابط (۱۳-۱۵) و (۱۴-۱۵) جایگزین کرد.

۱۶

## طراحی در برابر خستگی

قطعاً ای که تحت بار خستگی آور قرار می گیرند، امکان خستگی آنها به صورت شکستگی وجود دارد. به این ترتیب کنترل تنفس آنها با استفاده از مندرجات این بخش الزامی است.

انواع بارهای خستگی آور به صورت مندرجات جدول (۱-۱۸) خواهد بود:

جدول (۱-۱۸) انواع بارهای خستگی آور

ق	از	وضعیت بارگذاری
100000 **	20000	نوع ۱
500000 ***	100000	نوع ۲
2000000 ****	500000	نوع ۳
	بیشتر از ۲۰۰۰۰۰	نوع ۴

\* تقریباً معادل ۲ بار در هر روز برای ۲۵ سال

\*\* تقریباً معادل ۱۰ بار در هر روز برای ۲۵ سال

\*\*\* تقریباً معادل ۵۰ بار در هر روز برای ۲۵ سال

\*\*\*\* تقریباً معادل ۲۰۰ بار در هر روز برای ۲۵ سال

۱۷

## طراحی سازه های خرپایی

## جداول نیمرخ های ساختمانی

علامت بکار رفته در جداول پیوست دارای معانی زیر می باشد :

$A$  : سطح مقطع

$a$  : ضلع نبشی

$b_f$  : پهنای بال در نیمرخ ها

$d$  : ارتفاع نیمرخ ، قطر میلگرد

$t_w$  : ضخامت جان در نیمرخ ها ( مطابق شکل )

$t_f$  : ضخامت بال در نیمرخ ها ( مطابق شکل )

$t$  : ضخامت نبشی

$e$  : فاصله مرکز ثقل تا پشت جان در نیمرخ های ناودانی ، نبشی و سپری ( مطابق شکل )

$G$  : وزن یک متر طول نیمرخ

$h_1$  : فاصله بین انتهای دو ماهیچه جان و بال در روی بال ( مطابق شکل )

$I_x$  : لنگر لختی مقطع نسبت به محور

$I_y$  : لنگر لختی مقطع نسبت به محور

$I_p$  : لنگر لختی قطبی نسبت به مرکز ثقل مقطع

$J$  : ضریب ثابت پیچشی

$C_w$  : ضریب ثابت تابیدن

$Q$  : لنگر سطح مقطع نسبت به محور خنثی  $X - X$

$r, r_1, r_2, r_3$  : شعاع انحنا در نیمرخ ها ( مطابق شکل )

$r_x$  : شعاع ژیراسیون مقطع نسبت به محور  $X - X$

$r_y$  : شعاع ژیراسیون مقطع نسبت به محور  $Y - Y$

$r_z$  : شعاع ژیراسیون مقطع نسبت به محور  $Z - Z$

$r_V$  : شعاع ژیراسیون مقطع نسبت به محور  $V - V$

$S$  : فاصله مرکز برش تا سطح جان در نیمرخ ناودانی ( مطابق شکل )

$U$  : سطح رنگ آمیزی بر حسب متر مربع به ازاء متر طول نیمرخ

$S_x = \frac{I_x}{C_x}$  : اساس مقطع نسبت به محور  $X - X$

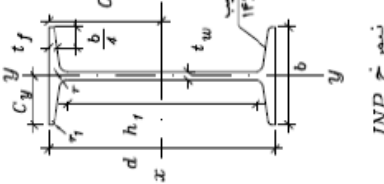
(  $C_x$  ) فاصله دورترین تار نسبت به محور  $(X)$

$S_y = \frac{I_y}{C_y}$  : اساس مقطع نسبت به محور  $Y - Y$

(  $C_y$  ) فاصله دورترین تار نسبت به محور  $(Y)$

\* علامت ستاره در جداول مربوط به نیمرخ های غیر استاندارد است .

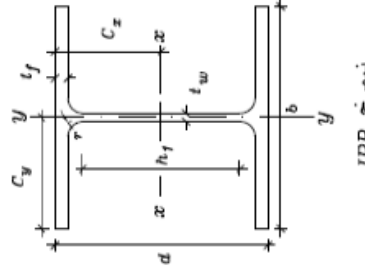
نیمچه	ابعاد						$G$	$A$	$U$	مشخصات نسبت به محورهای خشنی						$J$	$C_W$ $cm^6$			
	$d$ $mm$	$b_f$ $mm$	$t_w$ $mm$	$t_f$ $mm$	$r$ $mm$	$h_1$ $mm$				$I_X$ $cm^4$	$S_X$ $cm^3$	$I'_X$ $cm^4$	$Q$ $cm^3$	$I_v$ $cm^4$	$S_Y$ $cm^3$	$I'_Y$ $cm^4$				
80	80	42	3.9	5.9	3.9	2.3	59	5.95	7.58	0.304	77.8	19.5	3.2	11.4	6.29	3	0.91	0.89	88	
100	100	50	4.5	6.8	4.5	2.7	75	8.32	10.6	0.37	171	34.2	4.01	19.9	12.2	4.88	1.07	1.64	2.78	268
120	120	58	5.1	7.7	5.1	3.1	92	11.2	14.2	0.439	328	54.7	4.81	31.8	21.5	7.41	1.23	2.78	658	
140	140	66	5.7	8.6	5.7	3.4	109	14.4	18.3	0.502	573	81.9	5.64	47.7	35.2	10.7	1.4	4.4	1540	
160	160	74	6.3	9.5	6.3	3.8	125	17.9	22.8	0.575	935	117	6.4	68	54.7	14.8	1.55	6.7	3140	
180	180	82	6.9	10.4	6.9	4.1	142	21.9	27.9	0.64	1450	161	7.2	93.4	81.3	19.8	1.71	9.8	5920	
200	200	90	7.5	11.3	7.5	4.5	159	26.3	33.5	0.709	2140	214	8	125	117	26	1.87	13.9	10520	
220	220	98	8.1	12.2	8.1	4.9	175	31.1	39.6	0.775	3060	278	8.8	162	162	33.1	2.02	19.2	17760	
240	240	106	8.7	13.1	8.7	5.2	192	36.2	46.1	0.844	4250	354	9.59	206	221	41.7	2.2	25.7	28730	
260	260	113	9.4	14.1	9.4	5.6	209	41.9	53.4	0.906	5740	442	10.4	257	283	51	2.32	34.4	44070	
280	280	119	10.1	15.2	10.1	6.1	225	48.0	61.1	0.966	7590	542	11.1	316	364	61.2	2.45	45.5	64580	
300	300	125	10.8	16.2	10.8	6.5	241	54.2	69.1	1.03	9800	653	11.9	381	451	72.2	2.58	58.3	91850	
320	320	131	11.5	17.3	11.5	6.9	258	61	77.7	1.09	12510	782	12.7	457	555	84.7	2.67	72.5	128800	
340	340	137	12.2	18.3	12.2	7.3	274	68	86.7	1.15	15700	923	13.5	540	674	98.4	2.8	90.4	176300	
360	360	143	13.0	19.5	13.0	7.8	290	76.1	97	1.21	19610	1090	14.2	638	818	114	2.9	115	240100	
380	380	149	13.7	20.5	13.7	8.2	306	84	107	1.27	24010	1260	15	741	975	131	3.02	141	318700	
400	400	155	14.4	21.6	14.4	8.6	323	92.4	118	1.33	29210	1460	15.7	857	1160	149	3.13	170	419600	
425	425	163	15.3	23.0	15.3	9.2	343	104	132	1.41	36970	1740	16.7	1020	1440	176	3.3	216	587500	
450	450	170	16.2	24.3	16.2	9.7	363	115	147	1.48	45850	2040	17.7	1200	1730	203	3.43	267	791100	
475	475	178	17.1	25.6	17.1	10.3	384	128	163	1.55	56480	2380	18.6	1400	2090	235	3.6	329	1067000	
500	500	185	18.0	27.0	18.0	10.8	404	141	179	1.63	68740	2750	19.6	1620	2480	268	3.72	402	1403000	
550	550	200	19.0	30.0	19.0	11.9	445	166	212	1.8	99180	3610	21.6	2120	3490	349	4.02	544	2389000	
600	600	215	21.6	32.4	21.6	13.0	485	199	254	1.92	1390000	4630	23.4	2730	4670	434	4.3	813	3821000	



نیمچه IPE

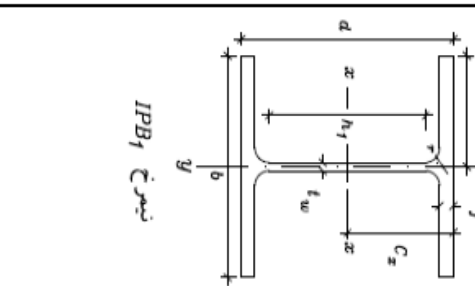
نیمچه	ابعاد						مشخصات نسبت به محورهای خنثی											
	$d$ mm	$b_f$ mm	$t_w$ mm	$t_f$ mm	$r$ mm	$h_l$ mm	$G$ Kg cm	$A$ $m^2/m$	$U$ $m^2/m$	$I_x$ $cm^4$	$S_x$ $cm^3$	$I'_x$ $cm$	$Q$ $cm^3$	$I_y$ $cm^4$	$S_y$ $cm^3$	$I'_y$ $cm$	$J$ $cm^4$	$C_{tr}$ $cm^6$
80	80	46	3.8	5.2	5	60	7.64	0.329	80.1	20	3.24	11.6	849	3.69	1.05	0.7	118	
100	100	55	4.1	5.7	7	75	8.1	0.401	171	34.2	4.07	19.7	15.9	5.79	1.24	1.1	351	
120	120	64	4.4	6.3	7	93	10.4	0.474	318	53	4.9	30.4	27.7	8.65	1.45	1.71	890	
140	140	73	4.7	6.9	7	112	12.9	0.55	541	77.3	5.74	44.2	44.9	12.3	1.65	2.54	1980	
160	160	82	5.0	7.4	9	127	15.8	0.622	869	109	6.58	61.9	68.3	16.7	1.84	3.53	3690	
180	180	91	5.3	8.0	9	146	18.8	0.698	1317	146	7.42	83.2	101	22.2	2.05	4.9	7430	
200	200	100	5.6	8.5	12	159	22.4	0.768	1943	194	8.26	110	142	28.5	2.24	6.46	12990	
220	220	110	5.9	9.2	12	178	26.2	0.848	2772	252	9.11	143	205	37.3	2.48	8.86	22670	
240	240	120	6.2	9.8	15	190	30.7	0.921	3892	324	9.97	183	284	47.3	2.69	11.6	37390	
270	270	135	6.6	10.2	15	220	36.1	1.01	5790	429	11.2	239	420	62.2	3.02	14.93	70580	
300	300	150	7.1	10.7	15	249	42.2	53.8	1.16	8356	557	12.5	314	604	80.5	3.35	19.47	125900
330	330	160	7.5	11.5	18	271	49.1	62.6	1.25	11770	713	13.7	402	788	98.5	3.55	25.7	199100
360	360	170	8.0	12.7	18	299	57.1	72.7	1.35	16270	904	15	510	1043	123	3.79	36.2	313600
400	400	180	8.6	13.5	21	331	66.3	84.5	1.47	23130	1160	16.5	654	1318	146	3.95	46.8	490000
450	450	190	9.4	14.6	21	379	77.6	98.8	1.61	33740	1500	18.5	849	1676	176	4.12	63.8	791000
500	500	200	10.2	16.0	21	426	90.7	116	1.74	48200	1930	20.4	1100	2142	214	4.31	89	1249000
550	550	210	11.1	17.2	24	468	106	134	1.88	67120	2440	22.3	1390	2668	254	4.45	118	1884000
600	600	220	12.0	19.0	24	514	122	156	2.02	92080	3070	24.3	1760	3387	308	4.66	166.2	2846000

نیمروخ	ابعاد						$G$	$A$	$U$ $m^2/m$	مشخصات نسبت به محورهای خشنی						$C_W$ $cm^6$		
	$d$	$b_f$ mm	$t_w$ mm	$t_f$ mm	$r$ mm	$h_l$ mm				$I_X$ $cm^4$	$S_X$ $cm^3$	$r_X$ cm	$Q$ $cm^3$	$I_Y$ $cm^4$	$S_Y$ $cm^3$	$r_Y$ cm		
100	100	6	10	12	56	20.4	26	0.567	450	90	4.16	52.1	167	33	2.53	9.05	3380	
120	120	6.5	11	12	74	26.7	34	0.686	864	144	5.04	82.6	318	53	3.06	14.4	9410	
140	140	7	12	12	92	33.7	43	0.805	1509	216	5.93	123	550	79	3.58	21.8	22480	
160	160	8	13	15	104	42.6	54.3	0.918	2492	311	6.78	177	889	111	4.05	32.2	47940	
180	180	8.5	14	15	122	51.2	65.3	1.03	3831	426	7.66	241	1363	151	4.57	45.1	93750	
200	200	9	15	18	134	61.3	78.1	1.15	5696	570	8.54	321	2003	200	5.07	61.4	171100	
220	220	9.5	16	18	152	71.5	91	1.27	8091	736	9.43	414	2843	258	5.59	81.8	295400	
240	240	10	17	21	164	83.2	106	1.38	11260	938	10.3	527	3923	327	6.08	107	486900	
260	260	10	17.5	24	177	93	118.4	1.5	14920	1150	11.2	641	5135	395	6.58	125	753700	
280	280	10.5	18	24	196	103	131.4	1.62	19270	1380	12.1	767	6595	471	7.09	148	1130000	
300	300	11	19	27	208	117	149.1	1.73	25170	1680	13	938	8563	571	7.58	186	1688000	
320	320	300	11.5	20.5	27	225	127	161.3	1.77	30820	1930	13.8	1070	9239	616	7.57	233	2069000
340	340	300	12	21.5	27	243	135	170.9	1.81	36660	2160	14.6	1200	9690	646	7.53	270	2454000
360	360	300	12.5	22.5	27	261	142	180.6	1.85	43190	2400	15.5	1340	10140	676	7.49	310	2883000
400	400	300	13.5	24	27	298	155	197.8	1.93	57680	2880	17.1	1620	10820	721	7.4	382	3187000
450	450	300	14	26	27	344	171	218	1.99	79890	3550	19.1	1990	11720	781	7.33	485	5258000
500	500	300	14.5	28	27	390	187	238.6	2.12	107180	4290	212	2410	12620	842	7.27	605	7018000
550	550	300	15	29	27	438	199	254.1	2.22	136690	4970	23.2	2800	13080	872	7.17	679	8856000
600	600	300	15.5	30	27	486	212	270	2.32	171040	5700	25.2	3210	13530	902	7.08	759	10970000
650	650	300	16	31	27	534	225	286.3	2.42	210620	6480	27.1	3660	13980	932	6.99	845	13360000
700	700	300	17	32	27	582	241	306.4	2.52	256890	7340	29	4160	14440	963	6.87	949	16060000
800	800	300	17.5	33	30	674	262	334.2	2.71	359080	8980	32.8	5110	14900	994	6.68	1062	21840000
900	900	300	18.5	35	30	770	291	371.3	2.91	494070	10980	36.5	6290	15820	1050	6.53	1290	29460000
1000	1000	300	19	36	30	863	314	400	3.11	644750	12890	40.1	7430	16280	1090	6.38	1432	37640000

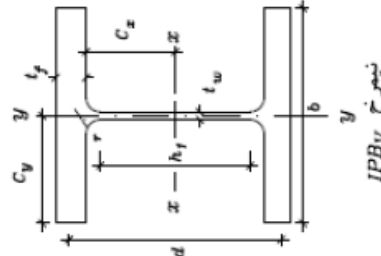


## نیمچه IPB1

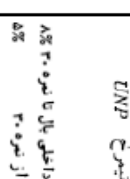
نیمچه	ابعاد							مشخصات نسبت به محورهای خنثی											
	d mm	b <sub>f</sub> mm	t <sub>w</sub> mm	t <sub>f</sub> mm	r mm	h <sub>1</sub> mm	G Kg/cm <sup>2</sup>	A m <sup>2</sup> /m	U	I <sub>x</sub> cm <sup>4</sup>	S <sub>x</sub> cm <sup>3</sup>	I <sub>y</sub> cm <sup>4</sup>	Q cm <sup>3</sup>	I <sub>v</sub> cm <sup>4</sup>	S <sub>v</sub> cm <sup>3</sup>	I <sub>T</sub> cm	J cm <sup>4</sup>	C <sub>W</sub> cm <sup>6</sup>	
IPB1	100	96	100	5	8	12	56	16.7	21.2	0.562	349	73	4.06	41.5	134	27	2.51	4.69	2580
	120	114	120	5	8	12	74	19.9	25.3	0.677	606	106	4.89	59.7	231	38	3.02	5.63	6470
	140	133	140	5.5	8.5	12	92	24.7	31.4	0.794	1033	155	5.73	86.7	389	56	3.52	7.97	15060
	160	152	160	6	9	15	104	30.4	38.8	0.896	1673	220	6.57	123	616	77	3.98	10.9	31410
	180	171	180	6	9.5	15	122	35.5	45.3	1.02	2510	294	4.45	162	925	103	4.52	14.2	60210
	200	190	200	6.5	10	18	134	42.3	53.8	1.14	3692	389	8.28	215	1336	134	4.98	18.6	108000
	220	210	220	7	11	18	152	50.5	64.3	1.26	5410	515	9.17	284	1955	178	5.51	27.1	193300
	240	230	240	7.5	12	21	164	60.3	76.8	1.37	7763	675	10.1	372	2769	231	6.0	38.2	328500
	260	250	260	7.5	12.5	24	177	68.2	86.8	1.48	10460	839	11.0	460	3668	282	6.5	46.3	516400
	280	270	280	8	13	24	196	76.4	97.3	1.6	13670	1010	11.9	556	4763	340	7.0	56.5	785400
	300	290	300	8.5	14	27	208	88.3	112.5	1.72	18260	1260	12.7	692	6310	421	7.49	75.3	1200000
	320	310	300	9	15.5	27	225	97.6	124.4	1.76	22930	1480	13.6	814	6985	466	7.49	102	1512000
	340	330	300	9.5	16.5	27	243	105	133.5	1.79	27700	1680	14.4	925	7436	496	7.46	123	1824000
	360	350	300	10	17.5	27	261	112	142.8	1.83	33090	1890	15.2	1040	7887	526	7.43	147	2177000
	400	390	300	11	19	27	298	125	159	1.91	45070	2310	16.8	1280	8564	571	7.34	191	2942000
	450	440	300	11.5	21	27	344	140	178	2.01	63720	2900	18.9	1610	9465	631	7.29	257	4148000
	500	490	300	12	23	27	390	155	197.5	2.11	86980	3550	21.0	1970	10370	691	7.24	336	5643000
	550	540	300	12.5	24	27	438	166	211.8	2.21	111900	4150	23.0	2310	10820	721	7.15	386	7189000
	600	590	300	13	25	27	486	178	226.5	2.31	141200	4790	25.0	2680	11270	751	7.05	440	8978000
	650	640	300	13.5	26	27	534	190	241.6	2.41	175200	5470	26.9	3070	11720	782	6.97	500	11030000
	700	690	300	14.5	27	27	582	204	260.5	2.5	215300	6240	28.8	3520	12180	812	6.84	573	13350000
	800	790	300	15	28	30	674	224	285.8	2.7	303400	7680	32.6	4350	12640	843	6.65	652	18290000
	900	890	300	16	30	30	770	252	320.5	2.9	422100	9480	36.3	5410	13550	903	6.5	817	24960000
	1000	990	300	16.5	31	30	868	272	346.8	3.1	553800	11190	40..0	6410	14000	934	6.35	918	32070000



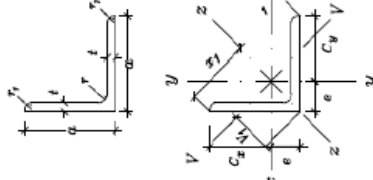
نیمچه	جداول اشتال	مشخصات نسبت به محورهای خشنی										$J$	$C_W$ $\text{cm}^6$					
		$d$	$b_f$ mm	$t_w$ mm	$t_f$ mm	$r$ mm	$h_l$ mm	$G$ $\text{kg}/\text{m}$	$A$ $\text{cm}^2$	$U$ $\text{m}^2/\text{m}$	$I_x$ $\text{cm}^4$	$S_x$ $\text{cm}^3$	$r_x$ $\text{cm}$	$Q$ $\text{cm}^3$	$I_y$ $\text{cm}^4$	$S_y$ $\text{cm}^3$	$r_y$ $\text{cm}$	
100	100	106	12	20	12	56	41.8	53.2	0.619	1143	190	4.63	118	399	75	2.74	76.4	9930
120	120	126	12.5	21	12	74	52.1	66.4	0.738	2016	288	5.51	175	703	112	3.25	105	24790
140	140	146	13	22	12	92	63.2	80.6	0.835	3291	411	6.39	247	1144	157	3.77	140	54330
160	160	166	14	23	15	104	76.2	97.1	0.97	5098	566	7.25	337	1759	212	4.26	184	108100
180	180	186	14.5	24	15	122	88.9	113.3	1.09	7483	748	8.13	442	2580	277	4.77	234	199300
200	200	206	15	25	18	134	103	131.3	1.2	10640	967	9.00	568	3651	354	5.27	292	346300
220	220	226	15.5	26	18	152	117	149.4	1.32	14610	1220	9.89	710	5012	444	5.79	360	572700
240	240	248	18	32	21	164	157	199.6	1.46	24290	1800	11.0	1060	8153	657	6.39	727	115200
260	260	268	18	32.5	24	177	172	219.6	1.57	31310	2160	11.9	1260	10450	780	6.9	821	1728000
280	280	288	18.5	33	24	196	189	240.2	1.69	39550	2550	12.8	1480	13160	914	7.4	927	2520000
3000	320	305	16	29	27	208	177	225.1	1.78	40950	2560	13.8	1460	13740	901	7.81	665	2903000
300	340	310	21	39	27	208	238	303.1	1.83	59200	3480	14.0	2040	19400	1252	8.0	1634	4386000
320	359	309	21	40	27	225	245	312	1.87	68140	3800	14.8	2220	19710	1280	7.95	1756	5004000
340	377	309	21	40	27	243	248	315.8	1.9	76370	4050	15.6	2360	19710	1280	7.9	1763	5584000
360	395	308	21	40	27	261	250	318.8	1.93	84870	4300	16.3	2490	19520	1270	7.83	1764	6137000
400	432	307	21	40	27	298	256	325.8	2.0	104100	4820	17.9	2790	19340	1260	7.7	1773	7410000
450	478	307	21	40	27	344	263	335.4	2.1	131500	5500	19.8	3170	19340	1260	7.59	1791	9251000
500	524	306	21	40	27	390	270	344.3	2.18	161900	6180	21.7	3550	19160	1250	7.46	1803	11190000
550	572	306	21	40	27	438	278	354.4	2.28	198000	6920	23.6	3970	19160	1250	7.35	1822	13520000
600	620	305	21	40	27	486	285	363.7	2.37	273400	7660	25.6	4390	18980	1240	7.22	1835	15910000
650	668	305	21	40	27	534	293	373.7	2.47	281700	8430	27.5	4830	18980	1240	7.13	1554	18650000
700	716	304	21	40	27	582	301	383	2.56	329300	9200	29.3	5270	18800	1240	7.01	1867	21400000
800	814	303	21	40	30	674	317	404.3	2.75	442600	10870	33.1	6240	18630	1230	6.79	1899	27780000
900	910	302	21	40	30	770	333	423.6	2.93	570400	12540	36.7	7220	18450	1220	6.6	1931	34750000
1000	1008	302	21	40	30	868	349	444.2	3.13	722300	14330	40.3	8280	18460	1220	6.45	1969	43010000



نیمچه	ابعاد							G Kg/cm <sup>2</sup>	A m <sup>2</sup> /m	U m <sup>2</sup> /m	مرکز شل	مسخنمات نسبت به محورهای خنثی									
	d mm	b <sub>f</sub> mm	t <sub>w</sub> mm	t <sub>f</sub> mm	r mm	r <sub>1</sub> mm	h <sub>1</sub> mm					C <sub>y</sub> cm	I <sub>x</sub> cm <sup>4</sup>	S <sub>x</sub> cm <sup>3</sup>	r <sub>x</sub> cm	Q cm <sup>3</sup>	I <sub>y</sub> cm <sup>4</sup>	S <sub>y</sub> cm <sup>3</sup>	r <sub>y</sub> cm	J cm <sup>4</sup>	S cm
80	80	45	6	8	4	46	8.64	110.	0.312	1.45	3.05	106	26.5	3.1	15.9	19.4	6.36	1.33	2.2	1.24	168
100	100	50	6	8.5	8.5	4.5	64	10.6	0.372	1.55	3.45	206	41.2	3.91	24.5	29.3	8.49	1.47	2.91	1.4	414
120	120	55	7	9	9	4.5	82	13.4	0.434	1.6	3.9	364	60.7	4.62	36.3	43.2	11.1	1.59	4.22	1.44	900
140	140	60	7	10	10	5	98	16.0.	0.489	1.75	4.25	605	86.4	5.45	51.4	62.7	14.8	1.75	5.91	1.63	1800
160	160	65	7.5	10.5	10.5	5.5	115	18.8	0.546	1.84	4.66	925	116	6.21	68.8	85.3	18.3	1.89	7.67	1.74	3260
180	180	70	8	11	11	5.5	133	22.0.	0.611	1.92	5.08	1350	150	6.95	89.6	114	22.4	2.02	9.8	1.84	5570
200	200	75	8.5	11.5	11.5	6	151	25.3	0.661	2.01	5.49	1910	191	7.7	114	148	27	2.14	12.4	1.94	9070
220	220	80	9	12.5	12.5	6.5	167	29.4	0.718	2.14	5.86	2690	245	8.48	146	197	33.6	2.26	16.7	2.07	14600
240	240	85	9.5	13	13	6.5	184	33.2	0.775	2.23	6.27	3600	300	9.22	179	248	39.6	2.42	20.4	2.2	22100
260	260	90	10	14	14	7	200	37.9	0.834	2.36	6.64	4820	371	9.99	221	317	47.7	2.56	26.6	2.31	33300
280*	280*	95	10	15	15	7.5	215	41.8	0.89	2.53	6.97	6276	450	10.9	266	390	57.2	2.75	32.7	2.51	48500
300	300	100	10	16	16	8	232	46.2	0.95	2.7	7.3	8030	535	11.7	316	495	67.8	2.9	39.9	2.72	69100
320	320	100	14	17.5	17.5	8.75	246	59.5	0.982	2.6	7.4	10870	679	12.1	413	597	80.6	2.81	66.7	2.22	96100
350	350	100	14	16	16	8	282	60.6	1.047	2.4	7.6	12840	734	12.9	459	570	75	2.72	61.2	2.05	114000
380	380	102	13.5	16	16	8	313	63.1	804	1.11	2.38	15760	829	14.0	507	615	78.7	2.77	59.1	2.2	146000
400	400	110	14	18	18	9	324	71.8	91.5	1.132	2.65	20350	1020	14.9	618	846	102	3.04	81.6	2.46	221000



بعاد				G	A	U	xx-yy	مشخصات نسبت به محورهای خمی	مشخصات نسبت به محورهای خنثی										
G	t	r	R <sub>1</sub>	mm	mm	mm <sup>2</sup> /m	m <sup>2</sup> /t	θ	I <sub>x</sub> -I <sub>y</sub>	I <sub>x</sub> -I <sub>y</sub>	Z <sub>1</sub>	I <sub>xz</sub>	I <sub>xz</sub>	r <sub>z</sub>	V <sub>1</sub>	I <sub>yv</sub>	I <sub>yv</sub>	r <sub>v</sub>	
mm	mm	mm	mm	Kg	cm <sup>2</sup>	cm <sup>3</sup>	cm <sup>4</sup>	cm	cm <sup>4</sup>	cm <sup>3</sup>	cm	cm <sup>4</sup>	cm <sup>3</sup>	cm	cm	cm <sup>4</sup>	cm <sup>3</sup>	cm	
20	2.5*	3	1.5	0.74	0.95	0.077	104	0.58	0.34	0.24	0.58	1.41	0.53	0.37	0.75	0.82	0.14	0.17	0.38
	3	4	2	0.88	1.13	87.5	0.6	0.39	0.28	0.59	1.41	0.61	0.44	0.74	0.84	0.16	0.19	0.38	
	4	4	2	1.14	1.46	67.6	0.63	0.49	0.36	0.58	1.41	0.77	0.55	0.72	0.9	0.21	0.23	0.38	
25	2.5*	3	1.5	0.94	1.2	0.097	103.2	0.7	0.69	0.38	0.75	1.77	1.1	0.62	0.95	1.0	0.28	0.28	0.48
	3	4	2	1.12	1.43	86.6	0.72	0.8	0.45	0.75	1.77	1.26	0.72	0.94	1.02	0.33	0.33	0.48	
	4	4	2	1.46	1.86	66.5	0.76	1.01	0.58	0.74	1.77	1.6	0.91	0.93	1.07	0.43	0.4	0.48	
	5	4	2	1.78	2.27	54.5	0.8	1.2	0.71	0.73	1.77	1.89	1.06	0.91	1.13	0.52	0.46	0.48	
30	3	5	2.5	1.36	1.74	0.116	85.3	0.84	1.4	0.65	0.9	2.12	2.23	1.06	1.13	1.18	0.58	0.49	0.58
	4	5	2.5	1.78	2.27	65.2	0.88	1.8	0.85	0.89	2.12	2.85	1.34	1.12	1.24	0.75	0.61	0.58	
	5	5	2.5	2.18	2.78	53.3	0.92	2.16	1.04	0.88	2.12	3.41	1.61	1.11	1.3	0.92	0.71	0.57	
35	3.5*	3.5	1.8	1.85	2.35	0.136	73.6	0.98	2.63	1.04	1.06	2.47	4.03	1.63	1.33	1.39	1.18	0.85	0.71
	4	5	2.5	2.1	2.67	64.8	1.0	2.95	1.18	1.05	2.47	4.68	1.89	1.33	1.42	1.23	0.86	0.68	
	5	5	2.5	2.57	3.28	53	1.04	3.56	1.45	1.04	2.47	5.64	2.28	1.31	1.48	1.49	1.01	0.67	
6*	5	5	2.5	3.04	3.87	44.7	1.08	4.14	1.71	1.04	2.47	6.5	2.63	1.3	1.53	1.77	1.16	0.68	
	6	6	3	2.42	3.08	0.155	64	1.12	4.47	1.55	1.21	2.83	7.09	2.5	1.52	1.58	1.86	1.17	0.78
40	4	6	3	2.42	3.29	52.2	1.16	5.43	1.91	1.2	2.83	8.6	3.05	1.51	1.64	2.26	1.37	0.77	
	5	6	3	2.97	3.79	44	1.2	6.31	2.26	1.19	2.83	9.98	3.53	1.49	1.7	2.65	1.56	0.77	
45	4.5*	7	3.5	3.04	3.9	0.174	57.2	1.26	7.15	2.2	1.37	3.18	11.3	3.55	1.7	1.79	2.95	1.65	0.87
	5	7	3.5	3.38	4.3	51.5	1.28	7.84	2.43	1.35	3.18	12.4	3.9	1.7	1.81	3.26	1.8	0.87	
50	5	7	3.5	4.47	5.69	43.4	1.45	12.8	3.61	1.5	3.54	20.3	5.76	1.89	2.04	5.33	2.61	0.97	
	6	7	3.5	4.0	5.09	43.5	1.32	9.16	2.88	1.34	3.18	14.5	4.56	1.69	1.87	3.82	2.05	0.87	
7*	7	7	3.5	4.6	5.86	37.8	1.36	10.4	3.31	1.33	3.18	16.4	5.16	1.67	1.92	4.39	2.29	0.87	
	8	7	3.5	5.77	4.8	51.5	1.4	11.0	3.05	1.51	3.54	17.4	4.91	1.19	1.99	4.54	2.29	0.97	
9*	7	7	3.5	6.47	8.24	30	1.56	17.9	5.2	1.47	3.54	28.1	7.94	1.85	2.21	7.67	3.46	0.97	
55*	5.5	8	4	4.54	5.82	0.213	46.9	1.54	16.3	4.1	1.67	3.89	25.8	6.63	2.1	2.2	6.75	3.06	1.08
	6	8	4	4.95	6.31	43	1.56	17.3	4.4	1.66	3.89	27.4	7.04	2.08	2.21	7.24	3.28	1.07	
7	8	4	5.68	7.27	37.5	1.6	19.7	5.05	1.64	3.89	31.1	8.0	2.06	2.26	8.29	3.67	1.06		
	8	8	4	6.46	8.23	33	1.64	22.1	5.72	1.64	3.89	34.8	8.95	2.06	2.32	9.35	4.03	1.07	



بُشْری

ابعاد				$G$ Kg $cm^2$	$A$ $m^2/m$	$U$ $m^2/r$	$\rho$ $cm$	$I_x - I_y$ $C_x = C_y$ $cm^4$	$\frac{I_x}{C_x} = \frac{I_y}{C_y}$ $r_x - r_y$ $cm$	$Z_1$ $cm$	$I_z$ $Z_1$ $cm^4$	$r_z$ $cm$	$V_1$ $cm$	$I_{yy}$ $I_{zz}$ $cm^4$	$\text{محور}\text{ }\text{yy}$ $\text{محور}\text{ }\text{zz}$ $cm^3$	مشخصات خنپی			
$a$ $mm$	$r$ $mm$	$r$ $mm$	$R_1$ $mm$																
60	6	8	4	5.42	6.91	0.233	43.0	1.69	22.8	5.29	1.82	4.24	36.2	8.51	2.29	2.39	9.43	4	1.17
60	7*	8	4	6.26	7.98	37.2	1.72	25.7	6.02	1.79	4.24	40.7	9.6	2.26	2.43	10.7	4.4	1.16	
	8	8	4	7.09	9.03	32.9	1.77	29.2	6.89	1.8	4.24	46.2	10.9	2.26	2.5	12.2	4.86	1.16	
65*	10	8	4	8.69	11.1	26.8	1.85	34.9	8.41	1.78	4.24	55.1	13.0	2.23	2.61	14.8	5.67	1.16	
65*	7	9	4	6.83	8.7	0.252	36.9	1.85	33.4	7.18	1.96	4.6	53.0	11.5	2.47	2.62	13.8	5.27	1.26
	9	9	4.5	8.62	11.0	29.3	1.93	41.3	9.04	1.94	4.6	65.4	14.2	2.44	2.73	17.2	6.3	1.25	
70	11	9	4.5	10.3	13.2	24.5	2.0	48.8	10.8	1.91	4.6	76.8	16.7	2.42	2.83	20.7	7.31	1.25	
70	7	9	4.5	7.38	9.4	0.272	36.9	1.97	42.32	8.41	2.12	4.95	67.1	13.5	2.67	2.79	17.5	6.27	1.36
	8	9	4.5	8.36	10.6	32.6	2.01	47.5	9.52	2.11	4.95	75.3	15.2	2.66	2.85	19.7	6.91	1.36	
9*	9	4.5	9.34	11.9	29.1	2.05	52.6	10.6	2.1	4.95	83.1	16.8	2.64	2.9	22	7.59	1.36		
10	9	4.5	10.3	13.1	26.4	2.09	57.2	11.7	2.09	4.95	90.5	18.2	2.63	2.96	23.9	8.1	1.35		
11*	9	4.5	11.2	14.3	24.3	2.13	61.8	12.7	2.08	4.95	97.6	19.7	2.61	3.01	26	8.64	1.35		
75*	8	10	5	9.03	11.5	0.291	23.2	2.13	58.9	11	2.26	5.3	93.3	17.6	2.85	3.01	24.4	8.11	1.46
	9	10	5	10.07	12.8	28.9	2.17	65.1	12.2	2.26	5.3	103	19.4	2.84	3.07	27.1	8.81	1.46	
80	10	10	5	11.1	14.1	26.2	2.21	71.4	13.5	2.25	5.3	113	22.4	2.83	3.12	29.8	9.55	1.45	
	8	10	5	9.66	12.3	0.311	32.2	2.26	72.2	12.6	2.43	5.66	115	20.3	3.06	3.19	29.9	9.36	1.56
90	9	11	5.5	12.2	15.5	0.351	28.8	2.31	80.7	14.2	2.43	5.66	128	22.6	3.06	3.24	33.6	10.3	1.56
	10	11	5.5	13.4	17.1	26.2	2.58	1.27	19.8	2.72	6.36	201	31.6	3.43	3.65	52.5	14.4	1.75	
11*	11	5.5	14.7	18.7	23.9	2.62	138	21.6	2.72	6.36	218	34.3	3.41	3.7	57.1	15.4	1.75		
12	11	5.5	15.9	20.3	22.1	2.66	148	23.3	2.7	6.36	2.34	36.8	3.4	3.76	61.7	16.4	1.74		
13*	11	5.5	17.1	21.8	20.5	2.7	158	25.1	2.69	6.36	250	39.3	3.39	3.81	65.9	17.3	1.74		
100	10	12	6	15.1	19.2	0.39	25.8	2.82	177	24.6	3.04	7.07	280	3.83	3.99	72.9	18.3	1.95	
12	12	6	17.8	22.7	21.9	2.9	207	29.1	3.02	7.07	328	46.4	3.8	4.11	85.7	20.9	1.94		
14*	12	6	20.6	26.2	18.9	2.98	235	33.5	3.01	7.07	372	52.6	3.77	4.21	98.3	23.3	1.94		
15	12	6	21.9	27.9	17.8	3.02	249	35.6	2.98	7.07	393	55.6	3.75	4.27	104	24.4	1.93		
110*	10	12	6	16.6	21.2	0.43	25.9	3.07	239	30.1	3.36	7.78	379	48.7	4.23	3.34	98.6	22.7	2.16
12	6	19.7	25.1	21.9	3.15	3.34	35.7	3.78	444	57.1	4.21	3.45	116	26.1	2.15				

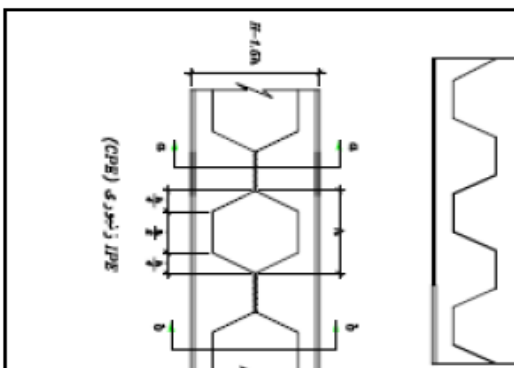
بُشْری

نبشی

ابعاد			$G$	$A$	$U$	مشخصات نسبت به محورهای خنثی						مشخصات نسبت به محورهای خنثی								
$a$	$t$	$r$				$I_1$	$Kg$	$cm^2$	$m^2/m$	$m^2/t$	$cm$	$cm^4$	$cm$	$Z_1$	$I_z$	$\frac{I_z}{Z_1}$	$r_z$	$V_1$	$I_v$	$\frac{I_v}{V_1}$
mm	mm	mm	mm	kg	cm²	m²/m	m²/t	cm					cm	cm	cm⁴	cm³	cm	cm	cm⁴	cm³
120	11*	13	6.5	19.9	25.4	0.469	23.6	3.36	341	39.5	3.66	8.49	541	63.7	4.62	4.75	140	29.5	2.35	
	12	13	6.5	21.6	27.5		21.7	3.4	368	42.7	3.65	8.49	584	68.8	4.6	4.8	152	31.5	2.35	
	13*	13	6.5	23.3	29.7		20.1	3.44	394	46	3.64	8.49	625	73.6	4.59	4.86	162	33.3	2.34	
	14*	13	6.5	25	31.8		18.8	3.47	420	49.2	3.63	8.49	665	78.4	4.57	4.91	174	35.4	2.34	
	15	13	6.5	26.6	33.9		17.6	3.51	445	52.4	3.62	8.49	705	83	4.56	4.97	185	37.1	2.33	
	130*	12	14	7	23.6	30	0.508	21.5	3.64	472	50.4	3.97	9.19	750	81.6	5.0	5.15	194	37.7	2.545
	140*	13	14	7	27.2	34.7	18.7	3.72	540	58.2	3.94	9.19	857	93.3	4.97	5.26	223	42.4	2.53	
	150	14*	15	7.5	27.5	35	0.547	19.9	3.2	638	63.3	4.27	9.9	1010	103	5.38	5.54	262	47.3	2.74
	15	15	7.5	31.4	40		17.4	4.0	723	72.3	4.25	9.9	1150	116	5.36	5.66	298	52.7	2.73	
	16*	15	7.5	35.3	45		15.5	4.08	805	81.2	4.23	9.9	1280	129	5.33	5.77	334	57.9	2.72	
	17	15	7.5	35.3	45		15.5	4.08	805	81.2	4.23	9.9	1280	129	5.33	5.77	334	57.9	2.72	
	14*	16	8	31.6	40.3	0.586	18.6	4.21	845	78.2	4.58	10.6	1340	126	5.77	5.95	347	58.3	2.94	
	15	16	8	33.8	43		17.3	4.25	868	83.5	4.57	10.6	1430	135	5.76	6.01	370	61.6	2.93	
	16*	16	8	35.9	45.7		16.3	4.29	949	88.7	4.56	10.6	1510	143	5.74	6.07	391	64.6	2.93	
	18	16	8	40.1	51		14.6	4.37	1050	98.7	4.54	10.6	1670	127	5.71	6.17	435	70.4	2.92	
	17	17	8.5	36.2	46.1	0.626	17.3	4.49	1100	95.6	4.88	11.3	1750	155	6.15	6.35	453	71.3	3.14	
	18	18	9	40.9	52.1	0.705	17.2	4.98	1590	122	5.52	12.7	2520	198	6.96	7.05	653	92.6	3.54	
	19	18	9	48.6	61.9		14.5	5.1	1870	145	5.49	12.7	2960	234	6.92	7.22	768	106	3.52	
	20	18	9	53.7	98.3		13.1	5.18	2040	159	5.47	12.7	3240	257	6.89	7.33	843	115	3.51	
	20	18	9	59.9	76.3	0.785	13.1	6.68	2850	199	6.11	14.1	4530	322	7.7	8.04	1170	146	3.92	
	24	18	9	71.1	90.6		11	5.84	3330	235	6.06	14.1	5280	374	7.64	8.26	1380	167	3.9	
	28*	18	9	82	104.5		9.6	5.99	3784	270	6.02	14.1	5989	425	7.57	8.47	1573	186	3.88	
	30*	18	9	87.6			9.0	6.06	4002	287	6.0	14.1	6323	448	7.53	8.57	1681	196	3.88	

## (CPE) زنگوری IPE

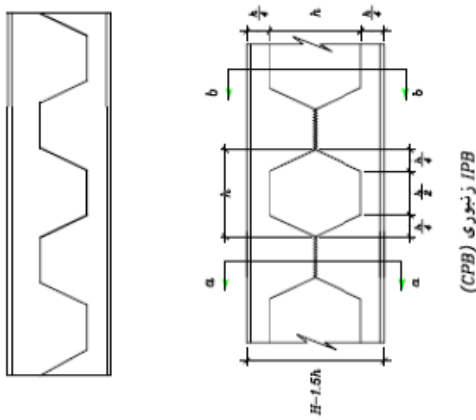
IPE	H mm	S mm	t mm	$A_u$ $cm^3$	$A_b$ $cm^2$	G $Kg/1.5h$	G $Kg/m$	$I_{xx}$ $cm^4$	$S_{xx}$ $cm^3$	$I_{xb}$ $cm^4$	$S_{xb}$ $cm^3$	$Q_{xz}$ $cm^3$	$Q_{xb}$ $cm^3$	$S_t$ $cm^3$	C <sub>i</sub> mm
80	120	3.8	5.2	9.16	6.12	0.718	6	206	34.3	189	31.6	20	17		
100	150	4.1	5.7	12.4	8.25	1.21	8.1	437	58.2	403	53.7	33.9	28.8		
120	180	4.4	6.3	15.8	10.6	1.86	10.4	809	89.9	746	82.8	52.2	44.2		
140	210	4.7	6.9	19.7	13.1	2.7	12.9	1370	131	1270	121	75.8	64.3		
160	240	5	7.4	24.1	16.1	3.78	15.8	2200	184	2030	169	106	90.1		
180	270	5.3	8.0	28.7	19.1	5.06	18.3	3330	247	3070	228	142	121	11.9	8.8
200	300	5.6	8.5	34.1	22.9	6.7	22.4	4910	327	4540	302	189	161	15.8	9.7
220	330	5.9	9.2	39.9	26.9	8.63	26.2	6990	423	6460	392	243	208	20.7	10.5
240	360	6.2	9.8	46.5	31.7	11	30.7	6790	544	9070	504	312	267	26.3	11.3
270	405	6.6	10.2	54.8	37	14.6	36.1	14550	719	13470	665	412	352	36.5	12.4
300	450	7.1	10.7	64.5	43.2	19	42.2	21010	934	19410	863	536	456	49.2	13.7
330	495	7.5	11.5	75	50.2	24.3	49.1	29580	1200	27330	1100	686	584	63.1	15
360	540	8	12.7	87.1	58.3	30.8	57.1	40890	1510	37780	1400	869	740	80.1	16.4
400	600	8.6	13.5	102	67.3	39.7	66.3	58290	1940	53700	1790	1120	947	104	18.5
450	675	9.4	14.6	120	77.7	52.2	77.6	85430	2530	78290	2320	1470	1230	140	21.2
500	750	10.2	16	142	90.5	68.2	90.7	122400	3260	111800	2980	1900	1580	183	24
550	825	11.1	17.2	165	103	86.6	106	171100	4150	155700	3770	2420	2000	234	26.9
600	900	12	19	192	120	110	122	235300	5230	213700	4750	3060	2520	296	29.8



(CPE) زنگوری IPE

## (CPB) زنگوری IPB

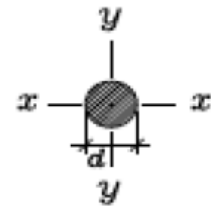
<i>IPB</i>	<i>H</i> <i>mm</i>	<i>S</i> <i>mm</i>	<i>t</i> <i>mm</i>	<i>A<sub>a</sub></i> <i>cm<sup>2</sup></i>	<i>A<sub>b</sub></i> <i>cm<sup>2</sup></i>	<i>G</i> <i>Kg/m</i>	<i>I<sub>xz</sub></i> <i>cm<sup>4</sup></i>	<i>S<sub>xz</sub></i> <i>cm<sup>3</sup></i>	<i>I<sub>xb</sub></i> <i>cm<sup>4</sup></i>	<i>S<sub>xb</sub></i> <i>cm<sup>3</sup></i>	<i>Q<sub>xz</sub></i> <i>cm<sup>3</sup></i>	<i>Q<sub>xb</sub></i> <i>cm<sup>3</sup></i>	<i>S<sub>t</sub></i> <i>cm<sup>3</sup></i>	<i>C<sub>t</sub></i> <i>mm</i>
100	150	6	10	29	23	3.37	20.4	1140	152	1090	145	86.3	79	
120	180	6.5	11	37.9	30.1	5.3	26.7	2170	241	2080	231	137	125	
140	210	7	12	47.9	38.1	7.83	33.7	3770	359	3610	344	202	185	
160	240	8	13	60.7	47.9	11.3	42.6	6230	519	5950	496	292	266	
180	270	8.5	14	73	57.7	15.3	51.2	9540	706	9120	676	396	362	20.2
200	300	9	15	87.1	69.1	20.4	61.3	14150	943	13550	903	528	483	27.3
220	330	9.5	16	101	80.6	26.1	71.5	20050	1220	19200	1160	676	621	35.5
240	360	10	17	118	94	33.1	83.2	27860	1550	26700	1480	863	791	45.6
260	360	10	17.5	131	105	39.9	93	36780	1890	35320	1810	1050	963	56.2
280	420	10.5	18	146	116	47.8	103	47430	2260	45510	2170	1250	1150	69.5
300	450	11	19	166	133	58.2	117	61890	2750	59420	2640	1580	1400	84.9
320	480	11.5	20.5	179	143	67.3	127	75930	3160	72790	3030	1760	1610	96.4
340	510	12	21.5	191	151	76.3	134	90430	35550	86500	3390	1970	1800	114
360	540	12.5	22.5	204	159	85.9	142	106700	3950	101900	3770	2200	2000	130
400	600	13.5	24	225	171	105	155	143000	4770	135700	4520	2670	2400	168
450	675	14	26	250	187	132	171	198400	5880	187800	5560	3310	2950	218
500	750	14.5	28	275	203	161	187	266700	7110	251600	6710	4010	3560	275
550	825	15	29	295	213	190	199	341100	8270	320300	7760	4680	4120	340
600	900	15.5	30	317	224	223	212	428000	9510	400100	8890	5410	4710	413
650	975	16	31	338	234	258	225	528700	10850	492100	10090	6200	5350	493
700	1050	17	32	366	247	300	241	648200	12350	599600	11420	7100	6060	587
800	1200	17.5	33	404	264	379	262	911200	15190	836600	13940	8810	7410	770
900	1350	18.5	35	454	288	480	291	1262000	18700	1150000	17040	10940	9060	986
1000	1500	19	36	495	305	581	314	1657000	22100	1449000	19990	13020	10650	1210



<b>ابعاد</b>	<b><i>b</i></b> mm	<b><i>h</i></b> mm	<b><i>t<sub>w</sub></i></b> mm	<b><i>t<sub>f</sub></i></b> mm	<b><i>r<sub>1</sub></i></b> mm	<b><i>r<sub>2</sub></i></b> mm	<b><i>r<sub>3</sub></i></b> mm	<b><i>G</i></b> <b>Kg</b>	<b><i>A</i></b> <b>cm<sup>2</sup></b>	<b><i>U</i></b> <b>m<sup>2</sup>/m</b>	<b>مشخصات نسبت به محورهای خنثی</b>									
											<b><i>e</i></b> <b>cm</b>	<b><i>C<sub>x</sub></i></b> <b>cm</b>	<b><i>I<sub>x</sub></i></b> <b>cm<sup>4</sup></b>	<b><i>S<sub>x</sub></i></b> <b>cm<sup>3</sup></b>	<b><i>r<sub>x</sub></i></b> <b>cm</b>	<b><i>C<sub>y</sub></i></b> <b>cm</b>	<b><i>I<sub>y</sub></i></b> <b>cm<sup>4</sup></b>	<b><i>S<sub>y</sub></i></b> <b>cm<sup>3</sup></b>	<b><i>r<sub>y</sub></i></b> <b>cm</b>	<b><i>J</i></b> <b>cm<sup>4</sup></b>
20	20	3	3	3	1.5	1	0.88	1.12	0.08	85.2	0.58	1.42	0.38	0.27	0.58	1	0.2	0.2	0.42	0.037
25*	25	3	3	3	2	1	1.11	1.41	0.1	79	0.735	1.765	0.82	0.46	0.79	1.25	0.41	0.33	0.54	0.059
25	25	3.5	3.5	3.5	2	1	1.29	1.64	0.1	72.9	0.73	1.77	0.87	0.49	0.73	1.25	0.43	0.34	0.51	0.074
30	30	4	4	4	2	1	1.77	2.26	0.12	64.5	0.85	2.15	1.72	0.8	0.87	1.5	0.87	0.58	0.62	0.134
35	35	4.5	4.5	4.5	2.5	1	2.33	2.97	0.14	57.1	0.99	2.51	3.1	1.23	1.04	1.75	1.57	0.9	0.73	0.223
40	40	5	5	5	2.5	1	2.96	3.77	0.16	51.7	1.12	2.88	5.25	1.81	1.18	2	2.58	1.29	0.83	0.35
45	45	5.5	5.5	5.5	3	1.5	3.67	4.67	0.18	46.6	1.26	3.24	8.13	2.51	1.32	2.25	4.01	1.78	0.93	0.523
50	50	6	6	6	3	1.5	4.44	5.66	0.2	43	1.39	3.61	12.1	3.36	1.46	2.5	6.06	2.42	1.03	0.757
60	60	7	7	7	3.5	2	6.23	7.94	0.24	36.8	1.66	4.34	23.8	5.43	1.73	3	12.2	4.07	1.24	1.45
70	70	8	8	8	4	2	8.23	10.6	0.28	32.2	1.94	5.06	44.5	8.79	2.05	3.5	22.1	6.32	1.44	2.52
80	80	9	9	9	4.5	2	10.7	13.6	0.32	28.7	2.22	5.78	73.7	12.8	2.33	4	37	9.25	0.65	4.11
100	100	11	11	5.5	3	16.4	20.9	0.4	23.4	2.74	7.26	179	24.6	2.92	5	88.3	17.7	2.05	9.38	
120	120	13	13	6.5	3	23.2	29.6	0.48	19.8	3.28	8.72	366	42	3.51	6	178	29.7	2.45	18.6	

میلگرد

قطر <i>d</i> mm	<i>G</i> Kg	<i>A</i> cm <sup>2</sup>	<i>I<sub>x</sub></i> cm <sup>4</sup>	<i>S<sub>x</sub> - I<sub>x</sub>/d/2</i> cm <sup>3</sup>	<i>I<sub>P</sub></i> cm <sup>4</sup>	<i>I<sub>P</sub>/d/2</i> cm <sup>3</sup>
5	0.154	0.196	0.003068	0.01227	0.006136	0.02454
5.5	0.186	0.238	0.004492	0.01633	0.008984	0.03267
6	0.222	0.283	0.006362	0.02121	0.012724	0.04242
6.5*	0.26	0.332	0.008762	0.02696	0.017524	0.05392
7	0.302	0.385	0.01179	0.03367	0.02358	0.06734
7.5*	0.347	0.441	0.01553	0.04141	0.03106	0.08282
8	0.394	0.503	0.02011	0.05027	0.04022	0.10054
8.5*	0.445	0.567	0.02562	0.06029	0.05124	0.12058
9	0.499	0.636	0.03221	0.07157	0.06442	0.14314
9.5*	0.556	0.709	0.03998	0.08417	0.07996	0.16834
10	0.616	0.785	0.04909	0.09817	0.09818	0.19634
10.5*	0.679	0.866	0.05966	0.11364	0.11932	0.2273
11	0.746	0.95	0.07187	0.1307	0.14374	0.2614
11.5*	0.815	1.04	0.08585	0.14931	0.1717	0.2986
12	0.887	1.13	0.1018	0.1696	0.2036	0.3392
12.5*	0.963	1.22	0.1198	0.1917	0.2396	0.3834
13	1.042	1.33	0.1402	0.2157	0.2804	0.4314
13.5*	1.123	1.43	0.163	0.2415	0.326	0.483
14	1.208	1.54	0.1886	0.2694	0.3772	0.5388
14.5	1.296	1.65	0.217	0.2993	0.434	0.5986
15	1.387	1.77	0.2485	0.3313	0.497	0.6626
15.5	1.481	1.83	0.2833	0.3656	0.5666	0.7312
16	1.578	2.01	0.3217	0.4021	0.6434	0.8042
16.5	1.678	2.14	0.3638	0.441	0.7276	0.882
17	1.781	2.27	0.41	0.4823	0.82	0.9646
17.5	1.888	2.4	0.4604	0.5261	0.9207	1.052
18	1.997	2.54	0.5153	0.5726	1.0306	1.145
18.5	2.11	2.69	0.575	0.6216	1.1499	1.243
19	2.225	2.83	0.6397	0.6734	1.2794	1.347
19.5	2.344	2.98	0.7097	0.7279	1.4194	1.456
20	2.466	3.14	0.7854	0.7854	1.5708	1.571
20.5	2.591	3.3	0.8669	0.8457	1.7338	1.691
21	2.718	3.46	0.9547	0.9092	1.9094	1.818
21.5	2.85	3.63	1.0488	0.9757	2.0976	1.951
22	2.984	3.8	1.1499	1.045	2.2998	2.09
22.5	3.121	3.97	1.258	1.118	2.516	2.236
23	3.261	4.15	1.3737	1.194	2.7474	2.398
23.5	3.406	4.33	1.497	1.274	2.994	2.548
24	3.551	4.52	1.6286	1.357	3.2572	2.714
24.5	3.7	4.71	1.7686	1.443	3.5372	2.887
25	3.853	4.91	1.9175	1.534	3.835	3.068
25.5	4.009	5.1	2.0755	1.628	4.151	3.256
26	4.167	5.31	2.2432	1.726	4.4864	3.452
26.5	4.33	5.51	2.4207	1.827	4.8415	3.654
27	4.494	5.73	2.6087	1.932	5.2174	3.864
27.5*	4.662	5.94	2.8074	2.042	5.6148	4.084
28	4.883	6.16	3.0172	2.155	6.0344	4.31
28.5*	5.005	6.38	3.2385	2.272	6.077	4.545
29	5.185	6.61	3.4718	2.394	6.9437	4.788
29.5*	5.365	6.83	3.7175	2.52	7.435	5.04
30	5.549	7.07	3.9761	2.651	7.9522	5.302



میلگرد

قطر <i>d</i> mm	G Kg	A cm <sup>2</sup>	I <sub>x</sub> cm <sup>4</sup>	S <sub>x</sub> - $\frac{I_x}{d/2}$ cm <sup>3</sup>	I <sub>P</sub> cm <sup>4</sup>	$\frac{I_p}{d/2}$ cm <sup>3</sup>
31	5.925	7.55	4.5333	2.925	9.0666	5.85
31.5*	6.117	7.79	4.8329	3.068	9.6658	6.137
32	6.313	8.04	5.1472	3.217	10.2944	6.434
33	6.714	8.55	5.8214	3.528	11.6428	7.5
34	7.127	9.08	6.5597	3.859	13.1194	7.718
35	7.552	9.626	7.3662	4.209	14.7324	8.418
36	7.99	10.18	8.2448	4.58	16.4896	9.16
37	8.44	10.75	9.1998	4.973	18.3996	9.945
38	8.902	11.34	10.2354	5.387	20.4708	10.774
39*	9.377	11.95	11.3561	5.824	22.7122	11.648
40	9.864	12.57	12.5664	6.283	25.1328	12.566
41*	10.364	13.2	13.8709	6.766	27.7418	13.532
42	10.876	13.85	15.2745	7.274	30.549	14.548
43*	11.399	14.52	16.782	7.806	33.564	15.612
44	11.936	15.2	18.3984	8.363	36.7968	16.762
45	12.485	15.9	20.1289	8.946	40.2587	17.892
46*	13.046	16.62	21.9787	9.556	43.9574	19.112
47	13.619	17.35	23.9531	10.193	47.9062	20.386
48	14.205	18.1	26.0576	10.857	52.1152	21.714
50	15.413	19.63	30.6796	12.272	91.3592	24.544
51*	16.03	20.42	33.208	13.023	66.417	26.045
52	16.67	21.23	35.89	13.804	71.781	27.608
53	17.32	22.06	38.732	14.616	77.464	29.232
54	17.98	22.9	41.739	15.459	83.478	30.918
55	18.65	23.75	44.918	16.334	89.836	32.668
56	19.33	24.63	48.275	17.241	96.55	34.482
57*	20.03	25.51	51.816	18.181	103.632	36.362
58*	20.74	26.42	55.549	19.155	111.098	38.31
60	22.19	28.27	63.617	21.206	127.234	42.412
62*	23.7	30.19	72.533	23.398	145.065	46.796
63	24.47	31.17	77.327	24.548	154.654	49.096
64*	25.25	32.17	82.355	25.736	164.71	51.472
65	26.05	33.18	87.624	26.961	175.248	53.922
68	28.51	36.31	104.95	30.869	209.9	61.738
70	30.21	38.48	117.85	33.674	235.71	67.348
72*	31.96	40.71	131.91	36.644	263.83	73.288
73	32.85	41.85	139.4	38.192	278.8	76.384
75	34.68	44.17	155.31	41.417	310.63	82.834
78	37.51	47.78	181.69	46.589	363.39	93.178
80	39.46	50.26	201.06	50.265	402.12	100.53
83	42.47	54.1	232.96	56.135	465.92	112.27
85	44.54	56.74	256.23	60.291	512.47	120.583
88	47.74	60.82	294.37	66.903	588.74	133.8
90	49.94	63.61	322.06	71.569	644.12	143.13
95	55.64	70.88	399.81	84.172	799.63	168.34
100	61.65	78.54	490.87	98.175	931.63	196.35
105	67.97	86.59	596.66	113.65	1193.3	227.3
110	74.6	95.03	718.63	130.671	1437.3	261.34
115	81.54	103.87	858.54	149.312	1717.0	298.62
120	88.78	113.09	1017.8	169.646	2035.7	339.39
125	96.33	122.72	1198.4	191.748	2396.8	383.49

